

İSTANBUL TEKNİK ÜNİVERSİTESİ ★ FEN BİLİMLERİ ENSTİTÜSÜ

**ANKARA'DA HAVA KİRLİLİĞİ EPİSODLARI ESNASINDA
ATMOSFERİK ŞARTLARIN ANALİZİ**

100674

DOKTORA TEZİ

Y.Müh. Mustafa ŞAHİN

(1190D006)

Tezin Enstitüye Verildiği Tarih : 07 Aralık 1998

Tezin Savunulduğu Tarih : 03 Haziran 1999

Tez Danışmanı : Prof. Dr. Selahattin İNCECİK

Diğer Juri Üyeleri : Prof. Dr. Olcay TÜNAY (İ.T.Ü)

Prof. Dr. Orhan YENİGÜN (B.Ü.)

Prof. Dr. Ferruh ERTÜRK (Y.T.Ü)

Doç. Dr. Mehmet KARACA (İ.T.Ü)

HAZİRAN 1999

ÖNSÖZ

Hava kalitesine yönelik sınıflandırmalar içerisinde episod kriteri önde gelmektedir. Şehircel hava kirliliği olaylarının incelenmesinde episod olayları ve bunların meydana gelmesine neden olan meteorolojik koşulların belirlenerek analiz edilmesi hava kirliliği ile ilgili önlemlerin alınmasında önemli yararlar sağlayacaktır. Bu çalışmada, Ankara'da 1989-1994 yılları arasındaki kiş mevsimlerinde meydana gelmiş olan SO₂ ve PM episodları tespit edilmiş ve meteorolojik parametrelerle arasındaki etkileşimler analiz edilmiştir.

Bu çalışmayı yürüten Sayın Hocam Prof. Dr. Selahattin İNCECİK'e ve bu çalışmaya yapmış oldukları katkılarından dolayı Dr. Ahmet YILDIRIM, Dr. Ali DENİZ ve Burak BEYHAN'a teşekkürü bir borç bilirim. Jüri üyelerinin değerli katkılarına teşekkür ederim. Ayrıca, Çevre Bakanlığı ÇED ve Planlama Genel Müdürü Sayın Doç. Dr. Yavuz CABBAR'a, Genel Müdür Yardımcısı Sayın Mehmet KARAOĞLAN'a, Daire Başkanı Sayın Ertuğrul ALPARMAN'a ve mesai arkadaşımı gösterdikleri iyi niyet, hoşgörü ve katkılarından dolayı teşekkür ederim.

Çalışmalarım süresince büyük bir anlayış göstermiş olan eşim Şenel ve kızlarım Zeynep Merve ve Büşra Ebru'ya teşekkür ederim.

Haziran 1999

Mustafa ŞAHİN

İÇİNDEKİLER

	<u>Sayfa No</u>
ÖNSÖZ	ii
İÇİNDEKİLER	iii
TABLO LİSTESİ	v
ŞEKİL LİSTESİ	vii
SEMBOL LİSTESİ	ix
ÖZET	x
SUMMARY	xiii
1. GİRİŞ VE AMAÇ	1
2. BÖLGENİN KONUMU VE GENEL İKLİM ÖZELLİKLERİ	8
2.1 Ankara'nın Konumu ve Topografik Özellikleri	8
2.2 Nüfus	8
2.3 Genel İklim Özellikleri	11
2.4 Emisyon Kaynakları	14
2.4.1 Konutlar	14
2.4.2 Endüstri tesisleri	17
2.4.3 Motorlu araçlar	18
2.4.4 Toplam emisyon miktarı	21
3. HAVA KİRLİLİĞİ EPİSODLARININ SINIFLANDIRILMASI	23
3.1 Giriş	23
3.2 Data	24
3.3 Episodların Tespiti ve Sınıflandırılması	26
3.4 SO ₂ ve PM Episodlarının Sınıflandırılması	36
4. METEOROLOJİK PARAMETRELER ve HAVA KALİTESİ	
GÖZLEMLERİNİN ANALİZİ	37
4.1. Meteorolojik Veriler	37
4.2. Metodoloji	38
4.3. 850 hPa Sıcaklığı	39
4.4. Atmosferin Düşey Sıcaklık ve Nem Dağılım Profilleri	42
4.5. Sıcaklık Enverziyonu	44
4.6. Vortisiti	52
4.6.1 Tanım	53
4.6.2 Hesaplama metodu	56
4.7. Termal Rüzgar	61
4.7.1 Hesaplama metodu	63
4.8. Yatay Basınç Gradyanı	64
4.9. Yüzey Sıcaklık Verileri	67
4.10. Yüzey Basınç Değerleri	69

5. SONUÇLAR VE ÖNERİLER	71
5.1 Sonuçlar	71
5.2 Öneriler	74
KAYNAKLAR	75
EKLER	78
ÖZGEÇMİŞ	158



TABLO LİSTESİ

	<u>Sayfa No</u>
Tablo 2.2.1 Türkiye ve Ankara'nın yıllara göre nüfusu	10
Tablo 2.3.1 Ortalama meteorolojik veriler	12
Tablo 2.4.1.1 İlçelere göre konut ve işyeri sayıları	15
Tablo 2.4.1.2 Ankara'da ısınmada kullanılan yakıtlar ve tüketilen enerji miktarı	15
Tablo 2.4.1.3 Ankara'da ısınmada kullanılmak amacıyla ithal edilen kömürlerin fiziksel ve kimyasal özellikleri	16
Tablo 2.4.1.4 Yıllara göre kullanılan kömür miktarı	16
Tablo 2.4.1.5 Isınma amacıyla kullanılan yakıtlardan kaynaklanan emisyonlar	17
Tablo 2.4.2.1 Ankara'da ilçelere göre sanayi tesislerinin dağılımı	18
Tablo 2.4.2.2 Ankara'da ilçeler göre sanayi tesislerinden kaynaklanan emisyonlar	18
Tablo 2.4.3.1 Ankara ilindeki motorlu araç sayısı	19
Tablo 2.4.3.2 Ankara ilinde motorlu araçlarda tüketilen akaryakıt miktarı	20
Tablo 2.4.3.3 Araçlardan kaynaklanan yıllık emisyon miktarları ve yüzdeleri	21
Tablo 2.4.4.1 Toplam emisyon miktarının kaynaklara göre dağılımı	21
Tablo 3.1.1 SO ₂ ve PM hava kirleticiler için uyulması gereken sınır değerler	24
Tablo 3.2.1 Ankara'da hava kirliliği ölçüm istasyonları	24
Tablo 3.3.1 Ölçüm istasyonlarında episod günlerini aşan günlerin sayısı	27
Tablo 3.3.2 İstasyonlardaki aylık ortalama SO ₂ ve PM değerleri	28
Tablo 3.3.3 PM episodlarının tarihleri ve devamlılık süreleri	32
Tablo 3.3.4 SO ₂ episodlarının tarihleri ve devamlılık süreleri	33
Tablo 3.3.5 Devamlılık sürelerine göre episodların sınıflandırılması	31
Tablo 3.3.6 Ay ve yıllara göre SO ₂ ve PM ortalama değerleri	34
Tablo 4.1 Radyosonde istasyonları	38
Tablo 4.3.1 SO ₂ ≥ 400 µg/m ³ episodlarının 850 hPa seviyesindeki (0000 GMT) günlerine ait sıcaklık ve yer seviyesindeki basınç değerleri	41
Tablo 4.3.2 Episod öncesi, başlangıç ve sonrası günlere ait sıcaklık değerlerinin karşılaştırılması	42
Tablo 4.5.1 SO ₂ ≥ 250 µg/m ³ episod günlerindeki enverziyon enverziyon (0000 GMT) frekans değerleri	46
Tablo 4.5.2 SO ₂ ≥ 250 µg/m ³ episod günlerindeki enverziyon (1200 GMT) frekans değerleri	49

Tablo 4.5.3	$\text{SO}_2 \geq 400 \mu\text{g}/\text{m}^3$ episod günlerindeki enverziyon (0000 GMT) frekans değerleri	50
Tablo 4.5.4	$\text{SO}_2 \geq 400 \mu\text{g}/\text{m}^3$ episod günlerindeki enverziyon (1200 GMT) frekans değerleri	50
Tablo 4.5.6	Enverziyon kalınlıklarına göre SO_2 ve taban-tavan sıcaklık farkları	51
Tablo 4.5.7	Enverziyon taban yüksekliklerine göre SO_2 değerleri	51
Tablo 4.5.8	Enverziyon taban-tavan sıcaklık farkına göre SO_2 değerleri	52
Tablo 4.6.2.1	$\text{SO}_2 \geq 250 \mu\text{g}/\text{m}^3$ episod günlerine ait vortisitinin negatif olduğu gün sayısı ve yüzdesi	60
Tablo 4.6.2.2	$\text{SO}_2 \geq 400 \mu\text{g}/\text{m}^3$ episod günlerine ait vortisitinin negatif olduğu gün sayısı ve yüzdesi	60
Tablo 4.6.2.3	$\text{SO}_2 \geq 400 \mu\text{g}/\text{m}^3$ episodların birinci gününde vortisiti değerinin negatif olma yüzdesi	61
Tablo 4.7.1.1	Termal rüzgar değerlerinin sınıflandırılması	64
Tablo 4.8.1	$\text{SO}_2 \geq 250 \mu\text{g}/\text{m}^3$ episod günlerindeki basınç gradyanı (0000 GMT) sınıflandırılması	65
Tablo 4.8.2	$\text{SO}_2 \geq 400 \mu\text{g}/\text{m}^3$ episod günlerindeki basınç gradyanı (0000 GMT) sınıflandırılması	66
Tablo 4.9.1	1989-1994 periyodu kış aylarının ortalama sıcaklık değerleri	67
Tablo 4.10.1	$\text{SO}_2 \geq 400 \mu\text{g}/\text{m}^3$ episodların ve bu episodların meydana geldiği ayların ortalama basınç değerleri	70
Tablo B.1	$\text{SO}_2 \geq 400 \mu\text{g}/\text{m}^3$ episod günlerindeki sabit basınç seviyelerindeki (0000 GMT) sıcaklık değerleri	152
Tablo B.2	$\text{SO}_2 \geq 400 \mu\text{g}/\text{m}^3$ episod günlerindeki SO_2 , vortisiti, termal rüzgar, adveksiyon, enverziyon ve basınç gradyan değerleri	154

ŞEKİL LİSTESİ

	<u>Sayfa No</u>
Şekil 2.1 Ankara'nın ve çevresinin topografik yapısı	9
Şekil 2.2.1 Ankara'nın nüfus büyümeye durumu	10
Şekil 2.3.1a Yıllık rüzgar gülü	13
Şekil 2.3.1b Kış mevsimi rüzgar gülü	13
Şekil 2.4.3.1 Ankara ilindeki motorlu araç sayısı	19
Şekil 2.4.3.2 Ankara ilinde motorlu araçlarda tüketilen akaryakıt miktarı	20
Şekil 2.4.4.1 Toplam kirleticilerin kaynaklara göre dağılımı	22
Şekil 3.2.1 Ankara'nın topografik haritası ve ölçüm istasyonlarının yerleri	25
Şekil 3.3.1a Kış mevsimi aylarına göre toplam episod gün sayısı	29
Şekil 3.3.1b Episodların aylık dağılımı	30
Şekil 3.3.2 Kış mevsimlerine göre toplam episod gün sayısı	31
Şekil 3.3.3 1989-1994 kış mevsimlerine ait aylık ortalama SO ₂ ve PM değerleri	35
Şekil 3.3.4 Kış mevsimlerine göre ortalama SO ₂ ve PM değerleri	36
Şekil 4.5.1 Troposferde sıcaklığın düşey değişimi ve enverziyon koşulları	45
Şekil 4.5.2 Aylara göre episod (SO ₂ ≥ 250 µg/m ³) ve enverziyonlu (0000 ve 1200 GMT) gün sayısı	47
Şekil 4.5.3 Kış mevsimlerine göre episod (SO ₂ ≥ 250 µg/m ³) ve enverziyonlu (0000 ve 1200 GMT) gün sayısı	48
Şekil 4.6.1 Sirkülasyon ve vortisiti arasındaki bağıntı	54
Şekil 4.6.2 Bir akış üzerinde pozitif(a) ve negatif(b) vortisitilerin etkisi	55
Şekil 4.6.2.1 Radyosonde istasyonlarının yerleri ve ve grid noktaları	57
Şekil 4.6.2.2 Rüzgarın u ve v bileşenlerinin bölgelere göre işaretini	58
Şekil 4.6.2.3 Bir grid noktasının yapısı	59
Şekil 4.7.1.1 Termal rüzgar hesaplamasında grid noktası yapısı	63
Şekil 4.9.1 Episod (SO ₂ ≥ 250 µg/m ³) gün sayısı ve aylık ortalama sıcaklık değerleri	67
Şekil 4.9.2 Episod (SO ₂ ≥ 250 µg/m ³) gün sayısı ve aylık ortalama sıcaklık değerleri	68
Şekil A.1 SO ₂ ≥ 250 µg/m ³ episodlarının aylık devamlılık süreleri ve frekansları	79
Şekil A.2 SO ₂ ≥ 250 µg/m ³ episodlarının kış mevsimlerine göre devamlılık süreleri ve frekansları	82
Şekil A.3 PM ≥ 200 µg/m ³ episodlarının aylık devamlılık süreleri ve frekansları	84

Şekil A.4	$PM \geq 200 \mu\text{g}/\text{m}^3$ episodlarının kış mevsimlerine göre devamlılık süreleri ve frekansları	87
Şekil A.5	$SO_2 \geq 400 \mu\text{g}/\text{m}^3$ episodlarının aylık devamlılık süreleri ve frekansları	89
Şekil A.6	$SO_2 \geq 400 \mu\text{g}/\text{m}^3$ episodlarının kış mevsimlerine göre devamlılık süreleri ve frekansları	91
Şekil A.7	$PM \geq 300 \mu\text{g}/\text{m}^3$ episodlarının aylık devamlılık süreleri ve frekansları	93
Şekil A.8	$PM \geq 300 \mu\text{g}/\text{m}^3$ episodlarının kış mevsimlerine göre devamlılık süreleri ve frekansları	94
Şekil A.9	$SO_2 \geq 400 \mu\text{g}/\text{m}^3$ episod günlerine ait düşey sıcaklık dağılım profili	95
Şekil A.10	$SO_2 \geq 400 \mu\text{g}/\text{m}^3$ episod günlerine ait düşey nem (RH) dağılım profili	105
Şekil A.11	Enverziyon sıcaklık farkı ve SO_2 değerleri	115
Şekil A.12	Enverziyon kalınlığı ve SO_2 değerleri	123
Şekil A.13	$SO_2 \geq 400 \mu\text{g}/\text{m}^3$ episod günlerine ait bağıl vortisitinin düşey profili	131
Şekil A.14	Episodların ($SO_2 \geq 400 \mu\text{g}/\text{m}^3$) birinci ve bir önceki günüğe ait sinoptik yer haritaları	142

SEMBOL LİSTESİ

A	: Alan
C	: Sirkülasyon
E	: Episod
<i>f</i>	: Coriolis parametresi
G	: Episod günü
L	: Uzunluk ölçüği
n	: dA alan elemanına dik birim vektörü
P	: Atmosferik basınç
PM	: Partikül Madde
RH	: Bağlı nem
SO_2	: Kükürt Dioksit
T	: Sıcaklık
U	: Yatay ölçek
u	: Rüzgarın x yönündeki bileşeni
v	: Rüzgarın y yönündeki bileşeni
u_g	: Geostrofik rüzgarın y yönündeki bileşeni
v_g	: Geostrofik rüzgarın x yönündeki bileşeni
u_T	: Termal rüzgarın y yönündeki bileşeni
v_T	: Termal rüzgarın x yönündeki bileşeni
W_T	: Termal rüzgar
ζ	: Bağlı vortisiti
η	: Mutlak vortisiti
ω	: Hızın rotasyoneli
Ω	: Dünyanın açısal hızı
ϕ	: Jeopotansiyel yükseklik
$\partial x, \partial y$: İki grid noktası arasındaki uzaklık
∂x	: Yatay iki izobar arasındaki basınç farkı
ϕ	: Enlem derecesi ve rüzgarın kuzey yönü ile yaptığı açı

ANKARA'DA HAVA KİRLİLİĞİ EPİSODLARI ESNASINDA ATMOSFERİK ŞARTLARIN ANALİZİ

ÖZET

Hava kalitesine yönelik sınıflandırmalar içerisinde episodlar önemli parametrelerdir. Şehirsel hava kirliliği olaylarının incelenmesinde, episod olayları ve bunların meydana gelmesine zemin hazırlayan atmosferik dispersif şartlarının belirlenmesi gereklidir.

Bu çalışmada, Ankara'da 1989-1994 yılları kış aylarında (Ekim-Mart) ölçülen SO_2 ve partikül madde (PM)'nin ortalama değerlerinden episod günleri tespit edilerek, bunların yerel meteorolojik parametreler ve sinoptik ölçekli olaylar arasındaki bağıntıları analiz edilmiştir.

Aşağı atmosferin düşey yapısı hakkında bilgi edinebilmek için Ankara'nın yerel meteorolojik parametreleri ve radyosondaj gözlemlerinin yanı sıra özellikle vortisiti ve termal rüzgar hesaplamasında kullanılmak üzere Türkiye'deki yedi adet radyosonde istasyonundan yapılan sondaj verileri gözönüne alınmıştır. Bu veriler şunlardır:

- a) Yer, 850 hPa, 700 hPa ve 500 hPa seviyelerindeki günlük sıcaklık, basınç, bağlı nem, jeopotansiyel yükseklik ve rüzgar yön ve hız değerleri,
- b) 0000 GMT ve 1200 GMT'de meydana gelmiş olan yüzey enverzyonlar ve bunların taban ve tavan yükseklikleri, kalınlıkları ve taban-tavan sıcaklık farkları,
- c) Sinoptik yer haritaları (0000 GMT),
- d) Ortalama sıcaklık değerleri (günlük, aylık ve yıllık),

Bu çalışmada, hava kalitesi episodları için şu kriter belirlenmiştir: SO_2 veya PM'den birinin 24 saatlik periyotta en az iki ölçme istasyonunda ve en az iki gün süren bir olayda dış hava kalite sınırlarını aşmasıdır.

Bu kriter çerçevesinde, 1989-1994 periyodunda $\text{SO}_2 \geq 250 \mu\text{g}/\text{m}^3$ için 2-21 gün süren toplam 42 adet (toplam 243 gün), $\text{SO}_2 \geq 400 \mu\text{g}/\text{m}^3$ için 2-10 gün süren toplam 26 adet (toplam 92 gün), $\text{PM} \geq 200 \mu\text{g}/\text{m}^3$ için 2-11 gün süren toplam 40 adet (toplam 135 gün) ve $\text{PM} \geq 300 \mu\text{g}/\text{m}^3$ için 2-5 gün süren toplam 9 adet (toplam 27 gün) hava kirliliği episodunun meydana geldiği tespit edilmiştir. Episodlar süre olarak en fazla Ocak aylarında, en az ise Ekim aylarında meydana gelmiştir.

Bir akışkan içerisindeki dönüşün mikroskopik ölçüsü olan vortisiti, hızın rotasyoneli olarak tanımlanan vektör alanıdır. Büyük ölçekli dinamik meteorolojide genel olarak sırasıyla η ve ζ ile gösterilen mutlak ve bağlı vortisitinin sadece düşey bileşenleri ile ilgilenilir.

Geniş pozitif (negatif) bölgelerde bağlı vortisiti (ζ), kuzey yarımkürede siklonik firtınalarla işbirliği içerisinde gelişme eğilimi göstermektedir. Bundan dolayı bağlı vortisitin dağılımı hava analizi için iyi bir diagnostik araçtır. Mutlak ve bağlı vortisiti arasındaki fark, rotasyonu için dünyaya bağlı olan vortisitin yerel düşey

bileşeni olan planeter vortisitidir: $k \cdot \nabla \times \mathbf{U}_e = 2\Omega \sin\phi \equiv f$. Böylece mutlak vortisiti $\eta = \zeta + f$, bağıl vortisiti ζ ile ya da kartezyen koordinatlarda;

$$\eta = \partial v / \partial x - \partial u / \partial y + f, \quad \zeta = \partial v / \partial x - \partial u / \partial y \quad (1)$$

şeklinde ifade edilmektedir.

Hava parseli kendi etrafında saat yönünde ($\zeta < 0$) dönyorsa buna antisiklonik (-) vortisiti, kendi etrafında saat yönünün tersine ($\zeta > 0$) dönyorsa buna siklonik (+) vortisiti denir.

Bağıl vortisitiyi (ζ) hesaplamak için yukarıda belirtilen denklem kullanılmıştır. 7 adet radyosonde istasyonlarını içine alacak şekilde Türkiye 2 derece (1 derece=111 km.) aralıklla 32 (8x4) grid noktasına ayrılmıştır. Radyosonde istasyonlarına ait rüzgar hız ve yön verileri kullanılarak SO_2 konsantrasyonunda $250 \mu\text{g}/\text{m}^3$ ve $400 \mu\text{g}/\text{m}^3$ 'ü aşan episod günlerine ait 850 hPa (0000 GMT ve 1200 GMT), 700 hPa (0000 GMT) ve 500 hPa (0000 GMT) seviyelerindeki bağıl vortisiti hesaplanmıştır. Ayrıca, episod günlerindeki ($\text{SO}_2 \geq 400 \mu\text{g}/\text{m}^3$) değerler kullanılarak bağıl vortisitinin düşey dağılım profili çizilmiştir.

$\text{SO}_2 \geq 250 \mu\text{g}/\text{m}^3$ episod günlerinde 850 hPa (0000 GMT ve 1200 GMT), 700 hPa (0000 GMT) ve 500 hPa (0000 GMT) seviyelerindeki toplam vortisiti değerlerinin %69.08'i negatifdir. En fazla negatif değerlerin %75.44 ile 850 hPa (1200 GMT) seviyesinde bulunmuştur. $\text{SO}_2 \geq 400 \mu\text{g}/\text{m}^3$ episod günlerinde ise 850 hPa (0000 GMT ve 1200 GMT), 700 hPa (0000 GMT) ve 500 hPa (0000 GMT) seviyelerindeki toplam vortisiti değerlerinin %74.02'si negatifdir. En fazla negatif değerlerin %82.76 ile 850 hPa (1200 GMT) seviyesinde bulunmuştur.

$\text{SO}_2 \geq 400 \mu\text{g}/\text{m}^3$ episod günlerindeki toplam vortisiti değerlerin negatif olma yüzdesinin (%74.02), $\text{SO}_2 \geq 250 \mu\text{g}/\text{m}^3$ episod günlerindeki toplam vortisiti değerlerinin negatif olma yüzdesinden (%69.08) büyük olduğu görülmüştür. Bu ise vortisitin negatif olma durumu ile yüksek kirletici değerler arasında doğru bir orantının olduğunu göstermektedir. Episodların birinci günündeki vortisiti değerinin en fazla negatif olma durumu %79.17 ile 850 hPa seviyesinde olduğu tespit edilmiştir. Burada, 850 hPa seviyesinin vortisiti için önemli olduğu görülmektedir.

Termal rüzgar, iki basınç seviyesi arasındaki jeostrofik rüzgar kaymasıdır. Termal rüzgar gözlenen rüzgar ve sıcaklık alanlarının analizini kontrol etmek için kullanılan faydalı bir araçtır. Ayrıca, termal rüzgar bir tabakadaki ortalama yatay sıcaklık adveksiyonunu tahmin etmek için de kullanılmaktadır. İki basınç seviyesindeki jeopotansiyel yükseklik farkı gözönünde bulundurularak termal rüzgar denklemi;

$$u_T = 1/f^* \partial(\phi_1 - \phi_0) / \partial y, \quad v_T = 1/f^* \partial(\phi_1 - \phi_0) / \partial x, \quad W_T = \sqrt{u_T^2 + v_T^2} \quad (2)$$

şeklinde ifade edilmektedir.

Türkiye'deki 5 adet radyosonde istasyonundan alınan 850 hPa (0000 GMT) ve 700 hPa (0000 GMT) basınç seviyelerindeki jeopotansiyel yükseklik verileri kullanılarak $\text{SO}_2 \geq 400 \mu\text{g}/\text{m}^3$ episod günlerine ait termal rüzgar değerleri hesaplanmıştır. Termal rüzgar değerlerinin 1(bir)'den küçük ve ortalama değerinin 0.313 olduğu tespit edilmiştir. Bu değerlerin %47.2'sinin 0.05-0.25 aralığında yer olması episod günlerinde 850 hPa ile 700 hPa seviye arasında yatay sıcaklık gradyanının da küçük

olduğunu göstermektedir. Bu durum episod günleri için çizilmiş olan düşey sıcaklık profillerinde de görülmektedir.

Şehir alanlarındaki hava kirliliği episodlarının oluşumu yüksek sisteminin varlığı veya yukarıdaki sıcak sırt özelliğinin sıkça sebep olduğu yüzeydeki zayıf basınç gradyanlarının varlığıyla olmaktadır. Subjektif yöntemle sinoptik yer kartlarından (0000 GMT) episod günlerindeki ($\text{SO}_2 \geq 250 \mu\text{g}/\text{m}^3$ ve $400 \mu\text{g}/\text{m}^3$) yatay basınç gradyanları tespit edilmiştir. Bu basınç gradyanları; çok zayıf ($< 5 \text{ mb}/1100 \text{ km}$), zayıf ($5 \text{ mb}/550-1100 \text{ km}$), kuvvetli ($5 \text{ mb}/100-550 \text{ km}$) ve çok kuvvetli ($> 5 \text{ mb}/0-100 \text{ km}$) şeklinde sınıflandırılmıştır. Burada, "zayıf" ve "kuvvetli" basınç gradyanlarındaki kirletici konsantrasyon değerlerinin "çok zayıf" ve "çok kuvvetli" basınç gradyanlarındaki kirletici konsantrasyon değerlerinden büyük olduğu belirlenmiştir. Bu durum, episod günlerinde atmosferin genelde sakin olduğunu, hareketli ortamın olmadığını göstermektedir.

Atmosferin düşey yapısı içinde atmosferin sınır tabaka yüksekliğini tanımlayan 850 hPa seviye sıcaklığı önemli bir parametredir. 850 hPa seviyesindeki daha sıcak hava kütleleri daha dengeli atmosferi beraberinde getirir. Episod günlerinin 850 hPa seviyesindeki (0000 GMT) sıcaklık değerleri analiz edilmiştir. Episodların birinci gününe kadar sıcaklığın azaldığı ve episodun birinci gününden itibaren sıcaklığın arttığı belirlenmiştir. Burada, episodların belirlenmesinde bu seviye sıcaklığının önemli olduğu görülmüştür.

Atmosferde rüzgarın yükseklikle saat ibreleri yönünde (antisiklonik) değişmesi sıcak adveksiyonun olduğunu gösterdiği bilinmektedir. Yer, 850 hPa, 700 hPa, ve 500 hPa (0000 GMT) seviyelerindeki sıcaklık değerleri kullanılarak episod günlerindeki ($\text{SO}_2 \geq 400 \mu\text{g}/\text{m}^3$) düşey sıcaklık dağılım profili çizilmiştir. Bu profillerde, episod günlerindeki adveksiyonlar analiz edilmiştir. Toplam 88 episod gününün 66 gününde (%75) ve 24 adet episodun 18'nin birinci gününde (%75) rüzgarın yükseklikle antisiklonik olarak değiştiği ve ayrıca 24 adet episodun 22'sindeki (%92) en yüksek SO_2 konsantrasyonunun rüzgarın yükseklikle antisiklonik olarak değiştiği günlerde meydana geldiği görülmüştür. Burada düşey sıcaklık dağılımının analizler için önemli olduğunu göstermektedir.

Sonuç olarak, negatif bağıl vortisiti ile yüksek hava kirliliği seviyeleri arasında bağıntı olduğunu belirlenmiştir. Özellikle hava kirliliği analizlerinde bağıl vortisitinin önemli bir faktör olduğu tespit edilmiştir.

ANALYSIS OF ATMOSPHERIC CONDITIONS DURING AIR POLLUTION EPISODES IN ANKARA

SUMMARY

Among the methods for classifications of air quality, episodes are very effective parameters. To examine urban air pollution events, it is necessary to determine atmospheric dispersion conditions during these episodes.

In this study, the episode days have been determined by examining average values of SO₂ and PM measured during the winter months in Ankara between 1989(October)-1994(March), and relationship between these episode days and local meteorological parameters and phenomenon at the synoptic scale have been analysed.

In order to define the vertical structure of the lower atmosphere, local meteorological parameters and radiosonde observations in Ankara have been used. Relative vorticity and thermal wind, radiosonde data from seven radiosonde stations in Turkey have also been used. These data are:

- a) Daily average temperature, pressure, relative humidity, geopotential height, wind direction and speed at the surface, 850 hPa, 700 hPa and 500 hPa pressure levels,
- b) Surface inversions occurring at 0000 GMT and 1200 GMT, and inversion bottom-top heights, inversion thickness and inversion bottom-top temperature differences,
- c) Synoptic surface maps (0000 GMT),
- d) Average temperature values (daily, monthly and annually).

In this study, the criteria for an air pollution episode are the following; at least two constituents (SO₂ and PM) exceed ambient air quality limits in at least two monitoring stations, for a period not less than 24 hours, and the phenomenon lasts for at least 2 days.

Following these criteria, 42 air pollution episodes, lasting of 2-21 days each (243 days in total), in which mean daily concentrations are higher than 250 µg/m³ of SO₂, 26 air pollution episodes, lasting 2-10 days each (92 days in total) in which mean daily concentrations are higher than 400 µg/m³ of SO₂, 40 air pollution episodes, lasting 2-11 days each (137 days in total) in which mean daily concentrations are higher than 200 µg/m³ of PM and 9 air pollution episodes, lasting, 2-5 days each (27 days in total) in which mean daily concentrations higher than 300 µg/m³ of PM were detected in the period 1989(October)-1994(March). Most of the episodes were determined in month of January minimum number of pollution episodes are observed in October.

Vorticity, a measure of rotation in a fluid, is a vector field defined as the curl of velocity. In large-scale dynamic meteorology we are in general concerned only with the vertical components of absolute and relative vorticity, which are designated by η

and ζ , respectively. Regions of large positive (negative) ζ tend to develop in association with cyclonic storms in Northern (Southern) Hemisphere. Thus, the distribution of relative vorticity is an excellent diagnostic tool for weather analysis. The difference between absolute and relative vorticity is the planetary vorticity, which is just the local vertical component of the vorticity of the earth owing to its rotation; $k \cdot \nabla x \cdot U_e = 2\Omega \sin \phi \equiv f$. Thus, $\eta = \zeta + f$ or in Cartesian coordinates;

$$\zeta = \frac{\partial v}{\partial x} - \frac{\partial u}{\partial y} \quad \eta = \frac{\partial v}{\partial x} - \frac{\partial u}{\partial y} + f \quad (1)$$

The air parcel is rotated in a counter clockwise ($\zeta > 0$) or clockwise ($\zeta < 0$) direction. In order to calculate the relative vorticity ζ , the equation above are used. This area that includes 7 radiosonde stations has been divided into grids of $2^\circ \times 2^\circ$ ($1^\circ = 111 \text{ km}$). Thus, 32 grid point (8x4) have been obtained. 850 hPa (0000 and 1200 GMT), 700 hPa (0000 GMT) and 500 hPa (0000 GMT) levels relative vorticity values of episode days in which SO_2 concentrations exceeded 250 and 400 $\mu\text{g}/\text{m}^3$ were calculated by using wind direction and speed taken from 7 radiosonde stations in Turkey. Vertical relative vorticity variation during episode days has been plotted.

It was found that during the days in which SO_2 concentrations exceeded 250 $\mu\text{g}/\text{m}^3$ 69.08% of total vorticity values at levels of 850 hPa, 700 hPa and 500 hPa are negative. The highest percentage of negative values are found at 850 hPa (1200 GMT) with 75.44%. Also, it was found that during the days in which SO_2 concentration exceeds 400 $\mu\text{g}/\text{m}^3$ 74.02% of total vorticity values at levels of 850 hPa, 700 hPa and 500 hPa were negative. The highest percentage of negative values are determined at 850 hPa (1200 GMT) with 82.76%.

It was seen that the percentage of negative relative vorticity values at each pressure level for the days of SO_2 exceeding 400 $\mu\text{g}/\text{m}^3$ is much greater than that of SO_2 exceeding 250 $\mu\text{g}/\text{m}^3$. This situation shows that there exists a direct relation between state of becoming negative of vorticity and high pollutant concentration. The percentage of vorticity value at the first day of episode period is greater than that of at 850 hPa level (79.17%). This situation shows that 850 hPa level has an important role for the vorticity.

The thermal wind refers to the vector difference between the geostrophic winds at two levels. The thermal wind equation is an extremely useful diagnostic tool, which is often used to check the analyses of the observed wind and temperature fields for consistency. It can also be used to estimate the mean horizontal temperature advection in a layer. Alternatively, we may express the thermal wind for a given layer in terms of the horizontal gradient of the geopotential difference between the top and bottom of the layer;

$$u_T = 1/f * \partial(\phi_1 - \phi_0) / \partial y, \quad v_T = 1/f * \partial(\phi_1 - \phi_0) / \partial x, \quad W_T = \sqrt{u_T^2 + v_T^2} \quad (2)$$

Thermal wind was calculated for episode days of SO_2 exceeding 400 $\mu\text{g}/\text{m}^3$ by using geopotential height values at the levels of 850 hPa (0000 GMT) and 700 hPa (0000 GMT) taken from the 5 radiosonde stations in Turkey. It was found that the thermal wind values were less than 1. Its average value is 0.313, and 47.2% of the values lie between 0.005-0.25. This result indicates that horizontal temperature gradient is small between 850 hPa and 700 hPa on episode days, and this conclusion can be seen at the vertical temperature profiles drawn for the episode days.

It is well known that the occurrence of air pollution episodes in urban areas is favored by the existence of weak pressure gradients at the surface often caused by the presence of a high pressure system, or by a warm ridge aloft. The pressure gradients were determined from synoptic surface cards (0000 GMT) with subjective method on episode days ($\text{SO}_2 \geq 250 \mu\text{g/m}^3$ and $400 \mu\text{g/m}^3$) and these pressure gradients were classified as “very weak (less than 5 mb/1100 km.)”, “relatively weak (5 mb/550-1100 km.)”, relatively strong (5 mb/100-550 km)” and “strong (>5 mb/1-100 km). Pollutant concentration during the relatively weak and relatively strong pressure gradient days were found to be higher than very weak and strong pressure gradient days. This reveals that during days with unstable pressure gradient, atmosphere is generally calm.

The temperature at 850 hPa is an important parameter providing information about atmospheric stability. High temperature at 850 hPa relative to the surface temperature indicates weak dispersion conditions. When temperature values of episode days at the level of 850 hPa (0000 GMT) were analysed, it was seen that the temperature at this level was important for the determination of episode days. It was also seen that, the temperature decreased up to the first day of episode, and started to increase after the first day of episode.

It is known that, the clockwise change of wind with height shows the existence of warm advection. The vertical temperature distribution has been drawn by using the data for the episode days in which SO_2 exceeded $400 \mu\text{g/m}^3$ and temperature values at the levels of surface, 850 hPa, 700 hPa and 500 hPa (0000 GMT). In this framework, the advection on episode days has been analysed using the vertical temperature profile. It has also been determined that, change in wind direction with height was anticyclonic at 66 days of totally 88 episode days (75%) and the first days of 18 episode days out of 24 (75%), and for the 22 episodes out of 24 (92%) the maximum SO_2 concentration has occurred on the days of which wind has changed as anticyclonic with height. This situation shows that, vertical temperature distribution is an important instrument for the analysis.

As a result, a direct relation between negative relative vorticity and higher air pollution levels has been observed. Therefore relative vorticity plays an important role on the analysis of air pollution.

BÖLÜM I

GİRİŞ

Hava kirliliği yaşadığımız yüzyılın en önemli problemlerinden birisidir. Bu çevre sorunu ekvatorдан kutuplara kadar dünyanın her bölgesinde kendini göstermektedir. Antropojenik hava kirliliğinin temel kaynağı yanma olup motorlu araçlar, endüstri, enerji ve kiş aylarında ısnama nedeniyle ortaya çıkmaktadır. Bu emisyon sırası ülke ve şehirlere göre değişiklik gösterir. Hava kirliliğinin oluşma şiddeti şüphesiz emisyonlar ve bu emisyonların yer aldığı atmosferin dispersiyon şartlarına bağlıdır. Ancak özellikle kiş mevsimlerinde meydana gelen ısnama ihtiyacı şehirlerde emisyonların yükselmesine yol açmaktadır. Bu günlerde çeşitli hava kirleticilerinin (SO_2 , PM, NOx, HC ve O_3) konsantrasyonları hava kalitesi standartlarının çok üzerinde olacaktır. Özellikle iyi planlanmamış şehirlerde bu durum belirgin bir şekilde meydana gelmektedir.

Bununla beraber endüstriyel emisyonların uygun olmayan atmosfer şartlarında trajik hava kirliliği olaylarının meydana gelmesine yol açtığı da tarihsel örneklerle gösterilebilir. Örneğin 1930 yılında Belçika'da Meuse Vadisi'nde endüstriyel emisyonlar durgun antisiklonik basınç alanının da etkisiyle ölümlere yol açmıştır. Ayrıca, 1948 yılında A.B.D. Pennsylvania eyaleti Donora şehrinde yaşanan hava kirliliği ve 1952 yılında Londra'da meydana gelen ve trajik sonuçlara yol açan smog olayı gibi örnekler verilebilir (İncecik, 1994).

Ülkemizde ise hava kirliliği ile ilgili problemler, 1970'li yıllarda başlamış ve hızlı kentleşmenin ve endüstriyel gelişmenin sonucu olarak özellikle yerleşim bölgelerinde gittikçe artmıştır. İlk kez 1970'li yıllarda Ankara şehrinde hava kirliliği problemleri yaşanmaya başlamıştır. 1980'li yıllarda ise hava kirlenmesi olayları Ankara, İstanbul

dışında Bursa, Erzurum, İzmir vb gibi pek çok şehirde insan sağlığını tehdit eden ciddi bir problem haline gelmiştir.

Şehirlerde hava kirliliği problemi, yüksek kükürt içeren katı ve sıvı fosil yakıtların hiçbir işleme tabi tutulmadan kullanılması, yanlış yakma teknikleri, binalarda ısı yalıtıminin uygulanmaması, düşük verimli yakma sistemleri, şehir imar planlarının uygunsuzluğu ile ortaya çıkmaktadır (Tuncel, 1998).

Kuşkusuz hava kirliliği kaynaklarından atmosfere yayılan kirleticiler atmosferin kontrolü altında davranış göstermeye başlarlar. Bu durum atmosferin kendi kuralları içerisinde sürekli olarak değişken bir yapı halinde bulunması nedeniyle aynı çevrede aynı miktarlarda emisyonun yayıldığı zamanlarda dahi çevre hava kalitesinin farklı değerlere ulaşmasına yol açar. Bu değişkenlik gün içerisinde olduğu gibi mevsimlere de bağımlıdır. Atmosfer içerisinde kirleticilerin karışabildiği karmaşma yüksekliği atmosfer hacminin değişken yüksekliğinin belirleyicisi olarak kabul edilirse ve konsantrasyonun tanım olarak birim hacim içerisindeki madde miktarı olarak olduğu gözönüne alınırsa bu üst sınırın değerinde meydana gelecek değişiklikler, ilgili hacmi dolayısıyla da çevre hava kalitesinin değişimine yol açacaktır.

Bir bölge atmosferinin kirleticileri yayma ve seyreltme kabiliyetinin olup olmadığı hususunun belirlenmesinde, karmaşma yükseklikleri, enverzyon özellikleri, 850 hPa seviye taşınım özellikleri ventilasyon miktarları en önemli olan parametrelerdir.

Hava ve iklim, meteorolojik ve klimatolojik parametrelerin esas olarak ekstremleri ve frekansları ile ilgili olan bir çok çevresel işlemleri idare eden fonksiyonlar şeklinde tanımlanmışlardır (Müller, 1976).

Şehirsel hava kirliliği seviyeleri ve onların araştırılması son yıllarda özellikle hava kirliliğinin yaşadığı ülkelerde büyük ilgi toplamıştır

Hava kirliliği planlamasında bir şehir üzerindeki dispersyonun yatay ve düşey olarak incelenmesinin önemli olduğu ve hava kalitesinin planlamasında meteorolojik metodolojinin şehir plancılarına sunulduğu bilinmektedir. Holzworth (1972) ülke çapında hava kirliliği potansiyelinin belirlenmesi için bir metot geliştirmiştir. Murty vd (1990) ise Hindistan'da karmaşma yükseklikleri ile ventilasyon katsayılarını hesaplamışlardır.

Pissimanis (1991) tarafından yapılan çalışmada, Atina şehir merkezinde meydana gelen episod günlerindeki hakim olan sinoptik hava şartları ve troposferin dikey termal yapısının zamanla gelişimi (episodların başlama ve bitişindeki hakim olan sinoptik durum) incelenmiş; episodların başlangıcında sıcak hava adveksiyonu ve soğuk hava kütlesinin çekilmesinin ilişkili olduğu, 850 hPa tabakasının altındaki şiddetli ısnama datası kuvvetli çökmenin var olduğunu gösteren episodlarda meydana geldiği, 500 m.'den daha az olan karışma yüksekliğinin ve 2 m/sn'nin altındaki maksimum 3 saatlik rüzgar hızının etkili olduğu, episodların sonunda zayıf soğuk cephenin geçişyle troposferin alt tabakasında meydana gelen soğumayla rüzgar veya karışma yüksekliğindeki önemli artışların episod günlerinde etkili olduğu belirlenmiştir.

Kallos vd (1993) Yunanistan'daki hava kirliliği episodlarının gözlendiği periyotlar için sinoptik ve orta ölçekteki hava şartlarını analiz ederek bu tür kirliliğe orta Akdeniz'de gelişen yüksek basınç sistemlerinin sebep olduğunu ortaya koymışlardır.

Lu vd (1995) Los Angeles bölgesi için yaptıkları çalışmada hava kirliliği episodlarının oluşmasında Pasifik yüksek basınç sistemi ile ilgili sinoptik şartların önemine değinmiştir.

Kassomenos vd (1995) ise Atina'da hava kalitesinin yorumlanmasında iklim özelliklerinden ve meteorolojik faktörlerden yararlanarak hava kirliliğinin dağılımında karışma yüksekliği, ventilasyon katsayısı, sıcaklık enverziyonları ve 850 hPa basınç seviyesindeki sıcaklığının etkilerini tartışmıştır. Bunun yanı sıra Atina'da ortaya çıkan en şiddetli hava kirliliği episodların antisiklonik dönüşler ve/veya sıcak hava kütelerinin adveksiyonu sonucu ortaya çıktığı göstermiştir. Yüksek kirletici konsantrasyonların, sıkça kalıcı durgun antisiklonik şartların varlığı altında meydana geldiği gösterilmiştir.

Ülkemizde ise Ankara metropolitan alanı, son 20 yıldır özellikle ısnama amaçlı kullanılan yakıtlar ve motorlu araçlar nedeniyle hava kalitesi problemleriyle karşı karşıya bulunmaktadır. Bunun yanı sıra, Ankara'nın fiziki-coğrafik farklılığı kirletici taşınımı ve yayılımını önemli ölçüde etkileyen yerel atmosferik sirkülasyonların frenlenmesine neden olmaktadır.

Türkiye'de yapılmış hava kirliliği çalışmaları özellikle İstanbul ve Ankara ilini kapsamaktadır. İstanbul iline ait çalışmaların en önemlileri Tebbens (1970),

Ayalp(1976), Ertürk (1993), Karaca vd (1995), Şen (1995) ve İncecik (1996) tarafından yapılmıştır. Ankara'da ise ilk hava kirliliği çalışması Tuna (1972) tarafından yapılmıştır.

Tuna (1972) tarafından yapılan çalışmada, kirletici konsantrasyon değerleri ile meteorolojik parametreler ve sinoptik şartlar (enverziyon tabakası, enverziyon sıcaklık farkı, karmaşıklaşma yüksekliği, ortalama rüzgar hızı, ventilasyon, yüzey basıncı ve 500 hPa'daki rüzgar hızı) arasındaki ilişki incelenmiştir.

JICA (1985) tarafından yapılan çalışmada, Ankara'da SO₂ ve PM değerlerinin saatlik değişimleri ile özellikle Aralık 1984 ile Mart 1985 arasındaki SO₂ ve PM'nin bölgelere göre yoğunluğu belirlenmiştir. Ayrıca, enverziyon, karmaşıklaşma yüksekliği, rüzgar yön ve hız değerleri ile SO₂ ve PM konsantrasyon değerleri arasındaki bağıntı analiz edilmiştir.

İncecik ve Erdun (1991) ise Ankara, İstanbul ve İzmir bölge atmosferinin düşey termik yapısını analiz ederek meydana gelen enverziyonların karakteristiklerini belirlemiştir. Ankara'da kış mevsiminde 1200 GMT gözlemlerine göre enverziyonların taban yükseklikleri, tavan-taban sıcaklık farkları ve kalınlık değerleri diğer bölgelere göre önemli farklar içermiştir; Ankara'da enverziyon taban yükseklerinin %97'si 1000 m.'nin üzerinde yer aldığı ve bu miktarın %67'si 1500 metrenin üzerinde kaldığı gösterilmiştir. Ayrıca, tavan-taban sıcaklık farklarının önemli bir göstergeye sahip olmadığı bu durumun sebeplerinden birisinin ölçme bölgesinin konumu olduğu belirtilmektedir. Sonuç olarak, Ankara'da çok yüksek bir değer olmamakla beraber İstanbul'a göre daha yüksek seviyede meteorolojik potansiyel tespit edildiği ifade edilmektedir.

Ankara'nın hava kirliliği envanterinin çıkarılması amacıyla Orta Doğu Teknik Üniversitesi (1993) tarafından yapılan çalışmada, 1992 yılı sonu itibarıyle yıllık toplam yaktır miktarları ve emisyonların (CO, SO₂, NOx ve PM) nerelerden (bina-işyerleri, endüstri ve motorlu araçlar) kaynaklandığı hesaplanmıştır. Bununla ilgili olarak Ankara'da hava kirliliğini önlemek üzere alınması gereklili olan önlemler tespit edilmiştir. Ayrıca şehrin toplam emisyon miktarları göz önünde bulundurularak emisyon yoğunluk haritaları hazırlanmıştır.

Ankara için ısitma sistemi alternatiflerinin maliyetleri ve hava kirliliği etkileri dikkate alınarak değerlendirilmesi ve ısitma sistemlerinden kaynaklanan emisyonların dağılımını tespit etmek amacıyla Durmaz vd (1993) tarafından yapılan çalışmada, 1991-92 kiş mevsiminde Ankara'da kullanılan yakıt miktarları gözönünde bulundurularak toplam emisyon miktarları hesaplanmış ve emisyon yoğunluk haritaları hazırlanmıştır.

Atımtay (1997) tarafından Ankara B.Şehir Belediye alanı kapsamında yapılan çalışmada, temel hava kirliliği kaynakları belirlenmiş, Ankara'daki SO₂ konsantrasyonlarının düzeyi ISCST yayılma modeli kullanılarak hesaplanmış ve en kirli bölgenin Ankara'nın merkezinde ve sanayinin yoğun olduğu kuzeybatı bölgesinde yer alan Cebeci ve İstanbul Yolu civarı olduğu ve en yüksek yıllık ortalama SO₂ konsantrasyonun 152 µg/m³ ve kiş aylarında elde edilen en yüksek ortalama SO₂ konsantrasyonun ise 337 µg/m³ olduğu tesbit edilmiştir. Sonuç olarak şehrin kuzey batısının SO₂ bakımından daha kirli olduğu gösterilmiştir.

İncecik (1994) tarafından yapılan çalışmada, İstanbul'da emisyon bakımından çeşitlilik gösteren Kartal, Kadıköy, Ümraniye ve Zeytinburnu bölgelerinde ısinma mevsiminde ölçülen SO₂ konsantrasyonlarının değişimleri üzerine basınç, rüzgar ve enverziyon gibi parametrelerin etkisi incelenmiştir.

İncecik (1995) tarafından yapılan çalışmada; İstanbul'da SO₂ seviyeleri, episod özellikleri emisyon kaynaklarının bölgeleri ve nitelikleri itibariyle irdelenmiştir. Bölge atmosferinin, sinoptik koşullar ile beraber incelendiğinde episodik ortamlara uygun zemin hazırlaması bakımından zayıf dispersif özelliklere sahip olduğu ve bu durumun kötü kaliteli yakıt kullanımıyla dolayı şiddetli episod olaylarının artmasına yol açtığı belirlenmiştir.

1979-1981 arasında Haliç bölgesindeki mikrometeorolojik yapının incelenmesi amacıyla İncecik (1986) tarafından yapılan çalışmada, bölge atmosferinin dispersiyon kabiliyeti bakımından zayıf bir yapıda bulunduğu belirlenmiştir.

İstanbul için 1985-1991 periyoduna ait hava kirliliğine neden olan SO₂ ve partikül madde (PM) ile siklon sayıları arasındaki ilişki araştırılmış, hava kirliliği ayları için siklon sayılarındaki azalan bir trend gözlenmesine rağmen SO₂ ve PM konsantrasyonlarında ise artan bir trend gözlendiği ve bu durumun İstanbul'da son 10

yıl içerisinde giderek artan hava kirliliğinin sebeplerinden biri olarak gösterilebileceği ifade edilmiştir (Deniz, 1997). Ayrıca, hava kirliliğinin özellikle uzun mesafelere taşınmasında cephesel sistemlerin ve buna bağlı olarak siklon ve antisiklonların öneminin büyük olduğu belirlenmiştir (Deniz, 1997).

Batuk vd (1997) tarafından yapılan bir başka çalışmada ise İstanbul'da 1991-1994 döneminde SO₂ ve PM episodları ile orta-ölçekli hava koşulları ve bölgesel klimatolojik etmenler arasındaki ilişki gözlemlenmiş ve en kötü hava kirliliği olayın basınç oranının 5 mb/1000 km'den daha az olduğu durumlarla ilişkili olduğu belirlenmiştir.

Şen vd (1997) tarafından yapılan bir çalışmada, yüzey ve yükseltili enverziyonun hava kirliliğine olan etkisi araştırılmış ve kirletici konsantrasyonların yükseltili enverziyondan daha yüksek olduğu, yükseltili enverziyonda gece ve gündüz kirletici konsantrasyonlarının değişmediği, ancak yüzey enverziyonda gece verilerinde önemli artışlar olduğu tespit edilmiştir.

Ülkemizde yapılan çalışmalarda, kirleticilerin kaynaktan çıktıktan sonra genellikle meteorolojik değişkenlerle yönlendirildiği, kirlilik konsantrasyonunun artmasının ve azalmasının özellikle rüzgar hızı ve atmosferik kararlılık ile ilgili olduğu, karmaşık yüksekliği içindeki ortalama rüzgarın hafif olmasının hava kirliliğinin artmasında en büyük etken olduğu, bu duruma Ankara'da kışın ve yazın sıkça rastlandığı ve enverziyonun alt ve üst seviyelerindeki sıcaklık farkı ile devam süresinin ve vantilasyon faktörünün önemli bir etken olduğu görülmüştür.

Ankara'da da, hava kirliliğine neden olan emisyon kaynakları ve bunların miktarları hakkında çeşitli çalışmalar yapılmışmasına rağmen, yerel meteorolojik şartlar ile hava kalitesi arasında sebep-sonuç incelemesine yönelik araştırmaların yetersiz olduğu söylenebilir. Bu nedenle hava kirliliği olaylarında atmosferik şartların detaylı olarak analizi ile episod nitelikli bir konuma sahip olduğu gerçeğine dayanarak bu ayrıntılı analizlerin yapılmasına gerek bulunmaktadır. Bu amaçlarla içinde dispersiyon şartlarını en iyi tanımlayan ölçek bazında yaklaşılara yer verilmelidir. Örneğin atmosferin düşey kesit analizleri ve zamansal analizleri bunu en iyi açıklayan yaklaşılardır. Pissimanis (1991) yaptığı çalışmada, episodların başlangıcını tahmin etmek için vortisiti adveksiyonun incelenmesinin gerekliliğini göstermiştir.

Bu çalışmanın amacı, hava kalitesi kontrolü ile ilgili uygulamalarda ve ileriye dönük kontrol stratejilerin belirlenmesinde kullanılmak üzere Ankara şehrinde 1989-1994 periyodunda ısinma mevsiminde (Ekim-Mart) hava kirliliği seviyelerinin yükselmesine neden olan atmosferik şartların ayrıntılı analizini yapmaktadır. Bu seviyelerin episod nitelikli etkin hava kirliliği oluşturacak miktarlara erişmesi ve sebep-sonuç ilişkilerinin araştırılması için 850 hPa sıcaklığı, yüzey basınç gradyanları, yüzey enverzyonları, düşey sıcaklık ve nem profilleri, termal rüzgar ve bağıl vortisiti incelenmiştir. Özellikle bağıl vortisiti-hava kirliliği ilişkisinin ortaya konması, episod başlangıç şartlarının belirlenmesi amaçlanmıştır.

BÖLÜM 2

BÖLGENİN KONUMU VE GENEL İKLİM ÖZELLİKLERİ

2.1 Ankara'nın Konumu ve Topografik Özellikleri

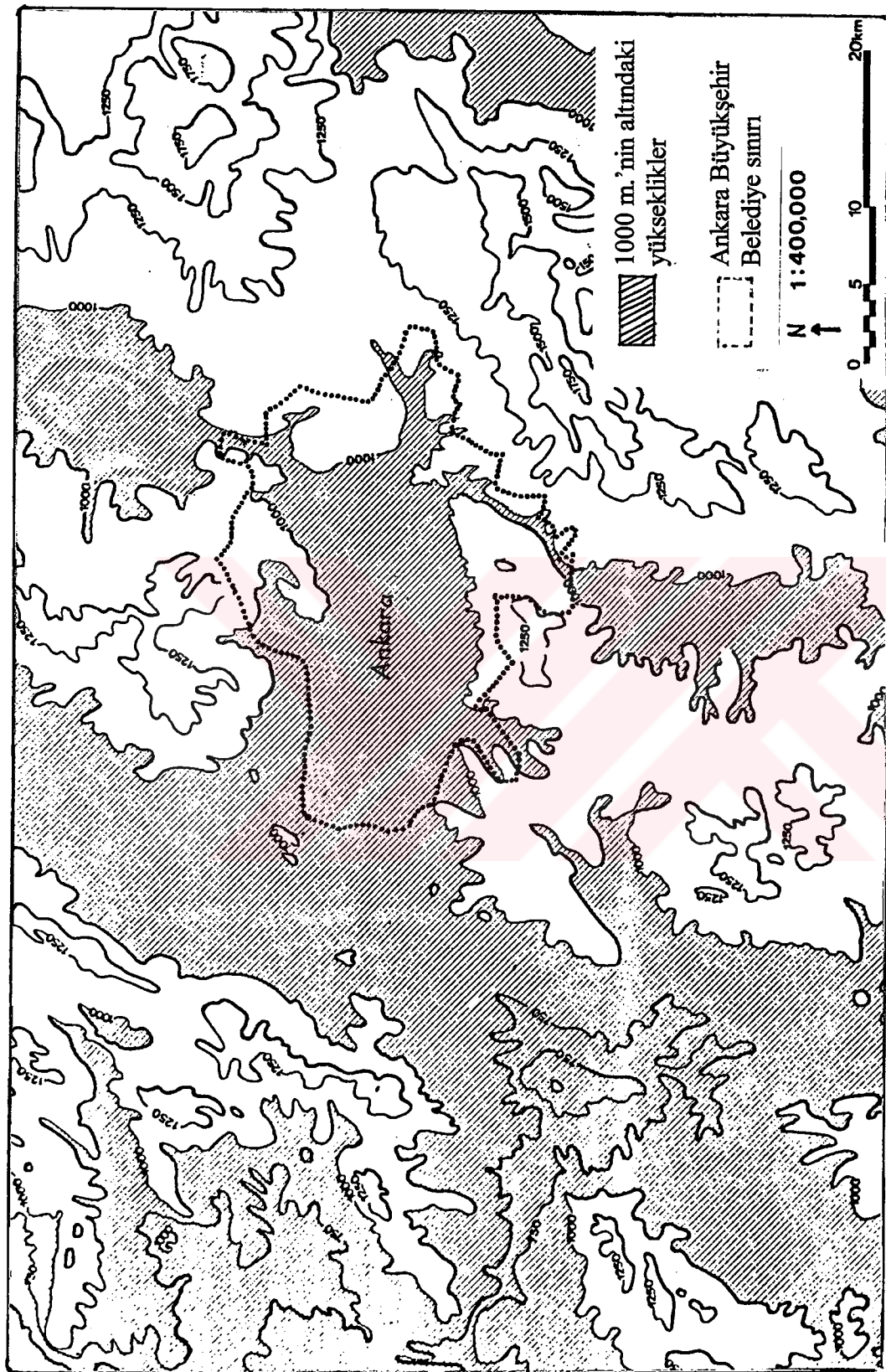
Ankara, İç Anadolu Bölgesi'nde kuzeyde Çubuk, güneyde Mogan, batıda Mürtezeler ve Engürü ovalarının kesiştiği, engebeli, fakat yerleşmeye uygun özellikler taşıyan bir platoada yer almaktadır (Şekil 2.1). Ankara ve çevresi topografik olarak sırtı doğuya dönük at nalı biçiminde bir çanak içerisinde 850 ve 1200 metrelilik yükseltiler arasında dağ ve tepelerle çevrelenen bir yapıya sahiptir (ODTÜ, 1993).

Ankara'nın kuzeyinde 1050 metre yükseklikte Etlik tepeleri ve daha yukarıda 1200-1500 metre yükseltilere ulaşan Karyağılı Dağları yer alır. Doğuda yerleşim alanlarına yakın olarak 1415 metre yükselen Hüseyin Gazi Dağı, kuzeydoğu'da İdris Dağları, kentin güneyinde, Dikmen Köyü civarında, 1300 metreye ulaşan Çal Dağı, güneydoğu'da Mühya ve İncesu vadisinden başlayarak yükselen ve 1862 metreye erişen Elmadağ yer almaktadır. Güneybatıda ise Hacılar ve Elmadağ arasındaki vadide Eymir ve Mogan Gölleri bulunmaktadır.

2.2 Nüfus

1923 yılında başkent olan Ankara, bu tarihten itibaren çok hızlı bir nüfus artışına sahne olmuştur. İlk nüfus sayımının yapıldığı 1927 ile 1997 yılı arasındaki 70 yılda, Ankara'nın nüfusu 38 kat artarak 3 milyona yaklaşmıştır (Şekil 2.2.1 ve Tablo 2.2.1).

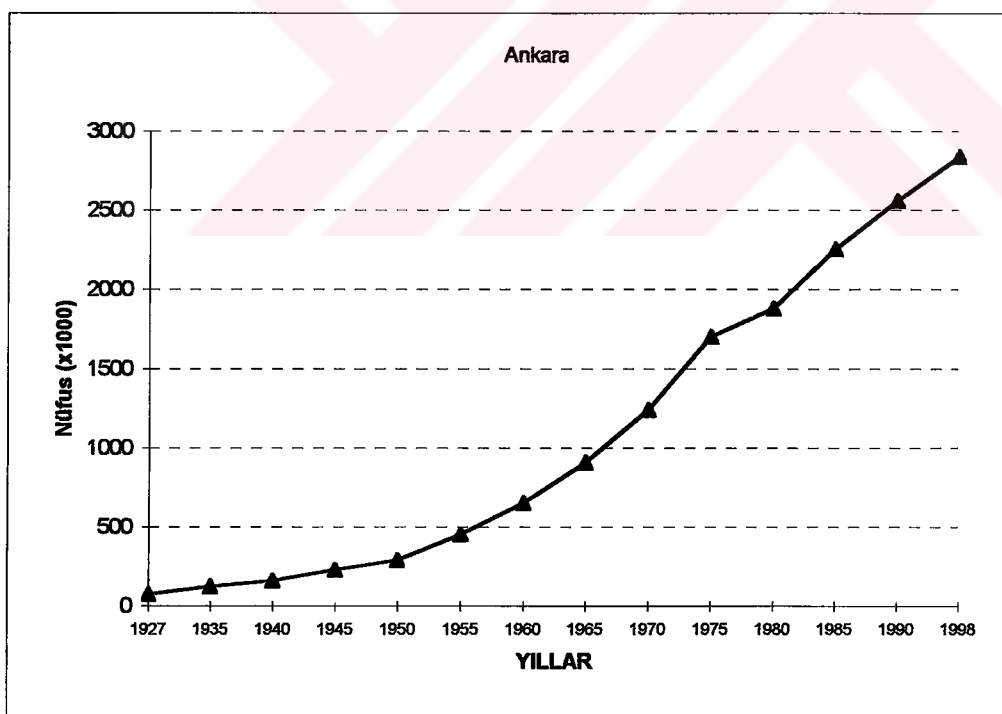
Ankara, 1975 yılına kadar, ülkedeki şehirleşme hızının üzerinde bir artışla büyümüştür. Ülkede şehirli nüfus artış hızının en yüksek değere ulaştığı 1950-55 arasında, ülke rakamı binde 64.78 iken, Ankara'da binde 89.44'ü bulmuştur. Ankara nüfusunun çok hızlı büyümesinde, göç hareketleri önemli bir yer tutmuştur (TCSV, 1987).



Şekil 2.1 Ankara ve çevresinin topografik haritası (JICA, 1985)

Tablo 2.2.1 Türkiye ve Ankara'nın yıllara göre nüfusu

YILLAR	Ankara	Türkiye
1927	74 533	13 650 000
1935	122 271	16 158 018
1940	157 242	17 820 950
1945	226 712	18 790 174
1950	288 536	20 947 188
1955	451 241	24 064 763
1960	650 067	27 754 820
1965	905 662	31 391 421
1970	1 236 152	35 605 176
1975	1 701 004	40 347 719
1980	1 877 755	44 736 957
1985	2 251 533	51 420 757
1990	2 559 471	56 473 035
1997	2 837 433	62 865 574



Şekil 2.2.1 Ankara'nın nüfus büyümeye durumu

Ankara'nın merkezi, 1980 yılında 4 ilçeden meydana gelirken, 1985'te yeni idari sınır düzenlemelerine bağlı olarak 5 ilçeye ayrılmıştır. En büyük ilçe Çankaya olmakta, bunu takiben sıra ile Keçiören, Altındağ, Mamak ve Yenimahalle gelmektedir (TCSV, 1987).

2.3 Genel İklim Özellikleri

Anadolu platosunda ve etrafı dağlarla çevrili bir yörede bulunan Ankara, sıcak ve kuru geçen yaz mevsimi ve soğuk-orta derecede yağışlı kiş mevsimi ile karakterize edilebilen bir iklime sahiptir (ODTÜ, 1993). Yıllık yağış miktarı 377 mm civarındadır. Bununla beraber İlkbahar ve sonbahar mevsimlerinde meydana gelen orografik yağışlar taşkınlara neden olabilmektedir. Karasallık özelliği nedeniyle günlük ve yıllık sıcaklık değerleri önemli ölçüde değişim gösterir (DMI). Aylık ortalama sıcaklık Temmuz ayında 23.1°C ile en yüksek, Ocak ayında ise -0.1°C ile en düşük değerdedir (Tablo 2.3.1).

Ankara'da birinci derece hakim rüzgar yönü kuzeydoğu, ikinci derece hakim rüzgar yönü ise kuzeylidir (Tablo 2.3.1, Şekil 2.3.1a). Kişi mevsiminde (Ekim-Mart) hakim rüzgar yönü yıllık hakim rüzgar yönünde olduğu gibi birinci derece kuzeydoğu, ikinci derece kuzeylidir (Şekil 2.3.1b). Tablo 2.3.1'de görüldüğü üzere yıllık ortalama rüzgar hızı ise $2,3 \text{ m/sn}$ 'dır.

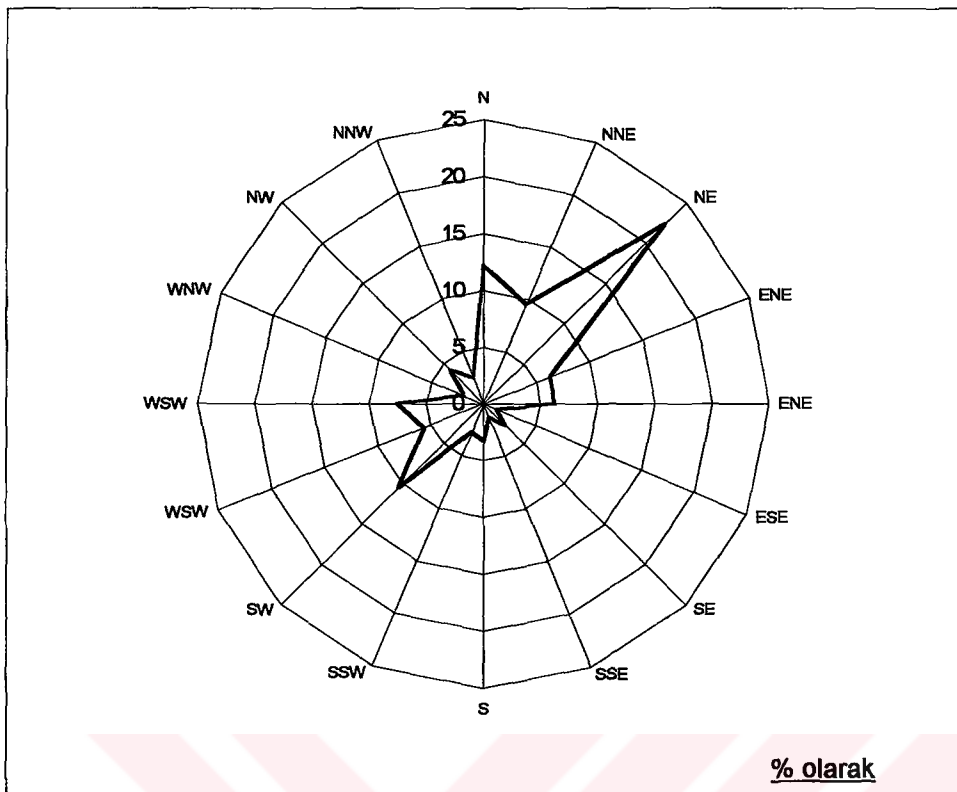
Basınç paternleri incelendiğinde, Ankara'nın kiş mevsiminde Sibirya Yüksek Basıncı (CP hava) ile batı bölgelerimizden sokulan kaynak bölgesi Atlantik Okyanusu olan denizsel kutbi (mP) hava ve denizsel tropikal (mT) havanın etkisi altında olduğu görülür (Bary ve Chorley, 1992). Kuşkusuz hava kütlelerinin Balkanlardan ve Akdeniz üzerinden gelmesi Ankara'nın üzerinde etkili olan hava olaylarının çeşitlilik göstermesine yol açacaktır.

Şehrin topografik yapısının bir çanak konumunda olması nedeniyle yamaçlarda soğuyan ve bu nedenle ağırlaşan hava yüzey enverzyonunu kuvvetlendirir. Bu durumlarda rüzgar şiddeti düşük olduğundan, emisyon kaynaklarından çıkan kirleticiler yer seviyesinde yüksek hava kirliliği seviyelerinin yükselmesine yol açar.

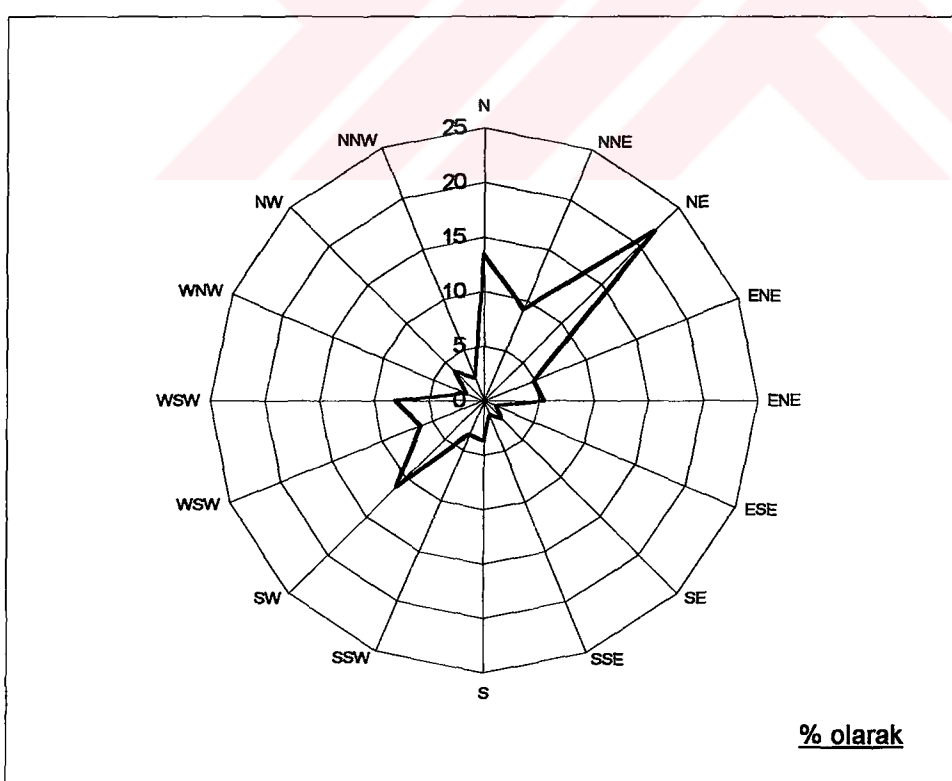
Tablo 2.3.1 Ortalama meteorolojik veriler (DMI, 1992)

Meteorolojik Elemanları	Gözlem Süresi (Yıl)	A Y L A R												YILLIK Aralık
		Ocak	Şubat	Mart	Nisan	Mayıs	Haziran	Temmuz	Ağustos	Eylül	Ekim	Kasım		
Ortalama Sıcaklık (°C)	64	-0,1	1,3	5,4	11,2	15,9	19,8	23,1	23	18,4	12,8	7,3	2,3	11,7
Ort. Yüksek Sıcaklık (°C)	64	4	5,9	11,2	17,4	22,2	26,4	30	30,1	25,8	19,8	13,1	6,3	17,7
Ort.Düşük Sıcaklık (°C)	64	-3,6	-2,8	0,2	5	9,3	12,4	15,2	15,2	11,2	6,8	2,5	-1	5,9
En Yüksek Sıcaklık (°C)	64	16,4	20,4	28,5	31,6	34,4	36,4	38,8	40	35,7	33,3	25,3	20,4	40
En Düşük Sıcaklık (°C)	64	-24,9	-24,2	-19,2	-7,2	-1,6	3,8	4,5	5,5	-1,5	-5,3	-17,5	-24,2	-24,9
Ort.Buhar Basıncı (mb)	64	5	5,1	5,8	7,3	10	11,2	11,6	11	9,2	8,2	7,2	5,9	8,1
Ort.Bağılı Nem (%)	64	78	74	65	58	57	51	44	42	47	58	70	78	60
Ort.Aktüel Basınç (mb)	64	943,4	911,6	911,4	910,5	911,4	911,4	910,2	910,9	913,6	915,6	918,8	914,5	912,5
Ort.Rüzgar Hızı (m/sn)	34	2,2	2,3	2,4	2,4	2,1	2,3	2,7	2,6	2,2	2	1,9	2,1	2,3
Hakim Rüz.Yönü(1,2)*	41	NE, N	NE, N	NE, N	NE, SW	NE, N	NE, NNE	NE, NNE	NE, N	NE, N	NE, N	NE, SW	NE, N	
Ort.Yağış Miktari(mm)	64	40,5	34,9	35,6	40,3	51,6	32,6	13,5	10,3	17,4	24,2	30,9	45,6	377,4

(*) 1. ve 2. derece hakim rüzgar yönünü



Şekil 2.3.1a Yıllık rüzgar gülü



Şekil 2.3.1b Kış mevsimi rüzgar gülü

2.4 Emisyon Kaynakları

Ülkemizde şehirler ve sanayi bölgelerindeki hava kirliliği özellikle kış mevsiminde önem kazanmaktadır. Türkiye'de uzun süreli izleme programı Sağlık Bakanlığı tarafından şehirlerde yürütülmektedir. Bu ölçme programı SO₂ ve partikül madde (PM)'yi içermektedir.

Şehirlerdeki kirliliğin nedeni yıllardır evsel ısıtmadan kaynaklanan SO₂ ve partikül madde emisyonlarına bağlılığından, Sağlık Bakanlığı tarafından oluşturulan ölçüm programı sadece bu iki parametre ile sınırlı kalmıştır. Oysa şehirlerde araçlardan kaynaklanan kirliliğin neden olduğu fotokimyasal kirlenmenin varlığı gündeme gelmemektedir. Bu rutin ölçümler dışında azotoksitler (NOx) ise sadece Ankara'da iki istasyonda ölçülmektedir.

1950'li yıllarda itibaren sosyal ve ekonomik nedenlerle kırsal kesimden kentlere göç olayının başlaması, diğer büyük şehirlerde olduğu gibi Ankara'da hızlı bir kentleşmeyi ve beraberinde plansız ve programsız yapılaşmayı da getirerek çevresel sorunların ortaya çıkmasına neden olmuştur. Bu nedenle hava kirliliği dendiği zaman ilk akla gelen şehirlerimizden biri olarak Ankara'nın ismi geçmektedir. Sonuç olarak Ankara'da emisyon kaynakları olarak konutların ısıtılması, endüstri ve trafik bu çalışmanın konusu olmuştur.

2.4.1 Konutlar

DİE tarafından 1984 yılında yapılan çalışma ile Ankara'da toplam 221 151 adet bina bulunduğu belirlenmiştir (ODTÜ, 1993). Binaların kullanım amaçlarına göre dağılımı ilçelere göre farklılık göstermektedir. Örneğin Keçiören ilçesindeki binaların %96'sı konut olarak kullanılırken Altındağ ilçesinde ise konutların oranı %82'dir (Tablo 2.4.1.1).

Ankara'da 1992 yılı sonu itibarı ile 700 000 konut bulunmaktadır. Bu konutlardan 300 000'i kaloriferli (%43), 400 000'i sobalıdır (%57). Konutların %60.7 sindе taşkömürü, %35.7 sindе doğal gaz ve %3.6 sindе özel kalorifer yakıtı(sıvı yakıt) kullanılmaktadır.

Tablo 2.4.1.1 İlçelere göre konut ve işyeri sayıları (ODTÜ, 1993)

İlçeler	Konut		İşyeri		Resmi Kurum		Diğerleri		Toplam
	Sayı	%	Sayı	%	Sayı	%	Sayı	%	Sayı
Altındağ	39661	19.7	8258	48.5	167	14.2	372	20.5	48458
Çankaya	40991	20.4	2156	12.7	471	38.8	486	26.8	44104
Keçiören	39260	19.5	1108	6.5	81	6.8	266	14.6	40715
Mamak	45900	22.8	1666	9.8	38	3.2	283	15.6	47887
Y. Mahalle	29870	14.9	3352	19.7	369	31.2	333	18.3	33924
Gölbaşı	1601	0.8	212	1.2	37	3.1	26	1.4	1876
Sincan	3846	1.9	270	1.6	20	1.7	51	2.8	4187
Toplam	201129	100	17022	100	1183	100	1817	100	221151

1992 yılında Ankara'da ısınma amaçlı olarak 741260 ton taşkömürü kullanılmışken 402.7 milyon m³ doğal gaz ve 153436 ton kalorifer yakıtı tüketilmiştir (Tablo 2.4.1.2). Isınma amacıyla kullanılan toplam enerji miktarı içinde bu yakıtların payı sırasıyla %47.8, %35.5 ve %16.7'dir (ODTÜ, 1993).

Tablo 2.4.1.2 Ankara'da ısınmada kullanılan yakıtlar ve tüketilen enerji miktarı (ODTÜ, 1993).

Yakit	Miktar	Kalori Değeri	Enerji, kcal/yıl	%
Taşkömürü	741260 ton/yıl	6500 Kcal/kg	4382xE+9	47.8
Doğal gaz	402677 Nm ³ /yıl	8100 Kcal/Nm ³	3262xE+9	35.5
Kal. Yakıtı	153436 ton/yıl	10000 Kcal/kg	9178xE+9	16.7

Isıtımada kullanılan kömür Rusya ve G.Afrika'dan ithal edilmekte olup, bu kömürlerin fiziksel ve kimyasal özellikleri Tablo 2.4.1.3'de verilmiştir.

Bunun yanısıra Ankara'nın özellikle şehir merkezindeki semtlerinde, yani topografik olarak tanımlanan Ankara çanağının iç kısmında ve çanağın çevre bölgelerinde 1990 yılından itibaren doğal gaz geniş anlamda kullanılmaya başlamıştır. Doğal gazın kullanılmaya başlamasıyla ısıtma amacıyla kullanılan kömür miktarında azalma olmuştur (Tablo 2.4.1.4). Doğal gaz Sibirya kökenli olup alt ısı değeri 8100 Kcal/Nm³'dür.

Tablo 2.4.1.3 Ankara'da ısıtma amaçıyla ithal edilen kömürlerin fiziksel ve kimyasal özellikleri.

Kömürün Özellikler	İthal Edilen Kömürler	
	Rusya kömürü	G.Afrika kömürü
Toplam nem (orijinalde)	%8 maks.	%6 maks.
Uçucu madde(kuru temel)	%12-18	%13-18
Kükürt(kuru temel)	%0.6 maks.	%1.0 maks.
Kül(kuru temel)	%17 maks.	%19 maks.
Serbest kabartma endeksi	0-2.5	0-2.5
Kül erime noktası	1250 °C	1250 °C
Brüt kalori değeri(kuru temel)	6500 Kcal/kg min.	6500 Kcal/kg min.
Ebat	0-150 mm. (-20 mm): %25 maks. (20-150 mm): 75 min.	(-10 mm.): %10 maks. (10-20 mm): %10 maks.

Tablo 2.4.1.4 Yıllara göre kullanılan kömür miktarı (Ank.B.Şehir.Bld. 1998)

Kullanılan Yakit	YILLAR					
	1989	1990	1991	1992	1993	1994
Kömür(ton)	986399	1061984	845964	741260	713056	457942

Tablo 2.4.1.5'den görüleceği üzere; Ankara'da 1992 yılında ısınma amacıyla kullanılan yakıtlardan atmosfere yılda 24465 ton CO, 2531 ton NOx, 27028 ton hidrokarbon, 7006 ton SO₂ ve 5762 ton partikül madde neşredildiği hesaplanmıştır (ODTÜ, 1993). Bu emisyonlar içinde CO ve yanmamış hidrokarbonlar en büyük miktarı oluşturmaktadır. Partikül maddenin en büyük kaynağı ise kalorifer yakıdır. Kalorifer yakıtının toplam emisyonlardaki payı; SO₂ emisyonunda %55.8, partikül madde emisyonunda ise %75 dir. Doğal gazın yakma problemlerinden dolayı hidrokarbon emisyonuna katkısı %25.9'dur (ODTÜ, 1993).

ısınma kaynaklı SO₂ emisyonları en fazla Ulus, Sıhhiye ve Kızılay bölgelerinde, daha sonra da İskitler, Aydınlıkeler ve Kavaklıdere bölgesinde yoğun olarak bulunduğu belirlenmiştir (ODTÜ, 1993). NOx emisyonları bakımından en yoğun bölgeler Ulus, Opera, Kızılay, Ayrancı ve Kavaklıdere; CO emisyonlarında ise en yoğun bölgeler Kızılay, Cebeci, Kavaklıdere ve Maltepe'dir (ODTÜ, 1993).

Tablo 2.4.1.5 Isınma amacıyla kullanılan yakıtlardan kaynaklanan emisyonlar, (ODTÜ, 1993)

Yakıtlar		Emisyonlar (Ton/yıl)				
		CO	NOx	Hidrokarbon	SO ₂	PM
Kömür	Sobalı	17 950	1 086	94	1 889	945
	Kaloriferli	4 092	425	15 142	1 200	378
Doğal gaz		2 375	330	7 006	7	113
Kalorifer yakıtı		48	690	4 786	3 910	4 326
Toplam		24 465	2 531	27 028	7 006	5 762

2.4.2 Endüstri Tesisleri

1993 yılında Ankara Büyükşehir Belediyesi sınırları içinde 269 adet imalat sanayi işyeri olduğu belirlenmiştir (Tablo 2.4.2.1). En fazla sanayi tesisinin Yenimahalle ilçesinde(98 adet), en az ise Keçiören ilçesinde (3 adet) bulunduğu görülmektedir. Ankara, sanayileşmiş bir şehir olmadığından Büyükşehir Belediye sınırları dahilinde yoğun sanayi bölgeleri bulunmamaktadır. Ankara Organize Sanayi Bölgesi ve Dökümcüler Sitesi Sincan ilçesinde, OSTİM Küçük Sanayi Sitesi ve Oto Sanatkarları Sanayi Sitesi Yenimahalle ilçesinde, Ata Sanayi, Büyük Sanayi ve Demir Sanayi İskitler semtinde ve Yeni Sanayi Dışkapı semtinde yer almaktadır (ODTÜ, 1993).

İmalat sanayi işyerlerinde yakıt olarak fuel oil, mazot, doğal gaz, linyit kömürü, kok ve maden kömürü kullanılmaktadır. Bu tesislerde ağırlıklı olarak sıvı yakıt kullanılmaktadır. Buna göre Yenimahalle ilçesi en önemli fuel-oil tüketicisi konumunda iken, en çok linyit kömürü Etimesgut ilçesinde yakılmaktadır. Endüstriyel tesislerinde linyit kömürü ve 6 numaralı fuel-oil kullanılmasından dolayı 4139 ton/yıl SO₂, yanmanın tam olmamasından dolayı ise 10965 ton/yıl CO, 3492 ton/yıl yanmamış hidrokarbon ve 3265 ton/yıl partikül madde atmosfere neşredilmektedir (Tablo 2.4.2.2).

1992 yılında yapılan çalışma sonucu hazırlanan endüstriden kaynaklanan kirlilik haritalarında, en fazla kirliliğin endüstri yoğunluğunun en fazla olduğu Yenimahalle ve Altındağ ilçelerinde olduğu görülmüştür. SO₂ emisyonu bakımından en yoğun bölgeler Yenimahalle ve Etimesgut ilçeleridir. Bunun nedeni, bu bölgelerde yoğun

olarak fuel-oil No.6 ve linyit kömürü kullanılmasıdır. CO, hidrokarbon ve partikül madde bakımından en yoğun bölge de Etimesgut ilçesidir (ODTÜ, 1993).

Tablo 2.4.2.1 Ankara'da ilçelere göre sanayi tesislerinin dağılımı (ODTÜ, 1993).

İLÇELER	İmalat sanayi işyeri (adet)
Yenimahalle	98
Altındağ	59
Çankaya	42
Etimesgut	28
Gölbaşı	16
Mamak	12
Sincan	11
Keçiören	3
TOPLAM	269

Tablo 2.4.2.2 Ankara'da ilçelere göre sanayi tesislerinden kaynaklanan emisyonlar (ODTÜ, 1993).

İLÇELER	Emisyonlar (ton/yıl)				
	SO ₂	PM	NOx	CO	Hidrokarbon
Altındağ	431	374	61	13	447
Çankaya	598	304	54	93	573
Etimesgut	1534	1578	120	8856	1428
Keçiören	10	5	0.8	0.1	5.7
Mamak	199	138	18	298	139
Sincan	126	67	11	17	73
Yenimahalle	1153	685	95	1012	733
Gölbaşı	88	114	7.8	676	94
TOPLAM	4139	3265	365	10965	3492

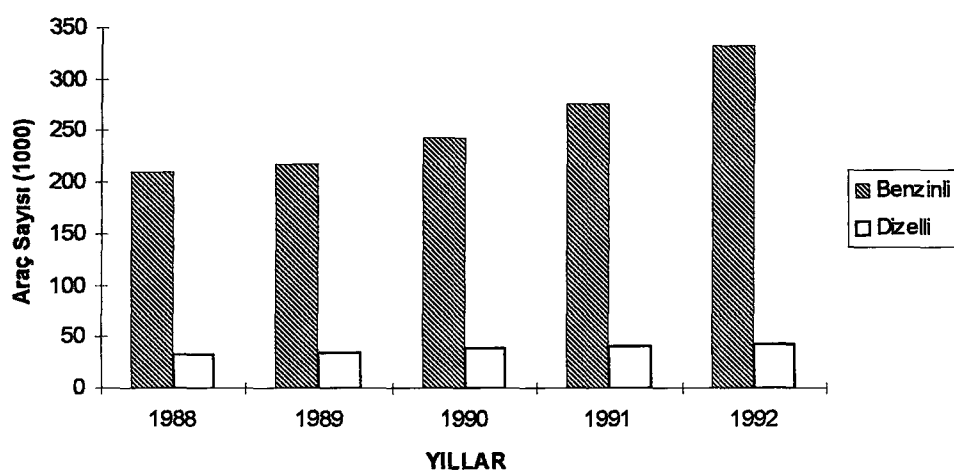
2.4.3 Motorlu Araçlar

Emisyon kaynakları arasında şüphesiz en önemlilerinden biri de trafik ya da çizgisel kaynaklardır. 1988-1992 yıllarındaki motorlu araç sayısı Tablo 2.4.3.1'de gösterilmiştir. Bu veriler Ankara ili toplamı olup Büyükşehir Belediye sınırları

dışındaki araçları da kapsamaktadır. Ankara Büyükşehir Belediyesi sınırları dahilinde yer alan ana arterler; güney-kuzey yönünde Konya Yolu, doğu-batı yönünde İstanbul, Samsun ve Eskişehir Yolu'dur. Önemli bulvar ve caddeler ise; Atatürk Bulvarı, İnönü Bulvarı, İrfan Baştığı Caddesi, Cumhuriyet Bulvarı, Dikmen Caddesi, Mamak Caddesi, Dogol Caddesi, Plevne Caddesi, Çiftlik Caddesi, Cemal Gürsel caddesi, İvedik caddesi, Ziya Gökalp Caddesi, Mithatpaşa Caddesi, Gençlik Caddesi, Çankırı Caddesi, Anafartalar Caddesi, Tandoğan Caddesi, İskitler Caddesi ve Celal Bayar Bulvarı'dır. Şekil 2.4.3.1'de benzinli araç sayısında sürekli bir artış gözlenirken dizelli araç sayısı artışının az olduğu görülmektedir (ODTÜ, 1993).

Tablo 2.4.3.1 Ankara ilindeki motorlu araç sayısı (ODTÜ, 1993)

YILLAR	Motorlu Araçlar		TOPLAM
	Benzinli	Dizelli	
1988	210 870	32 608	243 478
1989	217 388	34 786	252 174
1990	243 478	39 130	282 608
1991	276 086	41 304	317 390
1992	331 608	42 071	373 679



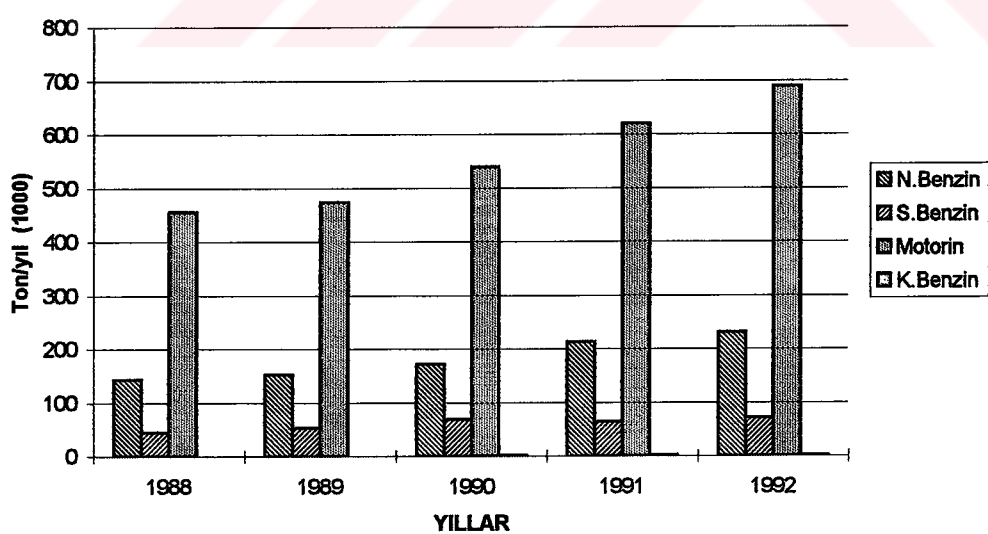
Şekil 2.4.3.1 Ankara ilindeki motorlu araç sayısı (ODTÜ, 1993)

1988-1992 yıllarında Ankara'da tüketilen akaryakıt miktarı Tablo 2.4.3.2'de verilmiştir. 1992 yılında Ankara'da toplam 989420 ton akaryakıt tüketilmiştir. Bu miktarın %70'i motorin, %23'ü normal benzin, %7'si süper benzin, %0.07'si de kurşunsuz benzindir. Toplam motorin kullanımı büyük hızla artarken normal ve süper benzin tüketiminde daha az artış olduğu, kurşunsuz benzin tüketiminin ise oldukça az olduğu görülmektedir (Şekil 2.4.3.2).

Tablo 2.4.3.2 Ankara ilinde motorlu araçlarda tüketilen yıllık akaryakıt miktarı.

AKARYAKIT(ton)		YILLAR				
		1998	1989	1990	1991	1992
Benzin	Normal	142 765	151 703	171 370	211 915	229 485
	Süper	44 811	52 878	67 714	62 924	70 216
	Kurşunsuz	*	*	699	668	690
Motorin		445 554	472 747	539 366	618 629	689 028
TOPLAM		643 130	677 328	779 149	894 136	989 419

Not: (*) Bu yıllarda kurşunsuz benzin satışı yok.



Şekil 2.4.3.2 Ankara ilinde motorlu araçlarda tüketilen yıllık akaryakıt miktarı.

Benzinli ve dizelli araçlardan kaynaklanan yıllık emisyon miktarları ve yüzdeleri Tablo 2.4.3.3'de verilmiştir. SO₂ emisyonunun %58'i benzinli, %42'si dizelli araçlardan, partikül maddenin ise %35'i benzinli, %65'i ise dizelli araçlardan kaynaklanmaktadır. 1992 yılında yapılan çalışma sonucunda hazırlanan kirlilik haritalarında; en yoğun CO, NOx ve hidrokarbon seviyeleri Atatürk Bulvarı ve İnönü Bulvarı'nda görülmüştür (ODTÜ, 1993).

Tablo 2.4.3.3 Araçlardan kaynaklanan yıllık emisyon miktarları ve Yüzdeleri (ODTÜ, 1993).

ARAÇLAR	Yakıt (t/yıl) (%)	EMİSYONLAR					
		CO (t/yıl) (%)	NOx (t/yıl) (%)	Hidrokarbon (t/yıl) (%)	SO ₂ (t/yıl) (%)	PM (t/yıl) (%)	Kurşun (t/yıl)
Benzinli	92336 (60)	17932 (93)	2305 (39)	2269 (69)	473 (58)	38 (35)	13
Dizelli	62250 (40)	1459 (7)	3642 (61)	1007 (31)	335 (42)	70 (65)	1.9
TOPLAM	154616	19391	5947	3276	808	108	14.9

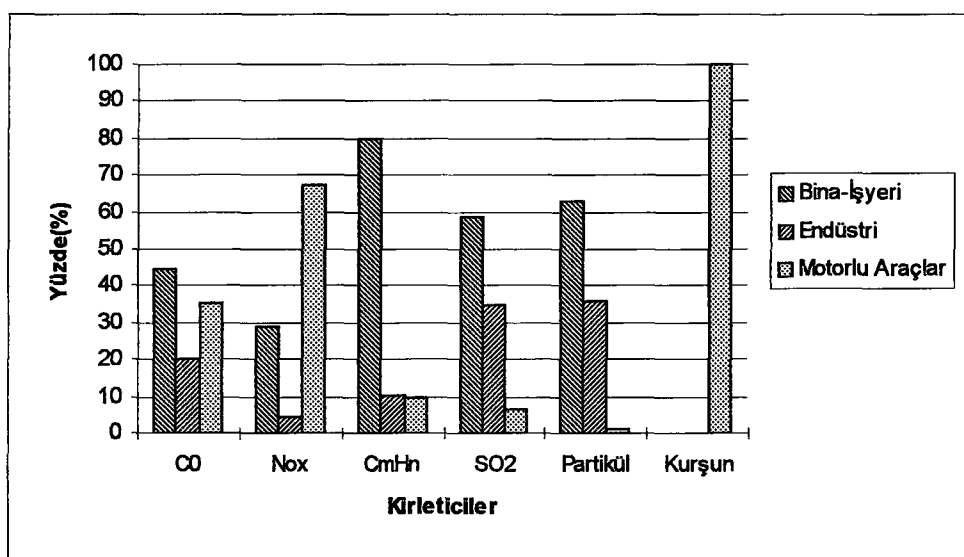
2.4.4.Toplam Emisyon Miktarı

Toplam emisyon miktarlarından, CO emisyonunun %44.6'sı bina-işyerlerinden, %35.4'ü motorlu araçlardan ve %20'si endüstriden, SO₂ emisyonunun %58.7'si bina-işyerlerinden, %34.6'sı endüstriden ve %6.7'si motorlu araçlardan, partikül maddenin ise %63.1'i bina ve işyerlerinden %35.7'si endüstriden kaynaklandığı Tablo 2.4.4.1 ve Şekil 2.4.4.1'de görülmektedir (ODTÜ, 1993).

Tablo 2.4.4.1 Toplam emisyon miktarının kaynaklara göre dağılımı (ODTÜ, 1993)

KAYNAKLAR	EMİSYONLAR(%)					
	SO ₂	PM	CO	NOx	CmHn	Kurşun
Bina ve işyeri	58.7	63.1	44.6	28.6	80	-
Endüstri	34.6	35.7	20	4.2	10.3	-
Motorlu araçlar	6.7	1.2	35.4	67.2	9.7	100

Sonuç olarak; kirliliğin ve özellikle SO₂ ve PM emisyonlarının asıl kaynağının ıslıtma amaçlı kullanılan yakıtlar olduğu görülmektedir.



Şekil 2.4.4.1. Toplam kirleticilerin kaynaklara göre dağılımı (ODTÜ, 1993)

BÖLÜM 3

HAVA KİRLİLİĞİ EPİSODLARININ SINIFLANDIRILMASI

3.1 Giriş

Hava kalitesine yönelik sınıflandırmalar içerisinde episod denilen etkin kriterler önde gelmektedir. Şehirsel hava kirliliği olaylarının incelenmesinde episod olayları ve bunların meydana gelmesine zemin hazırlayan meteorolojik koşulların belirlenmesi gereklidir. Bu bilgi, hava kirliliği ile ilgili önlemlerin alınmasında önemli yararlar sağlayacaktır (İncecik, 1995).

Yakıt ve benzerlerinin yanmasıyla; sentez, ayrışma, buharlaşma ve benzeri işlemlerle; maddelerin yiğilması, ayrılması, taşınması, ve bu gibi diğer mekanik işlemler sonucu bir tesisten atmosfere yayılan hava kirleticiler emisyon olarak tanımlanmaktadır.

İnsan sağlığının korunması, çevrede, kısa ve uzun vadeli olumsuz etkilerin ortaya çıkılmaması için atmosferdeki hava kirleticilerin, bir arada bulunduklarında, değişen zararlı etkileri de gözönüne alınarak tespit edilmiş konsantrasyon birimleriyle ifade edilen seviyeler hava kalitesi sınır değerleri olarak tanımlanır. Bu değerlerden, aşılmaması gereken, bütün ölçüm sonuçlarının aritmetik ortalaması olan değerler uzun vadeli sınır değerler (UVS) olarak, maksimum günlük ortalama değerler veya istatistik olarak bütün ölçüm sonuçları sayısal değerlerin büyüklüğüne göre dizildiğinde, ölçüm sonuçlarının %95'ini aşmaması gereken değerler ise kısa vadeli sınır değerler (KVS) olarak tanımlanır. Farklı olarak, çöken tozlar için aşılmaması gereken maksimum aylık ortalama değerdir (HKKY). UVS ve KVS değerler için öngörülen süreler genellikle 1 yıllık peryodları kapsar. SO₂ ve PM hava kirleticileri için uyulması gereken uzun ve kısa vadeli sınır değerler Tablo 3.1.1'de verilmiştir.

Tablo 3.1.1 SO₂ ve PM hava kirleticileri için uyulması gereken sınır değerler (HKKY).

Kirleticiler	Sınır Değerler	
	UVS	KVS
Kükürt Dioksit (SO ₂)	250 µg/m ³	400 µg/m ³
Partikül Madde(PM)	200 µg/m ³	300 µg/m ³

3.2. Data

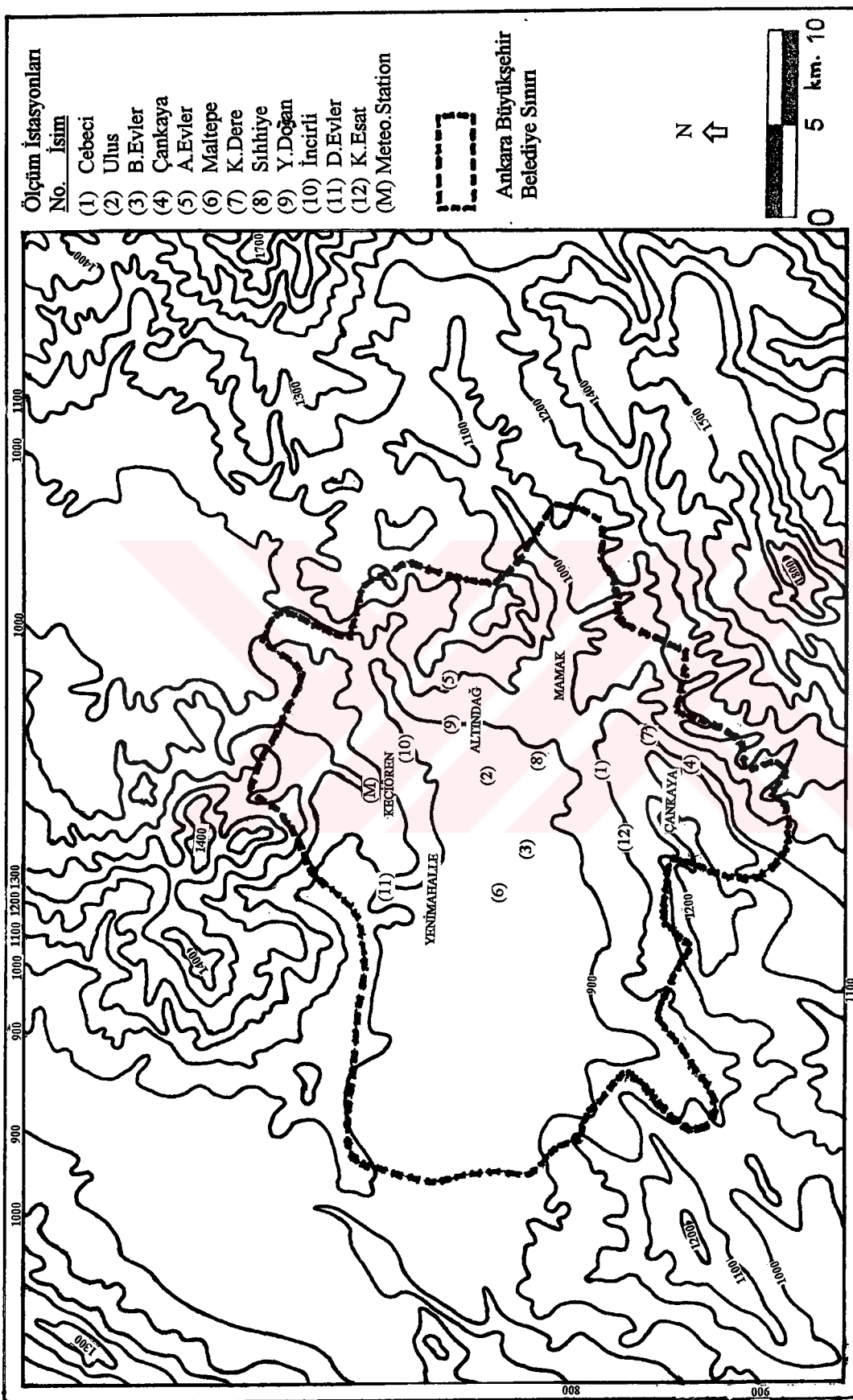
Çalışma döneminde meydana gelen episodları tespit etmek ve sınıflandırmak için Sağlık Bakanlığı, Refik Saydam Hıfzıssıhha Araştırma Merkezi'nden Ankara'da hava kirliliği ölçümü yapılan istasyonlara ait günlük ortalama SO₂ ve PM verileri temin edilmiştir.

Bu çalışma döneminde (Ekim 1989-Mart 1994), Nisan 1990-Eylül 1991 arası hariç daima 8 istasyonda sürekli olarak SO₂ ve PM imisyon ölçümleri yapılmıştır. Cebeci, Sıhhiye, Bahçelievler ve Çankaya istasyonları değişmemiştir, ancak 1991-Ekim ayından itibaren Aydınlıkevler, Maltepe, Kavaklıdere ve Ulus istasyonları yerine Küçükkesat, Demetevler, İncirli ve Yenidoğan istasyonlarında ölçüm yapılmıştır (Tablo 3.2.1). 1991 Ekim ayında 4 istasyonun yeri değiştiği için ölçüm tarihleri iki dönem şeklinde sınıflandırılmıştır.

SO₂ ve PM imisyon ölçümü yapılan istasyonlardan; Çankaya şehrin güneyinde, Maltepe, Ulus, Bahçelievler ve Sıhhiye şehir merkezinde, Cebeci şehrin doğusunda, Aydınlıkevler şehrin kuzeydoğusunda, Kavaklıdere şehir merkezinin güneyinde, Küçükkesat şehrin güneybatısında, Demetevler şehrin kuzeybatısında, İncirli şehrin kuzeyinde ve Yenidoğan şehrin kuzeydoğusunda yer almaktadır (Şekil 3.2.1).

Tablo 3.2.1 Ankara'da hava kirliliği ölçüm istasyonları.

I.Dönem		II.Dönem	
İstasyon Adı	Ölçüm Tarihleri	İstasyon Adı	Ölçüm Tarihleri
Cebeci	1989(Ekim)-1994(Mart)	Cebeci	1989(Ekim)-1994(Mart)
Ulus	1989(Ekim)-1991(Ekim)	Yenidoğan	1991(Ekim)-1994(Mart)
B.Evler	1989(Ekim)-1994(Mart)	B.Evler	1989(Ekim)-1994(Mart)
Çankaya	1989(Ekim)-1994(Mart)	Çankaya	1989(Ekim)-1994(Mart)
A.Evler	1989(Ekim)-1990(Mart)	İncirli	1991(Ekim)-1994(Mart)
Maltepe	1989(Ekim)-1991(Ekim)	Demetevler	1991(Ekim)-1994(Mart)
K.Dere	1989(Ekim)-1991(Ekim)	Küçükkesat	1991(Ekim)-1994(Mart)
Sıhhiye	1989(Ekim)-1994(Mart)	Sıhhiye	1989(Ekim)-1994(Mart)



Şekil 3.2.1 Ankara'nın topografik haritası ve ölçüm istasyonlarının yerleri

3.3. Episodların Tespiti ve Sınıflandırılması

Bu bölümde, Ekim 1989-Mart 1994 tarihleri arasındaki beş kiş mevsimine (Ekim-Mart) ait toplam 30 ayın imisyon verileri değerlendirilerek Ankara'da meydana gelmiş olan episodlar tespit edilmiş ve sınıflandırılmıştır. Bu değerlendirmede aşağıdaki metod izlenmiştir.

- 1- Önce episod kriteri belirlenmiştir. Hava kalitesi standart tanımına dayanarak episodların tespitinde şu kriter uygulanmıştır: SO_2 veya PM 'den birinin, 24 saatlik periyotta en az iki ölçme istasyonunda en az iki gün süren bir olayda Tablo 3.1.1'de belirtilen dış hava kalite sınırlarını (UVS) aşması hava kirliliği episodu kriteri olarak belirlenmiştir.
- 2- Yukarıda belirtilen kriter çerçevesinde istasyon bazında SO_2 konsantrasyonunda $250 \mu\text{g}/\text{m}^3$ 'ü, PM konsantrasyonunda ise $200 \mu\text{g}/\text{m}^3$ 'ü aşan günler tespit edilmiştir. İstasyon bazında sınır değerleri aşan günlerin sayısı Tablo 3.3.1'de verilmiştir. Bu tabloya bakıldığında SO_2 sınır değerler en fazla Bahçelievler, Kavaklıdere, Maltepe ve Çankaya istasyonlarında, PM sınır değerler ise en fazla Bahçelievler, Ulus ve Cebeci istasyonlarında aşıldığı görülmektedir. Ayrıca, istasyonlardaki aylık ortalama SO_2 ve PM değerleri hesaplanmış ve en yüksek değerlerin genellikle sınır değerleri en fazla aşan istasyonlarda meydana geldiği görülmüştür (Tablo 3.3.2). Burada, Çankaya'daki yüksek konsantrasyon olmasının nedeni kentin merkezi yönünden taşınan kirleticilerden kaynaklanmaktadır, Kavaklıdere, Bahçelievler ve Maltepe'deki yüksek konsantrasyon olmasının nedeni ise bu istasyonların topografik olarak çanak konumunda olan Ankara'nın merkezinde yer almasıdır (JICA, 1985).
- 3- İstasyon bazında episod kriteri çerçevesinde tespit yapıldıktan sonra;
 - a) SO_2 konsantrasyonunda $250 \mu\text{g}/\text{m}^3$ ve $400 \mu\text{g}/\text{m}^3$ 'ü aşan günler,
 - b) PM konsantrasyonunda $200 \mu\text{g}/\text{m}^3$ ve $300 \mu\text{g}/\text{m}^3$ 'ü aşan günler,şeklinde sınıflandırma yapılarak episodlar belirlenmiştir. Burada; $\text{SO}_2 \geq 250 \mu\text{g}/\text{m}^3$ için 2-21 gün süren toplam 42 adet (toplam 243 gün), $\text{SO}_2 \geq 400 \mu\text{g}/\text{m}^3$ için 2-10 gün süren toplam 26 adet (toplam 93 gün), $\text{PM} \geq 200 \mu\text{g}/\text{m}^3$ için 2-11 gün süren toplam 40 adet (toplam 135 gün) ve $\text{PM} \geq 300 \mu\text{g}/\text{m}^3$ için 2-5 gün süren toplam 9

Tablo 3.3.1 Ölçüm istasyonlarında episod günlerini ($\text{SO}_2 \geq 250 \mu\text{g}/\text{m}^3$ ve $400 \mu\text{g}/\text{m}^3$, $\text{PM} \geq 200 \mu\text{g}/\text{m}^3$ ve $300 \mu\text{g}/\text{m}^3$) aşan günlerin sayısı

S T A S Y O N L A R											
YIL	Ay	Çebeci		Ulus		Bahçelievler		Çankaya		Aydınlikler	
		SO ₂	PM	SO ₂	PM	SO ₂	PM	SO ₂	PM	SO ₂	PM
1989	Aralık	19	7	11	5	11	12	5	24	16	9
	Ocak	25	14	8	19	11	16	8	27	14	22
	Şubat	10	3	2	0	13	2	6	1	24	8
	Mart	15	1	0	0	8	0	9	0	14	4
1990	Ekim	0	0	0	0	1	0	5	1	2	0
	Kasım	6	1	5	1	2	1	7	12	6	1
	Aralık	19	7	11	5	11	1	12	13	7	8
	Ocak	25	14	15	8	19	11	16	8	27	14
1991	Şubat	5	0	1	0	9	0	16	9	17	6
	Mart	13	0	0	0	8	0	14	4	0	1
	Ekim	0	0	0	0	1	0	5	1	2	0
	Kasım	5	0	1	0	9	1	8	0	15	8
1992	Aralık	8	1	5	0	7	2	7	1	14	7
	Ocak	13	0	7	0	11	2	9	4	18	6
	Şubat	5	0	1	0	10	0	14	5	0	1
	Mart	0	0	0	0	0	0	2	0	0	0
Toplam		106	27	47	14	90	20	81	18	186	88

S T A S Y O N L A R											
YIL	Ay	Çebeci		Yenimahalle		Bahçelievler		Çankaya		İncirli	
		SO ₂	PM	SO ₂	PM	SO ₂	PM	SO ₂	PM	SO ₂	PM
1993	Aralık	8	2	3	0	6	0	2	0	14	7
	Ocak	15	3	11	3	23	4	7	1	13	8
	Şubat	7	1	5	1	11	6	1	8	0	1
	Mart	10	1	0	0	0	0	0	0	1	0
1994	Ekim	0	0	6	0	6	0	7	4	0	0
	Kasım	0	0	10	6	0	0	0	0	7	6
	Aralık	0	0	12	2	1	0	1	1	2	1
	Ocak	0	0	6	0	7	0	0	0	0	0
Toplam		40	7	73	23	60	11	48	11	46	10

Not: (*) Veri yoktur.

Tablo 3.3.2 İstasyonlardaki aylık ortalama SO₂ ve PM değerleri ($\mu\text{g}/\text{m}^3$).

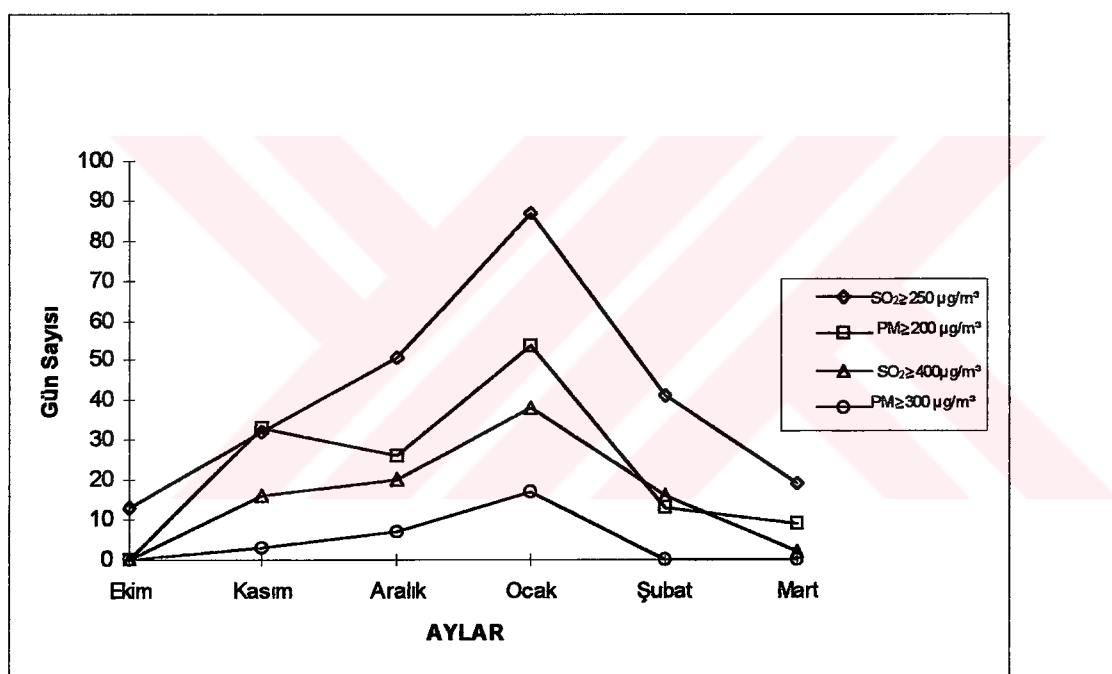
YIL	Ay	İSTASYONLAR (I.Dönem)																	
		Cebeci		Ulus		B.Evler		Çankaya		A.Evler		Maltepe		K.Dere		Sıhhiye			
		SO ₂	PM	SO ₂	PM	SO ₂	PM	SO ₂	PM	SO ₂	PM	SO ₂	PM	SO ₂	PM	SO ₂	PM	SO ₂	PM
1989	Ekim	107	97	99	123	221	128	180	66	55	97	151	100	162	120	135	116		
	Kasım	163	115	202	154	312	154	307	91	127	130	266	130	268	105	243	127		
	Aralık	298	182	299	217	446	258	348	203	242	160	307	183	327	194	284	167		
1990	Ocak	399	240	353	266	384	270	503	229	194	195	379	225	412	233	356	197		
	Şubat	270	119	271	169	376	179	318	103	191	124	331	129	316	143	295	127		
	Mart	235	109	205	161	269	133	231	97	136	133	260	128	321	155	258	129		
	Ekim	70	77	69	100	128	115	112	55	*	*	97	95	104	85	93	96		
	Kasım	185	117	195	174	321	185	203	74	*	*	308	155	295	112	214	157		
	Aralık	206	111	205	148	281	125	258	76	*	*	308	111	276	99	224	101		
1991	Ocak	248	137	206	170	325	168	283	93	*	*	352	146	368	100	281	120		
	Şubat	177	111	215	124	274	91	202	78	*	*	242	93	275	61	257	88		
	Mart	110	78	134	96	154	71	142	60	*	*	161	81	164	54	165	79		

YIL	Ay	İSTASYONLAR (II.Dönem)																	
		Cebeci		Yenidoğan		B.Evler		Çankaya		İncirli		D.Evler		KÜçükkesat		Sıhhiye			
		SO ₂	PM	SO ₂	PM	SO ₂	PM	SO ₂	PM	SO ₂	PM	SO ₂	PM	SO ₂	PM	SO ₂	PM	SO ₂	PM
1991	Ekim	*	*	*	*	*	*	*	*	*	*	*	*	*	*	*	*	*	*
	Kasım	127	179	161	142	211	146	147	105	70	181	114	160	147	153	125	158		
	Aralık	185	119	184	91	207	74	163	68	186	167	162	80	168	92	210	85		
1992	Ocak	278	176	296	154	246	110	283	135	304	159	310	171	279	141	240	158		
	Şubat	197	131	264	133	218	96	198	90	264	133	225	122	218	103	247	117		
	Mart	113	77	153	91	122	68	85	64	136	94	127	75	120	72	123	78		
	Ekim	*	*	*	*	*	*	*	*	*	*	*	*	*	*	*	*	*	*
	Kasım	*	*	*	*	*	*	*	*	*	*	*	*	*	*	*	*	*	*
	Aralık	121	92	116	75	108	70	141	58	88	100	108	63	94	91	161	45		
1993	Ocak	215	192	216	173	185	123	201	138	*	*	203	172	199	177	226	170		
	Şubat	114	97	135	72	100	45	103	57	*	*	105	65	101	90	127	90		
	Mart	92	83	104	72	77	47	58	38	*	*	83	73	73	66	94	77		
	Ekim	40	116	41	82	31	87	41	57	*	*	31	87	52	95	53	96		
	Kasım	69	164	77	128	81	125	57	80	*	*	64	137	84	153	98	111		
	Aralık	106	172	103	137	99	114	65	82	130	166	100	165	104	138	137	163		
1994	Ocak	115	159	174	125	88	95	80	77	143	163	123	131	93	96	95	138		
	Şubat	115	141	155	95	78	79	82	58	128	114	138	95	84	73	109	98		
	Mart	84	103	97	66	89	67	77	44	92	99	90	70	83	54	108	79		

Not: (*) Veri yok.

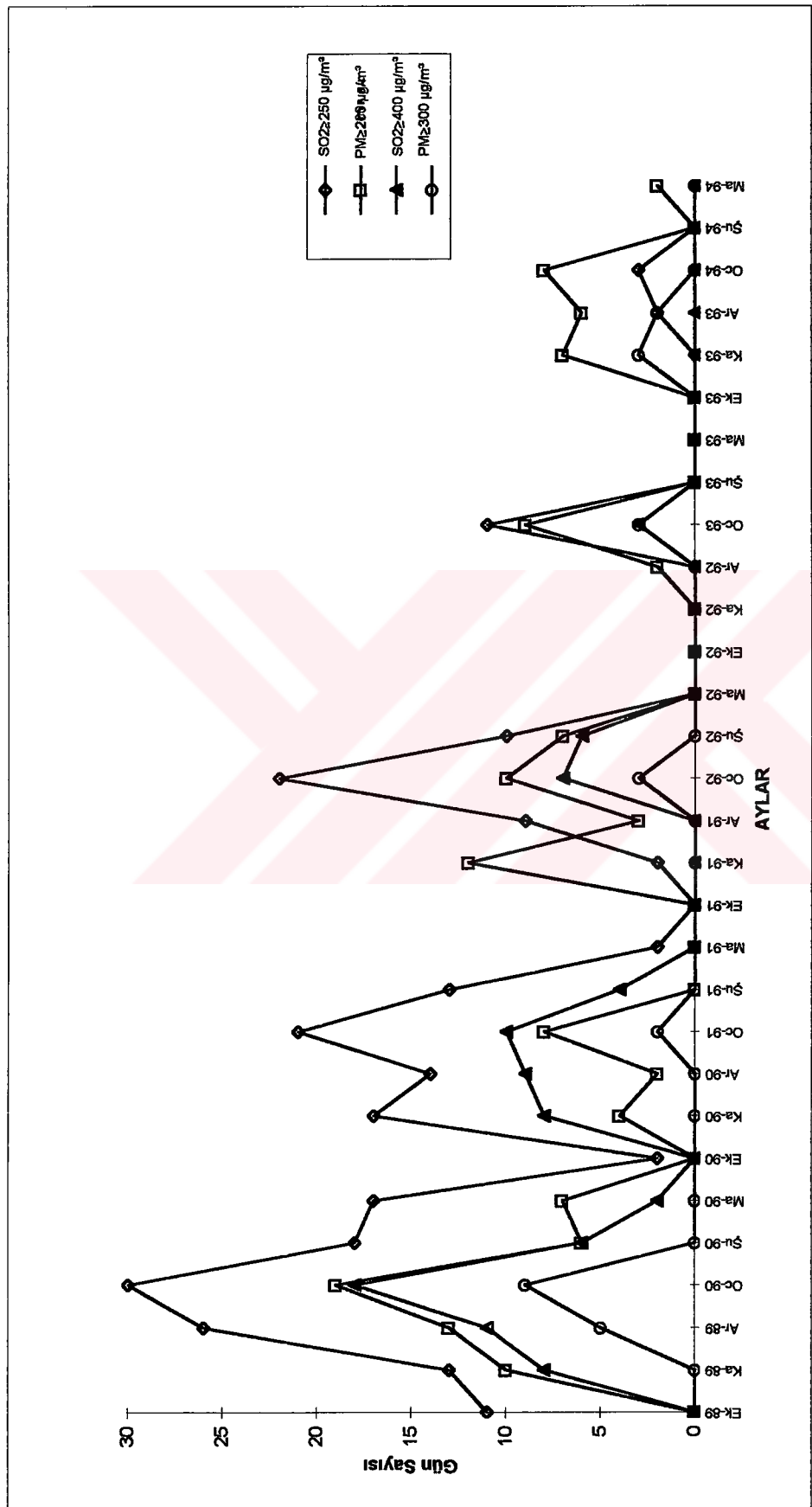
adet (toplam 27 gün) hava kirliliği episodu meydana geldiği tespit edilmiştir (Tablo 3.3.3 ve Tablo 3.3.4).

Episodlar süre(gün sayısı) olarak en fazla Ocak aylarında, en az ise Ekim aylarında meydana gelmiştir (Şekil 3.3.1a-b). Bu durum şöyle açıklanabilir: Ocak ayı diğer aylara göre daha düşük sıcaklığa sahip olması nedeniyle daha fazla yakıt tüketilmesi ve meteorolojik parametrelerin bu ayda hava kirliliğinin artmasına neden olabilecek özelliklere sahip olmasıdır. Kış mevsimleri içerisinde ise Ekim'89-Mart'90 döneminde en fazla episod meydana gelmiş ve mevsimlere göre giderek azalma görülmektedir (Şekil 3.3.2). Kış dönemlerine göre azalmanın meydana gelmesinin birinci nedeni ise Ankara'da doğal gazın 1990 yılından itibaren kullanımının yaygınlaşması ve ithal kömür kullanılmasıdır.

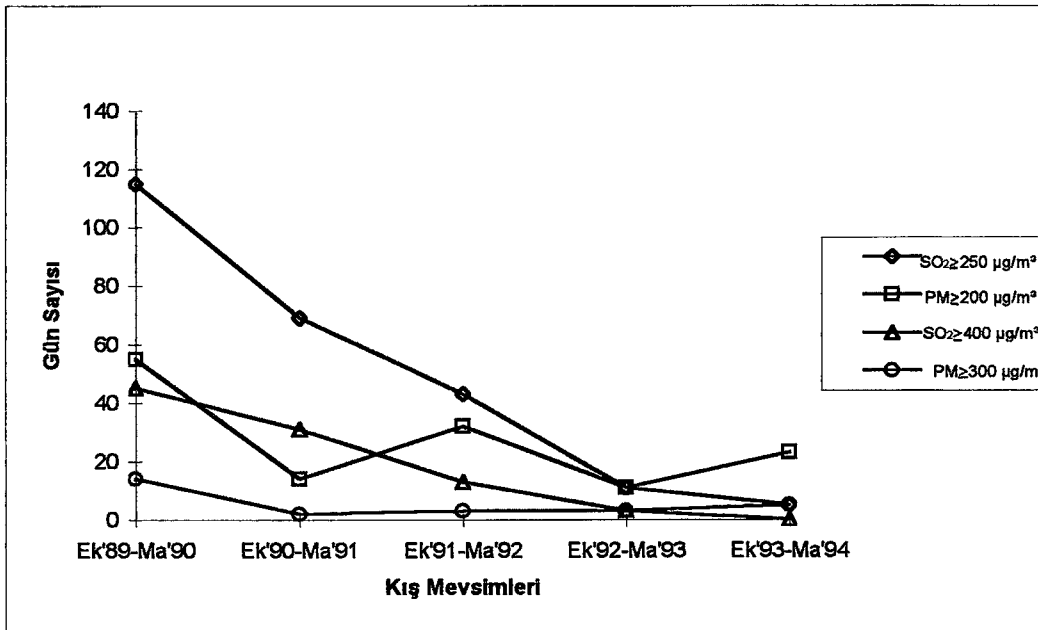


Şekil 3.3.1a Kış mevsimi aylarına göre toplam episod gün sayısı.

Episodlar devamlılık sürelerine göre sınıflandırılmıştır (Tablo 3.3.5). Tabloda da görüleceği üzere; $\text{SO}_2 \geq 250 \mu\text{g}/\text{m}^3$ episodlarının 12'si (%28.6), $\text{SO}_2 \geq 400 \mu\text{g}/\text{m}^3$ episodlarının 12'si (%46.2), $\text{PM} \geq 200 \mu\text{g}/\text{m}^3$ episodlarının 21'i (%52.5) ve $\text{PM} \geq 300 \mu\text{g}/\text{m}^3$ episodlarının ise 4'ü (%44.4) ikişer gün sürmüştür. Birer defa olmak üzere en fazla devamlılık süreleri; $\text{SO}_2 \geq 250 \mu\text{g}/\text{m}^3$ de 21 gün, $\text{SO}_2 \geq 400 \mu\text{g}/\text{m}^3$ de 10 gün, $\text{PM} \geq 200 \mu\text{g}/\text{m}^3$ de 11 gün ve $\text{PM} \geq 300 \mu\text{g}/\text{m}^3$ de ise 5 gün meydana gelmiştir.



Sekil 3.3.1b Episoddarın aylık dağılımı



Şekil 3.3.2. Kış mevsimlerine göre toplam episod gün sayısı.

Tablo 3.3.5 Devamlılık sürelerine göre episodların sınıflandırılması

Episodlar	Devamlılık Süreleri (gün)													Toplam Episod
	2	3	4	5	6	7	8	9	10	11	12	15	21	
$\text{SO}_2 \geq 250 \mu\text{g}/\text{m}^3$	12	7	3	3	1	1	3	6	2	-	2	1	1	42
$\text{SO}_2 \geq 400 \mu\text{g}/\text{m}^3$	12	4	4	2	2	-	1	-	1	-	-	-	-	26
$\text{PM} \geq 200 \mu\text{g}/\text{m}^3$	21	8	3	1	1	5	-	-	-	1	-	-	-	40
$\text{PM} \geq 300 \mu\text{g}/\text{m}^3$	4	3	-	2	-	-	-	-	-	-	-	-	-	9

Episodların aylara ve kış mevsimlerine göre frekans ve devamlılık süreleri de ayrı ayrı grafiksel olarak hazırlanmıştır (Şekil A.1-A.8). Devamlılık süresi açısından değerlendirme yapıldığında; SO_2 ($250 \mu\text{g}/\text{m}^3$ ve $400 \mu\text{g}/\text{m}^3$) ve PM ($200 \mu\text{g}/\text{m}^3$ ve $300 \mu\text{g}/\text{m}^3$)’de en fazla devamlılık süresinin 1990 Ocak ayında ve Ekim 1989-Mart 1990 kış mevsiminde meydana geldiği görülmektedir.

Tablo.3.3.3 PM episodlarının tarihleri ve devamlılık süreleri (*)

PM $\geq 200 \mu\text{g}/\text{m}^3$			PM $\geq 300 \mu\text{g}/\text{m}^3$		
Episod No(**)	Episod Tarihi	Devamlılık Süresi	Episod No(**)	Episod Tarihi	Devamlılık Süresi
E2P01	01-07/11/1989	7			
E2P02	20-22/11/1989	3			
E2P03	05-06/12/1989	2			
E2P04	15-21/12/1989	7	E3P01	15-19/12/1989	5
E2P05	25-29/12/1989	2			
E2P06	28-29/12/1989	2			
E2P07	06-16/01/1990	11	E3P02	08-09/01/1990	2
E2P08	18-20/01/1990	3	E3P03	11-15/01/1990	5
E2P09	26-28/01/1990	3	E3P04	18-19/01/1990	2
E2P10	30-31/01/1990	2			
E2P11	01-02/02/1990	2			
E2P12	08-09/02/1990	2			
E2P13	25-26/02/1990	2			
E2P14	02-03/03/1990	2			
E2P15	07-09/03/1990	3			
E2P16	13-14/03/1990	2			
E2P17	14-17/11/1990	4			
E2P18	19-20/12/1990	2			
E2P19	01-02/01/1991	2			
E2P20	04-09/01/1991	6	E3P05	06-07/01/1991	2
E2P21	06-08/11/1991	3			
E2P22	11-12/11/1991	2			
E2P23	20-26/11/1991	7			
E2P24	16-18/12/1991	3			
E2P25	04-06/01/1992	3	E3P06	04-06/01/1992	3
E2P26	20-22/01/1992	3			
E2P27	24-25/01/1992	2			
E2P28	27-28/01/1992	2			
E2P29	09-15/02/1992	7			
E2P30	11-12/12/1992	2			
E2P31	14-20/01/1993	7	E3P07	18-20/01/1993	3
E2P32	25-26/01/1993	2			
E2P33	03-07/11/1993	5	E3P08	04-06/11/1993	3
E2P34	23-24/11/1993	2			
E2P35	20-21/12/1993	2			
E2P36	23-26/12/1993	4	E3P09	23-24/12/1993	2
E2P37	07-08/01/1994	2			
E2P38	17-18/01/1994	2			
E2P39	24-27/01/1994	4			
E2P40	01-02/03/1994	2			
40 episod		135 gün	9 episod		27 gün

Not: (*) Sıralandırmada episodların meydana geliş tarihleri göz önünde bulundurulmuştur

(**) "E2P01" ve "E3P01" ifadelerinde E harfi Episodu, 2 ve 3 rakamı sırasıyla $200 \mu\text{g}/\text{m}^3$ ve $300 \mu\text{g}/\text{m}^3$ 'ü, P harfi PM'yi ve 01 rakamı ise sıra numarasını göstermektedir.

Tablo.3.3.4 SO₂ episodlarının tarihleri ve devamlılık süreleri (*)

SO ₂ ≥ 250 µg/m ³			SO ₂ ≥ 400 µg/m ³		
Episod No(**)	Episod Tarihi	Devamlılık Süresi	Episod No(**)	Episod Tarihi	Devamlılık Süresi
E2S01	20-28/10/1989	9			
E2S02	30-31/10/1989	2			
E2S03	01-08/11/1989	8	E4S01	01-05/11/1989	5
E2S04	19-23/11/1989	5	E4S02	20-22/11/1989	3
E2S05	01-09/12/1989	9	E4S03	01-02/12/1989	2
			E4S04	05-07/12/1989	3
E2S06	14-22/12/1989	9	E4S05	14-19/12/1989	6
E2S07	24-31/12/1989	8			
E2S08	01-21/01/1990	21	E4S06	06-15/01/1990	10
			E4S07	18-19/01/1990	2
E2S09	23-31/01/1990	9	E4S08	25-28/01/1990	4
			E4S09	30-31/01/1990	2
E2S10	05-13/02/1990	9	E4S10	06-09/02/1990	4
E2S11	19-27/02/1990	9	E4S11	25-26/02/1990	2
E2S12	02-03/03/1990	2	E4S12	02-03/03/1990	2
E2S13	05-10/03/1990	6			
E2S14	12-15/03/1990	4			
E2S15	17-18/03/1990	2			
E2S16	24-26/03/1990	3			
E2S17	27-28/10/1990	2			
E2S18	12-26/11/1990	15	E4S13	14-21/11/1990	8
E2S19	28-29/11/1990	2			
E2S20	10-12/12/1990	3	E4S14	11-12/12/1990	2
E2S21	18-20/12/1990	3	E4S15	19-20/12/1990	2
E2S22	24-31/12/1990	8	E4S16	27-31/12/1990	5
E2S23	01-12/01/1991	12	E4S17	01-02/01/1991	2
			E4S18	04-07/01/1991	4
			E4S19	09-10/01/1991	2
E2S24	18-21/01/1991	4			
E2S25	27-31/01/1991	5	E4S20	27-28/01/1991	2
E2S26	01-10/02/1991	10	E4S21	05-08/02/1991	4
E2S27	13-15/02/1991	3			
E2S28	15-16/03/1991	2			
E2S29	23-24/11/1991	2			
E2S30	05-06/12/1991	2			
E2S31	14-18/12/1991	5			
E2S32	20-21/12/1991	2			
E2S33	04-07/01/1992	4	E4S22	04-06/02/1992	3
E2S34	11-13/01/1992	3			
E2S35	15-17/01/1992	3			

Tablo.3.3.4 (devam)

$\text{SO}_2 \geq 250 \mu\text{g}/\text{m}^3$			$\text{SO}_2 \geq 400 \mu\text{g}/\text{m}^3$		
Episod No(**)	Episod Tarihi	Devamlılık Süresi	Episod No(**)	Episod Tarihi	Devamlılık Süresi
E2S36	20-31/01/1992	12	E4S23	24-25/01/1992	2
E2S37	08-17/02/1992	10	E4S24	27-28/01/1992	3
E2S38	11-12/01/1993	2	E4S25	09-14/02/1992	6
E2S39	14-20/01/1993	7	E4S26	18-20/01/1993	3
E2S40	25-26/01/1993	2			
E2S41	23-24/12/1993	2			
E2S42	25-27/01/1994	3			
42 episod		243 gün	26 episod		93 gün

Not: (*) Sıralandırmada episodların meydana geliş tarihleri göz önünde bulundurulmuştur

(**) "E2S01" ve "E4S01" ifadelerinde E harfi Episodu, 2 ve 4 rakamı sırasıyla $250 \mu\text{g}/\text{m}^3$ ve $400 \mu\text{g}/\text{m}^3$ 'ü, S harfi SO_2 'yi ve 01 rakamı ise sıra numarasını göstermektedir.

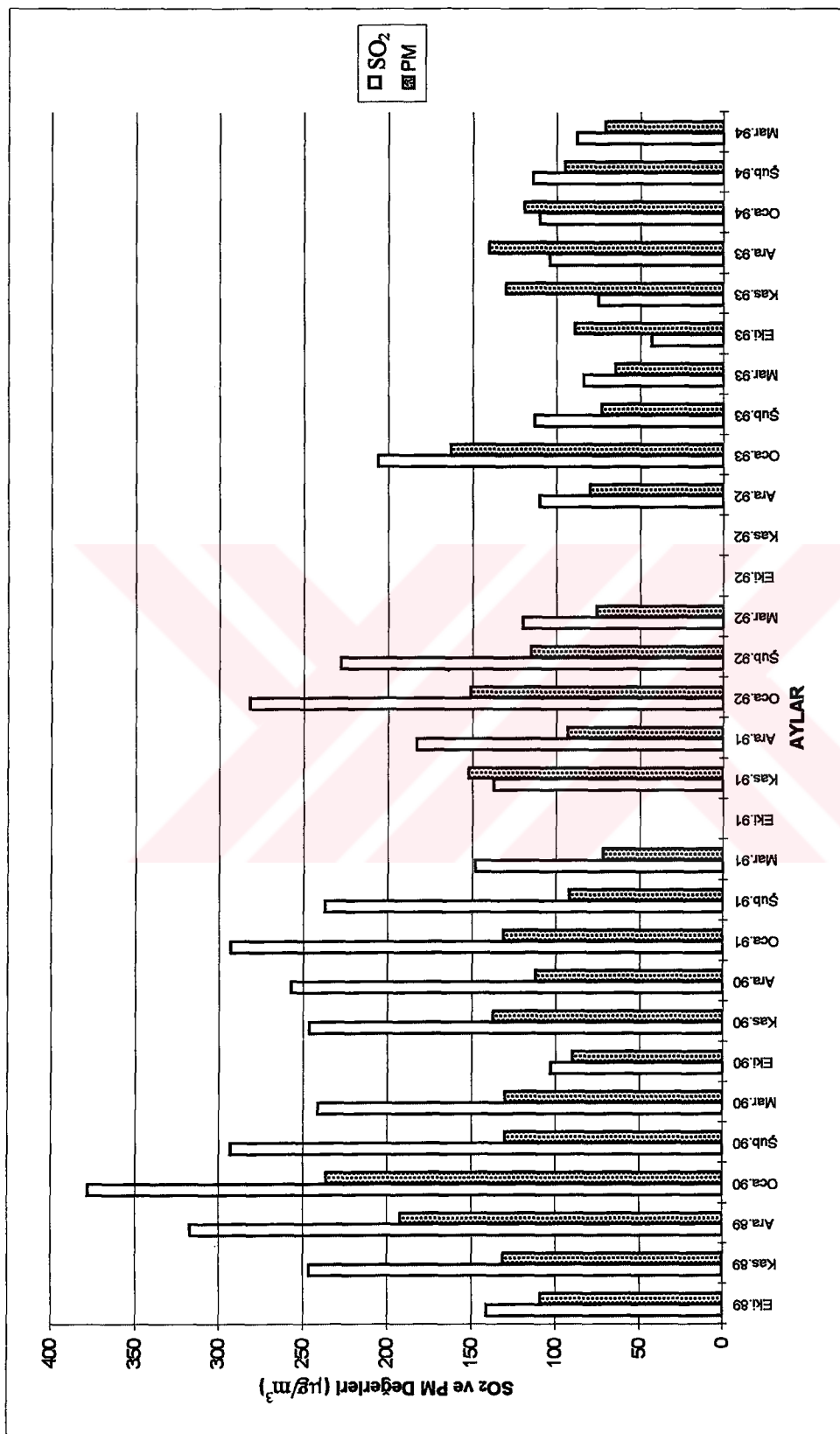
Ayrıca, çalışma dönemi kapsamındaki aylık, yıllık ve kış mevsimlerine(Ekim-Mart) göre ortalama SO_2 ve PM değerleri hesaplanmıştır (Tablo 3.3.6). SO_2 'de en yüksek aylık ortalama değerlerin Ocak aylarında olduğu görülmektedir. PM'de ise en yüksek aylık ortalama değerlerin 1989-90 ve 1992-93 kış mevsimlerinin Ocak aylarında, 1990-91 kış mevsiminde Kasım ayında ve 1993-94 kış mevsiminde ise Aralık ayında olduğu görülmektedir (Şekil 3.3.3). Kış mevsimleri göz önüne alındığında SO_2 değerlerinde sürekli bir azalmanın olduğu, PM değerlerinde ise önemli bir değişikliğin olmadığı görülmektedir (Şekil 3.3.4).

Tablo 3.3.6 Ay ve yıllara göre SO_2 ve PM ortalama değerleri ($\mu\text{g}/\text{m}^3$)

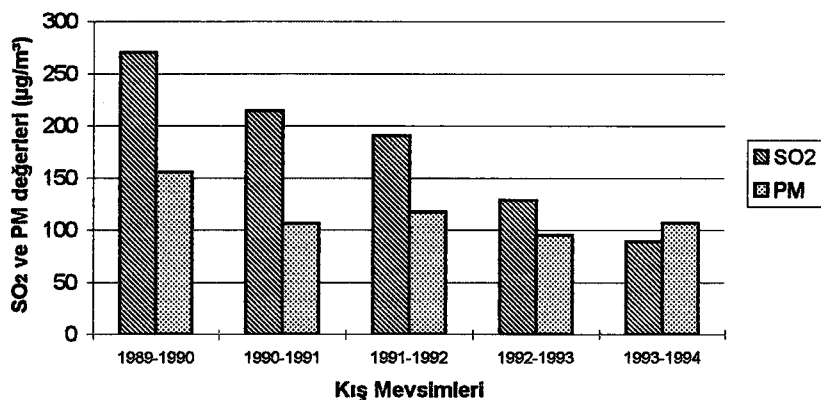
AYLAR	YILLAR												Ortalama	
	1989		1990		1991		1992		1993		1994			
	SO_2	PM	SO_2	PM	SO_2	PM	SO_2	PM	SO_2	PM	SO_2	PM	SO_2	PM
Ocak	395	155	378	236	293	131	282	151	206	163	110	119	254	160
Şubat	323	154	293	130	237	92	228	115	113	73	114	95	197	101
Mart	175	109	241	130	148	72	120	76	84	65	88	71	136	83
Ekim	141	109	103	90	**	**	**	**	43	89	*	*	96	96
Kasım	246	131	246	137	137	152	**	**	75	130	*	*	176	138
Aralık	317	192	257	112	183	93	110	80	104	140	*	*	194	123
Ort.	235	144	253	139	200	108	185	106	104	110	104	95		

Not: (*) Çalışma dönemi kapsamında değildir.

(**) Ölçüm yapılmamıştır.



Şekil 3.3.3 1989-1994 kiş mevsimlerine ait aylık ortalama SO₂ ve PM değerleri



Şekil 3.3.4 Kış mevsimlerine göre ortalama SO_2 ve PM değerleri

3.4 SO_2 ve PM Episodlarının Karşılaştırılması

$\text{PM} \geq 200 \mu\text{g}/\text{m}^3$ deki toplam 135 episod gününün 103 günü (%76.3) $\text{SO}_2 \geq 250 \mu\text{g}/\text{m}^3$ episod günleri ile aynı tarihlerde meydana gelmiştir. $\text{PM} \geq 300 \mu\text{g}/\text{m}^3$ deki toplam 27 episod gününün ise 19 günü (%70.37), $\text{SO}_2 \geq 400 \mu\text{g}/\text{m}^3$ episod günleri ile aynı tarihlerde meydana gelmiştir. SO_2 ve PM episodlarının aynı tarihlerde meydana gelme oranının yüksek olması nedeniyle dördüncü bölümde yapılan analizlerde sadece SO_2 episodları gözönünde bulundurulmuştur.

BÖLÜM 4

METEOROLOJİK PARAMETRELER VE HAVA KALİTESİ GÖZLEMLERİNİN ANALİZİ

4.1 Meteorolojik Veriler

Klasik gözlemlerin yapıldığı meteoroloji istasyonları ve düşey atmosferik sondajların yapıldığı radyosonde istasyonlarından alınan veriler atmosferin yapısını açıklamaktadır. Hava kirliliği seviyelerinin yükselmelerini sağlayan ve aralarında bağlantılar bulunan temel parametrelerden bazıları basınç alanı, enverziyon, rüzgar şiddeti ve atmosferik kararlılıktır (İncecik, 1995). Bu durum ölçek kavramı altında değerlendirildiğinde antisiklonik basınç alanı inceleme şeklinin başlangıç noktasını oluşturur.

Yüksek basınç alanları, atmosferde hava kirleticilerin seyreldmesini zorlaştıran, düşey hareketleri sınırlayan atmosferik yapı şekilleridir. Enverziyon ve düşük rüzgar hızları da bu oluşumdan bağımsız değildir. Ancak, bu parametrelerin sebep-sonuç ilişkisi dahilinde incelenmesi sonucunda hava kirliliği seviyelerinin yükseleceği koşullar önceden belirlenerek hava kirleticilerin yol açacağı zararlar en aza indirilebilecektir. Özellikle enverziyon gibi hava kirleticileri tuzaklayan ve yayılmalarını sınırlayan atmosferik yapı, hava kirliliği olaylarında incelenmesi mutlak gereklili olan parametrelerden biridir. Yüzey enverziyonlarının kalınlığı, şiddeti ve düşey sıcaklık gradyanı kritik parametrelerdir (İncecik, 1995).

Ankara'da 1989-1994 yılları arasında meydana gelmiş olan episod günler nitelikli hava kirliliğinin meteorolojik parametreler ve atmosferik yapı ile arasındaki bağlantılarını analiz etmek için meteorolojik verilere ihtiyaç vardır. Bu nedenle aşağı atmosferin düşey yapısı hakkında bilgi edinebilmek için Ankara'nın yersel meteorolojik parametreleri ve radyosondaj gözlemlerinin yanısıra özellikle vortisiti ve termal rüzgar

hesaplanmasında kullanılmak üzere Ankara'yı da içine alan yedi adet radyosonde istasyonundan yapılan sondaj verileri gözönüne alınmıştır (Tablo 4.1).

Tablo 4.1 Radyosonde istasyonları.

İstasyon Adı	Enlem	Boylam
Adana	36° 59' N	35° 21' E
Isparta	37° 45' N	30° 32' E
Diyarbakır	37° 53' N	40° 12' E
İzmir	38° 26' N	27° 10' E
Ankara	39° 57' N	32° 53' E
İstanbul	41° 01' N	28° 59' E
Samsun	41° 17' N	36° 18' E

4.2 Metodoloji

Yukarıda belirtilen çerçevede kullanmak amacıyla çalışma dönemine ait aşağıdaki meteorolojik veriler DMI Genel Müdürlüğü'nden temin edilmiştir.

- 1- Radyosonde istasyonlarından yapılan sondaj verileri; yer, 850 hPa, 700 hPa ve 500 hPa seviyelerindeki günlük (0000 GMT ve 1200 GMT) sıcaklık, basınç, nem, jeopotansiyel yükseklik, rüzgar yön ve hız değerleri,
- 2- Ankara'nın yersel meteorolojik verileri; sıcaklık, basınç, nem ve rüzgar(yön ve hız) değerleri,
- 3- 0000 GMT ve 1200 GMT'de meydana gelmiş olan yüzey enverzyonları (taban ve tavan yükseklikleri ve sıcaklıklar),
- 4- Sinoptik yer haritaları (0000 GMT),

Bu verilerden;

-850 hPa (0000 ve 1200 GMT), 700 hPa (0000 GMT) ve 500 hPa (0000 GMT) seviyelerindeki rüzgar yön ve hız değerleri kullanılarak episod günlerindeki ($\text{SO}_2 \geq 250 \mu\text{g}/\text{m}^3$ ve $\geq 400 \mu\text{g}/\text{m}^3$) bağıl vortisiti hesaplanmış,

-850 hPa ve 700 hPa (0000 GMT) seviyelerindeki jeopotansiyel yükseklik değerleri kullanılarak episod günlerindeki ($(\text{SO}_2 \geq 400 \mu\text{g}/\text{m}^3)$) termal rüzgar hesaplanmış,

-Yer, 850 hPa, 700 hPa ve 500 hPa seviyelerindeki (0000 GMT) sıcaklık ve nem değerleri kullanılarak episod günlerindeki ($\text{SO}_2 \geq 400 \mu\text{g}/\text{m}^3$) atmosferin düşey sıcaklık ve nem dağılım profili çizilmiş ve adveksiyonlar belirlenmiş,

-Sinoptik yer haritalarından (0000 GMT) episod günlerine ($\text{SO}_2 \geq 250 \mu\text{g}/\text{m}^3$ ve $\geq 400 \mu\text{g}/\text{m}^3$) ait basınç gradyanı hesaplanmış ve episodların ($\text{SO}_2 \geq 400 \mu\text{g}/\text{m}^3$) birinci günündeki yüksek ve alçak basınç merkezlerinin yerleri analiz edilmiş,

-Episod günlerine ($\text{SO}_2 \geq 400 \mu\text{g}/\text{m}^3$) ait 850 hPa seviyesindeki (0000 GMT) sıcaklıklar analiz edilmiş,

-Episod günlerinde meydana gelmiş olan yüzey enverzyonları (0000 GMT ve 1200 GMT) ve bunların taban-tavan yükseklikleri, kalınlıkları ve tavan-taban sıcaklık farkları hesaplanmıştır,

-Episod günlerinin ($\text{SO}_2 \geq 400 \mu\text{g}/\text{m}^3$) ortalama basınç değerleri ile episodların meydana geldiği ayların ortalama basınç değerleri hesaplanmıştır,

-Günlük, aylık ve yıllık ortalama sıcaklık değerleri hesaplanmıştır ve bunların episod günler nitelikli hava kirliliği ile aralarındaki bağlantılar analiz edilmiştir. Yapılan bu çalışmalar aşağıda ilgili yerlerde detaylı olarak anlatılmıştır.

4.3 850 hPa Sıcaklığı

Atmosferin düşey yapısı içinde atmosferin sınır tabaka yüksekliğini tanımlayan 850 hPa sıcaklığı önemli bir parametredir. 850 hPa düzeyindeki daha sıcak hava kütleleri daha dengeli atmosferi beraberinde getirir. 850 hPa sıcaklığının yüzey sıcaklığına oranla yüksek olduğu zamanlarda dikey yayılma ve yerel sirkülasyon gelişimi azdır (Kassomenos, 1995).

Dikey karışmayla seyreltme, karmaşık tabakası olarak da ifade edilen sınır tabaka içinde sınırlanmaktadır. Gündüz konvektif sınır tabakada dikey yayılma, karmaşık tabakasının yüksekliğiyle sınırlanan büyük girdaplarla meydana gelmektedir. Bundan dolayı karmaşık tabakasının yüksekliği hava kirliliği meteorolojisinde önemli bir parametredir ve karmaşık yüksekliğinin belirlenmesinde en önemli husus yer, zaman ve metodun seçimidir. Bazı araştırmacılar, 850 hPa hava sıcaklığının değişimi çalışması, planeter sınır tabaka üzerindeki tabakanın kararlılığının yaklaşık değerini verebileceğini ifade

etmişlerdir. Ayrıca, tabakanın kararlılığı gün esnasındaki karmaşa yüksekliğinin azalmasında da çok önemlidir (Ziomas, 1995).

850 hPa düzeyindeki sıcaklığın bu özelliğinden hareketle imisyon konsantrasyonu $400 \mu\text{g/m}^3$ 'ü aşan SO_2 episodlarının ve meydana geldiği ayların ortalama sıcaklık değerleri ve bu episodların birinci gün (T_{Go}), bir ($TG-1$) ve iki ($TG-2$) gün önceki, bir gün sonraki ($TG+1$) ve episod sonrası günün ($TE+1$) 850 hPa seviyesindeki (0000 GMT) sıcaklık değerleri tespit edilmiştir (Tablo 4.3.1). Tespit edilmiş olan bu değerler çerçevesinde episodların;

- 1- Bir önceki gün sıcaklığı ($TG-1$) ile iki önceki günün sıcaklık ($TG-2$) değeri,
- 2- Birinci gün sıcaklığı (T_{Go}) ile bir önceki günün sıcaklık ($TG-1$) değeri,
- 3- Birinci gün sıcaklığı (T_{Go}) ile bir sonraki günün sıcaklık ($TG+1$) değeri,
- 4- Birinci gün sıcaklığı (T_{Go}) ile episodun bittiğinin bir sonraki günün sıcaklık ($TE+1$) değeri,

karşılaştırılmıştır. Yapılan değerlendirmede genel olarak;

- 1- Episodun bir önceki gününe ($G-1$) kadar sıcaklığın azlığı,
- 2- Episodun birinci gününden (Go) itibaren sıcaklığın artış gösterdiği ve
- 3- Episodun ikinci gününde ($G+1$) sıcaklığın artmaya devam ettiği,
- 4- Episodun bittiğinin bir sonraki günündeki ($E+1$) sıcaklık değeri episodun birinci günündeki (Go) sıcaklık değerinden büyük olduğu,

diğer bir ifade ile;

- 1- $(TG-1) \leq (TG-2)$ sıcaklığı,
- 2- $(T_{Go}) \geq (TG-1)$ sıcaklığı,
- 3- $(TG+1) \geq (T_{Go})$ sıcaklığı
- 4- $(TE+1) \geq (T_{Go})$ sıcaklığı

şartlarının genelde oluştugu görülmüştür.

Buna göre; 26 adet episodun 18'inde (E2, E3, E5, E6, E7, E8, E10, E13, E14, E16, E17, E18, E19, E20, E21, E22, E24, E25) yukarıda belirtilen birinci şartı sağlaması oranı % 72; 16'sında (E2, E4, E8, E9, E10, E13, E14, E15, E17, E19, E20, E21, E22, E23, E25 ve E26) yukarıda belirtilen ikinci şartı sağlaması oranı % 67; 22'sinde (E2, E4, E5, E6, E8, E9, E10, E11, E12, E13, E14, E15, E16, E17, E18, E19, E20, E21, E22, E24, E25 ve E26) yukarıda belirtilen üçüncü şartı sağlaması oranı % 92; ve 19'unda (E1, E2, E4, E5, E6, E8, E9, E10, E11, E12, E13, E14, E16, E17, E18,

Tablo 4.3.1 $\text{SO}_2 \geq 400 \mu\text{g}/\text{m}^3$ episodlarının 850 hPa (0000 GMT) seviyesindeki episod giinlerine ait sıcaklık değerleri ve yer seviyesindeki (0000 GMT) basınç değerleri(hPa).

YIL	AY	1989		Aralık		Ocak		1990		Şubat		Mart		Kasım
Gün		Kasım		05-07	14-19	06-15	18-19	25-28	30-31	06-09	25-26	02-03	14-21	
Episod	E4S01	E4S02	E4S03	E4S04	E4S05	E4S06	E4S07	E4S08	E4S09	E4S10	E4S11	E4S12	E4S13	
T_{G-2} ($^{\circ}\text{C}$)	*	-6.1	-0.9	-8.1	-8.9	-1.7	-5.3	-5.1	-3.1	-4.5	-3.7	3.2	-2.7	
T_{G-1} ($^{\circ}\text{C}$)	*	-6.7	-6.5	-7.1	-11.1	-7.9	-8.9	-7.1	-2.5	-5.1	-0.9	5.0	-2.9	
T_{G0} ($^{\circ}\text{C}$)	7.4	-6.3	*	-6.9	-12.3	-12.7	*	-6.3	0.2	-5.1	-1.1	-2.3	-0.3	
T_{G+1} ($^{\circ}\text{C}$)	7.0	-5.1	-9.1	-5.3	-2.3	-7.3	-0.5	-1.9	3.0	-3.1	4.0	5.0	2.4	
T_{E+1} ($^{\circ}\text{C}$)	10.4	6.0	8.1	-0.7	5.8	-5.3	-0.7	-2.5	3.0	-4.9	4.8	2.6	8.8	
P(yer) Ep.Ort.	919.6	920.3	*	917.7	919.5	925.3	919.5	921.3	917.3	919.5	912.5	918.8		
P(yer) Ay.Ort.	914.6			917			920.5			913.0		919.3	916.4	

YIL	AY	1990		Aralık		Ocak		1991		Şubat		Ocak		1992	1993
Gün		19-20	27-31	01-02	04-07	09-10	27-28	05-08	04-06	24-25	27-28	09-14	Ocak		
Episod	E4S14	E4S15	E4S16	E4S17	E4S18	E4S19	E4S20	E4S21	E4S22	E4S23	E4S24	E4S25	E4S26		
T_{G-2} ($^{\circ}\text{C}$)	1.2	-0.5	-5.9	2.0	1.4	3.6	-5.9	-11.3	-9.3	-6.9	-8.1	-8.5	-6.7		
T_{G-1} ($^{\circ}\text{C}$)	0.2	-0.3	-6.3	0.0	1.2	0.8	-7.9	-11.5	-10.3	-4.3	-9.1	-11.6	-2.7		
T_{G0} ($^{\circ}\text{C}$)	0.4	1.8	-8.9	1.2	-1.1	3.0	-7.5	-10.1	-2.1	-0.9	-9.3	-10.5	-1.5		
T_{G+1} ($^{\circ}\text{C}$)	4.0	1.0	-1.1	1.4	3.0	3.2	-2.9	-7.3	0.2	-8.1	-6.1	-8.7	-0.3		
T_{E+1} ($^{\circ}\text{C}$)	6.0	-2.5	1.2	0.8	2.0	-1.9	-9.3	-3.7	-9.1	-6.7	-0.5	-2.7			
P(yer) Ep.Ort.	917.0	917.5	922.0	917.0	917.5	920.5	919.3	926.3	928.0	923.0	918.5	924.7			
P(yer) Ay.Ort.	916.0				917.8			914.8		919.0		913.6	919.4		

E20, E21, E24, E25) yukarıda belirtilen dördüncü şartı sağlama oranı % 79'dur (Tablo 4.3.2).

Tablo 4.3.2 Episod öncesi, başlangıç ve sonrası günlerine ait sıcaklık değerlerinin karşılaştırılması.

	Şartlar			
Şartları	I	II	III	IV
Sağlama Oranı	$TG-1 \leq TG-2$	$TGo \geq TG-1$	$TG+1 \geq TGo$	$TE+1 \geq TGo$
(%)	72	67	92	79

Bu dört özelliğin meydana gelme oranının yüksek olması; 850 hPa seviyesindeki (0000 GMT) sıcaklık değerlerine bakılarak episodların oluşması hakkında bilgi edinilebilir.

Episod günlerinin ($SO_2 \geq 400 \mu g/m^3$) 850 hPa seviyesindeki (0000 GMT) ortalama sıcaklık değerleri ile episodun meydana geldiği ayın 850 hPa seviyesindeki aylık ortalama sıcaklık değerleri karşılaştırıldığında; 26 adet episoddan E2, E4, E6, E12, E13 E16, E20 ve E21 hariç diğerlerinin (%69) ortalama sıcaklık değerleri episodun meydana geldiği ayın ortalama sıcaklık değerinden büyük olduğu görülmektedir.

Ayrıca, toplam episod ($SO_2 \geq 400 \mu g/m^3$) günlerinin 850 hPa seviyesindeki (0000 GMT) ortalama sıcaklık değeri (-0.94 °C) ortalama yüzey sıcaklık değerinden (-2.59 °C) büyük olduğu bulunmuştur.

Yukarıda belirtilen hususlar gözönünde bulundurulduğunda, Ankara üzerinde episod günlerinde 850 hPa düzeyinde daha sıcak hava kütelerinin olduğu ve bu ise beraberinde daha dengeli atmosferi meydana getirdiğinden kirlilik değerlerinin arttığı söylenebilir.

4.4 Atmosferin Düşey Sıcaklık ve Nem Dağılım Profilleri

Düşey sıcaklık dağılımının enine kesiti, alçak troposferde gözlemlenen sıcak adveksiyonu göstermektedir. Bu günlerde, atmosfer durağandır ve atmosfer yapısı, zayıf yayılma durumunu hazırlar (Pissimanis, 1991). Bu durum, kirleticilerin alt tabakada birikmesine ve hava kirliliğinin artmasına neden olmaktadır.

Atmosferde, rüzgarın yükseklikle saat ibreleri yönünde (antisiklonik) değişmesi sıcak adveksiyonun, rüzgarın yükseklikle saat ibrelerinin ters yönünde (siklonik) değişmesi ise soğuk adveksiyonun olduğunu göstermektedir (Kadioğlu, 1995).

Atmosferin yukarı seviyelerinde (700 hPa) bir soğuk adveksiyon varsa, soğuyarak yoğunluğu artan havanın üst seviyelerden daha aşağı seviyelere çökmesi beklenebilir. Ancak, bu çöküş sırasında hava bağıl olarak ısınır ve kuru bir özellik kazanır. Çokerek ısınan hava, yere yakın seviyelerdeki radyasyon kaybından dolayı soğumakta olan hava tarafından durdurulur. Üst seviye ne kadar soğuk alt seviye ne kadar sıcaksa, yerden yukarıya doğru olan hareket de o kadar hızlanır ve bu durumda kararsızlık meydana gelir. Eğer alçak basınç, nemli özelliğe sahip ise nemli hava kuru havadan daha hafif olacağından havanın yukarı tırmanması daha da kolaylaşır. Soğuk havanın yoğunluğu aynı basınç seviyesinde sıcak havaya göre daha büyük olacağından yukarıya doğru yükselen hava tekrar eski konumuna doneceğinden bu duruma kararlı tabaka denir. Bu durumda, atmosferik tozların üst seviyelere doğru taşınması engelleneceğinden havanın kirlilik konsantrasyonu artarak hava kirliliğine neden olur (Tuna, 1982).

Tablo B.1'deki değerler kullanılarak çalışma dönemimde meydana gelmiş olan 26 adet episoddan ($\text{SO}_2 \geq 400 \mu\text{g}/\text{m}^3$) 24'nün (88 gün) ayrı ayrı düşey sıcaklık dağılımının zaman aralığı profili çizilmiştir (Şekil A.9). Bu şekiller (gün ve basınç seviyesinin çakıştığı nokta) üzerine rüzgar yönleri işlenerek rüzgarın yükseklikle dönüşüne bakıldığından; toplam 88 episod gününün 66 gününde (%75) ve 24 adet episodun 18'nin birinci gününde (%75) rüzgarın yükseklikle antisiklonik olarak değiştiği ve ayrıca 24 adet episodun 22'sindeki (%92) en yüksek SO_2 konsantrasyonunun rüzgarın yükseklikle antisiklonik olarak değiştiği günlerde meydana geldiği görülmüştür. Ayrıca, bu şekillere bakıldığından, episod günlerinde 850 hPa seviyesindeki sıcaklık değerlerinin alt ve üst seviyelerdeki sıcaklık değerlerinden büyük olduğu ve 700 hPa seviyesine kadar olan kısımda düşey sıcaklık gradyanının küçük olduğu görülmektedir. Burada da rüzgarın yükseklikle antisiklonik olarak değişmesi ve düşey sıcaklık gradyanının önemli olduğu görülmektedir.

Yer, 850 hPa, 700 hPa ve 500 hPa seviyelerindeki nem değerleri kullanılarak episod günlerindeki ($\text{SO}_2 \geq 400 \mu\text{g}/\text{m}^3$) düşey nem (RH) dağılımının zaman aralığı profili çizilmiştir (Şekil A.10). Bu şekillere bakıldığından yer seviyesindeki bağıl nemin

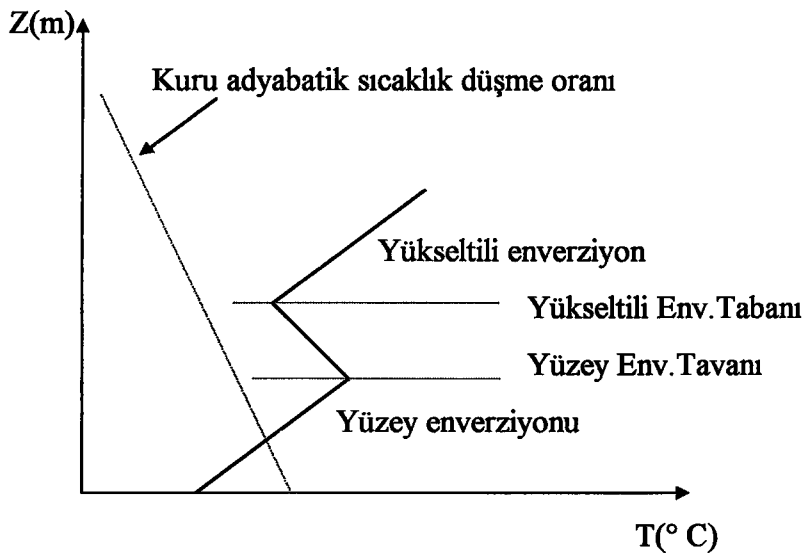
ortalama %60-80 arasında değiştiği, ancak episod günlerinde 700 hPa seviyesindeki nemin çevresine nazaran daha düşük değerde olduğu ve aşağıya doğru çöktüğü görülmektedir. Bu durum, aşağı seviyelerdeki yüksek nemin sis meydana getirmesinden dolayı hava kirliliğine neden olmasının yanı sıra, üst seviyelerdeki düşük nemin de havanın çökmesine neden olması nedeniyle hava kirliliğinin oluşmasında önemli olduğu görülmektedir.

4.5 Sıcaklık Enverziyonu

Hava kirliliği kaynaklarından yayılan kirleticilerin hareket sahası genellikle aşağı troposferdir. Kirleticilerin yatay ve düşey hareketleri meteorolojik koşullara bağlı olduğundan atmosferin kararlı veya kararsız yapıya sahip olması hava kirliliği açısından önemlidir. Kararsız bir atmosferde düşey hareketler meydana geldiğinden kirleticiler daha kalın bir atmosfer tabakasına yayılacakları için konsantrasyonları daha düşük olacaktır. Kararlı bir atmosferde ise düşey hareket önemsiz olduğundan kirleticiler belirli bir alan içerisine sıkışacaklarından kirlilik konsantrasyonunun artmasına neden olur (Baumbach vd, 1988).

Normalde troposferde sıcaklık yükseklikle azalır. Yükseklikle sıcaklık artışının olduğu tabakalara “enverziyon” tabakası veya “sıcaklık terselmesi” denir. Sıcaklık değişiminin başladığı yer enverziyon tabanı, bittiği yer ise enverziyon tepesidir. Buna göre sıcaklık enverziyonu, tabanının yerden başlamasına ve yukarıda başlamasına göre; “yüzey enverziyonu” ve “yükseltili enverziyon” olarak sınıflandırılır. Troposferde sıcaklığın düşey değişimi ve enverziyon koşulları Şekil 4.5.1’de verilmiştir. Enverziyon durumu kararlı bir yapıyı tanımladığından hava kirliliği açısından önemli meteorolojik olaylardan biridir.

Gece boyunca görülen yüzey enverziyonları açık gökyüzü ve zayıf rüzgar şiddetleri ile birlikte yer yüzeyi ve uzun dalga radyasyonu neticesinde aşağı hava tabakaları arasında ısı alış-verişleri nedeniyle ortaya çıkmaktadır. Bu durum sürekli olarak aşağı atmosferde sıcaklık yapışmasını izleyebilen bir akustik kaydında gözlenebilir (İncecik, 1989).



Şekil 4.5.1 Troposferde sıcaklığın düşey değişimi ve enverziyon koşulları.

Yükseltili enverziyon ise aşağı tabakada soğuk bir hava kütlesinin üzerine sıcak bir hava kütlesinin gelmesi veya soğuk hava kütlesinin sıcak hava kütlesinin altına girmesi ya da çökme olayları sonucu oluşmaktadır (Godish, 1985).

Enverziyonların meydana geldiği seviyeler, tavan-taban sıcaklık farklarının şiddeti ve kalınlık değerleri bunların bulunduğu bölgelerde farklı atmosferik yapı özelliklerinin doğmasına yol açmaktadır. Bu yapısal özellikler muhtemel hava kirletici emisyonların seyrelme, yayılma ve taşınma özelliklerini etkileyecektir ve yönlendirilecektir. Bu nedenle hava kirliliği ile ilgili meteorolojik potansiyelin belirlenmesinde kullanılan en önemli parametrelerden biri enverziyondur (İncecik, 1991).

Hava kalitesini (zayıf yayılmaya neden olan) sıkça etkileyen aşağı troposferdeki sıcaklık enverziyonudur. Hava kütelerinin geniş ölçekli çökelmeden dolayı durgun olduğu ve dolayısıyla alan üzerinde battığı zaman veya aşağı troposferde sıcak hava değişimi olduğu zamanlarda bu yükseltili enverziyonlar gelişir. Geniş ölçekli çökelme ısınma ve enverziyon gelişimiyle alakalıdır (Kassomenos, 1995).

Yükseltili enverziyonlar kolaylıkla aşınmazlar ve uzun süre kalıcıdır, dolayısıyla aşağı troposferdeki hava kirletici konsantrasyonunu ve sonuçta bölgedeki hava kalitesini etkilemektedir. Sıcak adveksiyondan oluşan enverziyonlar genellikle derindir. Bu tür enverziyonlar gündüzleri özellikle kışın ve geçiş mevsimlerinde çabukca dağılmazlar (Gümüş, 1979).

Bu çalışmada, episodların meydana geldiği aylardaki enverziyonlar (0000 GMT ve 1200 GMT) tespit edilmiştir. Toplamda ve aylar bazında enverziyonlu günlerin episod günlerinden daha fazla olduğu görülmüştür (Şekil 4.5.2 ve 4.5.3). Ayrıca, episodların meydana geldiği günlerde enverziyon olup olmadığına bakılmıştır. $\text{SO}_2 \geq 250 \mu\text{g}/\text{m}^3$ ’ü aşan toplam 243 episod gününün 0000 GMT’de 216 gününde (%88,89) ve 1200 GMT’de 183 gününde (%75,31); $\text{SO}_2 \geq 400 \mu\text{g}/\text{m}^3$ ’ü aşan toplam 92 episod gününün 0000 GMT’de 90 gününde (%97,83), 1200 GMT’de 83 gününde (%90,22) yüzey enverziyonu meydana gelmiştir. Bu durum, enverziyonun hava kirliliği konsantrasyonlarının artmasında önemli rol oynadığını göstermektedir.

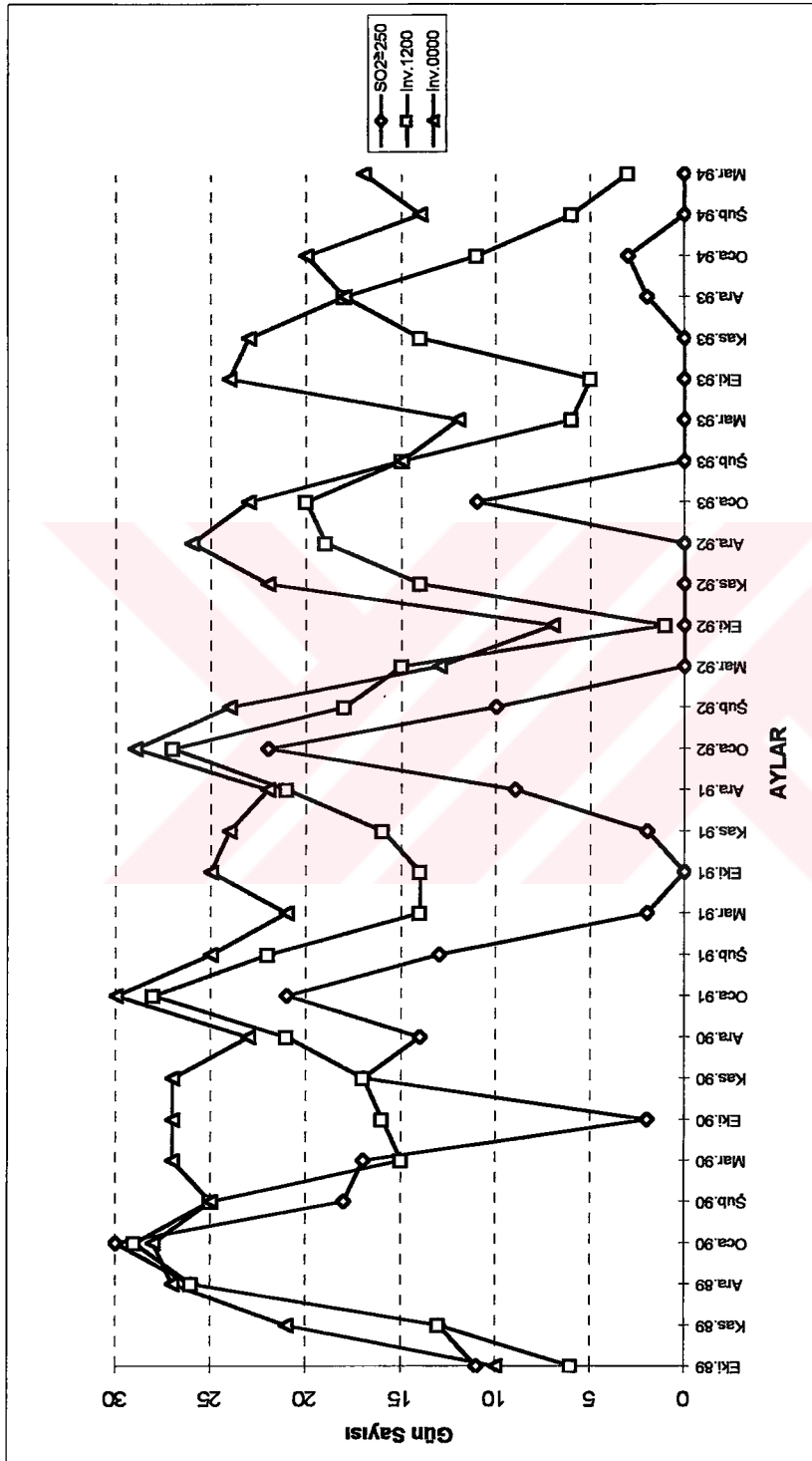
Çalışma dönemindeki episod günlerinde ($\text{SO}_2 \geq 250 \mu\text{g}/\text{m}^3$ ve $400 \mu\text{g}/\text{m}^3$) 0000 GMT ve 1200 GMT’de meydana gelen enverziyonların taban yükseklikleri, sıcaklık farkı(tavan-taban) ve kalınlık itibarıyle ayrı ayrı sınıflandırılmıştır (Tablo 4.5.1-4.5.4).

a) $\text{SO}_2 \geq 250 \mu\text{g}/\text{m}^3$ episod günlerinde;

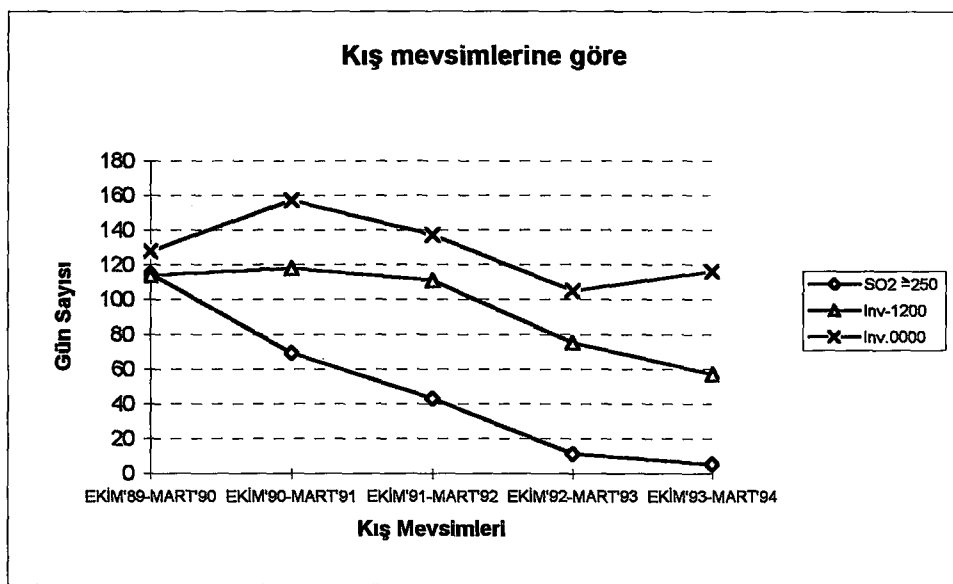
0000 GMT’de meydana gelen enverziyonların %60’nın taban yüksekliği 751-1000 m. arasında bulunmuştur. Bu enversiyonların %46,9’nun kalınlığı ise 251-500 m. arasında; %33’nün kalınlığı ise 1-250 m. arasında bulunmaktadır. Enversiyonların %42’sinin taban-tavan sıcaklık farkı 0,0-2,0 °C arasında; %31’nin sıcaklık farkı ise 2,1-4,0 °C arasında yer almaktadır (Tablo 4.5.1).

Tablo 4.5.1 Toplam episod ($\text{SO}_2 \geq 250 \mu\text{g}/\text{m}^3$) günlerindeki enversiyon (0000 GMT) frekans değerleri.

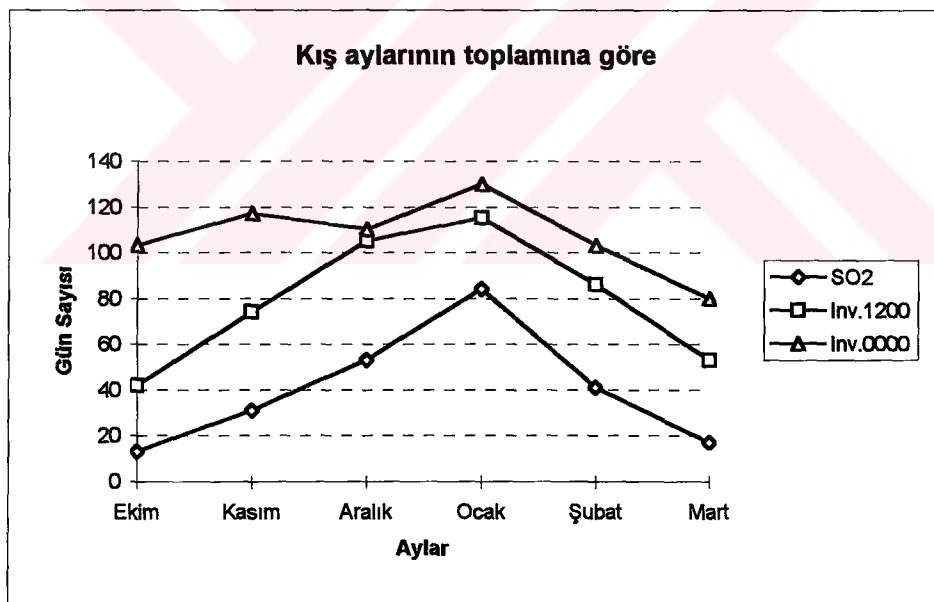
Enversiyon Taban Yüksekliği (m)	Sıcaklık Farkı (°C) (Tavan-Taban)						Kalınlık (m)				
	Frekans	%	0,0-2,0	2,1-4,0	4,1-6,0	>6,0	1-250	251-500	501-750	751-1000	>1000
0-250											
251-500											
501-750											
751-1000	130	60,2	52	43	20	15	43	61	13	10	3
1001-1500	46	21,3	17	12	6	11	18	14	11	3	
1501-2000	14	6,48	4	4	3	3	5	7	1	1	
2001-2500	14	6,48	9	4	1		8	4	2		
>2500	12	5,56	9	3			8	4			
Toplam	216	100	91	66	30	29	82	90	27	14	3



Sekil 4.5.2 Aylara göre episod ($\text{SO}_2 \geq 250 \mu\text{g}/\text{m}^3$) ve enverzyonlu ($0000 \text{ ve } 1200 \text{ GMT}$) gün sayisi.



(a)



(b)

Şekil 4.5.3 Episod ($\text{SO}_2 \geq 250 \mu\text{g}/\text{m}^3$) ve enverziyonlu (0000 ve 1200 GMT) gün sayısı.

1200 GMT'de meydana gelen enverziyonların %29,5'nin taban yüksekliği 1501-2000 m. arasındadır. Bu seviyedeki enversiyonların %52'sinin kalınlığı ise 1-250 m. arasındadır. Burada 1200 GMT'de meydana gelen enversiyonların taban yüksekliklerinin daha fazla olduğu görülmektedir. Enversiyonların % 56'sının taban-tavan sıcaklık farkı 0.0-2.0 °C arasında; %21'nin ise 2.1-4.0 °C arasındadır (Tablo 4.5.2).

Tablo 4.5.2 Toplam episod ($\text{SO}_2 \geq 250 \mu\text{g}/\text{m}^3$) günlerindeki enversiyon (1200 GMT) frekans değerleri.

Enversiyon Taban Yüksekliği (m)	Sıcaklık Farkı (°C) (Tavan-Taban)						Kalınlık (m)				
	Frekans	%	0.0-2.0	2.1-4.0	4.1-6.0	>6.0	1-250	251-500	501-750	751-1000	>1000
0-250											
251-500											
501-750											
751-1000	6	3,28	4	1	1		3		2	1	
1001-1500	53	29	18	15	12	8	21	23	6	3	
1501-2000	54	29,5	28	11	13	2	28	20	5	1	
2001-2500	34	18,6	23	5	4	2	26	6	2		
>2500	36	19,7	29	6		1	23	12	1		
Toplam	183	100	102	38	30	13	101	61	16	5	

b) $\text{SO}_2 \geq 400 \mu\text{g}/\text{m}^3$ episod günlerinde;

0000 GMT'de meydana gelen enversiyonların %71.1'nin taban yüksekliği 751-1000 m. arasındadır. Bu seviyedeki enversiyonların %40.63'nün kalınlığı 251-500 m.; %32.81'nin kalınlığı 1-250 m. arasındadır. Enversiyonların %33.3'nün taban-tavan sıcaklık farkı 0.0-2.0 °C arasında, %32.2'nin sıcaklık farkı ise 2.1-4.0 °C arasındadır (Tablo 4.5.3).

1200 GMT'de meydana gelen enverziyonların %38.55'nin taban yüksekliği 1001-1500 m. arasındadır. Bu seviyedeki enversiyonların %50'sinin kalınlığı ise 251-500 m., %40.63'nün kalınlığı 1-250 m. arasında bulunmaktadır. Burada da 1200 GMT'de meydana gelen enversiyonların taban yüksekliklerinin daha fazla olduğu görülmektedir. Enversiyonların % 51.81'nin taban-tavan sıcaklık farkı 0.0-2.0 °C arasında %21.69'nun sıcaklık farkı ise 2.1-4.0 °C arasındadır (Tablo 4.5.4).

Tablo 4.5.3 Toplam episod ($\text{SO}_2 \geq 400 \mu\text{g}/\text{m}^3$) günlerindeki enversiyon (0000 GMT) frekans değerleri.

Enversiyon Taban Yüksekliği (m)	Sıcaklık Farkı ($^{\circ}\text{C}$) (Tavan-Taban)						Kalinlik (m)				
	Frekans	%	0.0-2.0	2.1-4.0	4.1-6.0	>6.0	1-250	251-500	501-750	751-1000	>1000
0-250											
251-500											
501-750											
751-1000	64	71.1	21	22	12	9	21	26	7	7	3
1001-1500	20	22.2	7	5	1	7	5	7	5	2	1
1501-2000	3	3.4		1		2	1	1	1		
2001-2500	1	1.1		1			1				
>2500	2	2.2	2				2				
Toplam	90	100	30	29	13	18	30	34	13	9	4

Tablo 4.5.4 Toplam episod ($\text{SO}_2 \geq 400 \mu\text{g}/\text{m}^3$) günlerindeki enversiyon (1200 GMT) Frekans değerleri.

Enversiyon Taban Yüksekliği (m)	Sıcaklık Farkı ($^{\circ}\text{C}$) (Tavan-Taban)						Kalinlik (m)				
	Frekans	%	0.0-2.0	2.1-4.0	4.1-6.0	>6.0	1-250	251-500	501-750	751-1000	>1000
0-250											
251-500											
501-750											
751-1000	4	4.82	2		1	1	2		1	1	
1001-1500	32	38.55	12	10	6	4	13	16	2	1	
1501-2000	22	26.51	11	3	8		10	9	2	1	
2001-2500	15	18.07	10	3	1	1	14	1			
>2500	10	12.05	8	2			6	4			
Toplam	83	100	43	18	16	6	45	30	5	3	

Episod günlerinde ($\text{SO}_2 \geq 400 \mu\text{g}/\text{m}^3$) gece (0000 GMT) ve gündüz (1200 GMT) meydana gelmiş olan yüzey enverziyonun olduğu günlerin ortalama SO_2 değerleri ayrı ayrı hesaplanmıştır. Gündüz enverziyonun (1200 GMT) olduğu günlerin ortalama SO_2 değerinin ($414 \mu\text{g}/\text{m}^3$) gece enverziyonun (0000 GMT) olduğu günlerin ortalama SO_2 değerine ($411 \mu\text{g}/\text{m}^3$) çok yakın olduğu bulunmuştur. Bu durum, Ankara'da gece enverziyonlarının yanı sıra gündüz enverziyonlarının da hava kirliliği konsantrasyonlarının artmasında önemli rol oynadığını göstermektedir.

Episod günlerinin ($\text{SO}_2 \geq 400 \mu\text{g}/\text{m}^3$) toplam ortalama SO_2 değerleri ile enverziyonun kalınlık, taban yüksekliği ve sıcaklık farkı değerleri karşılaştırılmıştır. Burada, 0000

GMT ve 1200 GMT'deki sıcaklık değerleri ile kalınlık değerlerinin paralellik gösterdiği; en düşük SO₂ değerlerinin 251-500 m. kalınlığında meydana geldiği ve kalınlık değeri arttıkça SO₂ değerlerinin de arttığı görülmektedir (Tablo 4.5.6). Bu durum, yüksek sıcaklıkların enverziyon kalınlıklarının artmasına ve dolayısıyla bu seviyelerde daha yüksek konsantrasyonların olmasına neden olduğunu göstermektedir.

Tablo 4.5.6 Enverziyon kalınlıklarına göre SO₂ ve taban-tavan sıcaklık farkları.

Rasat Zamanı	Parametre	Enverziyon kalınlığı (m.)				
		1-250	251-500	501-750	751-1000	>1000
0000 GMT	SO ₂ ($\mu\text{g}/\text{m}^3$)	399.53	395.06	405.69	508.22	438.25
	T (°C)	1.81	3.76	5.67	6.56	6.18
1200 GMT	SO ₂ ($\mu\text{g}/\text{m}^3$)	420.49	386.60	467.60	503.30	-
	T (°C)	1.82	3.17	5.78	4.6	-

Ayrıca, en yüksek SO₂ değerlerinin taban yüksekliğinin az olduğu seviyelerde meydana geldiği görülmektedir (Tablo 4.5.7). Bunun nedeni de enverziyon taban yüksekliğinin yere yakın olması kirleticilerin sığ aşağı tabakada birikmesine neden olduğunu göstermektedir.

Tablo 4.5.7 Enverziyon taban yüksekliğine göre SO₂ değerleri.

Rasat Zamanı	Parametre	Enverziyon taban yüksekliği (m.)				
		751-1000	1001-1500	1501-2000	2001-2500	>2500
0000 GMT	SO ₂ ($\mu\text{g}/\text{m}^3$)	419.09	403.95	343.00	387.00	346.00
1200 GMT	SO ₂ ($\mu\text{g}/\text{m}^3$)	546.50	401.41	421.59	406.93	396.82

Tablo 4.5.8'de SO₂ değerleri ile enverziyon taban-tavan sıcaklık farkına bakıldığından, 0000 GMT'de sıcaklık farkı ile SO₂ değerleri arasında doğru bir orantının olduğu, 1200 GMT'de ise sıcaklık farkı ile SO₂ değerleri arasında ters bir orantının olduğu görülmektedir.

Tablo 4.5.8 Enverziyon taban-tavan sıcaklık farkına göre SO₂ değerleri.

Rasat	Parametre	Taban-tavan sıcaklık farkı (°C)			
		0-2	2.1-4	4.1-6	>6
0000 GMT	SO ₂ (μg/m ³)	391.87	399.50	383.46	439.17
1200 GMT	SO ₂ (μg/m ³)	423.56	393.11	396.94	394.33

Ayrıca, episodların ($SO_2 \geq 400 \mu\text{g}/\text{m}^3$) meydana geldiği günlerdeki SO₂ değerleri ile enverziyon taban-tavan sıcaklık farkı ve enverziyon kalınlığı aylara göre grafiksel olarak karşılaştırılmıştır. Episodlar aynı ayrı değerlendirildiğinde 0000 GMT'deki enverziyon sıcaklık farkı eğrisi ile SO₂ eğrisi arasında doğru bir orantının olduğu yani sıcaklık farkı arttıkça SO₂ değerlerinin de arttığı, 1200 GMT'deki enverziyon sıcaklık farkı eğrisi ile SO₂ eğrisi arasında ise genelde ters bir orantının olduğu yani sıcaklık farkı arttıkça SO₂ değerlerinin azaldığı görülmektedir (Şekil A.11). 0000 GMT'deki enverziyon kalınlık eğrisi ile SO₂ eğrisi arasında doğru bir orantı olduğu yani kalınlık arttıkça SO₂ değerlerinin de arttığı, 1200 GMT'deki enverziyon kalınlık eğrisi ile SO₂ eğrisi arasında genelde net bir orantının olmadığı, episodlara göre farklılık gösterdiği görülmektedir (Şekil A.12).

4.6 Vortisiti

Vortisiti teoreminin, serbest atmosferdeki hareket sistemlerinin gidiş tahminlerine uygulanması sinoptik meteorolojideki en önemli ilerlemedir. Bu gelişmelerin, 1858'de vortisiti teoremini çikan ve girdap hareketinin büyük kararlığını keşfeden Helmholtz'un çalışmalarına dayandığı söylenebilir. Helmholtz'un çalışmasını, 1898 de, sirkülasyon teoremini çikan ve baroklinikliğin önemini belirten V.Brejknes'in çalışmaları izlemiştir. Bununla birlikte, bu ilgili teoremlerin, sinoptik haritalara uygulanması, oldukça yakın bir tarihtedir ve 1939'da Rossby'nin bir çalışmasını yayınladığı zaman başladığı söylenebilir. Bu çalışmasında, yükseklerdeki dalga şeklinde sirkülasyon modellerinin yayılmasının zonal rüzgar hızı ve coriolis parametresinin, meridyonal değişimi ile büyük ölçüde kontrol edildiğini göstermiştir. Kısmen teorik çalışmalarda ve kısmen de ampirik çalışmalarındaki araştırmaların bir

çoğuna hız veren vortisiti denkleminin kullanılması, ilk kez Rossby'in fikri olmuştur. Bu araştırmalarda, serbest atmosferdeki hareket sistemlerinin gelişmesinin ve hareketlerin tahmininde, hesap işlemlerinin uygulanması mümkün olmuştur (Köksal, 1969).

4.6.1 Tanım

Bir akışkan içerisindeki dönüşün mikroskopik ölçüsü olan vortisiti, hızın rotasyoneli olarak tanımlanan vektör alanıdır. Mutlak vortisiti ω_a , mutlak hızın rotasyoneli ile bağılı vortisiti ω ise, bağılı hızın rotasyoneli ile verilir.

$$\omega_a = \nabla \times U_a, \quad \omega = \nabla \times U \quad (4.6.1.1)$$

$$\omega = (\partial w / \partial y - \partial v / \partial z, \partial u / \partial z - \partial w / \partial x, \partial v / \partial x - \partial u / \partial y) \quad (4.6.1.2)$$

Büyük ölçekli dinamik meteorolojide genel olarak η ve ζ ile gösterilen mutlak ve bağılı vortisitinin sadece düşey bileşenleri ile ilgilenilir.

$$\eta = k \cdot (\nabla \times U_a), \quad \zeta = k \cdot (\nabla \times U) \quad (4.6.1.3)$$

Mutlak vortisiti η , orta troposferde hareketi takiben korunumlu olmaya meyleder. Böylece, η alanının ve bu alanın adveksiyondan dolayı gelişiminin analizi en basit dinamik öngörü şemasının temelini temsil eder.

Dünyanın vortisitisini hesaba katılmaksızın hava parselinin kendisinin sahip olacağı vortisiti değerine bağlı vortisiti denir. Geniş pozitif (negatif) bölgelerde bağlı vortisitinin düşey bileşeni ζ , sinoptik ölçekli hava bozulmalarıyla yakından ilgili olduğundan kuzey yarımkürede büyük pozitif ζ siklonik fırtınalarla işbirliği içerisinde gelişme eğilimi göstermektedir. Bundan dolayı bağlı vortisitinin dağılımı hava analizi için iyi bir tanımlayıcıdır.

Mutlak ve bağlı vortisiti arasındaki fark, rotasyonu için dünyaya bağlı olan vortisitinin yerel düşey bileşeni olan planeter vortisitidir. $k \cdot \nabla \times U_e = 2\Omega \sin \phi \hat{f}$. Böylece, mutlak vortisiti $\eta = \zeta + f$ ile bağlı vortisiti ise ζ olarak ya da kartezyen koordinatlarda

$$\zeta = \partial v / \partial x - \partial u / \partial y \quad (4.6.1.4)$$

$$\eta = \partial v / \partial x - \partial u / \partial y + f \quad (4.6.1.5)$$

şeklinde ifade edilmektedir.

Bağlı vortisiti ve C sirkülasyonu arasındaki bağıntı; vortisitinin düşey bileşeni, yatay bir düzlemede kapalı bir kontur etrafındaki sirkülasyonun alanın sıfıra yaklaşığı limit durumunda kapalı konturun çevrelediği alana bölümü olarak tanımlanır.

$$\zeta = \lim_{\Delta A \rightarrow 0} (V.dI) A^{-1} \quad (4.6.1.6)$$

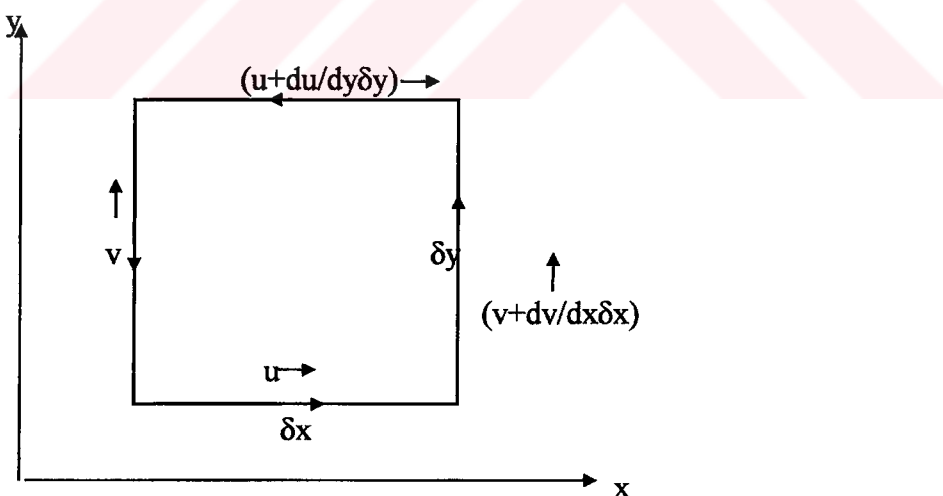
ζ 'nin bu iki tanımının özdeşliği, sirkülasyonun alanı $dxdy$ olan x, y düzleminde bir dikdörtgen alan elamanı etrafındaki sirkülasyon gözönüne alınarak kolaylıkla gösterilebilir (Şekil 4.6.1). $V.dI$, şekildeki dikdörtgenin her iki kenarı için değerlendirildiğinde, şekil yardımıyla sirkülasyon;

$$\delta C = u\delta x + (v + \partial v / \partial x \delta x)\delta y - (u + \partial u / \partial y \delta y)\delta x - v\delta y = (\partial v / \partial x - \partial u / \partial y)\delta x \delta y \quad (4.6.1.7)$$

Bu eşitliğin her iki tarafı $\delta A = \delta x \delta y$ alanına bölünerek

$$\delta C / \delta A = (\partial v / \partial x - \partial u / \partial y) = \zeta \quad (4.6.1.8)$$

elde edilir.



Şekil 4.6.1 Yatay düzlemedeki bir alan elamanı için sirkülasyon ile vortisiti arasındaki bağıntı (Köksal, 1963).

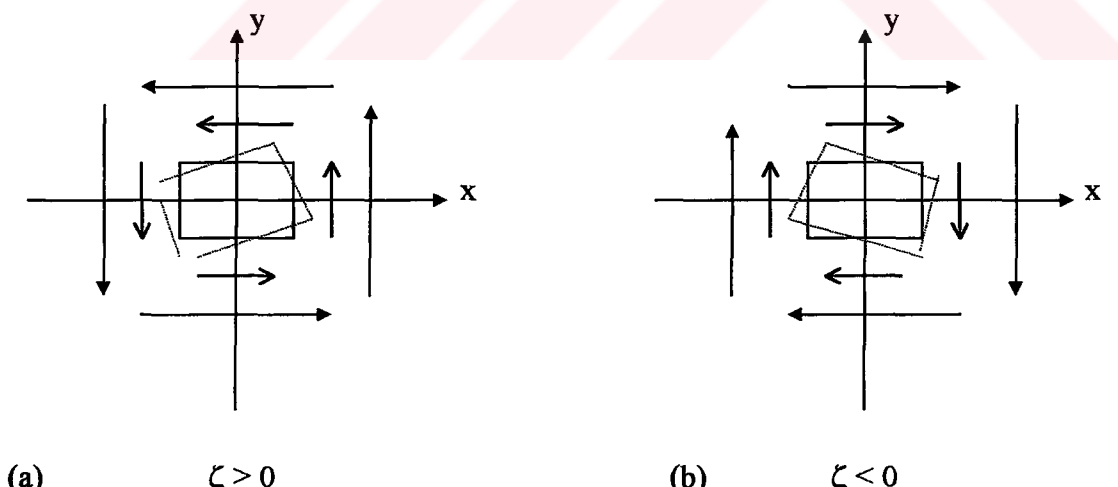
Daha genel terimlerle vortisiti ve sirkülasyon arasındaki bağıntı, hız vektörüne uygulanan Stokes Teoremi ile basitçe verilmiştir.

$$\int U.dI = \int \int (\nabla \times U).ndA \quad (4.6.1.9)$$

Burada A, dış çizgilerle kapatılmış alandır ve n , dA alan elemanına dik birim vektördür (sağdan yaklaşımda pozitif). Böylece, Stokes Teoremi herhangi bir kapalı alandaki sirkülasyonun, dış çizgilerle kapatılmış alanda vortisitinin normal bileşeninin integraline eşit olduğunu ortaya çıkarmıştır. Bundan dolayı sonsuz alanda, alanla bölünmüş sirkülasyon, bölgede vortisitinin ortalama normal bileşenini vermektedir.

Diğer bir ifadeyle vortisiti, bir hava parselinin veya cismin herhangi bir tesirle bir yerden diğer yere giderken bazı etkilerle cismin veya parselin hareketinden başka kendi etrafındaki dönme hareketine denir (Bluestein 1993).

Vortisiti, dönen bütün cisimlere tatbik edilebildiğinden dünyanın da kendi ekseni etrafında dönüşünden dolayı, bir vortisitiye sahip olacağı söylenebilir. Kuzey yarımkürede, yerel düşey dünya rotasyonu bileşeni pozitiftir. Bundan dolayı kuzey yarımkürede hava parseli kendi etrafında saat yönünde ($\zeta < 0$) dönüyorsa buna antisiklonik (-) vortisiti, kendi etrafında saat yönünün tersine ($\zeta > 0$) dönüyorsa buna siklonik (+) vortisiti denir (Şekil 4.6.2). Diğer bir ifade ile diverjansa sahip bir akımda, vortisiti negatiftir yani antisiklonik vortisiti mevcuttur. Konverjansa sahip bir akımda ise vortisiti pozitifdir, yani siklonik vortisiti mevcuttur. Güney yarımkürede de pozitif vortisiti antisiklonik, negatif vortisiti sikloniktir.



Şekil 4.6.2 Bir akış üzerinde pozitif (a) ve negatif (b) vortisitilerin etkisi.

Vortisiti aynı zamanda akışın düz olmayan (eğik) bir yörüngesinde de meydana gelebilir. Oluk ve sırtlar, sahip oldukları karakteristik yörüngelerinden dolayı pozitif(+) ve negatif (-) vortisitiye sahiptir.

Güneyden kuzeye doğru olan hava akımları (kuzey yarımkürede) antisiklonik bir dönüşle doğuya doğru dönmekte, buna karşılık kuzeyli akımlarda, siklonik bir dönüşle yine doğuya yönelmektedir. Rosbby'ye göre, enlem derecelerini kat ederek yol alan hava akımlarının mutlak vortisitisi sabit kalmakta, ancak bağıl vortisiti değişmekte ve kuzeyli akımlarda siklonik vortisiti artmaktadır. Dönüş oranı düzgün (uniform) olduğu için (yönden bağımsız) akış elamanının şekli ve alanı korunmaktadır.

Siklon, dünya ekseni etrafında dünyanın rotasyonuyla aynı yönde olduğunu ifade ederken, antisiklon ise dünyanın rotasyonuna ters yönde olduğunu ifade eder. Böylece siklonik vortisiti, dünya ile aynı rotasyon eksenlerini ifade eden yerel düşey rotasyon elemanları ile karakterize edilir.

Bu açıklamalardan sonra kısaca birim alandaki sirkülasyon olarak tanımlanan bağıl vortisiti denklemi;

$$\zeta = \frac{\partial v}{\partial x} - \frac{\partial u}{\partial y} \quad (4.6.1.10)$$

şeklinde yazılabilir. Burada;

$$u = V \sin \phi,$$

$$v = V \cos \phi,$$

$$\partial v = v_i - v_{i-1}$$

$$\partial u = u_j - u_{j-1}$$

$$V = \text{rüzgar hızı}$$

$$\phi = \text{rüzgar yönü (kuzeyle yapılan açı)}$$

$$\partial x, \partial y = \text{iki nokta arasındaki uzaklığı}$$

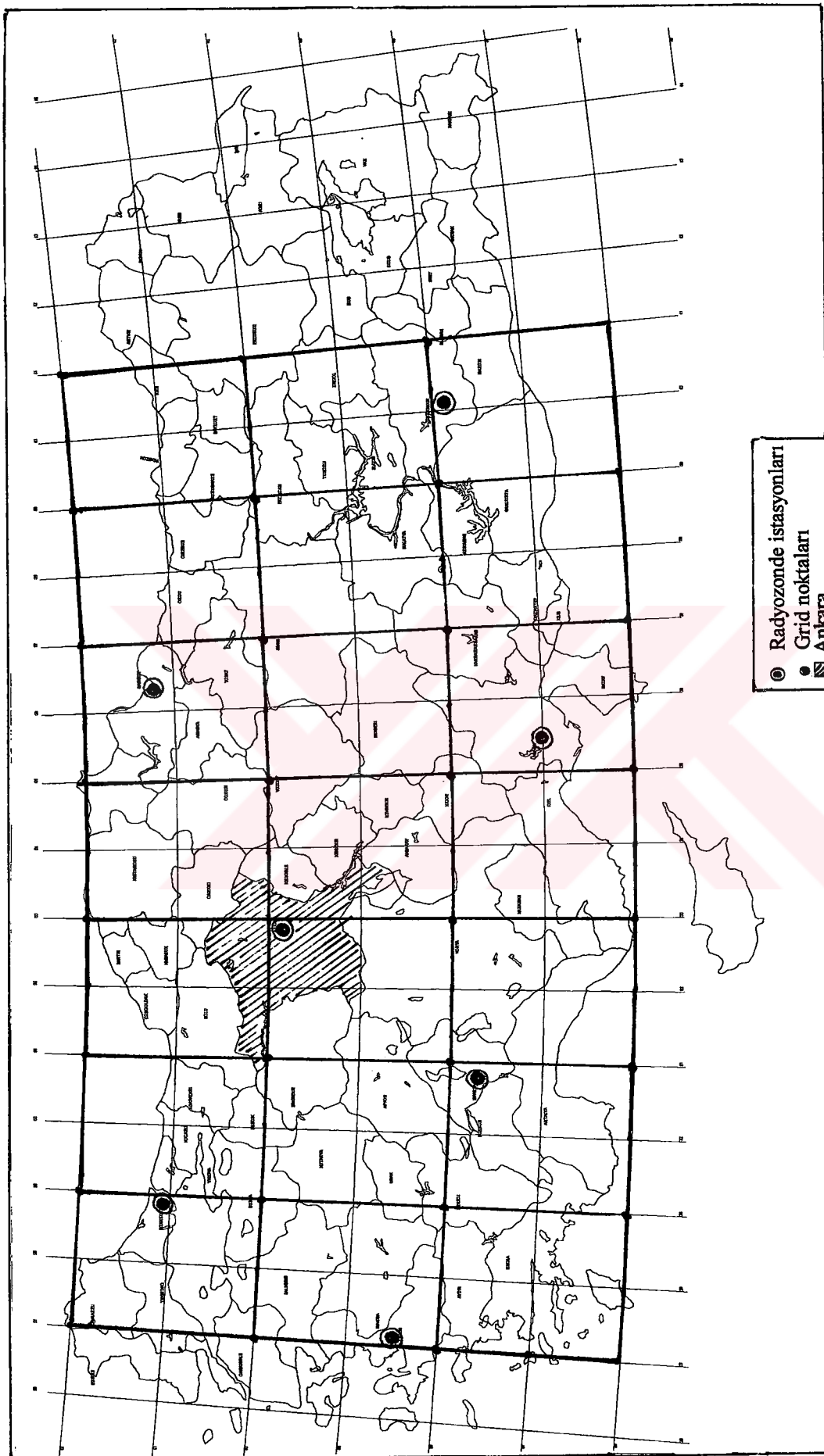
ifade etmektedir.

Vortisitinin ölçüği ise; $U \sim 10 \text{ m /sn}$ yatay ölçek, $L \sim 1,000,000 \text{ m}$ uzunluk ölçüği olmak üzere $\zeta = \frac{\partial v}{\partial x} - \frac{\partial u}{\partial y} \leq U/L \sim 10^{-5} \text{ s}^{-1}$ şeklinde belirtilmektedir.

4.6.2 Hesaplama Metodu

Yukarıda tanımlanan bağıl vortisitiyi hesaplamak için aşağıdaki metod izlenmiştir.

1- Türkiye'deki 7 adet radyosonde istasyonuna ait veriler (0000 GMT ve 1200 GMT) DMI Genel Müdürlüğü'nden temin edilmiştir. Bu radyosonde istasyonlarını içine



Şekil 4.6.2.1 Radyozonde istasyonlarının yerleri ve grid noktaları (8x4).

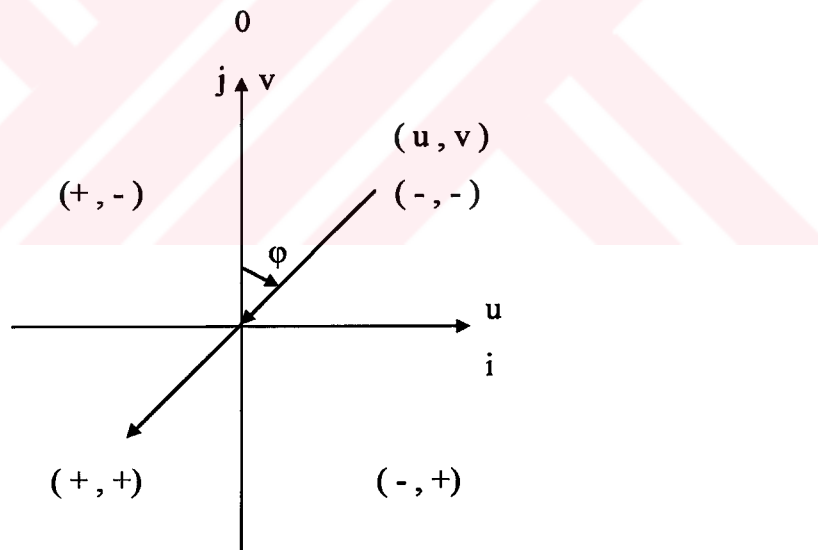
alacak şekilde Türkiye 2 derece aralıklla (1 derece= 111 km.) 32 (8x4) grid noktasına ayrılmıştır (Şekil 4.6.2.1). SURFER programı ile 7 radyosonde istasyonundaki rüzgar hız ve yön verileri kullanılarak 32 grid noktasındaki rüzgar hız ve yön değerleri bulunmuştur.

2- Şekil 4.6.2.2'de gösterildiği gibi, rüzgarın esme yönünün merkeze doğru ve kuzey (N) yönü sıfır (0) olarak kabul edilmiştir. Bu şekilde verilen rüzgar yönünün trigonometrik açıya göre dönüştürülmesi amacıyla; rüzgar yönünün 270'e eşit veya küçük ve 270'den büyük olma durumu α ile gösterilerek, ϕ için;

$$\alpha \leq 270 \text{ için } \phi = 270 - \alpha$$

$$\alpha > 270 \text{ için } \phi = 630 - \alpha$$

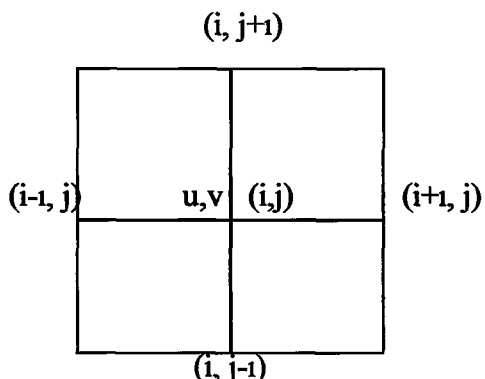
bağıntısı gözönünde bulundurularak $u=V\sin\phi$ ve $v=V\cos\phi$ bileşenleri sırasıyla $u=V\cos\phi$ ve $v=V\sin\phi$ şeklinde yazılmıştır. Bu dönüşümden sonra, grid noktalarındaki rüzgarın hız ve yön değerleri kullanılarak her grid noktası için u ve v değerleri bulunmuştur.



Şekil 4.6.2.2 Rüzgarın yönü ve u ve v bileşenlerinin bölgelere göre işaretü

3- Şekil 4.6.2.3'deki grid noktası yapısı gözönünde bulundurularak $\partial v=v_i-v_{i-1}$ ve $\partial u=u_j-u_{j-1}$ formülü ile ∂v ve ∂u değerleri hesaplanmıştır. Daha sonra ∂x ve $\partial y=111 \text{ km}$ alınarak $\zeta = \partial v / \partial x - \partial u / \partial y$ (4.6.1.10) formülü ile Ankara ili için SO_2 konsantrasyonunda $250 \mu\text{g}/\text{m}^3$ ve $400 \mu\text{g}/\text{m}^3$ 'ü aşan episod günlerine ait 850 hPa (0000 GMT ve 1200

GMT), 700 hPa (0000 GMT) ve 500 hPa (0000 GMT) seviyelerindeki bağıl vortisiti hesaplanmıştır (Tablo B.2).



Şekil 4.6.2.3 Bir grid noktasının yapısı.

Vortisitin işaretine bakılarak negatif olduğu günler değerlendirildiğinde; $\text{SO}_2 \geq 250 \mu\text{g}/\text{m}^3$ episod günlerinde 850 hPa (0000 ve 1200 GMT), 700 hPa (0000 GMT) ve 500 hPa (0000 GMT) seviyelerindeki toplam vortisiti değerlerinin %69.08'i negatifdir. En fazla negatif değerlerin %75.44 ile 850 hPa (1200 GMT) seviyesinde ve en az negatif değerlerin ise %59.50 ile 500 hPa (0000 GMT) seviyesinde meydana geldiği görülmektedir (Tablo 4.6.2.1).

$\text{SO}_2 \geq 400 \mu\text{g}/\text{m}^3$ episod günlerinde ise 850 hPa (0000 ve 1200 GMT), 700 hPa (0000 GMT) ve 500 hPa (0000 GMT) seviyelerindeki toplam vortisiti değerlerinin %74.02'si negatifdir. En fazla negatif değerlerin %82.76 ile 850 hPa (1200 GMT) seviyesinde ve en az negatif değerlerin ise %63.74 ile 500 hPa (0000 GMT) seviyesinde meydana geldiği görülmektedir (Tablo 4.6.2.2).

Tablo 4.6.2.1 ve Tablo 4.6.2.2 karşılaştırıldığında, $\text{SO}_2 \geq 400 \mu\text{g}/\text{m}^3$ episod günlerindeki toplam vortisiti değerlerin negatif olma yüzdesinin (%74.02), $\text{SO}_2 \geq 250 \mu\text{g}/\text{m}^3$ episod günlerindeki toplam vortisiti değerlerinin negatif olma yüzdesinden (%69.08) büyük olduğu görülmektedir. Bu ise vortisitin negatif olma durumu ile yüksek kirletici değerler arasında doğru bir orantının olduğunu göstermektedir.

Tablo 4.6.2.1 $\text{SO}_2 \geq 250 \mu\text{g}/\text{m}^3$ episod günlerine ait vortisitinin negatif olduğu gün sayısı ve yüzdesi

YIL	AY	Episode Gün Sayısı	Basınç Seviyeleri							
			850 hPa				700 hPa		500 hPa	
			1200 GMT		0000 GMT		0000 GMT		0000 GMT	
			Gün	(%)	Gün	(%)	Gün	(%)	Gün	(%)
1989	Ekim	11	2/11	18,2	3/11	27,3	0	0	2/11	18,1
	Kasım	13	9/13	69,2	9/13	69,2	6/13	46,2	7/13	53,8
	Aralık	26	21/24	87,5	19/26	73,1	18/26	69,2	13/26	50
1990	Ocak	30	24/28	85,7	20/29	69	17/30	56,7	20/30	66,7
	Şubat	18	9/13	69,2	9/18	50	13/18	72,2	6/18	33,3
	Mart	17	13/15	86,7	14/17	82,4	13/17	76,5	14/17	82,4
	Ekim	2	1/2	50	2/2	100	2/2	100	2/2	100
	Kasım	17	16/16	100	14/16	87,5	12/17	70,6	11/16	68,8
	Aralık	14	11/13	84,6	10/13	76,9	9/13	69,2	6/14	42,9
1991	Ocak	21	15/21	71,4	16/21	76,2	17/21	81	13/21	61,9
	Şubat	13	8/13	61,5	10/13	76,9	11/13	84,6	8/13	61,5
	Mart	2	*	*			2/2	100	2/2	100
	Kasım	2	1/2	50	2/2	100		50	2/2	100
	Aralık	9	7/9	77,8	5/8	62,5	7/9	77,8	7/9	77,8
1992	Ocak	22	16/22	72,7	14/22	63,6	17/22	77,3	13/22	59,1
	Şubat	10	8/10	80	8/10	80	6/10	60	5/10	50
1993	Ocak	11	7/11	63,6	9/11	81,8	9/11	81,8	9/11	81,8
	Aralık	2	2/2	100	2/2	100	2/2	100	2/2	100
1994	Ocak	3	2/3	66,7	2/3	66,7	2/3	66,7	2/3	66,7
	Genel	243 gün		%675.44		% 70.89		%71.0		%59.5

Tablo 4.6.2.2 $\text{SO}_2 \geq 400 \mu\text{g}/\text{m}^3$ episod günlerine ait vortisitinin negatif olduğu gün sayısı ve yüzdesi

YIL	AY	Episode Gün Sayısı	Basınç Seviyeleri							
			850 hPa				700 hPa		500 hPa	
			1200 GMT		0000 GMT		0000 GMT		0000 GMT	
			Gün	(%)	Gün	(%)	Gün	(%)	Gün	(%)
1989	Kasım	8	5/8	62,5	4/7	57,1	5/8	62,5	4/8	50
	Aralık	11	8/9	88,9	9/11	81,82	8/11	72,7	3/11	27,3
1990	Ocak	18	15/16	93,8	13/17	76,47	13/18	72,2	16/18	88,9
	Şubat	6	4/6	66,7	3/6	50	6/6	100	2/6	33,3
	Mart	2	2/2	100	2/2	100		50	2/2	100
	Kasım	8	8/8	100	7/8	87,5	6/8	75	5/7	71,4
	Aralık	9	8/8	100	7/8	87,5	5/8	62,5	4/9	44,4
1991	Ocak	10	8/10	80	10/10	100	8/10	80	9/10	90
	Şubat	4	2/4	50	2/4	50		75	2/4	50
1992	Ocak	7	5/7	71,4	4/7	57,1	7/7	100	6/7	85,7
	Şubat	6	5/6	83,3	4/6	66,7	3/6	50	2/6	33,3
1993	Ocak	3	2/3	66,7	2/3	66,7	3/3	100	3/3	100
	Genel	92 gün		%82.76		%75.28		%74.73		%63.74

Pissimanis (1991), episodların başlangıcını tahmin etmek için 500 hPa seviyesi haritalarında vortisiti adveksiyonun tetkikinin faydalı olacağını belirtmiştir. Episodların birinci günündeki vortisiti değerinin negatif ve pozitif olma durumu incelenmiştir. En fazla negatif olma durumunun % 79.17 ile 850 hPa 0000 GMT'de, en az ise %61.54 ile 500 hPa 0000 GMT'de olduğu görülmektedir (Tablo 4.6.2.3). Burada, özellikle 850 hPa seviyesindeki vortisiti değerinin hava kirliliği açısından önemli olduğu görülmektedir.

Tablo 4.6.2.3 $\text{SO}_2 \geq 400 \mu\text{g/m}^3$ episodlarının birinci gününde bağıl vortisiti değerinin negatif olma yüzdesi.

Sabit basınç seviyeleri	Rasat Zamanı	Vortisitinin negatif olma yüzdesi (%)
850 hPa	1200 GMT	% 73.08
	0000 GMT	% 79.17
700 hPa	0000 GMT	% 65.38
500 hPa	0000 GMT	% 61.54

Ayrıca, $\text{SO}_2 \geq 400 \mu\text{g/m}^3$ episod günlerine ait 850 hPa (0000 GMT), 700 hPa (0000 GMT) ve 500 hPa (0000 GMT) seviyelerindeki bağıl vortisiti değerleri kullanılarak vortisitinin zaman ardışık düşey profili çizilmiştir (Şekil A.13). Burada da negatif değerli eğrilerin fazlalığı ve sürekliliği görülmektedir.

4.7 Termal Rüzgar

Termal rüzgar, herhangi bir zaman ve belirli bir atmosfer tabakasındaki dikey jeostrofik rüzgar kaymasıdır. Termal rüzgar gerçekten esen bir rüzgar olmayıp hesap edilen bir büyülüktür. Termal rüzgar, gözlenen rüzgar ve sıcaklık alanlarının analizini kontrol etmek için sıkça kullanılan son derece faydalı bir teknik olarak sinoptik hava analizinde kullanılır (Holtan 1990). Bu rüzgar ayrıca bir tabakadaki ortalama yatay sıcaklık adveksiyonunu tahmin etmek için de kullanılır. Termal rüzgar, kuzey yarımkürede sıcak hava sağda olmak üzere izotermelere paralel eser. Böylece, yükseklikle saat yönünün tersinde dönen (Backing) jeostrofik rüzgar soğuk hava adveksiyonunu, yükseklikle saat yönünde dönen (Veering) jeostrofik rüzgar ise sıcak hava adveksiyonunu belirler.

Sürtünme tabakasının üzerinde rüzgar ve basınç alanlarının hemen hemen jeostrofik dengede bulunduklarında hareket edilerek, rüzgar vektörünün düşey değişimi başlıca jeostrofik rüzgarın düşey değişimi vasıtıyla bulunur (Tuna, 1982).

İki basınç seviyesi arasındaki rüzgar hızının farklıları jeostrofik rüzgar şırının bir ölçüsü olup, tabakanın yatay ortalama sıcaklık gradyam ile doğru orantılıdır. Her iki büyülükte, cephesel zonlarda büyük değerlere ulaşır ve tamamen barotropik olan sıcak havada ise çok daha küçüktür. Sıcak hava kütlelerinde jeostrofik rüzgar yükseklikle çok az veya hiç dönmez. Termal rüzgar jeostrofik rüzgar ile sıcaklığın yatay dağılımı arasında olan ilişkiye benzer bir şekilde, jeopotansiyel yüksekliğin yatay dağılımıyla de ilişkilidir (Kadioğlu, 1995).

Termal rüzgar denklemi kullanılarak yerdeki veya herhangi bir referans seviyesindeki $T(x,y,p)$ dağılımı, $P(x,y)$ veya $Vg(x,y)$ sınır şartları ile birlikte bilinirse jeostrofik rüzgar alanı tam olarak belirlenebilir.

İzobarik koordinatlarda jeostrofik rüzgar denklemi;

$$u_g = -1/f * \partial\phi/\partial y \quad (4.7.1)$$

$$v_g = 1/f * \partial\phi/\partial x \quad (4.7.2)$$

şeklinde ifade edilmektedir (Holtan, 1990). Bu denklemden hareketle iki basınç seviyesindeki jeopotansiyel yükseklik gözönünde bulundurularak termal rüzgar,

$$u_T = -1/f * \partial(\phi_1 - \phi_0)/\partial y \quad (4.7.3)$$

$$v_T = 1/f * \partial(\phi_1 - \phi_0)/\partial x \quad (4.7.4)$$

$$W_T = \sqrt{u_T^2 + v_T^2} \quad (4.7.5)$$

şeklinde yazılmaktadır. Burada;

$$f = 2 \Omega \sin \varphi ,$$

ϕ_0 = 850 hPa seviyesindeki jeopotansiyel yükseklik değeri,

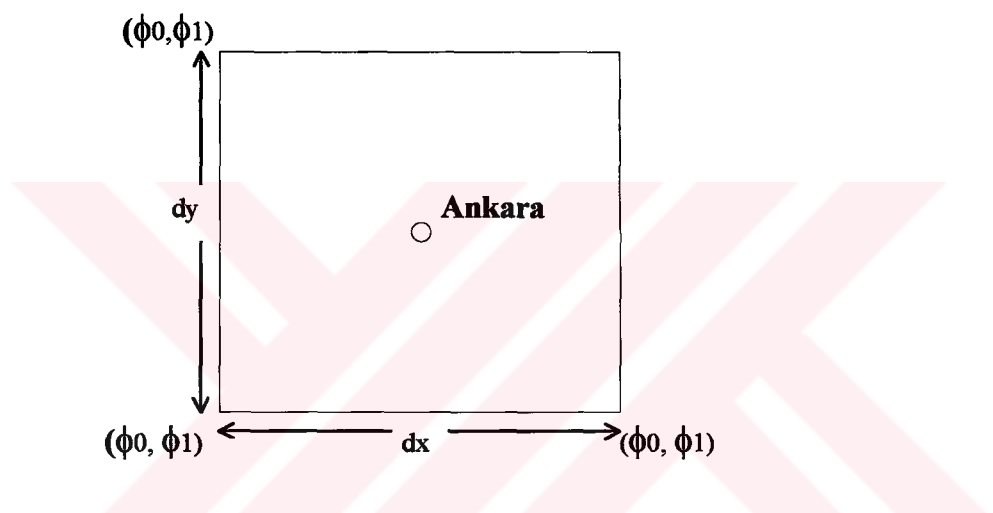
ϕ_1 =700 hPa seviyesindeki jeopotansiyel yükseklik değeri,

∂x ve ∂y = iki grid noktası arasındaki uzaklığıdır.

4.7.1 Hesaplama Metodu

Yukarıda tanımlanan termal rüzgarı hesaplamak için aşağıdaki metod izlenmiştir.

1- Türkiye'deki 5 adet radyosonde istasyonundan (Ankara, İstanbul, Samsun, Isparta ve Adana) 1989-1994 yıllarına ait 850 hPa ve 700 hPa seviyelerindeki jeopotansiyel yükseklik verileri (0000 GMT) kullanılmıştır. Bu radyosonde istasyonlarını içine alacak şekilde Türkiye 1 derece aralıklla (1 derece= 111 km.) 60 (10x6) grid noktasına ayrılmıştır. SURFER programı ile 5 radyosonde istasyonundaki 850 hPa ve 700 hPa basınç seviyelerindeki jeopotansiyel veriler kullanılarak 60 grid noktasındaki jeopotansiyel yükseklik değerleri bulunmuştur.



Şekil 4.7.1.1 Termal rüzgar hesaplanmasındaki grid noktası yapısı.

2- Şekil 4.7.1.1'de belirtilen grid noktası yapısı çerçevesinde grid noktalarındaki jeopotansiyel yükseklik veriler kullanılarak $u_T = -1/f * \partial(\phi_1 - \phi_0)/\partial y$ (4.7.3), $v_T = 1/f * \partial(\phi_1 - \phi_0)/\partial x$ (4.7.4) ve $WT = \sqrt{u_T^2 + v_T^2}$ (4.7.5) denklemleri ile Ankara bölgesinde episod günlerine ($SO_2 \geq 400 \mu g/m^3$) ait termal rüzgar değerleri hesaplanmıştır (Tablo B.2). Bu tabloya bakıldığından bir gün hariç diğer günlere ait termal rüzgar verileri 1 (bir)'den küçüktür. Ayrıca, termal rüzgar verileri sınıflandırılmıştır (Tablo 4.7.1.1). Değerlerin 1(bir)'den küçük olması ve %47.2'sinin 0.05-0.25 aralığta yer alması episod günlerinde 850 hPa ile 700 hPa arasında yatay sıcaklık gradyanının da küçük olduğunu göstermektedir. Bu durum, episod günleri için çizilmiş olan düşey sıcaklık profillerine bakıldığından doğrulanmaktadır. Böyle bir atmosferde hava sakin ve düşey hareketler az olduğundan kirleticiler alt tabakalarda birikir ve hava kirliliğinin artmasına neden olur.

Tablo 4.7.1.2 Termal rüzgar değerlerinin sınıflandırılması,

	SİNİFLANDIRMA						
	A	B	C	D	E	F	G
Aralık	0.05-0.25	0.26-0.45	0.46-0.65	0.66-0.85	0.86-1.05	1.06-1.25	1.26-1.45
Sayı(%)	43 (%47.2)	31 (%34.1)	11 (%12.1)	4 (%4.4)	1 (%1.1)	0	1 (%1.1)

4.8 Yatay Basınç Gradyanı

Şehir alanlarındaki hava kirliliği episodlarının oluşumunun yüksek basınç sisteminin varlığı veya yukarıdaki sıcak “sırt” özelliğinin sıkça sebep olduğu yüzeydeki zayıf basınç gradyanlarının varlığıyla oluşmaktadır (Vukovich, 1978).

Herhangi bir büyülügün mesafe ile değişim miktarına gradyan denir. Basıncın mesafe ile değişimine de basınç gradyanı denir. Yatay basınç gradyanı, iki izobar arasındaki basınç farkının iki izobar arasındaki uzaklığa bölümüdür. Diğer bir ifade ile verilen bir yatay uzaklıkta meydana gelen basınç değişim miktarı yatay basınç gradyanını verir (Ahrens, 1988).

$$\text{Basınç gradyanı} = \frac{\partial p}{\partial x} \quad (4.8.1)$$

ile ifade edilmektedir. Burada; ∂p , yatay iki nokta arasındaki basınç farkı ve ∂x ise yatay iki nokta arasındaki uzaklıktır.

Şekil olarak küçük aralıklar üzerinde izobarların toplanması kuvvetli basınç gradyanını, geniş aralıklar üzerinde izobarların toplanması ise zayıf basınç gradyanı olarak tanımlanır (Ahrens, 1988). Yatay basınçındaki değişime izobarlara dik bir açıyla yüksek basınçtan düşük basınçlara doğru yönelen basınç gradyanı kuvveti neden olur. Kuvvetin büyüklüğü direkt olarak basınç gradyanı ile ilgilidir. Sonuç olarak yüzey hava haritaları üzerindeki sık(dar) aralıktaki izobarlar kuvvetli basınç gradyanlarını, kuvvetli ve yüksek rüzgarları, geniş aralıktaki izobarlar ise zayıf basınç gradyanlarını, zayıf ve hafif rüzgarları gösterir (Ahrens, 1988). Sıcak havadaki dikey basınç gradyanı, soğuk havadaki dikey basınç gradyanından daha küçüktür (Tuna, 1982).

Bu çalışmada episod olarak tanımlanan ($\text{SO}_2 \geq 250 \mu\text{g}/\text{m}^3$ ve $400 \mu\text{g}/\text{m}^3$) günlerdeki basınç gradyanlarını tespit etmek için DMİ Genel Müdürlüğü'nden temin edilen sinoptik yer kartları (DMİ) ve Almanya'da 'Freie Universität Berlin, Institut für

Meteorogie” tarafından yayınlanan “Meteorologische Abhandlungen” isimli günlük bültenlerden yararlanılmıştır. Subjektif yöntemle 0000 GMT yer kartlarından basınç gradyanları tespit edilerek $\text{SO}_2 \geq 250$ ve $400 \mu\text{g}/\text{m}^3$ episod günleri için ayrı ayrı sınıflandırma yapılmıştır (Tablo 4.8.1 ve Tablo 4.8.2). Sınıflandırma;

A= Çok zayıf ($<5 \text{ mb}/1100 \text{ km}$),

B= Zayıf ($5 \text{ mb}/550-1100 \text{ km}$),

C= Kuvvetli ($5 \text{ mb}/100-550 \text{ km}$)

D= Çok kuvvetli ($>5 \text{ mb}/0-100 \text{ km}$)

şeklinde dört grup halinde yapılmıştır.

SO_2 konsantrasyonunun $250 \mu\text{g}/\text{m}^3$ 'ü aştiği günlerde basınç gradyanının %17.33'ü çok zayıf ($<5 \text{ mb}/1100 \text{ km}$), %36.14'ü zayıf ($5 \text{ mb}/550-1100 \text{ km}$) ve %46.04'ü kuvvetli ($5 \text{ mb}/100-550 \text{ km}$) sınıfına girmektedir (Tablo 4.8.1).

Tablo: 4.8.1 $\text{SO}_2 \geq 250 \mu\text{g}/\text{m}^3$ episod günlerindeki basınç gradyanı (0000 GMT) sınıflandırılması.

Episode Tarihi		Sınıflandırma			
		Çok zayıf	Zayıf	Kuvvetli	Çok Kuvvetli
		$<5 \text{ mb}/1100 \text{ km}$	$5 \text{ mb}/550-1100 \text{ km}$	$5 \text{ mb}/100-550 \text{ km}$	$>5 \text{ mb}/0-100 \text{ km}$
Yıl	Ay	A	B	C	D
	Ekim	3/11 (11)	3/11 (11)	5/11 (11)	
	Kasım	2/13 (13)	6/13 (13)	5/13 (13)	
1989	Aralık	1/26 (26)	7/26 (26)	17/26 (26)	1/26 (26)
	Ocak	7/30 (30)	7/30 (30)	16/30 (30)	
	Şubat	1/18 (18)	6/18 (18)	11/18 (18)	
	Mart	1/16 (17)	8/16 (17)	7/16 (17)	
	Ekim		2/2 (2)		
	Kasım	8/17 (17)	2/17 (17)	7/17 (17)	
	Aralık		10/14 (14)	4/14 (14)	
1990	Ocak	7/15 (21)	4/15 (21)	4/15 (21)	
	Şubat		6/6 (13)		
	Mart(*)	[2]			
	Kasım		½ (2)	1/2 (2)	
	Aralık		¾ (9)	1/4 (9)	
1992	Ocak	3/11 (22)	4/11 (22)	4/11 (22)	
	Şubat		3/7 (10)	4/7 (10)	
1993	Ocak	2/10 (11)	1/10 (11)	7/10 (11)	
	Aralık(*)	[2]			
1994	Ocak(*)	[3]			
Genel	Sayı	35/202 (243)	73/202 (243)	93/202 (243)	1/202 (243)
Toplam	Yüzde	%17,33	%36,14	%46,04	%0,5

Not: (*) Episod olmasına karşın basınç gradyanı verisi yok

SO_2 konsantrasyonunun $400 \mu\text{g}/\text{m}^3$ 'ü aştiği günlerde ise basınç gradyanının %23.6'ü çok zayıf ($<5 \text{ mb}/1100 \text{ km}$), %43.8'i zayıf ($5 \text{ mb}/550-1100 \text{ km}$) ve %32.6'sı kuvvetli ($5 \text{ mb}/100-550 \text{ km}$) sınıfına girmektedir (Tablo 4.8.2).

Tablo: 4.8.2 $\text{SO}_2 \geq 400 \mu\text{g}/\text{m}^3$ episod günlerindeki basınç gradyanı (0000 GMT) sınıflandırılması

Episode Tarihi		Sınıflandırma			
		Çok zayıf	Zayıf	Kuvvetli	Çok Kuvvetli
Yıl	Ay	<5 mb/1100 km	5 mb/550-1100 km	5 mb/100-550 km	>5 mb/0-100 km
		A	B	C	D
1989	Kasım	2/8 (8)	5/8 (8)	1/8 (8)	
	Aralık		3/11 (11)	8/11 (11)	
	Ocak	7/18 (18)	5/18 (18)	6/18 (18)	
	Şubat	1/6 (6)	3/6 (6)	2/6 (6)	
1990	Mart		2/2 (2)		
	Kasım	4/8 (8)	2/8 (8)	2/8 (8)	
	Aralık		8/9 (9)	1/9 (9)	
1991	Ocak	5/10 (10)	2/10 (10)	3/10 (10)	
	Şubat		4/4 (4)		
1992	Ocak(*)	1/4 (7)	2/4 (7)	1/4 (7)	
	Şubat		3/6 (6)	3/6 (6)	
1993	Ocak	1/3 (3)		2/3 (3)	
Genel	Sayı	21/89 (92)	39/89 (92)	29/89 (92)	
Toplam	Yüzde	%23.6	%43.8	%32.6	%0

Tablo 4.8.1 ve 4.8.2'deki durum episod günlerinde atmosferin genelde sakin olduğunu, hareketli ortamın olmadığını göstermektedir. Ayrıca, $250 \mu\text{g}/\text{m}^3$ 'ü aşan günlerdeki basınç gradyanı ile $400 \mu\text{g}/\text{m}^3$ 'ü aşan günlerdeki basınç gradyanı karşılaştırıldığında; $400 \mu\text{g}/\text{m}^3$ 'ü aşan günlerdeki basınç gradyanında çok zayıf ($<5 \text{ mb}/1100 \text{ km}$) ve zayıf ($5 \text{ mb}/550-1100 \text{ km}$) sınıfındaki yüzde oranları (sırasıyla %23.6 ve %43.82) $250 \mu\text{g}/\text{m}^3$ 'ü aşan günlerdeki basınç gradyanındaki yüzde oranlarından (sırasıyla %17.33 ve %36.14) büyük, kuvvetli ($5 \text{ mb}/100-550 \text{ km}$) sınıfındaki yüzde oranı (%32.58) ise küçüktür(%46.04). Bu durum; basınç gradyanları ile hava kirliliği arasında bağıntı olduğunu göstermesinin yanı sıra “çok zayıf” ve “zayıf” sınıfındaki basınç gradyanlarının olduğu günlerde kirletici konsantrasyon değerlerinin arttığını göstermektedir.

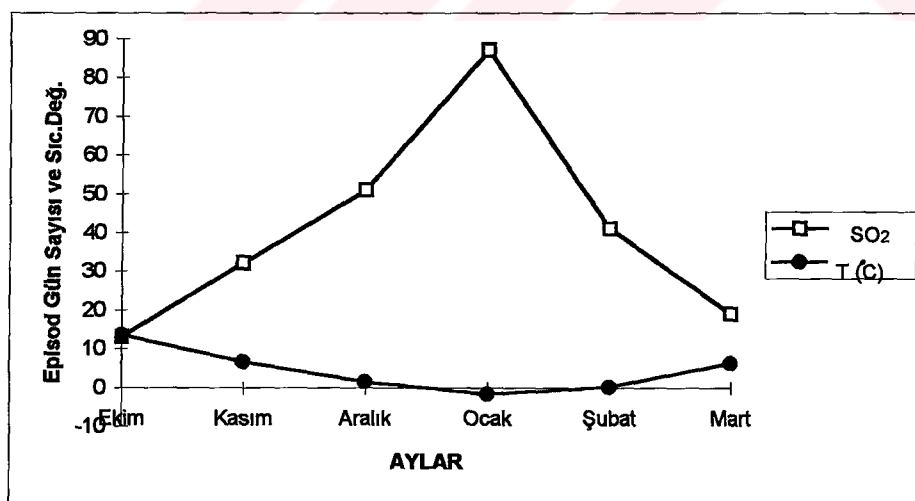
4.9. Yüzey Sıcaklık Verileri

Yüzey atmosfer sıcaklığı özellikle konut ısıtılma sürecini temsil etmesi bakımından kullanılan bir parametredir. Çalışma dönemi içerisindeki ayların ortalama sıcaklık değerleri hesaplanmıştır (Tablo 4.9.1). Aylık ortalama sıcaklık değerleri ile aylık episod gün sayısı karşılaştırıldığında aralarında ters bir orantının olduğu görülmektedir (Şekil 4.9.1, Şekil 4.9.2). Bunun nedeni olarak; sıcaklığın az olduğu günlerde ısınma amacıyla daha fazla yakıt kullanılması sonucu atmosfere daha fazla kirletici yayılması veya meteorolojik şartların sözkonusu zamanlarda hava kirliliği lehine daha fazla etkili olmasıdır.

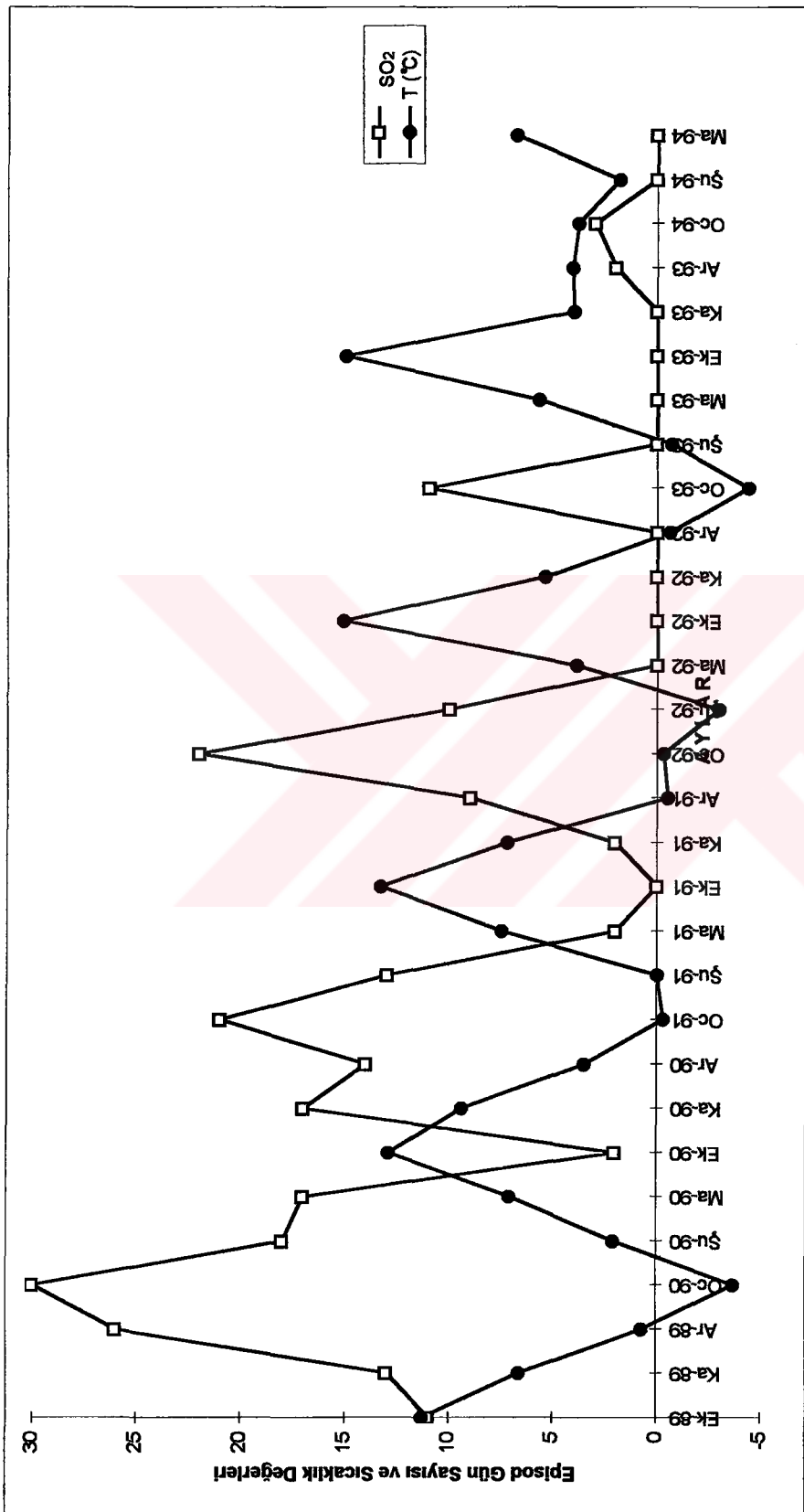
Tablo 4.9.1 1989-1994 periyodunun kiş aylarında ortalama sıcaklık değerleri ($^{\circ}\text{C}$)

AYLAR	YILLAR						Ortalama
	1989	1990	1991	1992	1993	1994	
Ocak	*	-3,7	-0,3	-4,4	-4,0	3,8	-1,72
Şubat	*	2,1	0,0	-3,0	-0,7	1,8	0,04
Mart	*	7,1	7,5	3,9	5,7	6,8	6,2
Ekim	11,3	12,9	13,3	15,1	15,0	*	13,52
Kasım	6,6	9,4	7,2	5,4	4,0	*	6,52
Aralık	0,7	3,5	-0,5	-0,6	4,1	*	1,44

Not: (*) Bu aylar çalışma dönemi kapsamında değildir.



Şekil 4.9.2. Episod ($\text{SO}_2 \geq 250 \mu\text{g}/\text{m}^3$) gün sayısı ve aylık ortalama sıcaklık değerleri



4.10. Yüzey Basınç Değerleri

Yere yakın atmosferdeki sirkülasyonun, izobarlara paralel ve yüksek basınç merkezleri etrafında saat ibrelerinin yönünde, alçak basınç merkezleri etrafında ise saat ibrelerinin tersi yönünde olduğu bilinmektedir. Aşağı seviyelerde sirkülasyon; her iki dönüş şeklinde de izobarları küçük bir açı ile keserek, alçak basınçta doğru bir sapma göstermektedir. Bunun sonucu olarak da alçak basınç merkezleri etrafında konverjans ve dolayısıyla yükselme hareketi, yüksek basınç merkezleri etrafında ise diverjans ve dolayısıyla çökme hareketi meydana gelmektedir. Bu çökme hareketi yukarı seviyelerde sıcaklığın artmasına, dolayısıyla atmosferin kararlı olmasına ve sonuçta düşey karışımın sınırlanmasına neden olmaktadır.

Alçak(siklon) ve yüksek(antisiklon) basınç merkezleri etkilerini ve yaşam sürelerini birkaç günlük periyotda sürdürbilmektedir. Siklonlar genel olarak yağış, şiddetli rüzgar ve etkin düşey hareketle karakterize edilirler. Bu nedenle alçak basınç merkezlerinin bulunduğu bölgede temiz hava, hızlı yada iyi karışım, taşınım ve seyrelme sözkonusu olmaktadır. Yüksek basınç merkezleri ise hafif ya da sakin rüzgar ve sınırlanmış düşey hareketle karakterize edilir. Dolayısıyla yüksek basınç merkezlerinin bulunduğu bölgelerde, kirleticilerin daha büyük hacimde seyrelmelerini engelleyen yavaş ya da zayıf karışım ve dağılım sözkonusu olmaktadır.

$\text{SO}_2 \geq 400 \mu\text{g}/\text{m}^3$ episodlarının ve bu episodların meydana geldiği ayların ortalama basınç değerleri hesaplanmıştır (Tablo 4.3.1 ve Tablo 4.10.1). 26 adet episodun 20'sinde episod günlerine ait ortalama basınç değeri episodun meydana geldiği ayın ortalama basınç değerinden büyük olduğu görülmüştür.

Diğer taraftan, $\text{SO}_2 \geq 400 \mu\text{g}/\text{m}^3$ episodlarından episod devamlılık süresi 2 günden fazla devam eden E6, E8, E10, E13, E16 E21, E22 ve E25 episodlarının birinci gün ve bir önceki günün, E1, E4, E5 ve E26 episodlarının ise birinci gününe ait sinoptik yer kartları (0000 GMT) incelenmiştir (Şekil A.14). Bu incelemede genelde episodların bir önceki gününde Balkanlar ve Rusya üzerinde yüksek basınç sisteminin olduğu ve Türkiye'nin de bu basınç sisteminin etkisi altında kaldığı, episodların birinci gününde ise Ankara bölgesi ya yüksek basınç sistemi merkezinde yer aldığı yada merkezi Rusya ve Balkanlarda yer alan yüksek basınç sisteminin etkisinde kaldığı görülmüştür.

Bu durumda, yüksek basınç sistemlerinin olduğu günlerde kirletici değerlerin daha fazla olduğu görülmektedir. Çünkü yüksek basınç merkezleri hafif ya da sakin rüzgar ve sınırlanmış düşey hareketleri karakterize etmekte ve dolayısıyla yüksek basınç merkezlerinin bulunduğu bölgelerde, kirleticilerin daha büyük hacimde seyrelmelerini engelleyen yavaş ya da zayıf karışım ve dağılım söz konusuudur.

Tablo 4.10.1 $\text{SO}_2 \geq 400 \mu\text{g}/\text{m}^3$ episod günlerinin ve bu episodların meydana geldiği ayların ortalama basınç değerleri (yer-0000 GMT).

Episodlar	Basınç (mb)		Episodlar	Basınç (mb)	
	Episod Ort.	Aylık Ort.		Episod Ort.	Aylık Ort.
E1	919.6	914.6	E14	917.0	916.0
E2	920.3	914.6	E15	917.5	916.0
E3		917.0	E16	922.0	916.0
E4	917.7	917.0	E17	917.0	917.8
E5	919.5	917.0	E18	917.5	917.8
E6	915.3	920.5	E19	920.5	917.8
E7	919.5	920.5	E20	920.5	917.8
E8	921.3	920.5	E21	919.3	914.8
E9	919.0	920.5	E22	926.3	919.0
E10	917.3	913.0	E23	928.0	919.0
E11	919.5	913.0	E24	923.0	919.0
E12	912.5	919.3	E25	918.5	913.6
E13	918.9	916.4	E26	925.7	919.4

BÖLÜM 5

SONUÇLAR VE ÖNERİLER

5.1 Sonuçlar

Bu tez çalışmasında, ileriye yönelik hava kirliliği kontrol stratejilerin belirlenmesinde kullanılmak üzere Ankara şehrinde 1989-1994 dönemi içerisinde kış aylarında (Ekim-Mart) meydana gelen hava kirliliği seviyelerinin yükselmesine yol açan atmosferik şartların analizi yapılmıştır. Bu amaçla ulusal hava kalitesi standart değerleri ve episod kavramı gözönüne alınmıştır. Episod nitelikteki günlerin ($\text{SO}_2 \geq 250$ ve $400 \mu\text{g}/\text{m}^3$) yerel meteorolojik parametreler ve sinoptik ölçekteki olaylarla aralarındaki bağlantılar analiz edilmiştir.

Topografik yapısı çanak şeklinde olan Ankara şehrinde kış aylarında meydana gelen hava kirliliği seviyelerinin temel kaynağı ısınma nedeniyle kullanılan yakıtlardır. Şehirde 1990 yılından itibaren doğal gaz ve ithal kömür kullanımına başlanılmıştır. Emisyon kaynaklarında zaman içerisinde meydana gelen bu değişiklik şehirde ölçülen hava kirliliği seviyelerine de yansımıştır. Hava kirliliği seviyelerinin irdelenmesinde kullanılan “episod” kavramı için 24 saatlik ortalamada SO_2 için $250 \mu\text{g}/\text{m}^3$, PM için $200 \mu\text{g}/\text{m}^3$ değeri episod eşiği olarak uygulanmıştır. Bu episod eşiğinin yanısıra Ulusal Hava Kalitesi Standartlarında kısa vadeli sınır (KVS) değer olan SO_2 için $400 \mu\text{g}/\text{m}^3$ ve PM için $300 \mu\text{g}/\text{m}^3$ aşılma seviyeleri de kullanılmıştır. Bu çerçevede yapılan atmosferik şartların analiz sonuçları aşağıda verilmiştir.

- 1- Yatay basınç gradyanı değerleri ile hava kirliliği seviyeleri arasında beklenen ilişki açık bir şekilde gözlenmiştir. Subjektif yöntemle sinoptik yer kartlarından (0000 GMT) basınç gradyanları tesbit edilerek $\text{SO}_2 \geq 250$ ve $400 \mu\text{g}/\text{m}^3$ episod günleri için, “Çok zayıf (<5 mb/1100 km)”, “zayıf (5 mb/550-1100 km)”, “kuvvetli (5 mb/100-550 km)” ve “çok kuvvetli (>5 mb/1-100 km)” şeklinde sınıflandırma

yapılmıştır. Burada, basınç gradyan değerlerin 550-1100 km. arada 5 mb olması halinde kirletici konsantrasyon değerlerinin daha fazla arttığı tesbit edilmiştir. Bu durum zayıf basınç gradyan günlerinde yüzey atmosferin genelde sakin olduğunu, taşınmanın etkili olmadığı dolayısıyla kirleticilerin dağılmayarak aşağı seviyelerde daha fazla birikmesine neden olduğunu işaret etmektedir.

- 2- Yüzey enverziyonların hava kirliliği seviyelerinin artmasında önemli rol oynadıkları ve Ankara'da sadece gece (0000 GMT) enverziyonların değil gündüz (1200 GMT) enverziyonlarının da önemli olduğu belirlenmiştir.
- 3- Türkiye'deki 7 adet radyosonde istasyonundaki rüzgar yön ve hız değerleri kullanılarak $\text{SO}_2 \geq 250 \mu\text{g}/\text{m}^3$ ve $\text{SO}_2 \geq 400 \mu\text{g}/\text{m}^3$ episod günlerine ait 850 hPa (0000 ve 1200 GMT), 700 hPa (0000 GMT) ve 500 hPa (0000 GMT) seviyelerindeki bağıl vortisiti değeri hesaplanmıştır. Bu değerler kullanılarak episod günlerindeki ($\text{SO}_2 \geq 400 \mu\text{g}/\text{m}^3$) düşey vortisiti değişimleri gösterilmiştir. Bağıl vortisiti değerlerinin analizinde şu hususlar tesbit edilmiştir.
 - a) $\text{SO}_2 \geq 250 \mu\text{g}/\text{m}^3$ episod günlerinde 850 hPa (0000 ve 1200 GMT), 700 hPa (0000 GMT) ve 500 hPa (0000 GMT) seviyelerindeki toplam vortisiti değerlerin %69.08'i negatiftir. Burada en fazla negatif olma durumu %75.44 ile 850 hPa (1200 GMT) seviyesinde, en az negatif olma durumu ise %59.50 ile 500 hPa (0000 GMT) seviyesindedir. $\text{SO}_2 \geq 400 \mu\text{g}/\text{m}^3$ episod günlerinde 850 hPa (0000 ve 1200 GMT), 700 hPa (0000 GMT) ve 500 hPa (0000 GMT) seviyelerindeki toplam vortisiti değerlerinin %74.02'si negatiftir. En fazla negatif olma durumu %82.76 ile 850 hPa (1200 GMT) seviyesinde, en az negatif olma durumu ise %63.74 ile 500 hPa (0000 GMT) seviyesinde meydana gelmiştir.
 - b) $\text{SO}_2 \geq 400 \mu\text{g}/\text{m}^3$ episod günlerde genel toplamda ve her bir sabit basınç seviyelerindeki vortisiti değerlerinin negatif olma yüzdesi, $\text{SO}_2 \geq 250 \mu\text{g}/\text{m}^3$ episod günlerdeki vortisiti değerlerinin negatif olma yüzdesinden büyük olduğu görülmüştür. Bu durum, vortisitin negatif olma durumu ile yüksek kirletici konsantrasyonunun ortaya çıkışının beklediğini göstermiştir.
 - c) Ayrıca, 850 hPa basınç seviyesindeki vortisitin negatif olma yüzdesinin 700 hPa ve 500 hPa basınç seviyesindeki vortisitin negatif olma yüzdesinden büyük olduğu, ayrıca episodların birinci günündeki vortisiti değerinin en fazla negatif olma

durumunun %79.17 ile 850 hPa (0000 GMT) seviyesinde meydana geldiği görülmüştür. Bu durum, vortisitide de 850 hPa seviyesinin önemli olduğunu göstermektedir.

- 4- 850 hPa (0000 GMT) ve 700 hPa (0000 GMT) seviyesindeki jeopotansiyel yükseklik değerleri kullanılarak $\text{SO}_2 \geq 400 \mu\text{g}/\text{m}^3$ episod günlerine ait termal rüzgar değerleri hesaplanmıştır. Termal rüzgar değerlerinin 1(bir)'den küçük ve 0.313 civarında bir ortalamaya sahip olduğu ve bu değerlerin, %47.2'sinin 0.05-0.25 aralıkta yer aldığı tesbit edilmiştir. Bu durum episod günlerinde 850 hPa ile 700 hPa seviyeleri arasında yatay sıcaklık gradyanının da küçük olduğunu belirtmektedir. Episod günleri ($\text{SO}_2 \geq 400 \mu\text{g}/\text{m}^3$) için çizilmiş olan düşey sıcaklık profillerinin de bu durumu desteklediği görülmüştür.
- 5- Aşağı troposferde yaklaşık 1.5 km'ye karşı gelen 850 hPa seviyesi bu atmosfer bölgesinin kararlılık özelliğini yansıtmaktadır. Özellikle 850 hPa seviyesi yüzey sıcaklığıla beraber değerlendirilmesi bu durumu belirler. Bu amaçla 850 hPa seviyedeki sıcaklığın episod günlerinin belirlenmesi konusunda önemli olduğu tesbit edilmiştir. Episod günlerine ($\text{SO}_2 \geq 400 \mu\text{g}/\text{m}^3$) ait 850 hPa (0000 GMT) seviyesindeki sıcaklık değerleri analiz edilmiş, episodların birinci gününe kadar sıcaklığın azaldığı, episodların birinci gününden itibaren ise sıcaklığın artmaya başladığı belirlenmiştir.
- 6- Episod günlerine ($\text{SO}_2 \geq 400 \mu\text{g}/\text{m}^3$) ait yer, 850 hPa, 700 hPa ve 500 hPa seviyelerindeki (0000 GMT) sıcaklık değerleri kullanılarak atmosferin düşey sıcaklık profilleri çizilmiştir. Rüzgarın yükseklikle saat yönünde değişmesinin sıcak adveksyonun meydana gelişini göstermesi, bu çerçevede, episod günlerindeki adveksyon özelliğinin önemini ortaya koymaktadır. Toplam 88 episod gününün 66 gününde (%75) ve 24 adet episodun 18'nin birinci gününde (%75) rüzgarın yükseklikle antisiklonik olarak değiştiği ve ayrıca 24 adet episodun 22'sindeki (%92) en yüksek SO_2 konsantrasyonunun rüzgarın yükseklikle antisiklonik olarak değiştiği günlerde meydana geldiği tesbit edimiştir. Bu durum, hava kirliliğinin olduğu günlerin analiz edilmesinde düşey sıcaklık dağılım profilinin önemli bir araç olduğunu göstermektedir.

Sonuç olarak; aşağı atmosferin dispersif özellikleri ölçek kavramının ışığı altında hava kirliliği seviyeleri üzerindeki etkileri incelenmiştir. Bu incelemenin en çarpıcı yönü bağıl vortisitin kullanımıdır. Bağıl vortisi ile episod niteliğindeki hava kirliliği arasında doğrudan bir etkileşimin bulunması ve bunun diğer meteorolojik parametrelerle de doğrulanması hava kirliliğinin analizi konusunda vortisitin son derece önemli bir gösterge olduğunu göstermektedir.

5.2 Öneriler

Sonuçlar kısmında da belirtildiği üzere bu tez çalışmasının temel amacı hava kirliliği kontrol stratejilerine ışık tutmak amacıyla atmosferik şartların ayrıntılı analizinin yapılmasıdır. Bu analiz içinde en önemli yeri tutan atmosferik özellik için bağıl vortisitidir. Burada hareketle bağıl vortisitin işaretinin (negatif/pozitif) yanısıra büyülüğünün de analiz edilmesinde fayda görülmektedir. Ayrıca, hava kirliliği ile aralarında bağıntılar bulunan meteorolojik parametreler ve atmosferik yapı gözönünde bulundurularak episod nitelikli hava kirliliği seviyelerini tahmin edebilmeye yardımcı olabilecek bir indis geliştirilmesinde fayda görülmektedir.

KAYNAKLAR

- Ahrens, C.D., (1988), Meteorology Today, An Introduction to Weather, Climate, and the Environment, Third Edition, West Publishing Company.
- Atımtay, A. and S.Kayın, (1997), Air Pollution Modelling Studies in the City Ankara, Environmental Research Forum, 7-8, 432-436 Trans.Tech. Publications, Switzerland.
- Ayalp, A., (1976), İstanbul'da Atmosfer Kirlenmesi, Doktora Tezi, İstanbul Üniversitesi.
- Barry, R.G. and R.J.Chorley, (1992), Atmosphere, Weather and Climate, Routledge, Londan
- Batuk, D.N., E.G., H.E., H.E. and S.İ., (1997), Analysis of SO₂ and TSP Under Meso-Scale Weather Conditions in İstanbul, Air Quality Management, Environmental Research Forum 7-8, 73-83, Trans Tech Publications.
- Baumbach, G., K. Baumann and F. Dröscher, (1988), Behaviour of Air Pollutants Under Inversion Weather Conditions, Environmental Meteorology, K.Grefen and J.Löber (Eds), 115-124, Kluwer Academic Publ.
- Bluestin, H. B., (1993), Synoptic-Dynamic Meteorology, in Midlatitudes Volume I.Oxford University Press.
- Deniz, A., (1997) Türkiye'yi Etkileyen Sinoptik Sistemlerin Klimatolojisi, Doktora Tezi, Fen Bilimleri Enstitüsü, İstanbul Teknik Üniversitesi.
- DMİ, Devlet Meteoroloji İşleri Genel Müdürlüğü Arşivi.
- Durmaz, A., G.Doğu, Y.Ercan and M.Sivrioğlu, (1993), Investigation of the causes of Air Pollution in Ankara and Measures for Its Reduction, NATO Scientific Affairs Division, Faculty of Engineering and Architecture, Gazi University, Ankara.
- Ertürk, F., (1993), Hava Kirliliği Modellemesi, II. Hava Kirliliği Kaynakları ve Kontrolü, TÜBİTAK-MAM, Gebze.
- Godish, T., (1985), Air Quality, Lewis Publishers, Inc.
- Gümüş, M., (1979), Sıcaklık Enverziyonları, Basınç ve Rüzgar, (çev.), DMİ., Ankara.
- HKKY, Hava Kalitesinin Korunması Yönetmeliği, (1995), Çevre Bakanlığı Mevzuatı II, APK Kurulu Başkanlığı, Çevre Bakanlığı.
- Hıfzıssıhha, (1996), Refik Saydam Hıfzıssıhha Araştırma Merkezi, Sağlık Bakanlığı .
- Holton, J.R., (1985), An Introduction to Dynamic Meteorology, Third Edition, Academic Press.
- Holzworth, G.C., (1972), Mixing Heights, Wind Speeds and Potential for Urban Air Pollution Throughout the Contiguous United States, U.S. E.P.A., AP-501.

- İncecik, S., (1986), A Mesometeorological Investigation of Air Pollution Problem in Golden Horn, İstanbul, Boundary Layer Meteorology, 36.
- İncecik, S. ve H. Erdun, (1991), Orta ve Batı Anadolu'da Hava Kirliliği Potansiyeli Üzerine Bir İnceleme, İ.T.Ü. Çevre ve Şehircilik Uygur Merkezi, Proje No.108.
- İncecik, S., (1994), Hava Kirliliği, İ.T.Ü. Matbaası
- İncecik, S., (1995), İstanbul'da SO₂ Episodları Esnasında Meteorolojik Koşullar, II. Hava Kirlenmesi, Modellemesi ve Kontrolu Sempozyumu'95, İ.T.Ü., Meteoroloji Mühendisliği Bölümü.
- İncecik, S., (1996), Investigation of Atmospheric Conditions in İstanbul Leading to Air Pollution Episodes, Atmospheric Environment, 30, 2739-2749.
- JICA, (1985), The Study on Ankara Air Pollution Control Project, Draft Final Report.
- Kadioğlu, M., (1995), Sinoptik Meteorolojiye Giriş, İ.T.Ü Meteoroloji Mühendisliği Bölümü.
- Kallos, G., P. Kassomenos and R. Pielke, (1993), Synoptic and Mesoscale circulations Associated with Air Pollution Episodes in Athens, Greece, Boundary-Layer Met, 63, 163-184.
- Karaca M., M.Tayanç and H.Toros, (1995), Effects of Urbanization on Climate of İstanbul and Ankara, Atmospheric Environment, 29, 3411-3421.
- Kassomenos, P., V.Kotroni and G.Kallos, (1995), Analysis of Climatological and Air Quality Observations from Greater Athens Area, Atmospheric Environment, 29, 24, 3671-3688.
- Köksal, M., (1969), Hava Analizi ve Tahmini, Cilt I, İ.T.Ü Kütüphanesi.
- Lu, R. and R.Turco, (1995), Air Pollutant Transport in a Costal Environment-II: Three Dimensional Simulations over Los Angeles Basin, Atmospheric Environment, 29, 13, 1499-1518.
- Murty, B.P. and R.S. Tangirala, (1990), An Assesment of the Assimilative Capacity of the Atmosphere at Delhi, Atmospheric Environment, 24A, 845-848.
- Müller, A.R., (1976), A Synoptic Climatology for Environmental Baseline Analysis, New Orleans, Journal of Applied Meteorology, 16, 65-72.
- ODTÜ, (1993), Orta Doğu Teknik Üniversitesi, Çevre Mühendisliği Bölümü, Hassas Kirlenme Bölgelerinde Emisyon Kadastroları Hazırlanması Ankara Alt Projesi, Sonuç Raporu, Ankara.
- Pissimanis, D.K., G.S.K. and V.A.N., (1991), On the Meteorological Conditions During Some Strong Smoke Episodes in Athens, Atmospheric Environment , 25B. 2, 193-202.
- Şen, O. ve F.Şahin, (1995), İstanbul'da Yüzey Enverziyonu ve Yükseltili Enverziyonun Hava Kirliliğine Etkisi, II. Hava Kirlenmesi, Modellemesi ve Kontrolü Sempozyumu'95, İ.T.Ü., Meteoroloji Mühendisliği Bölümü.
- Şen, O., (1997), Air Pollution and Inversion Features in İstanbul, Int.J.Environmental and Pollution, 9, 4, 371-383.

TCSV, (1987), Türkiye Çevre Sorunları Vakfı Yayıncılık, Ankara'nın Alternatif Isınma Sistemleri Maliyet Etüdü, Ankara.

Tebbens, B.D., (1970), Investigating Air Quality in İstanbul, Bull. İstanbul Technical University, 22, 55-63.

Tuna, T., (1972), A Synoptic Climatological Study of Air Pollution Potential for Ankara, Air Pollution Proceedings of the Third Meeting of the Expert Panel on Air Pollution Modeling, 14, NATO-CCMS,

Tuna, T., A.H.G. ve M.Y., (1982), Dinamik Meteoroloji, Meteoroloji Teknik Lisesi.

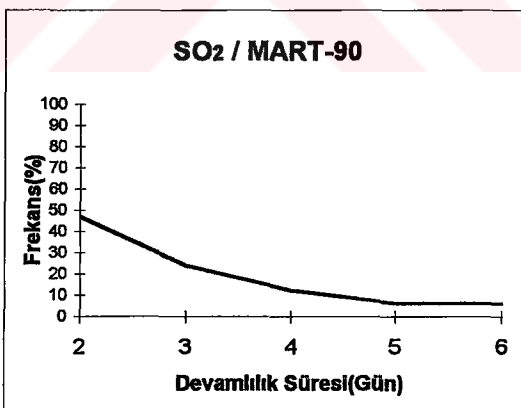
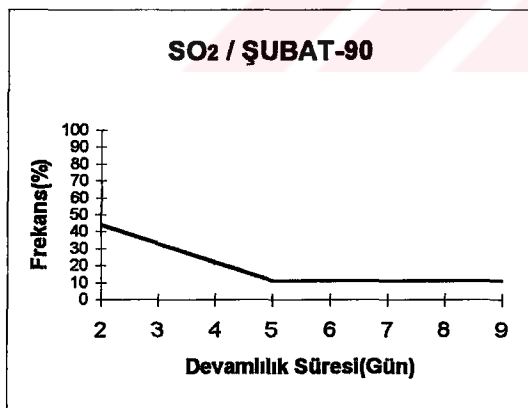
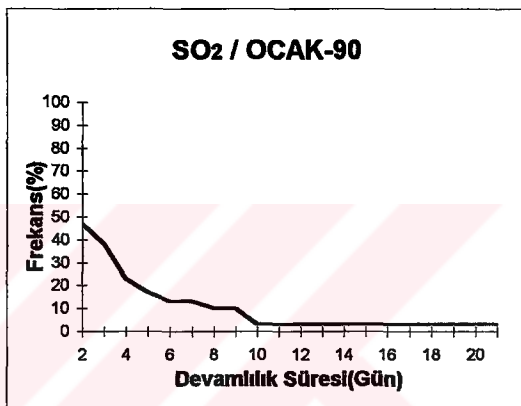
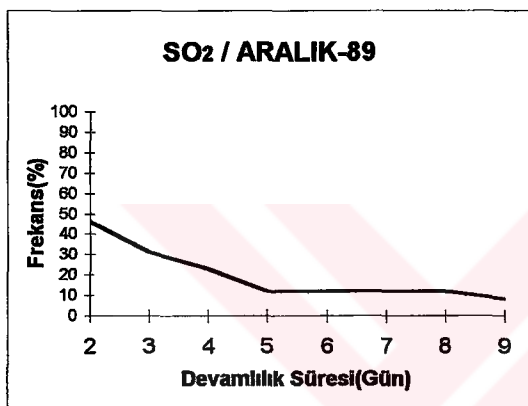
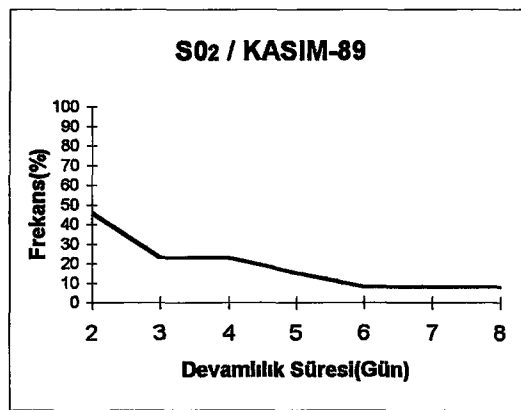
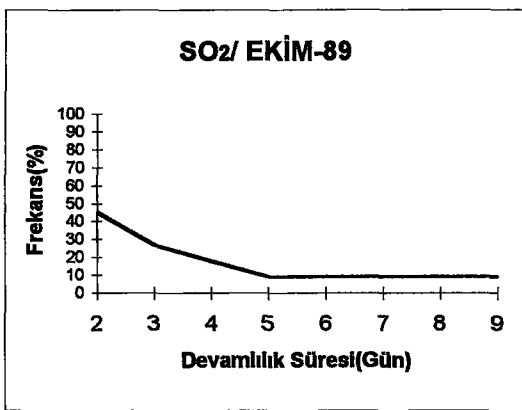
Tuncel, G., (1998) Ulusal Çevre Eylem Planı, Hava Kalitesinin Korunması, DPT Müsteşarlığı.

Vukovich, F.M., (1978), A Note on Air Quality in High Pressure systems, Atmospheric Environment 13, 255-265.

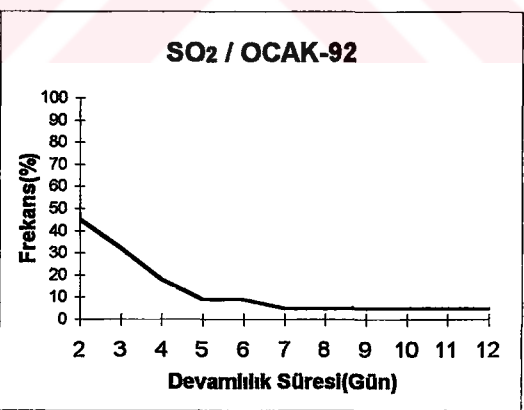
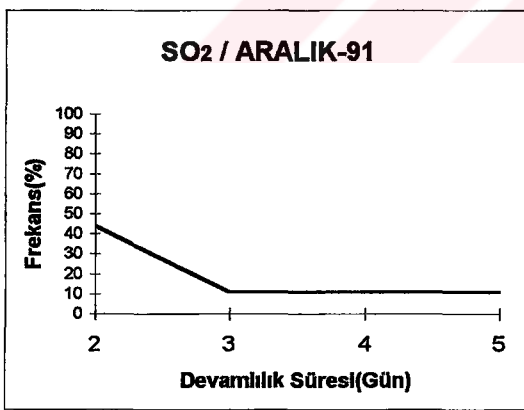
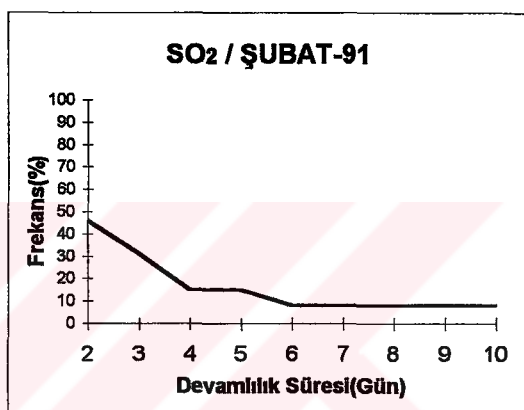
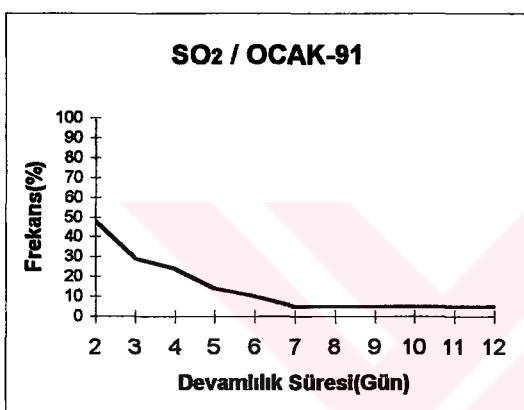
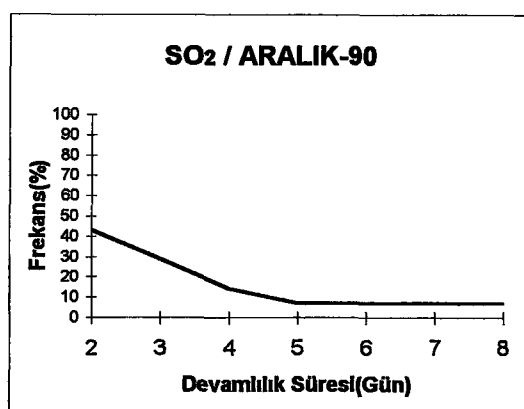
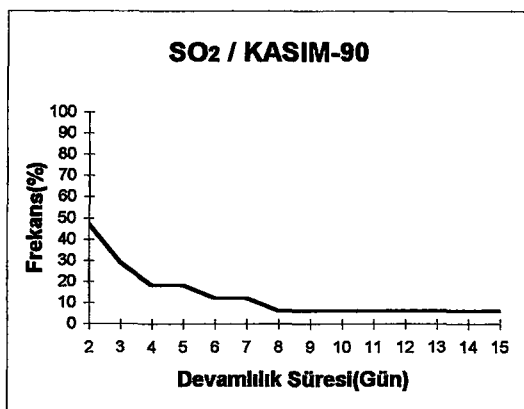
Ziomas, I.C., D.M., C.S.Z. A.F.B. and A.G.P., (1995) Forecasting Peak Pollutant Levels From Meteorological Variables, Atmospheric Environment 29, 3703-3711.



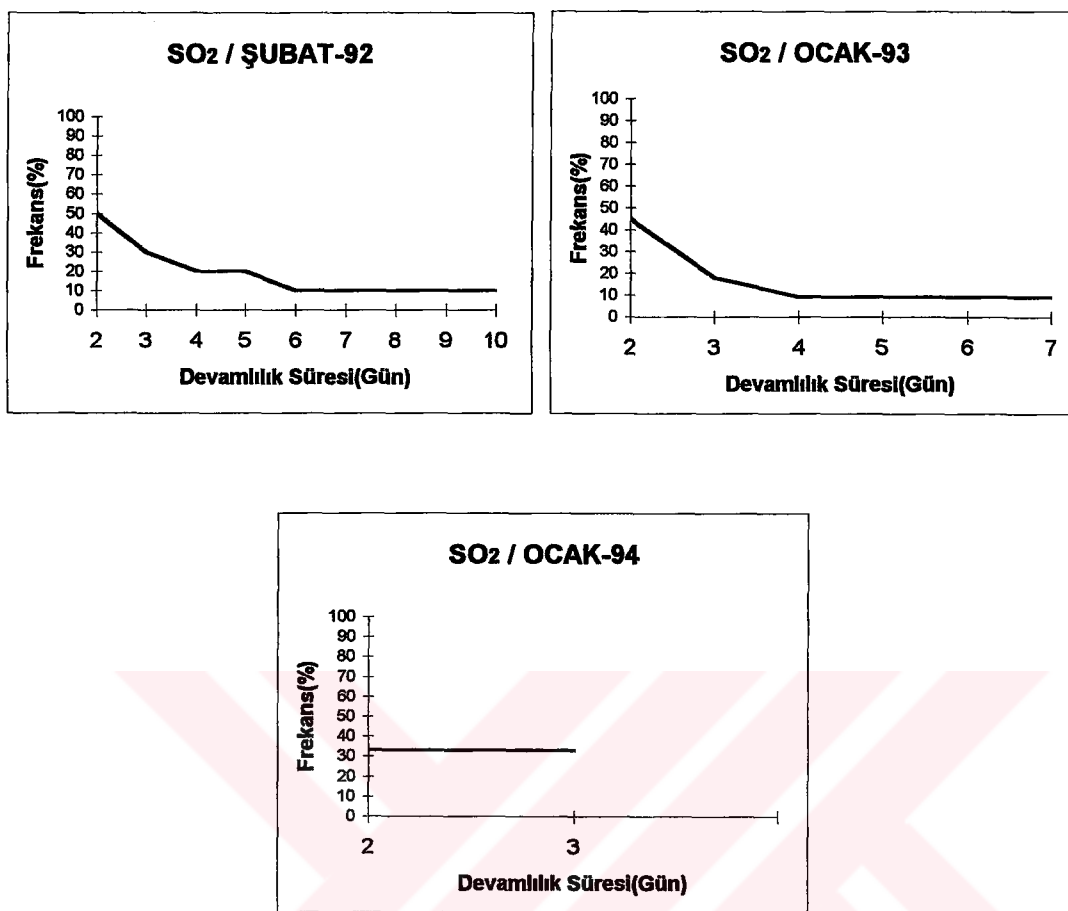
EKLER



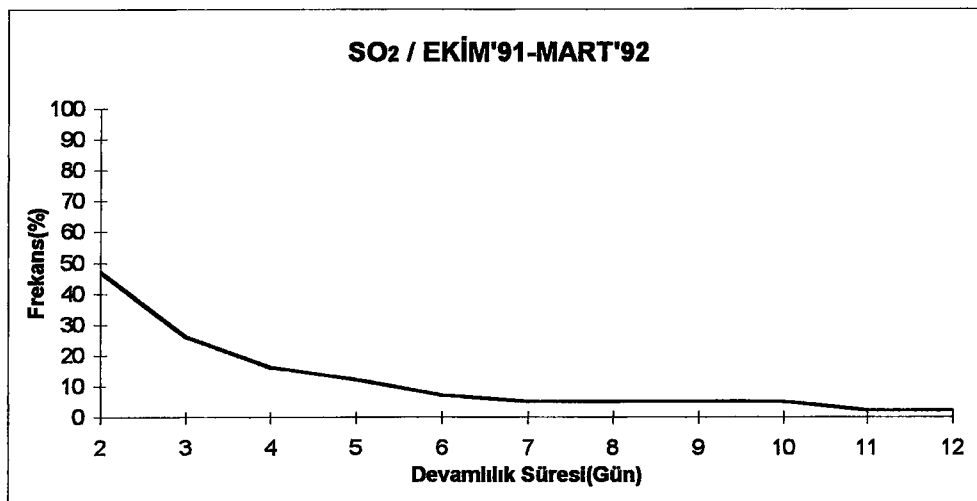
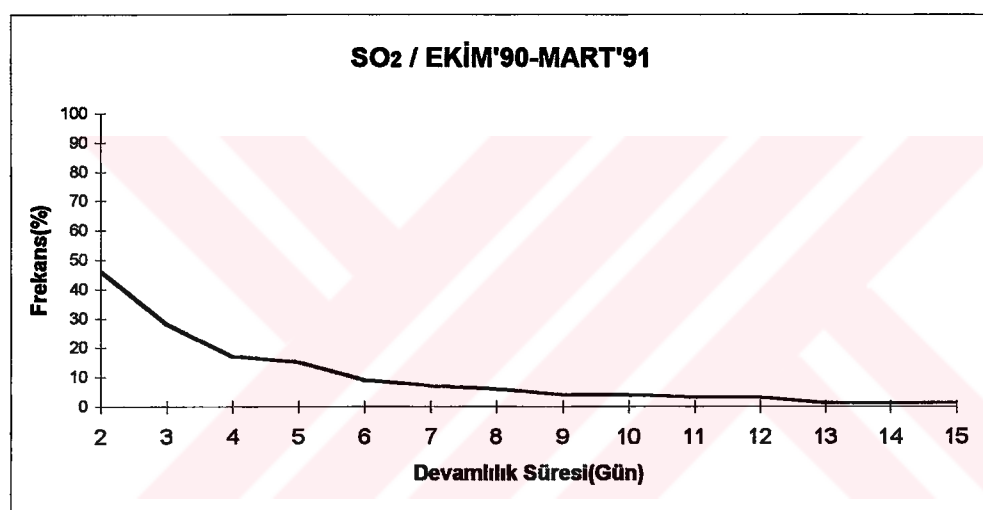
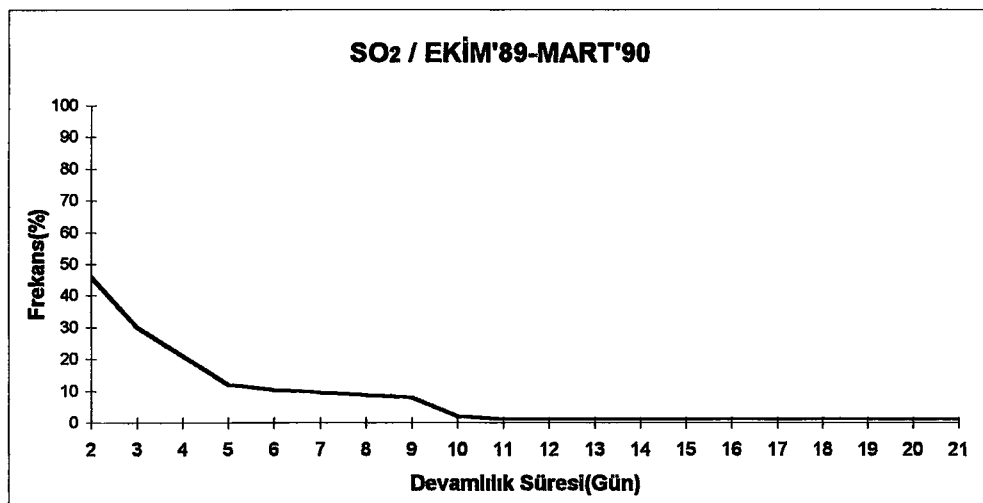
Şekil A.1 SO₂ ≥250 µg/m³ episodlarının devamlılık süreleri ve frekansları



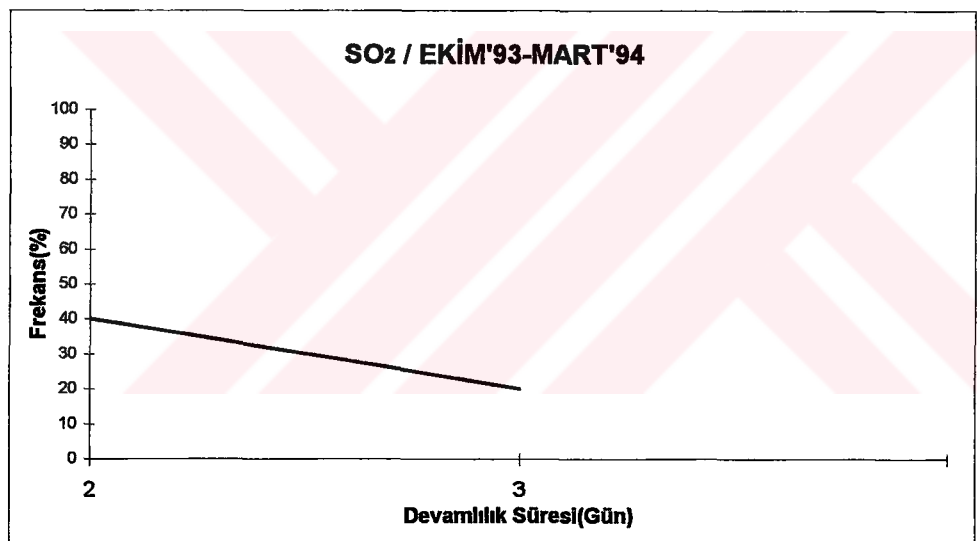
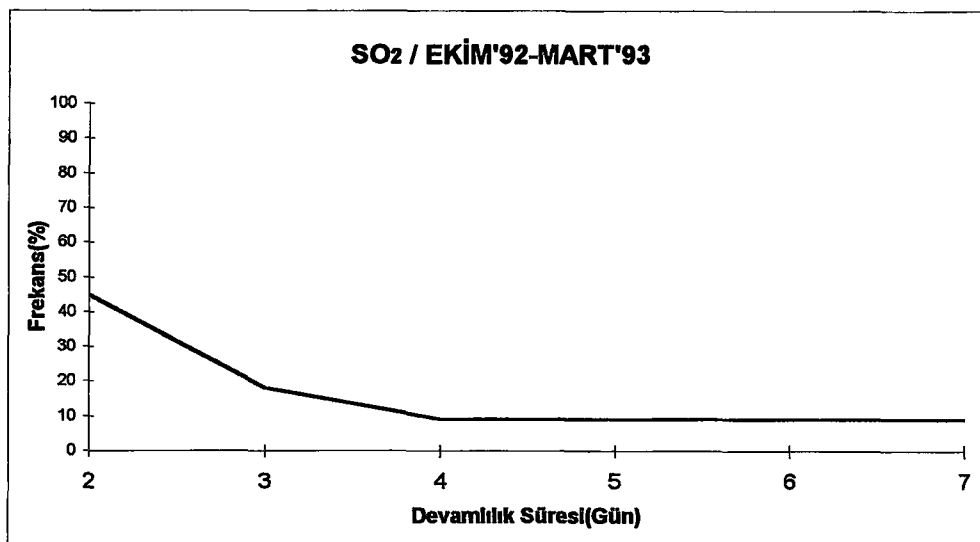
Şekil A.1(devamı)



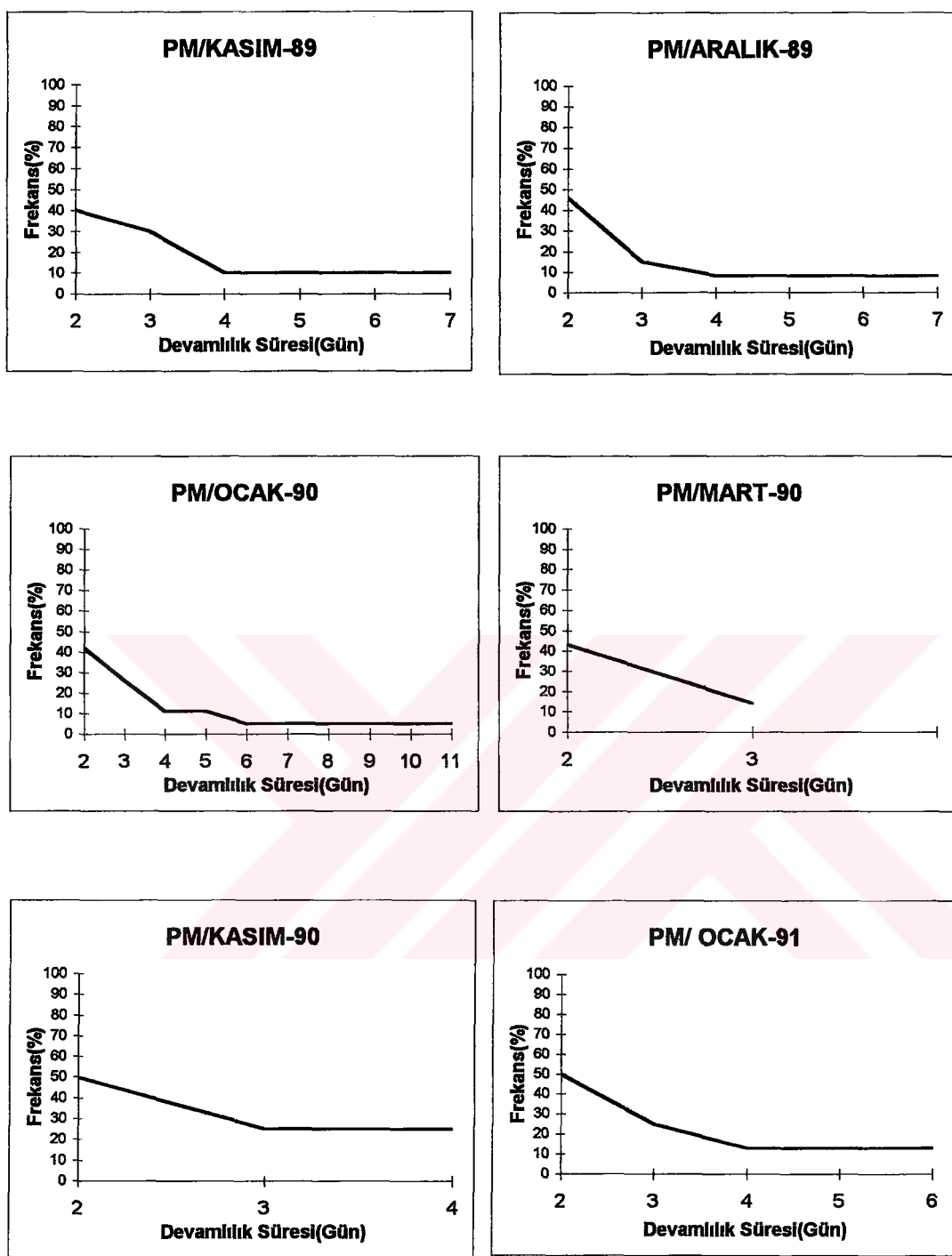
Şekil A.1(devamı)



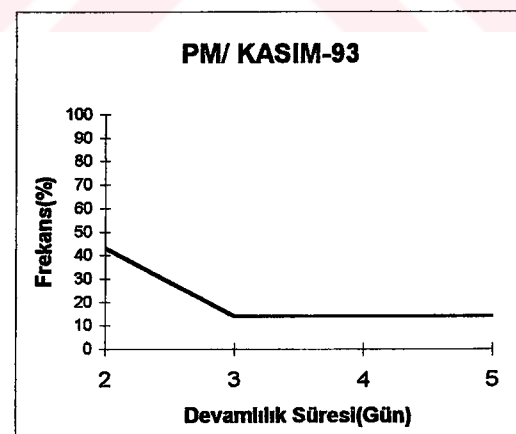
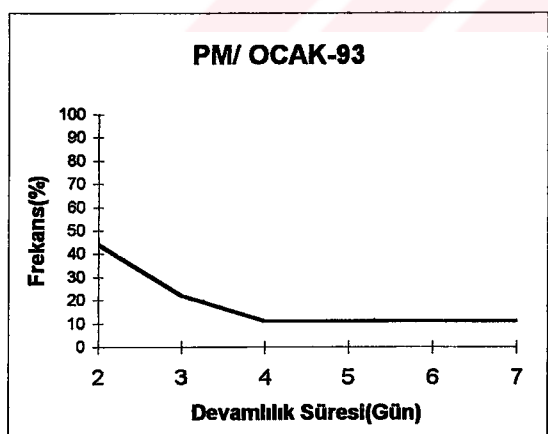
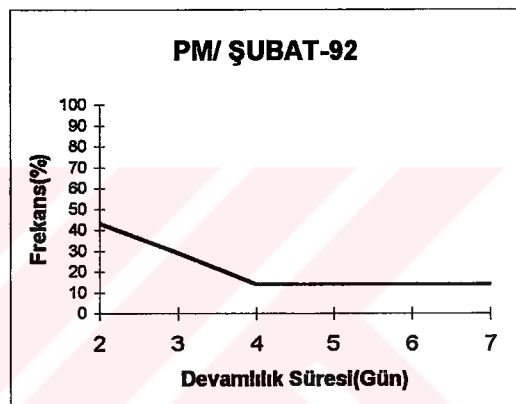
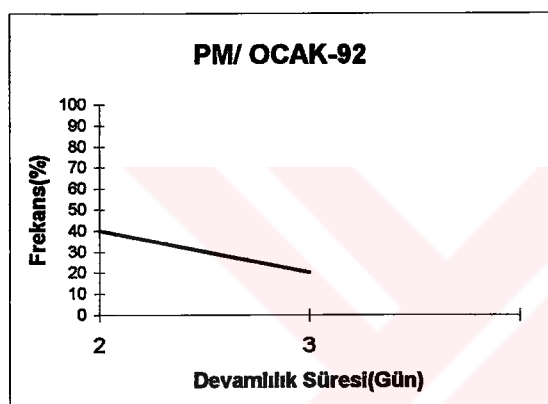
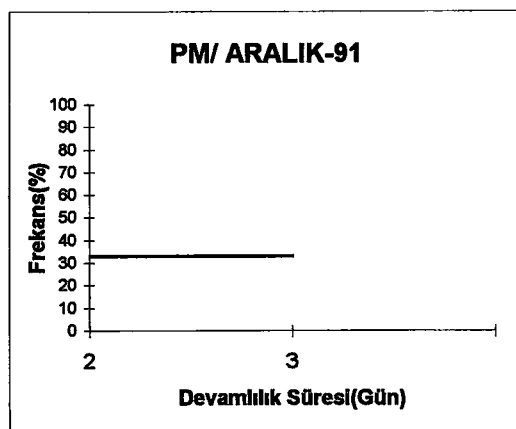
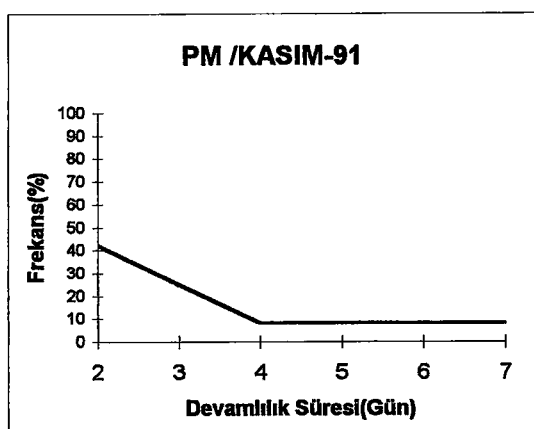
Şekil A.2 SO₂ ≥ 250 µg/m³ episodlarının kış mevsimlerine göre devamlılık süreleri ve frekansları.



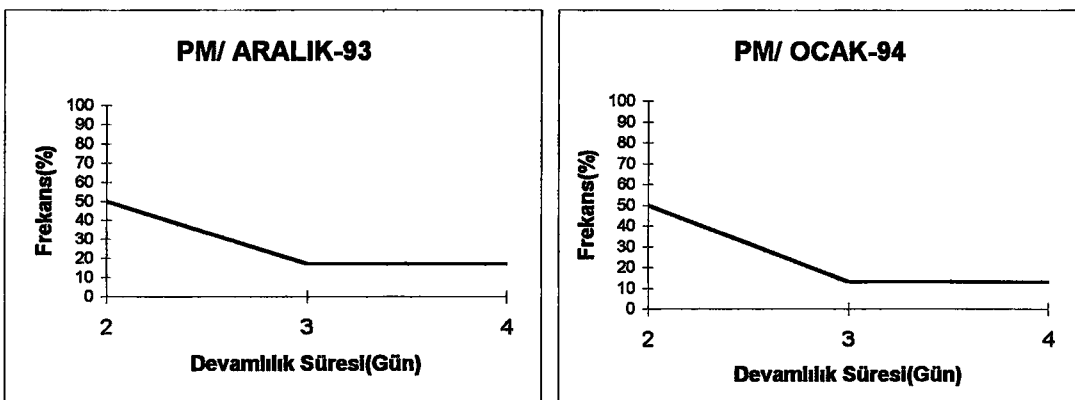
Şekil A.2 (devamı)



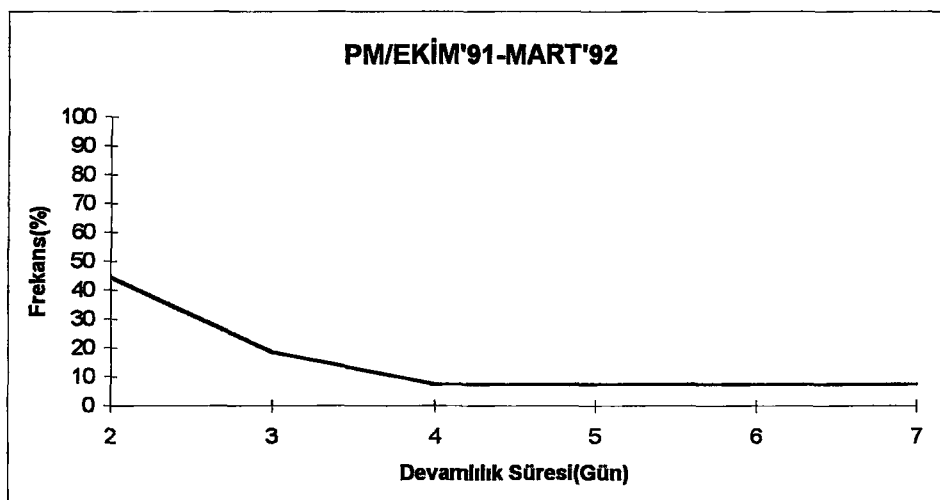
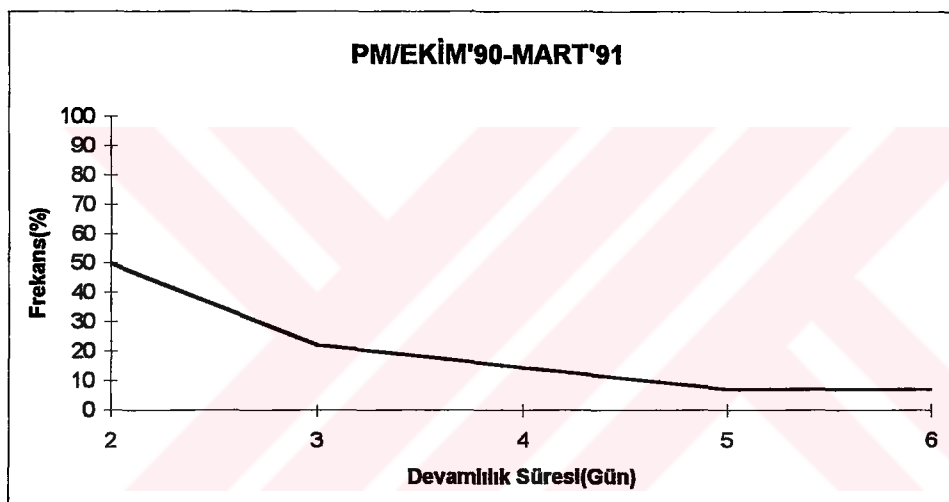
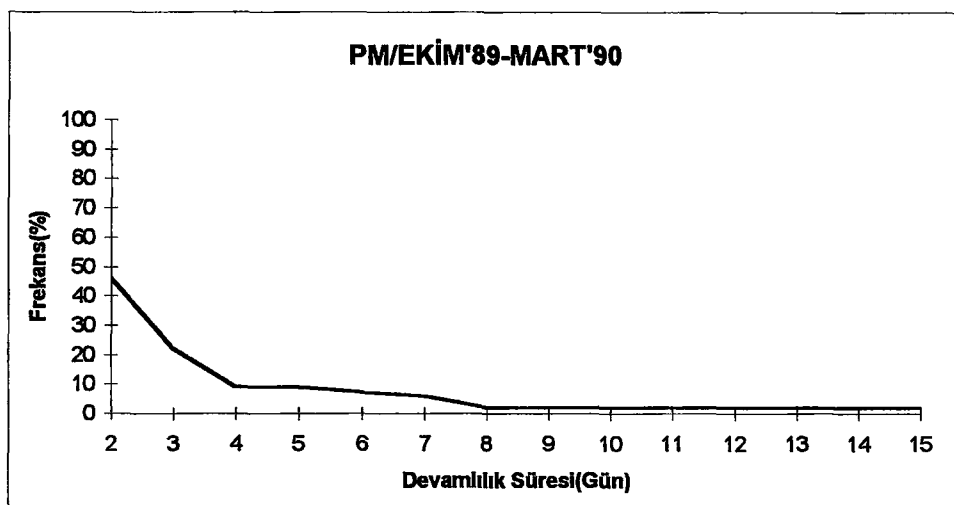
Şekil A.3 $\text{PM} \geq 200 \mu\text{g}/\text{m}^3$ episodlarının devamlılık süreleri ve frekansları



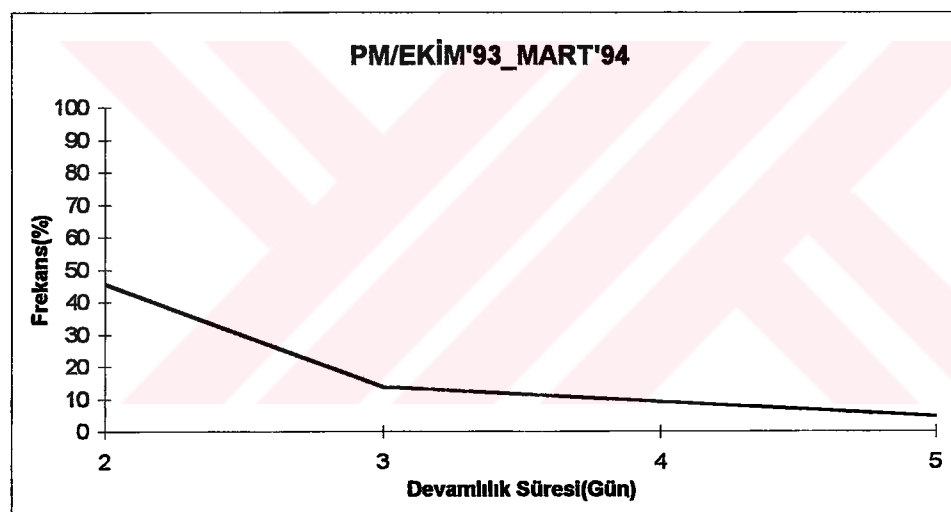
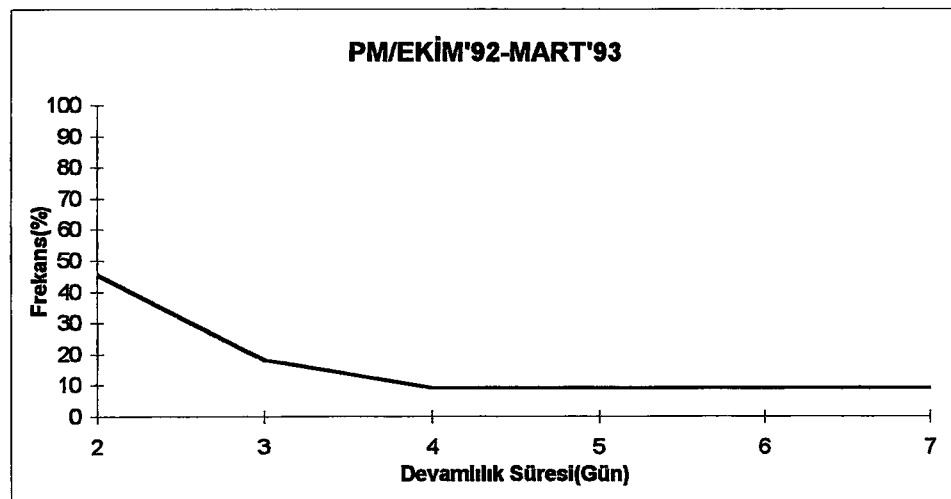
Şekil A.3 (devamı).



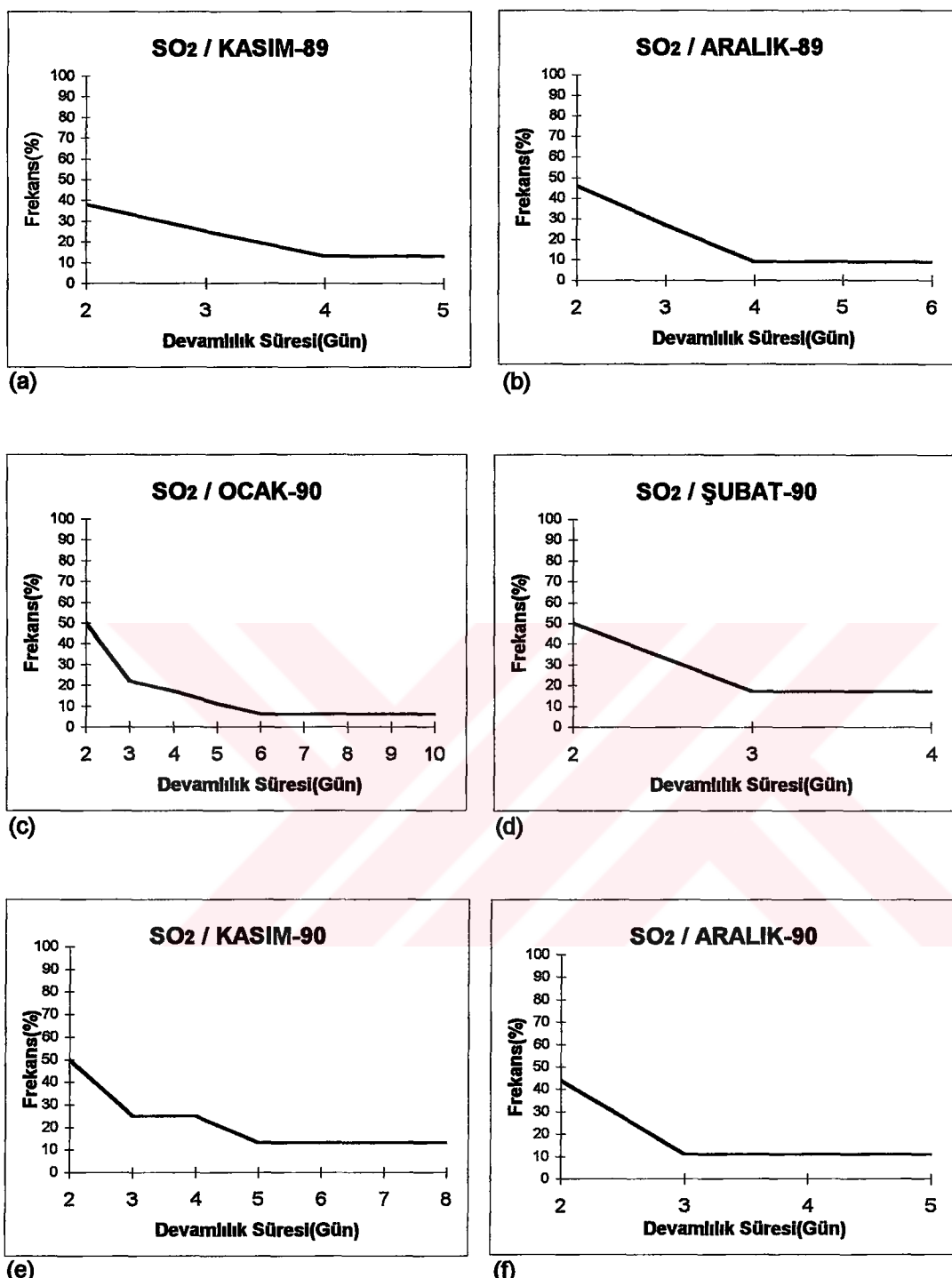
Şekil A.3 (devamı).



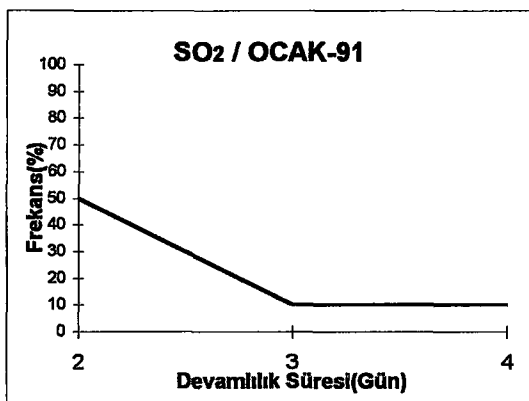
Şekil A.4 $PM \geq 200 \mu\text{g}/\text{m}^3$ episodlarının kış mevsimlerine göre devamlılık süreleri ve frekansları.



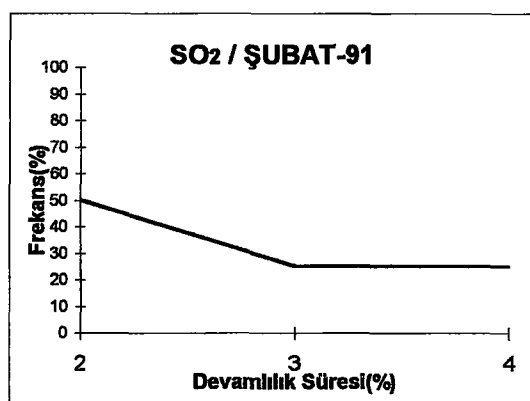
Şekil A.4 (devamı)



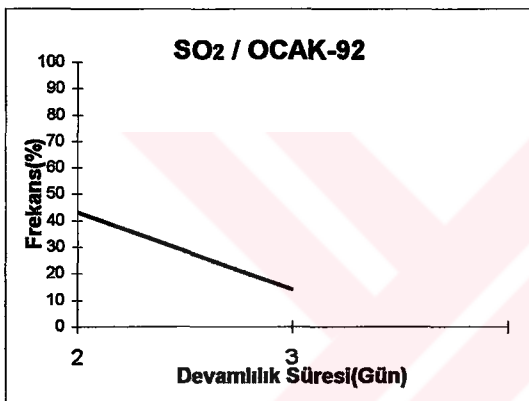
Şekil A.5 SO₂ $\geq 400 \mu\text{g}/\text{m}^3$ episodlarının aylara göre devamlılık süreleri ve frekansları



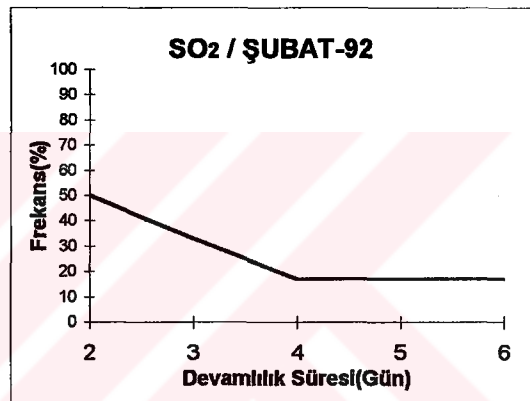
(g)



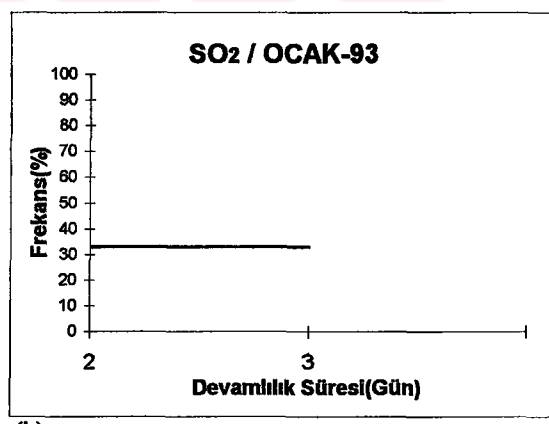
(h)



(i)

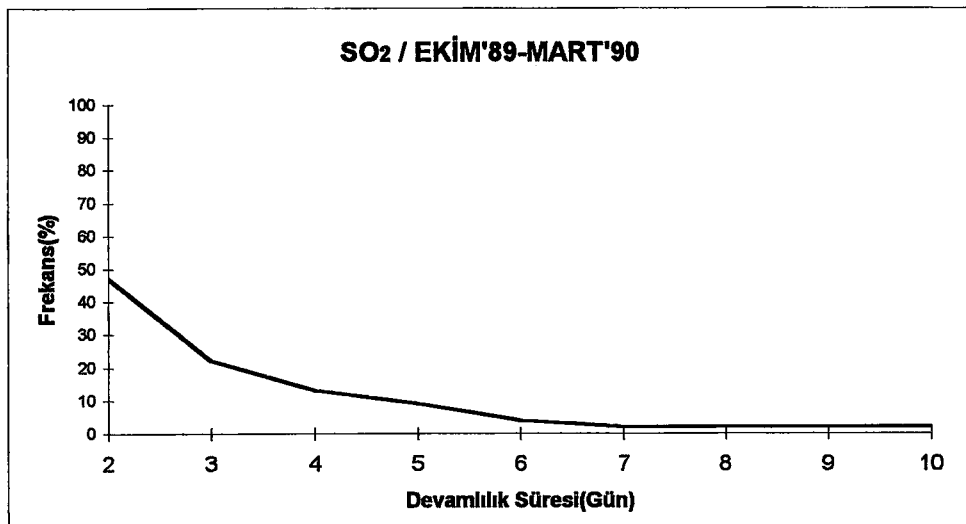


(j)

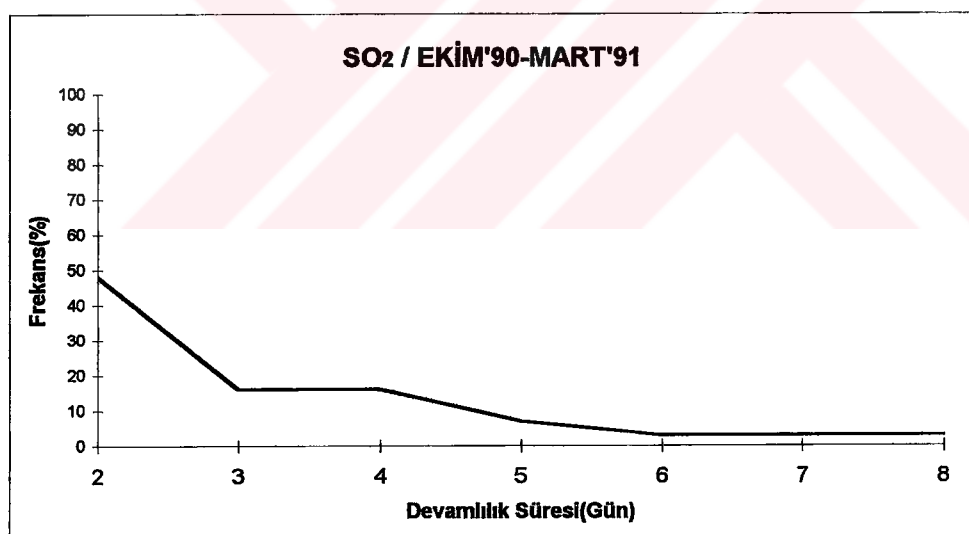


(k)

Şekil A.5 (devam)

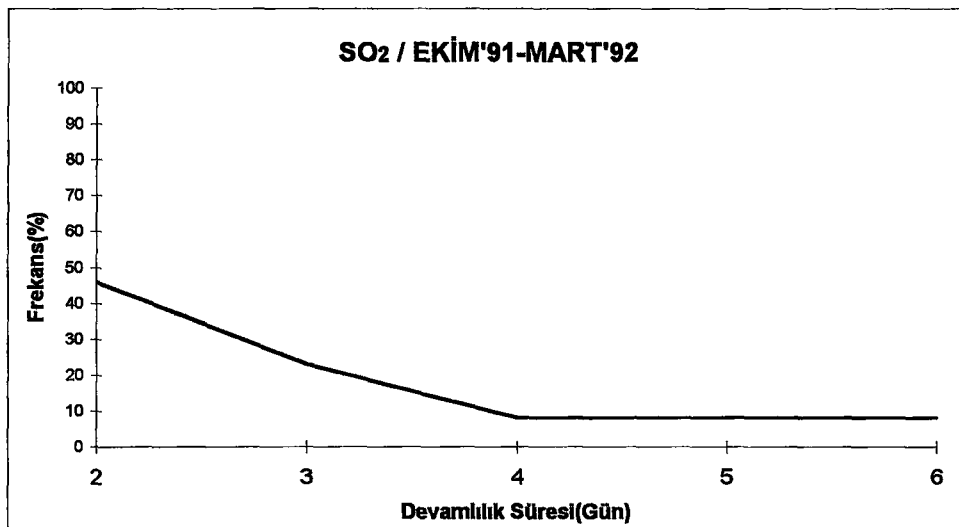


(a)

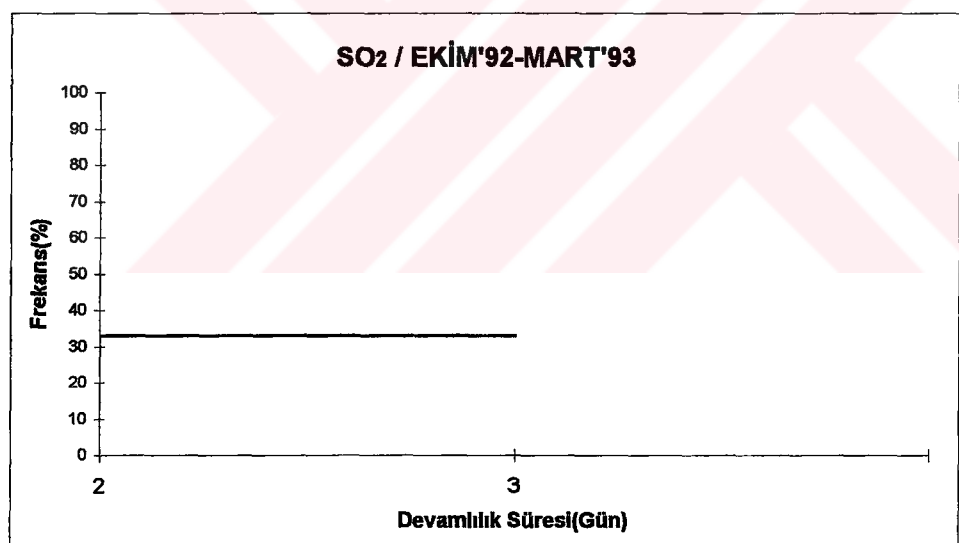


(b)

Şekil A.6 SO₂ ≥400 µg/m³ episodlarının kış dönemlerine göre devamlılık süreleri ve frekansları

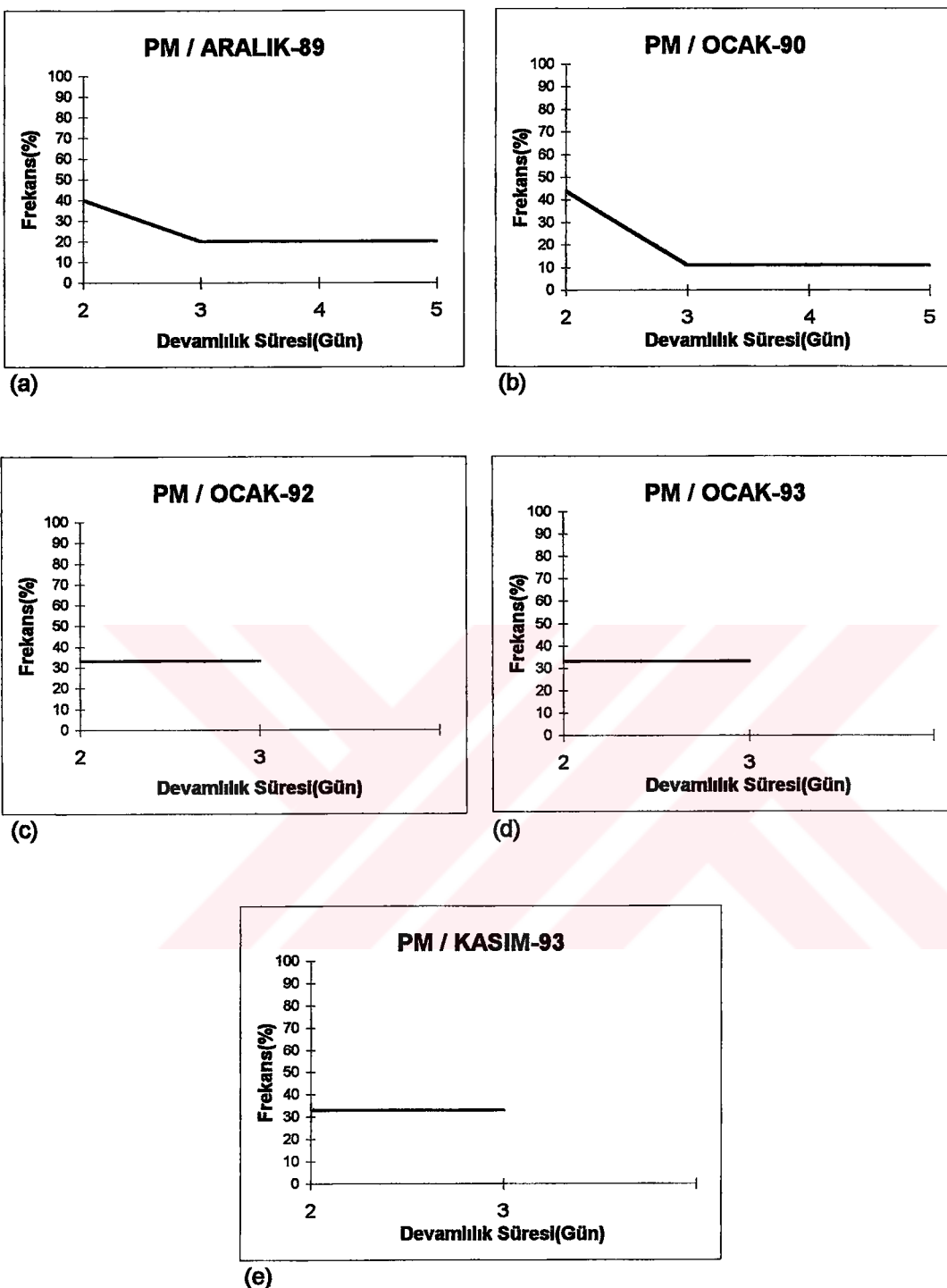


(c)

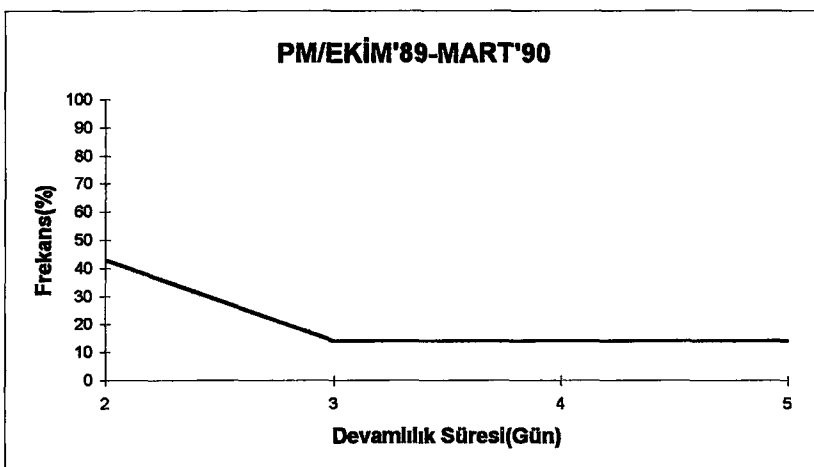


(d)

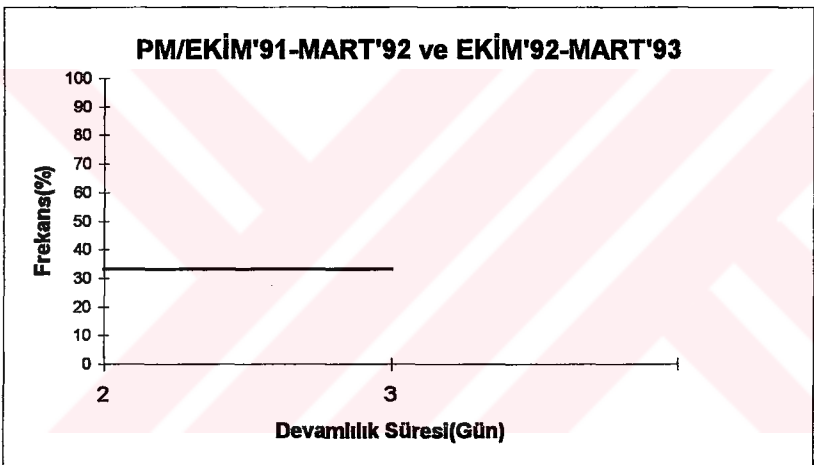
Şekil A.6 (devam)



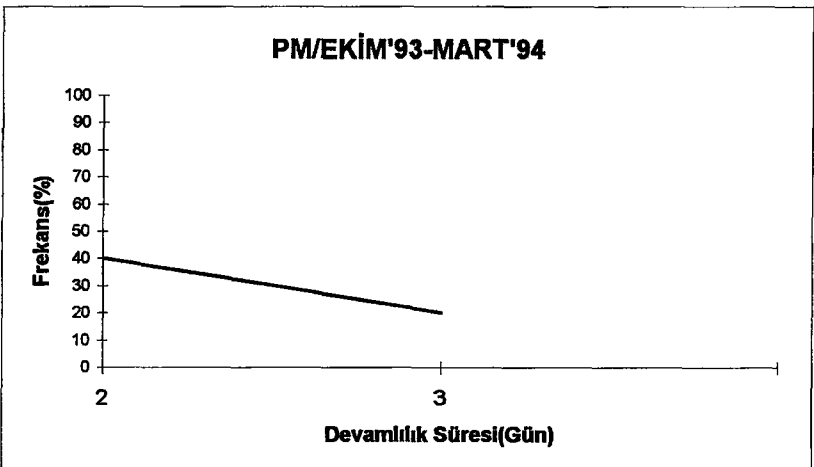
Şekil A.7 PM $\geq 300 \mu\text{g}/\text{m}^3$ episodlarının aylara göre devamlılık süreleri ve frekansları



(a)

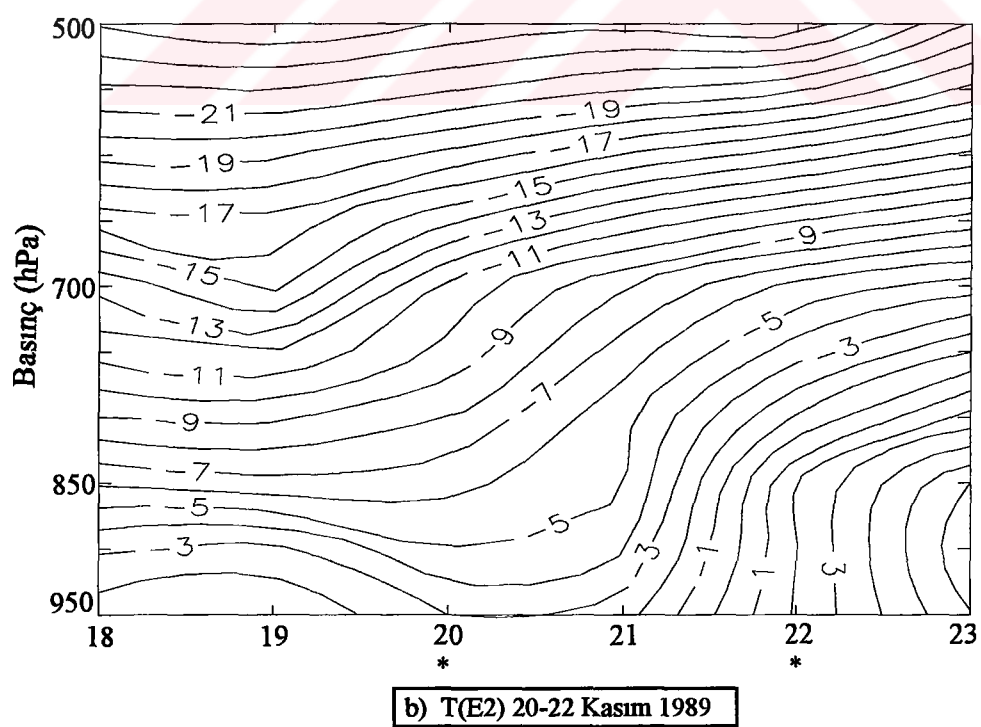
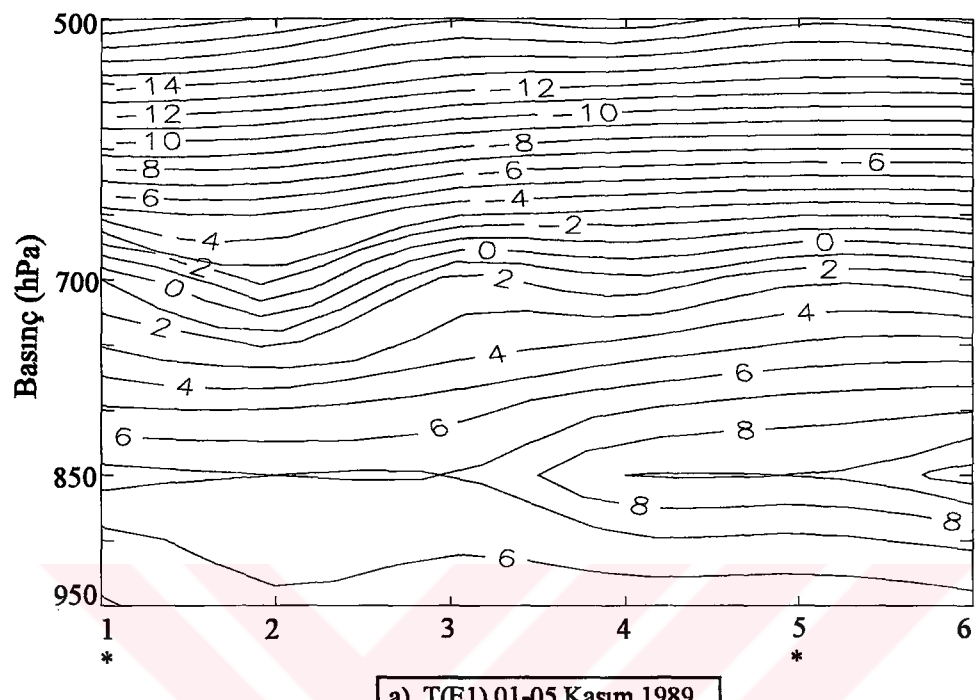


(b)

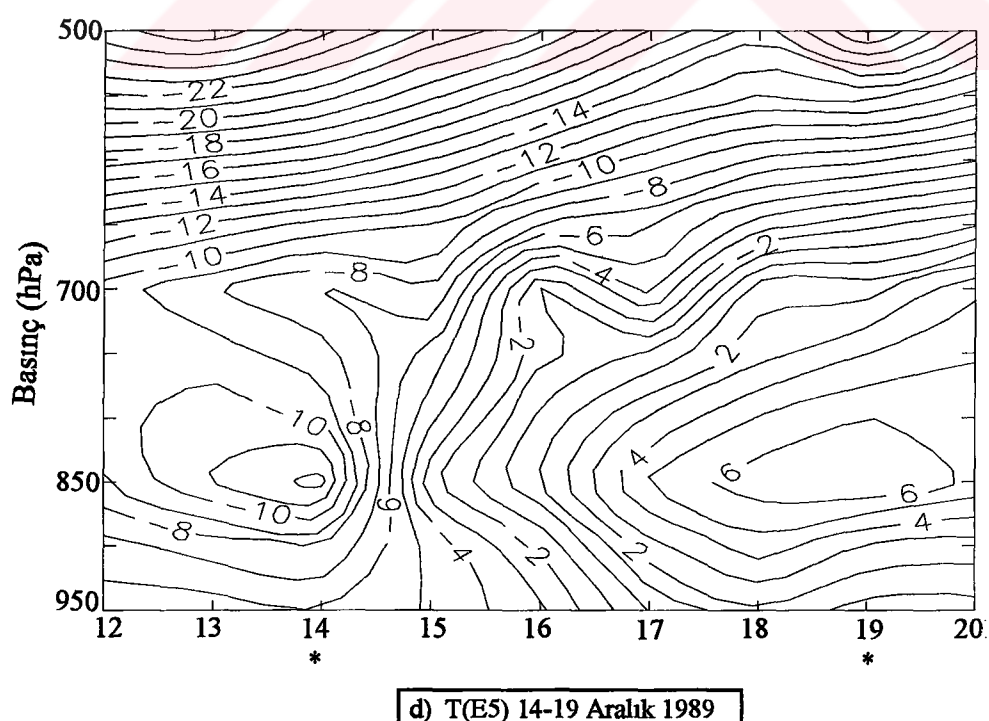
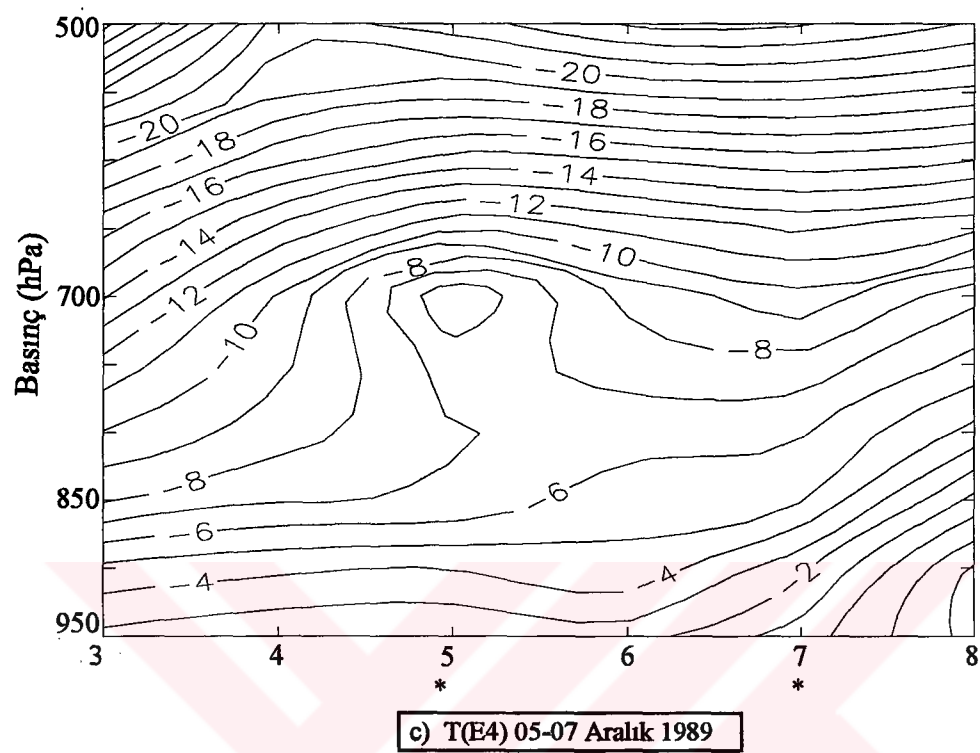


(c)

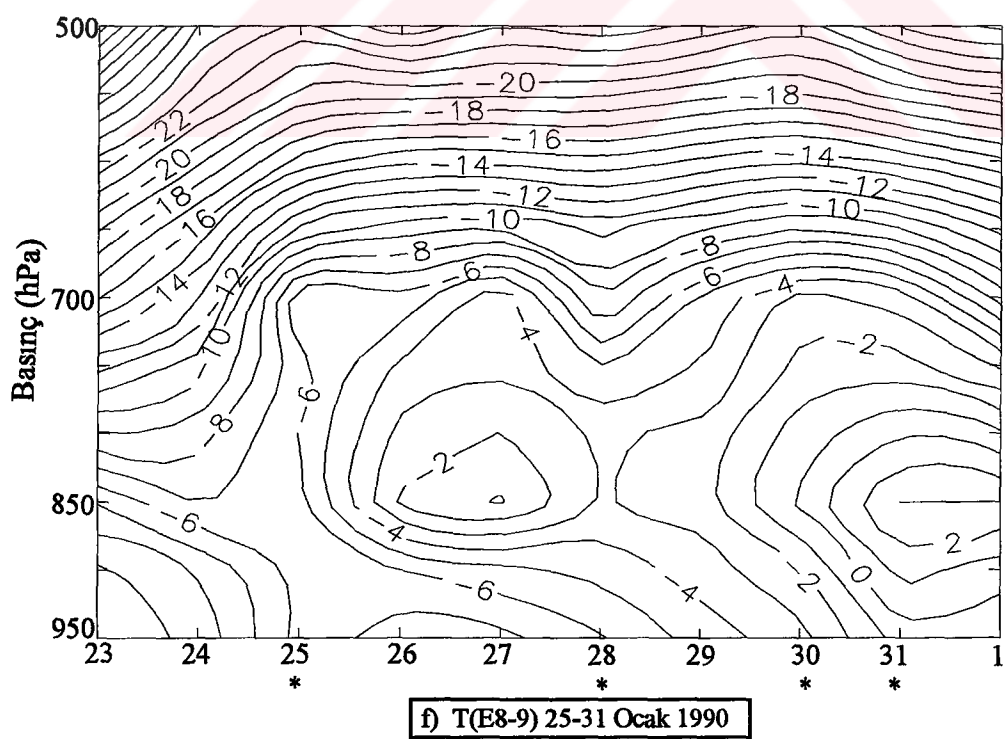
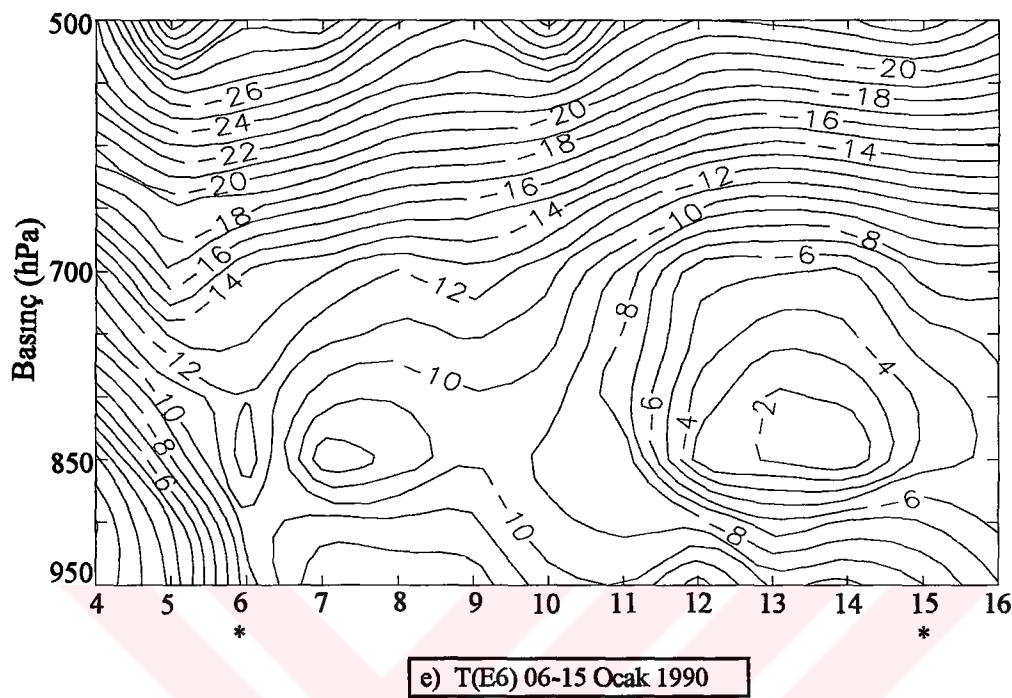
Şekil A.8 $PM \geq 300 \mu\text{g}/\text{m}^3$ episodlarının kiş dönemlerine göre devamlılık süreleri ve frekansları



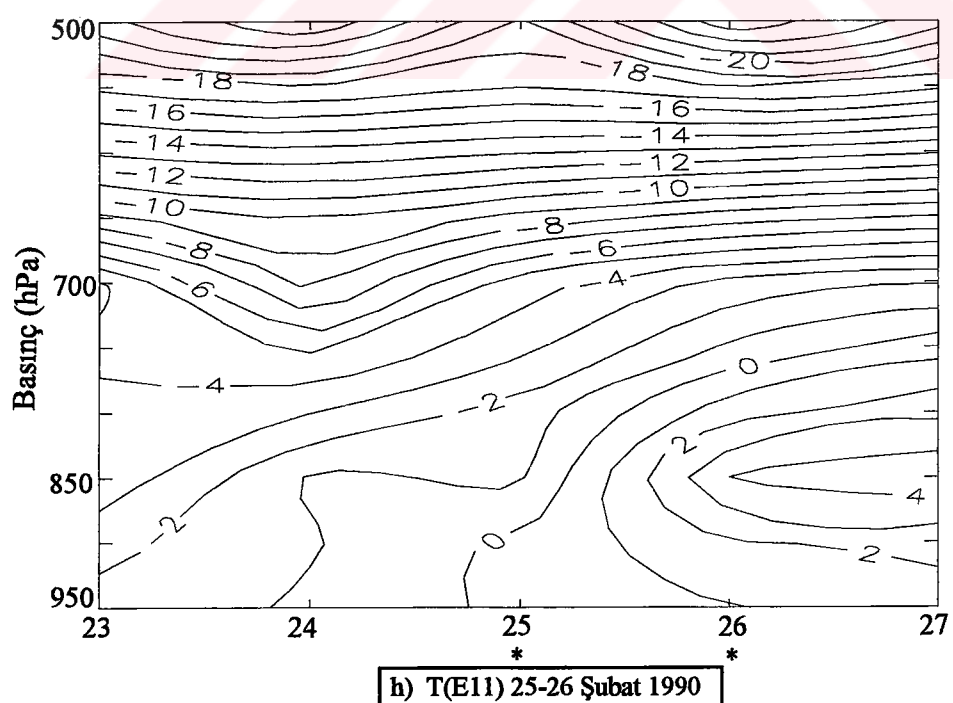
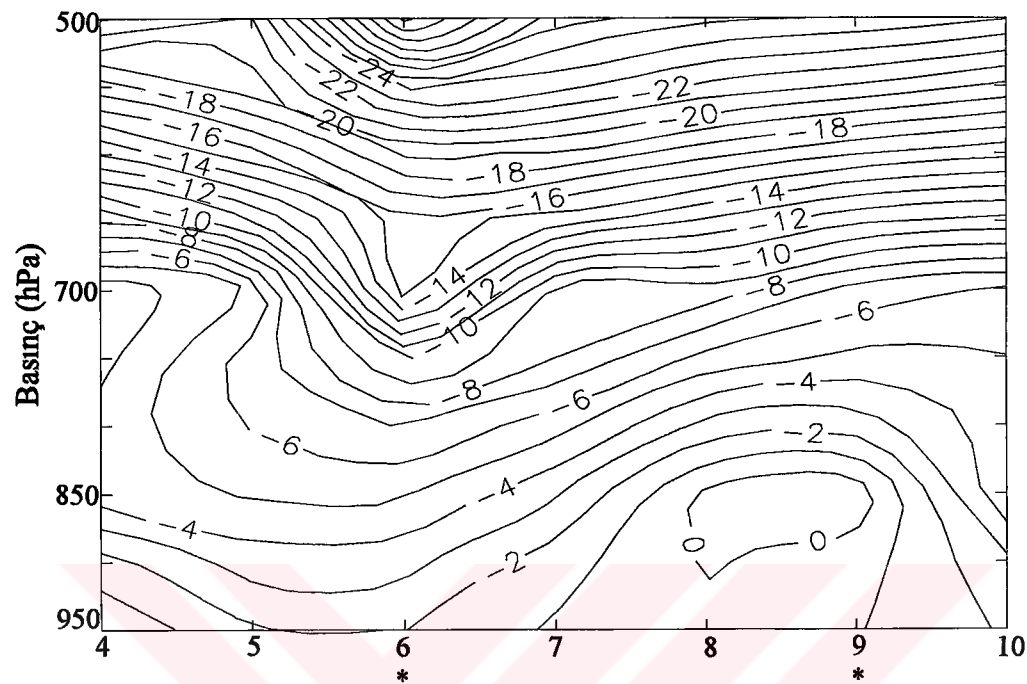
Şekil A.9 $\text{SO}_2 \geq 400 \mu\text{g}/\text{m}^3$ episod günlerine ait düşey sıcaklık dağılım profili.



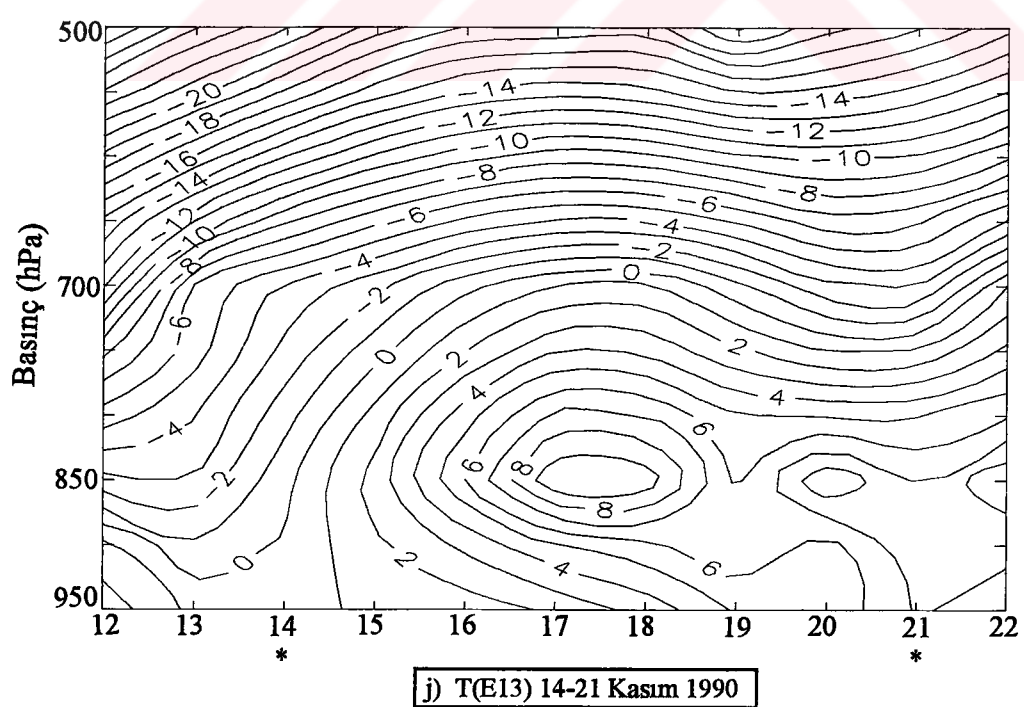
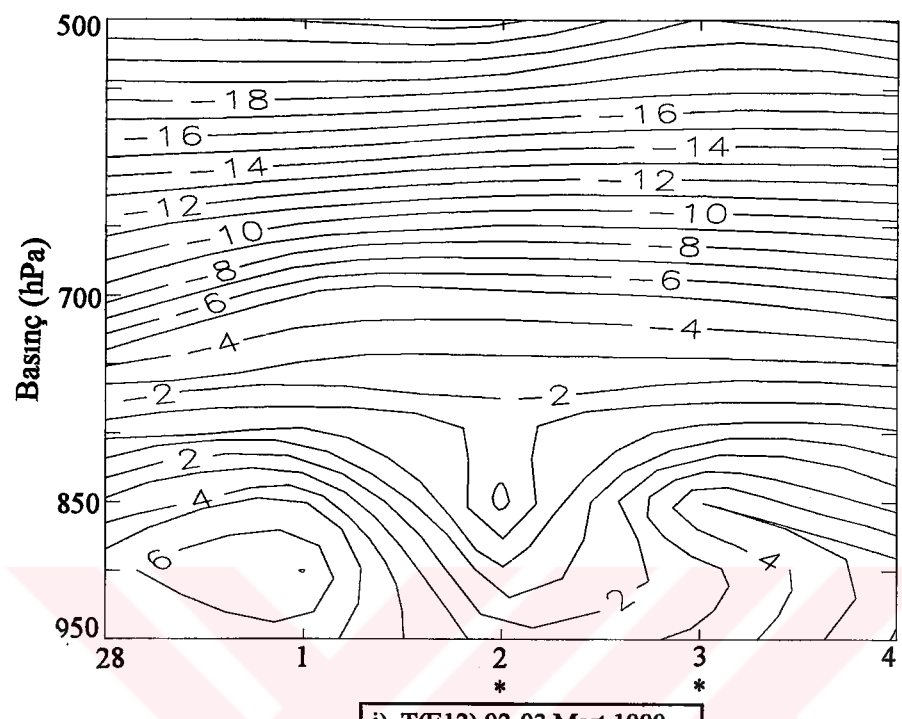
Şekil A.9 (devamı)



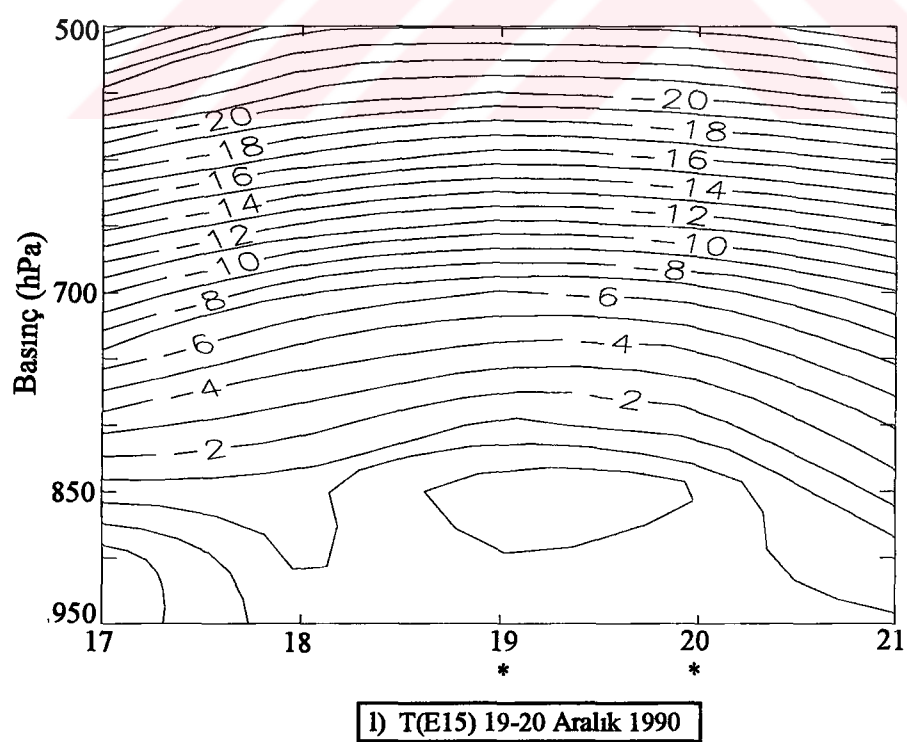
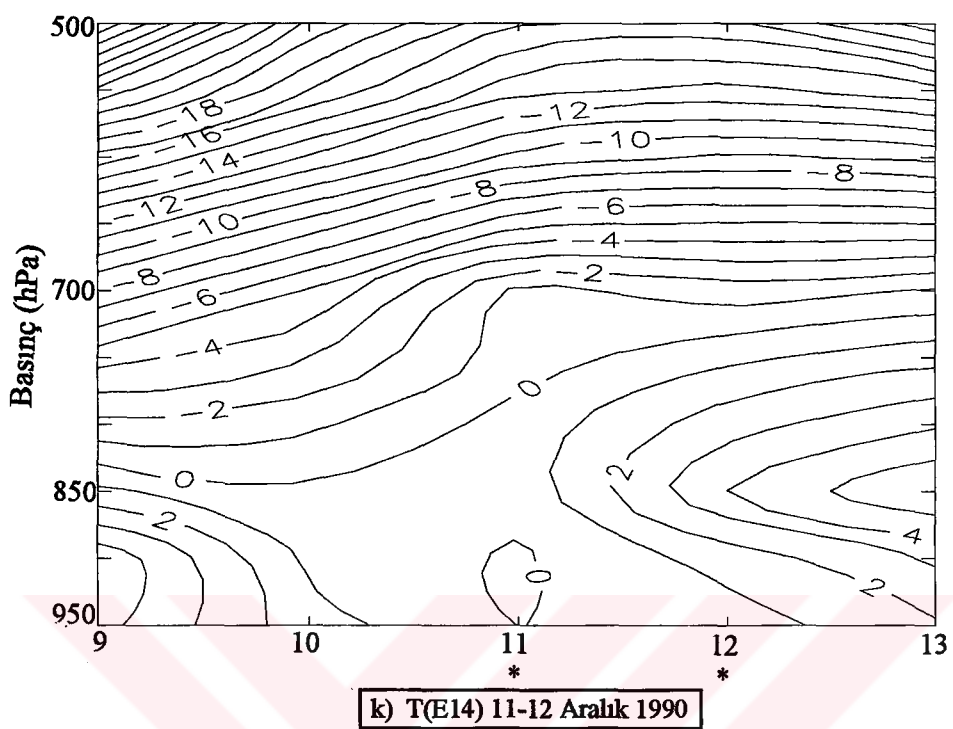
Şekil A.9 (devamı)



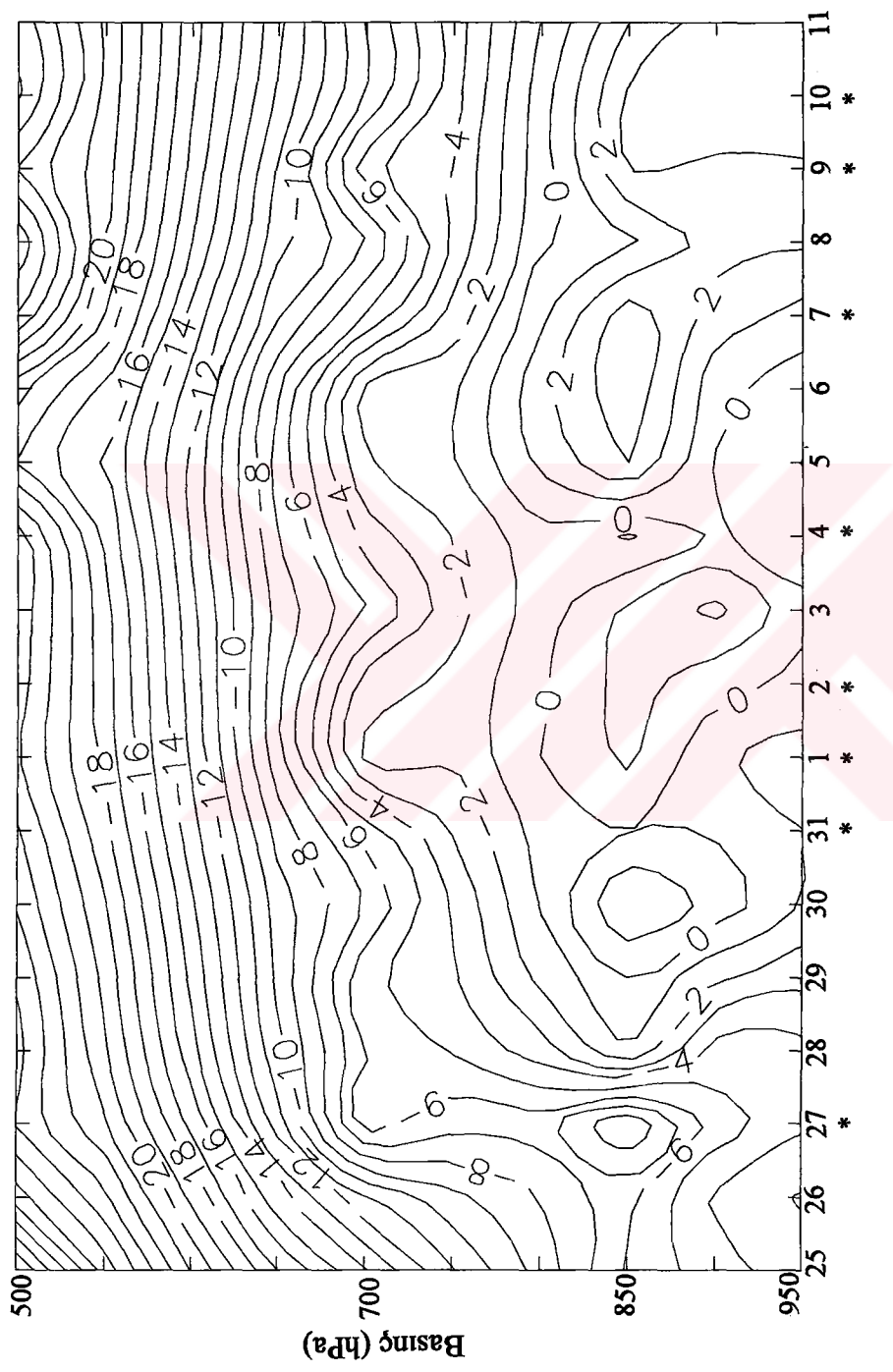
Şekil A.9 (devamı)



Şekil A.9 (devamı)

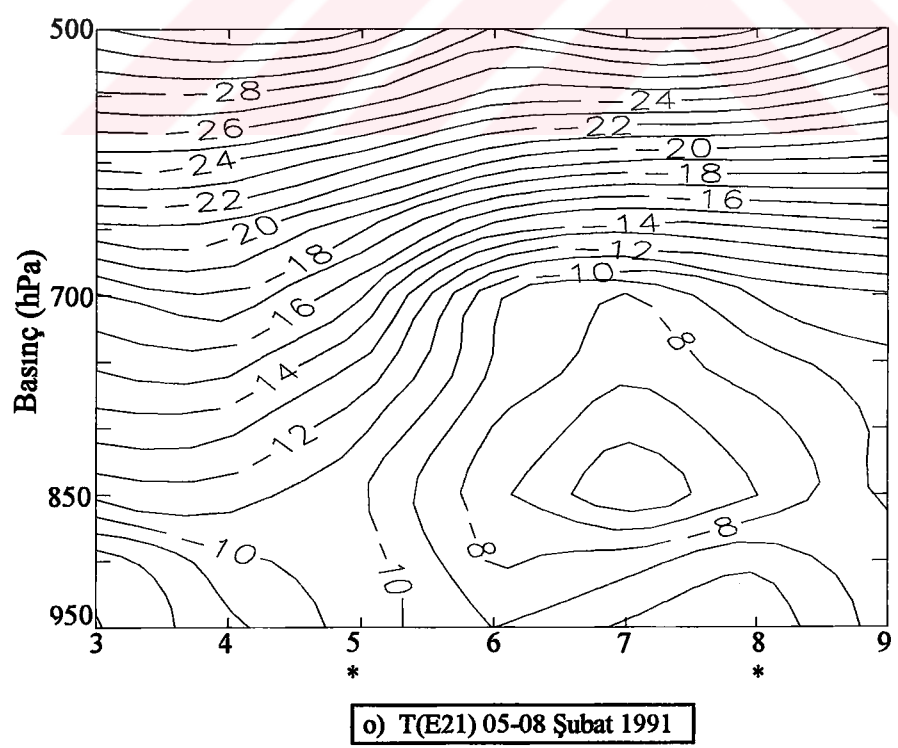
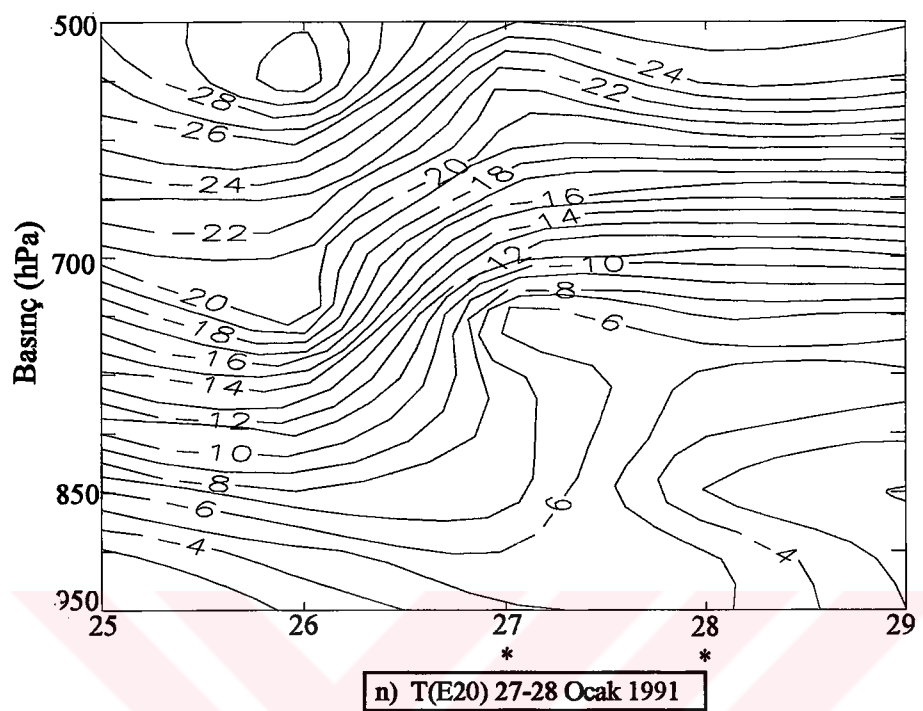


Şekil A.9 (devamı)

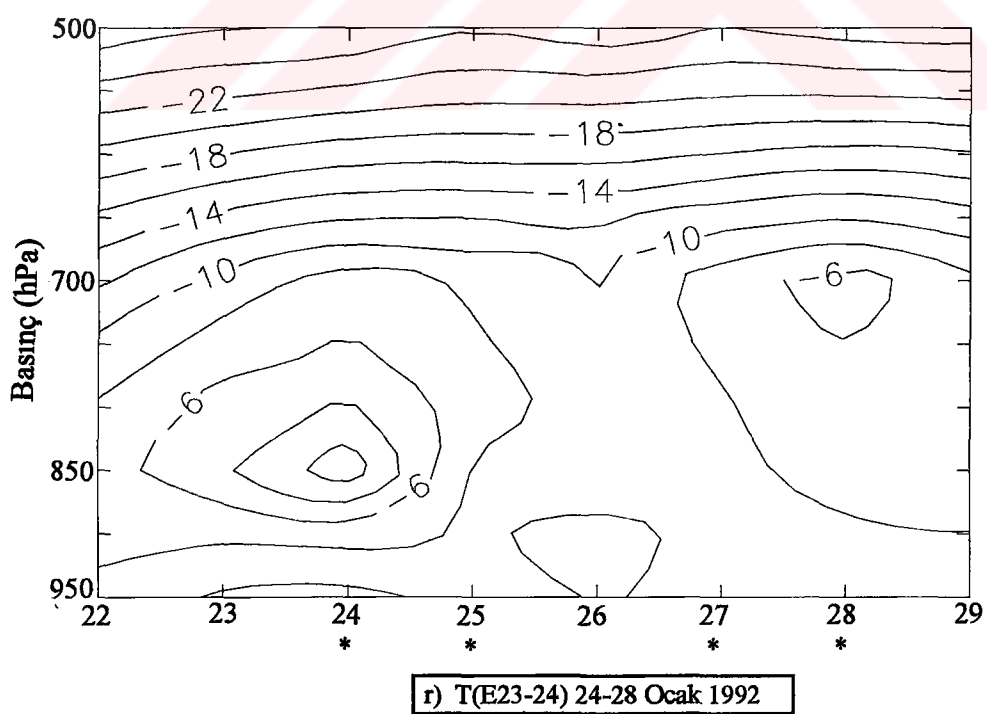
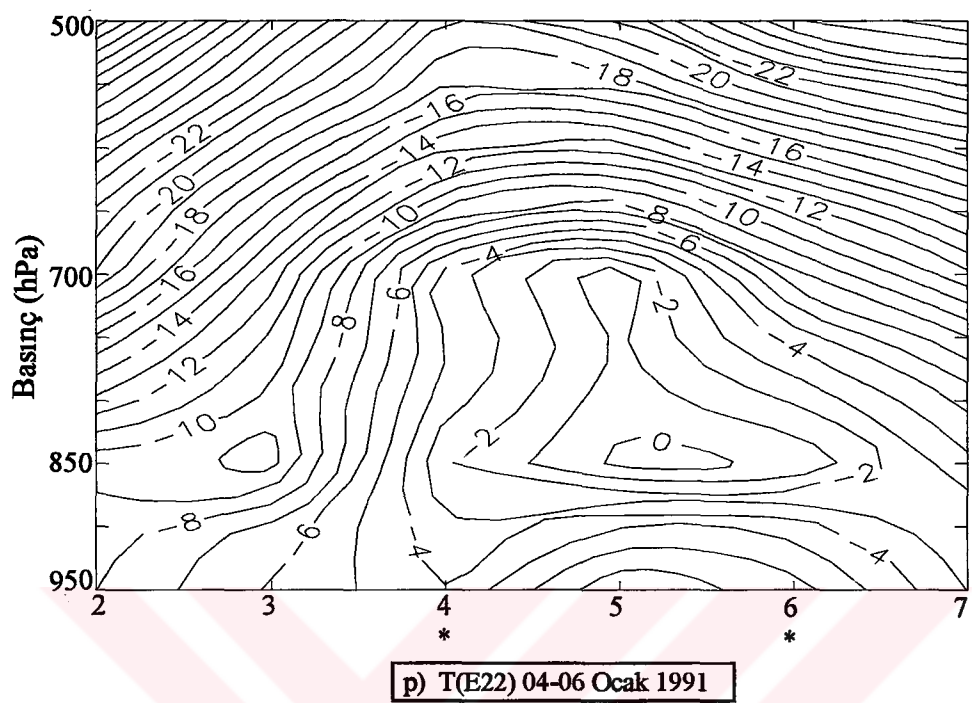


m) T(E16-19) 27 Aralık 1990 -10 Ocak 1991

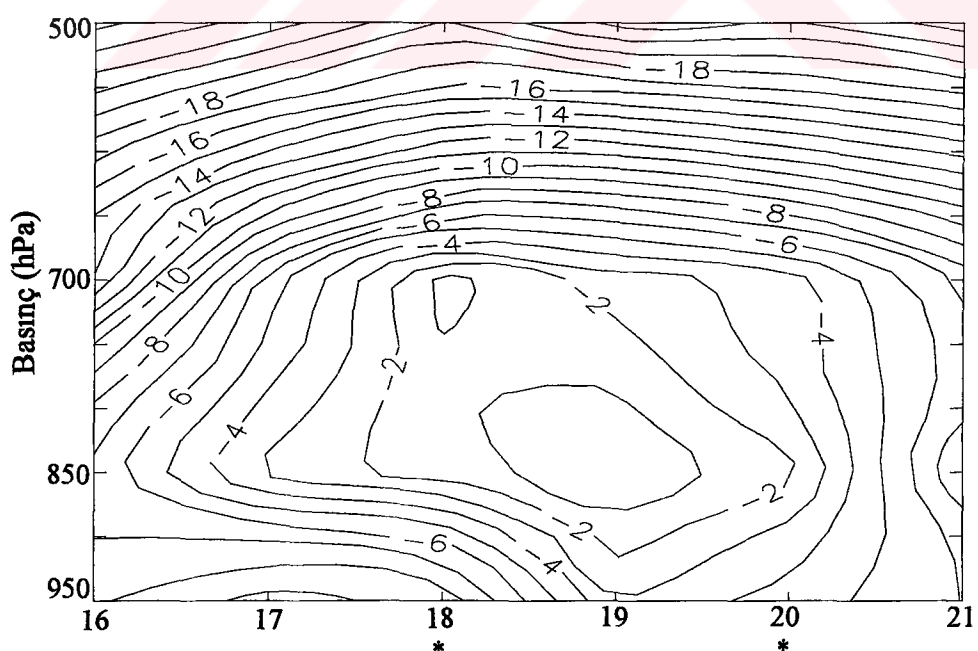
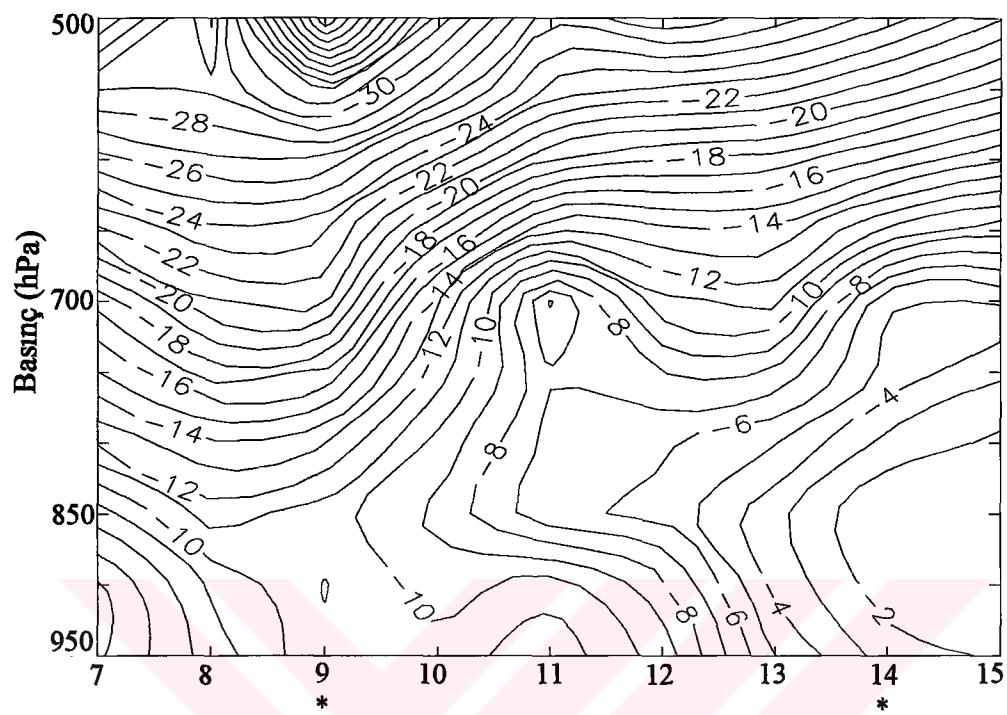
Şekil A.9 (devamı)



Şekil A.9 (devamı)

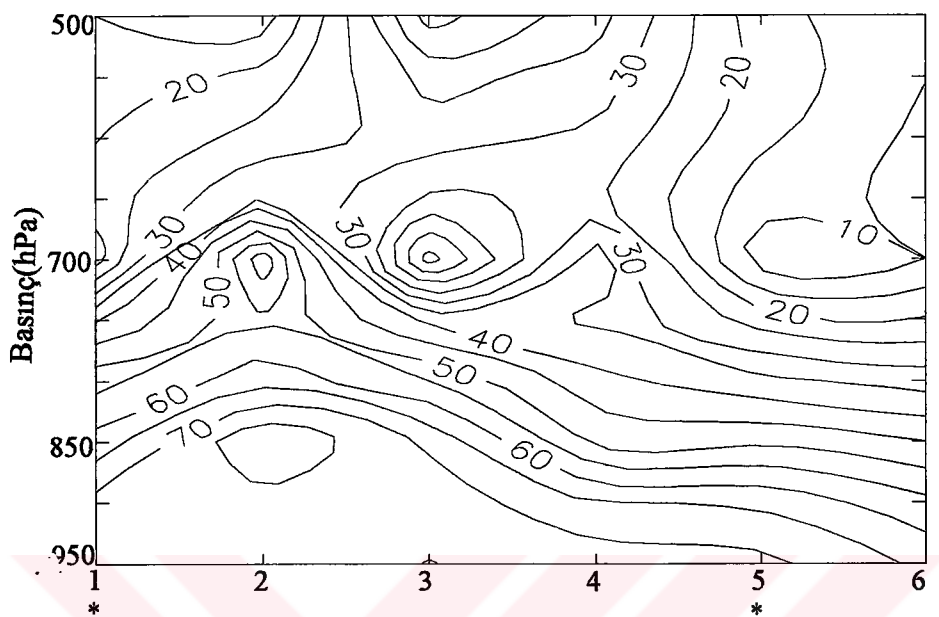


Şekil A.9 (devamı)

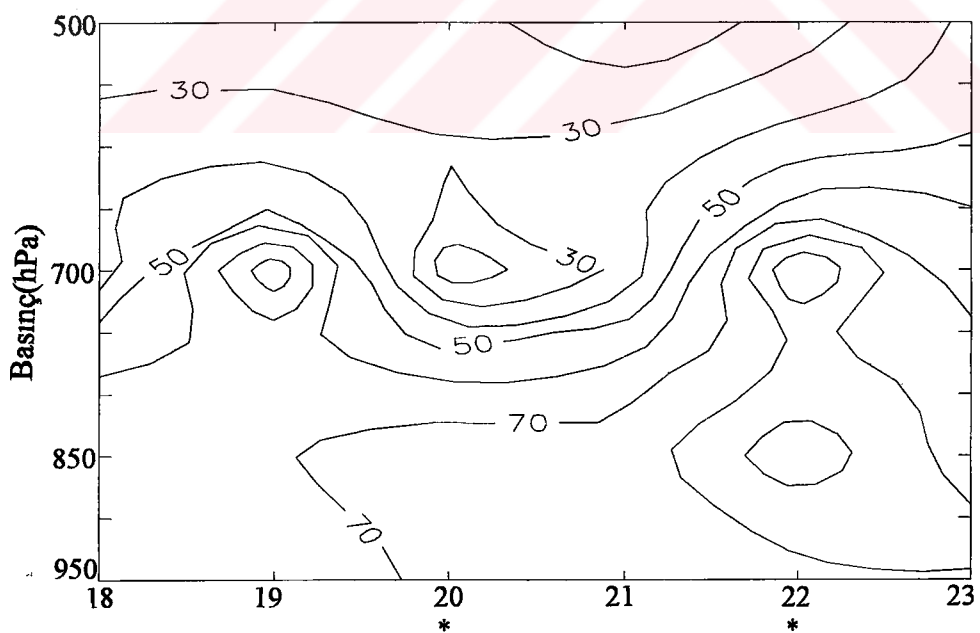


t) T(E26) 18-20 Ocak 1993

Şekil A.9 (devamı)

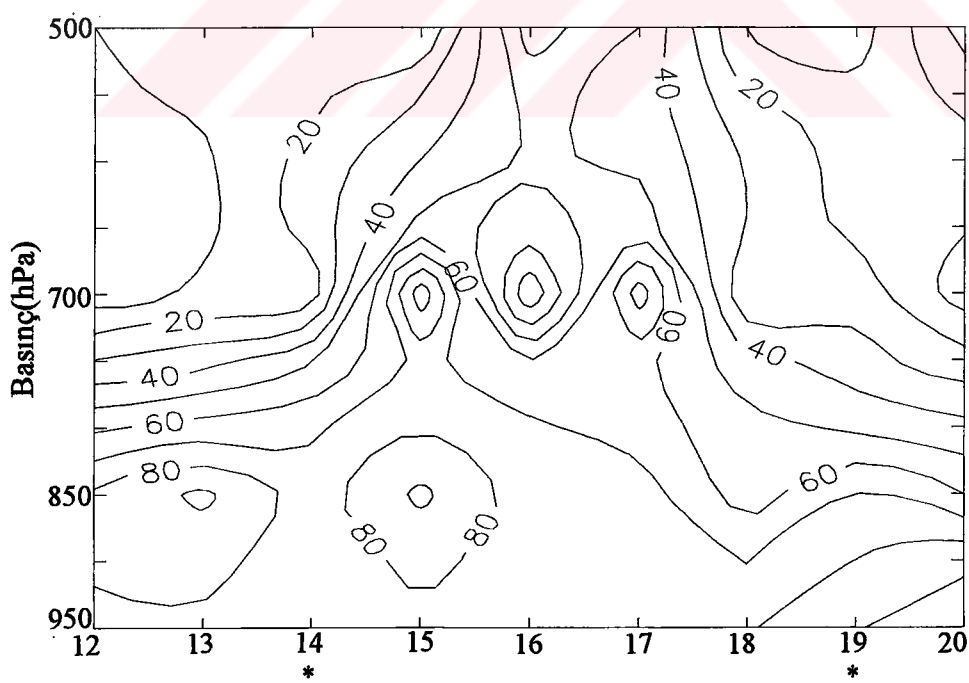
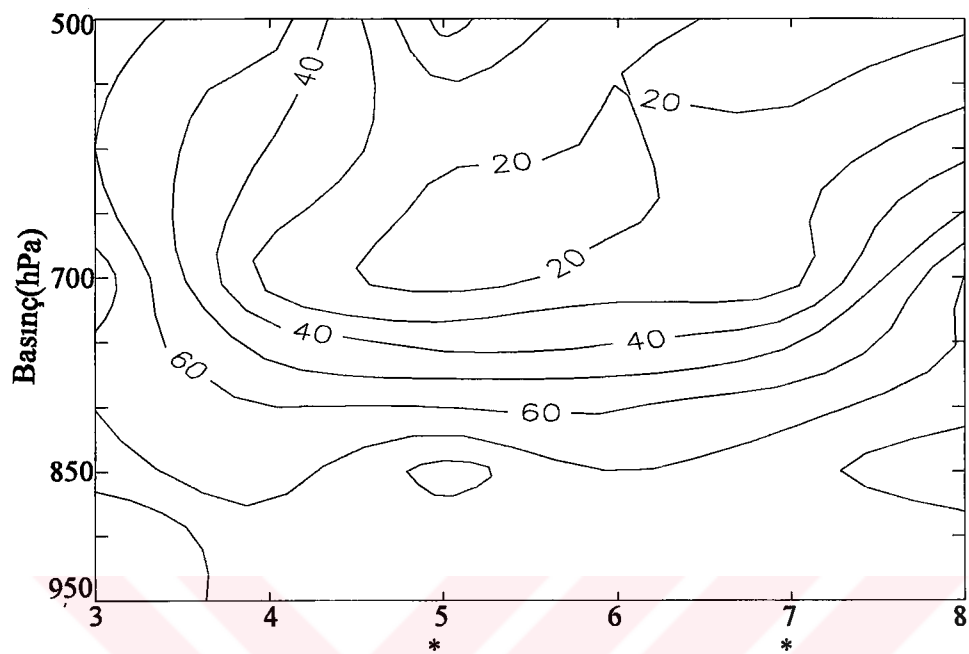


a) RH(E1) 01-05 Kasım 1989

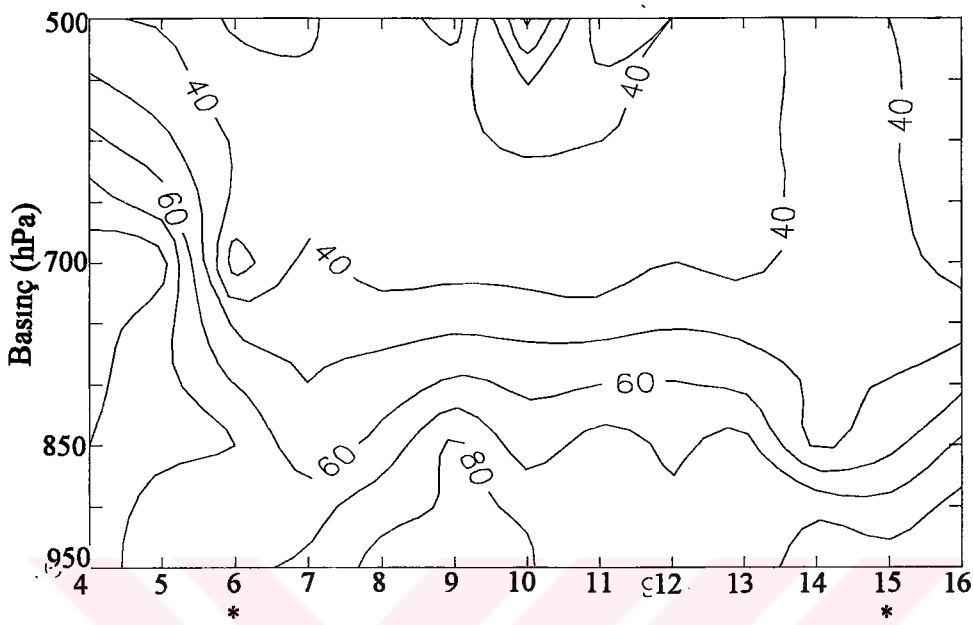


b) RH(E2) 20-22 Kasım 1989

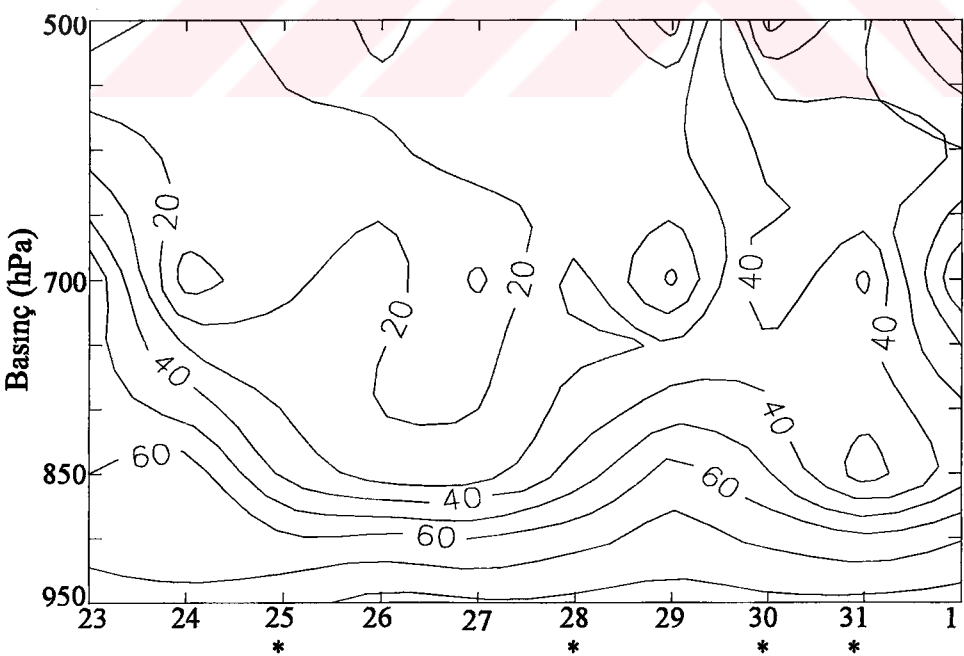
Şekil A.10 $\text{SO}_2 \geq 400 \mu\text{g/m}^3$ episod günlerine ait düşey nem(RH) dağılım profili.



Şekil A.10 (devam)

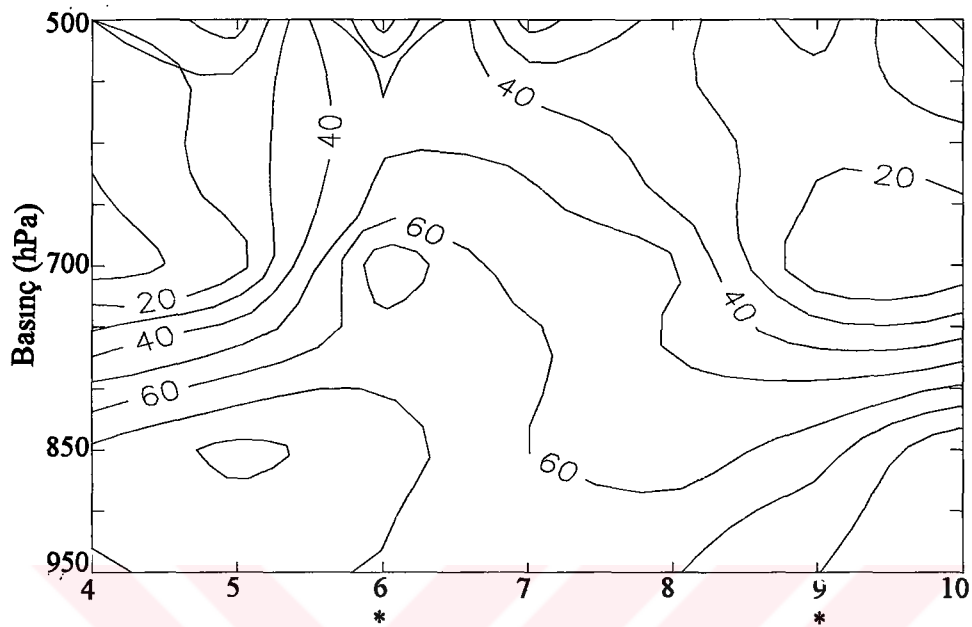


e) RH(E6) 06-15 Ocak 1990

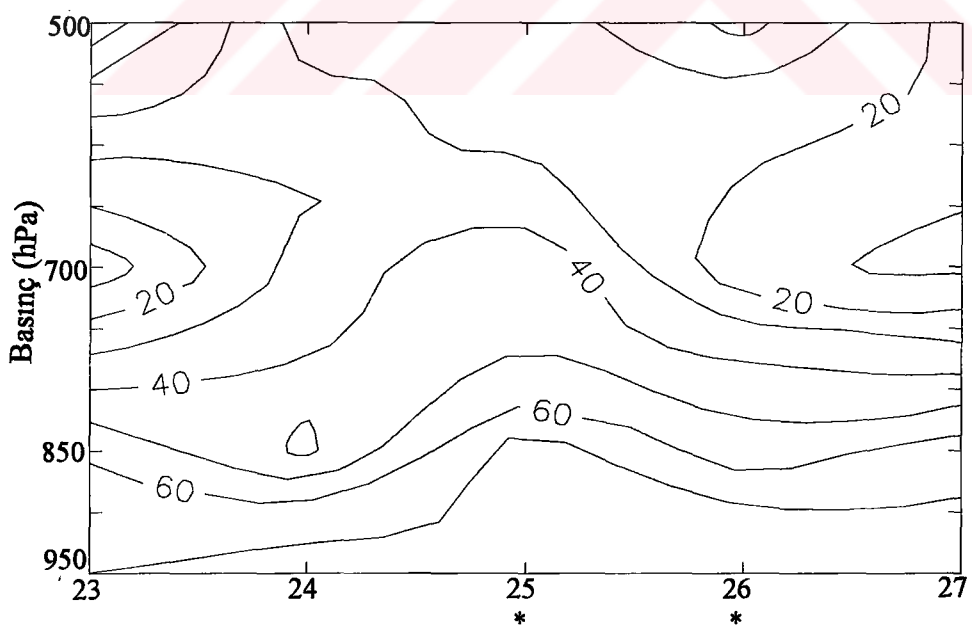


f) RH(E8-9) 25-31 Ocak 1990

Şekil A.10 (devam)

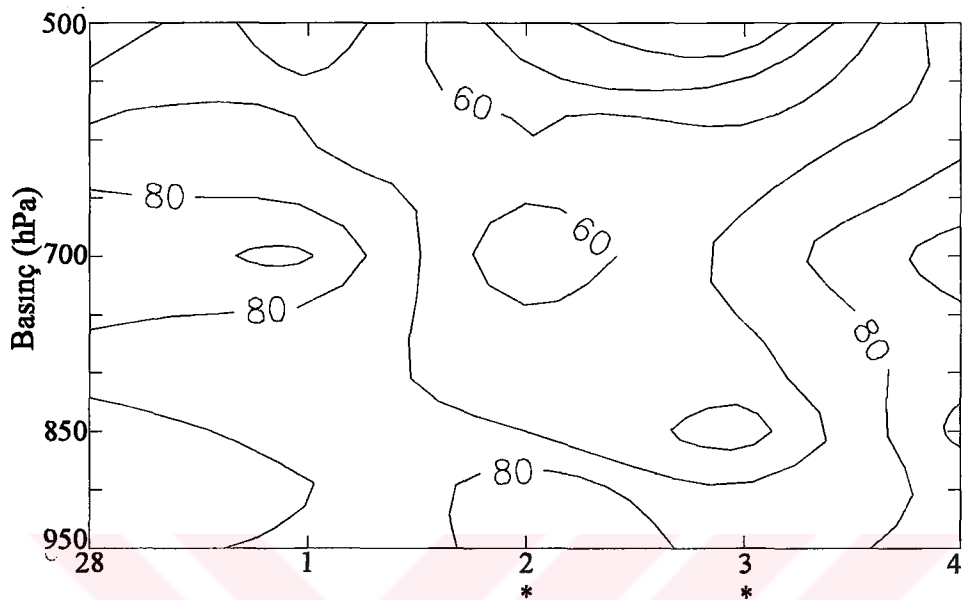


g) RH(E10) 06-09 Şubat 1990

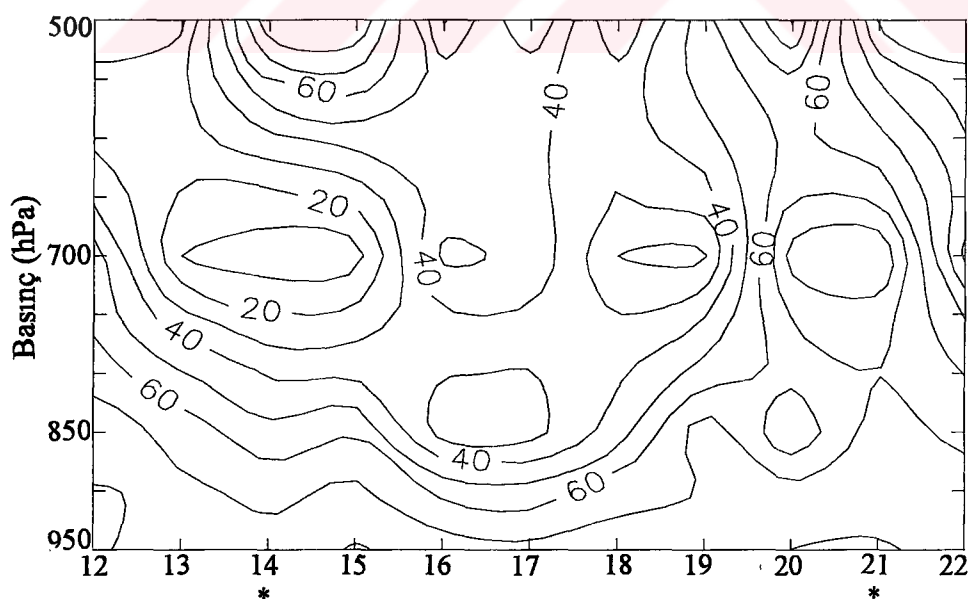


h) RH(E11) 25-26 Şubat 1990

Şekil A.10 (devam)

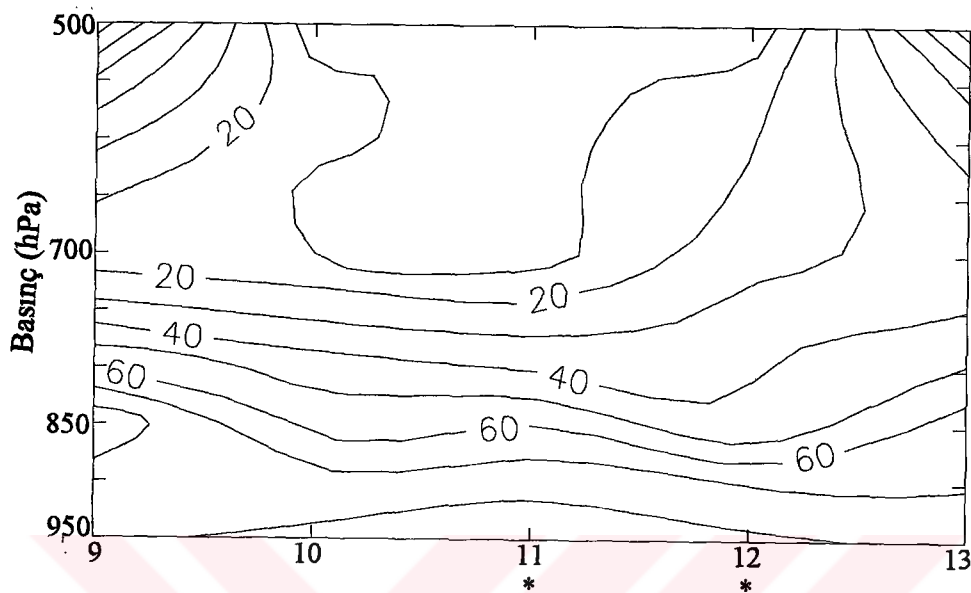


i) RH(E12) 02-03 Mart 1990

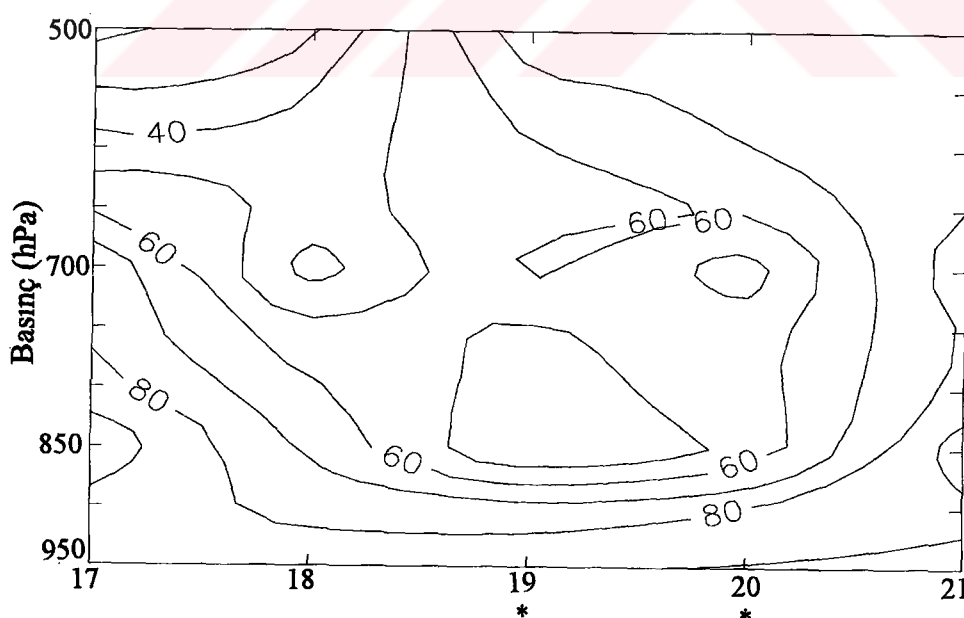


j) RH(E13) 14-21 Kasım 1990

Şekil A.10 (devam)

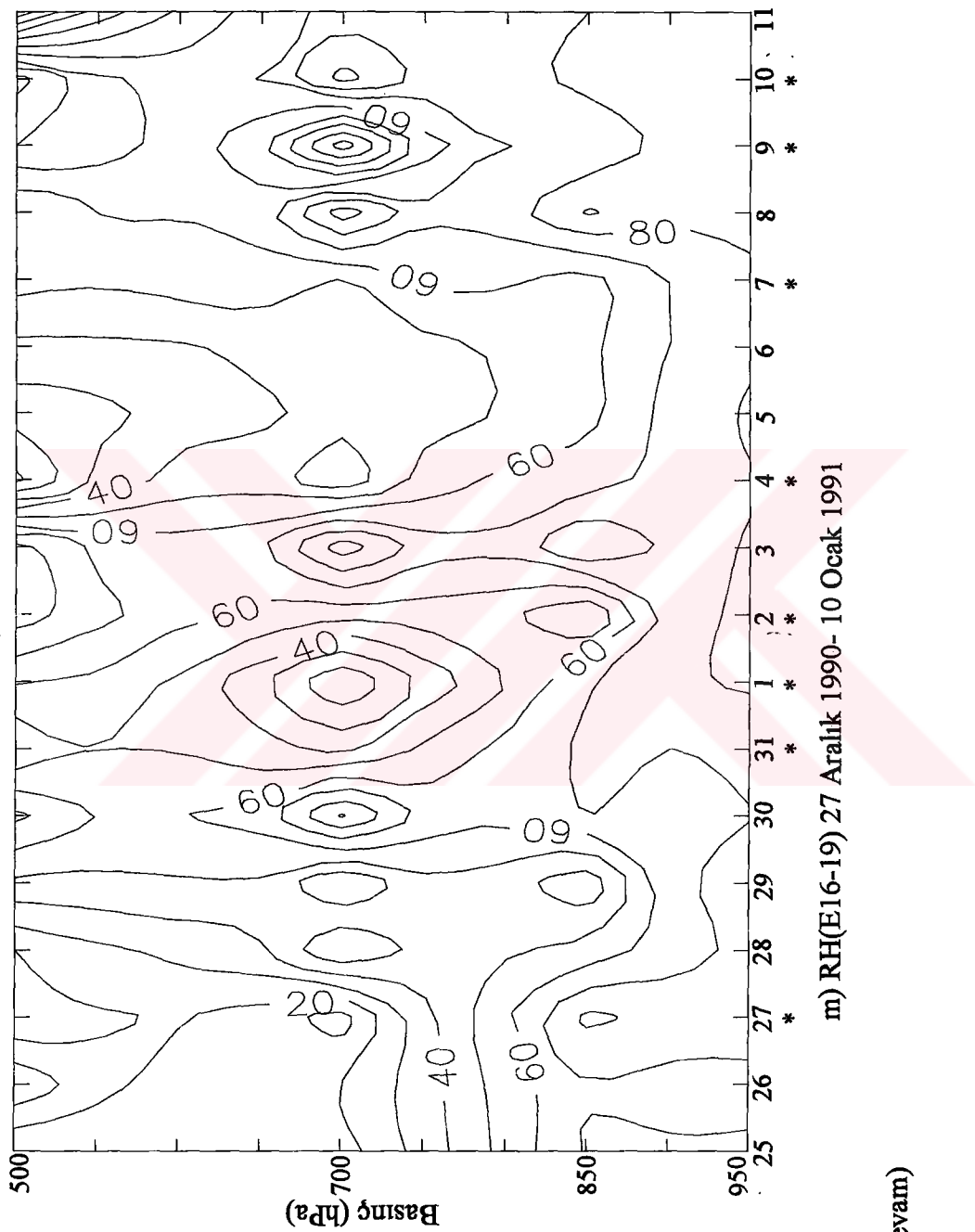


k) RH(E14) 11-12 Aralık 1990

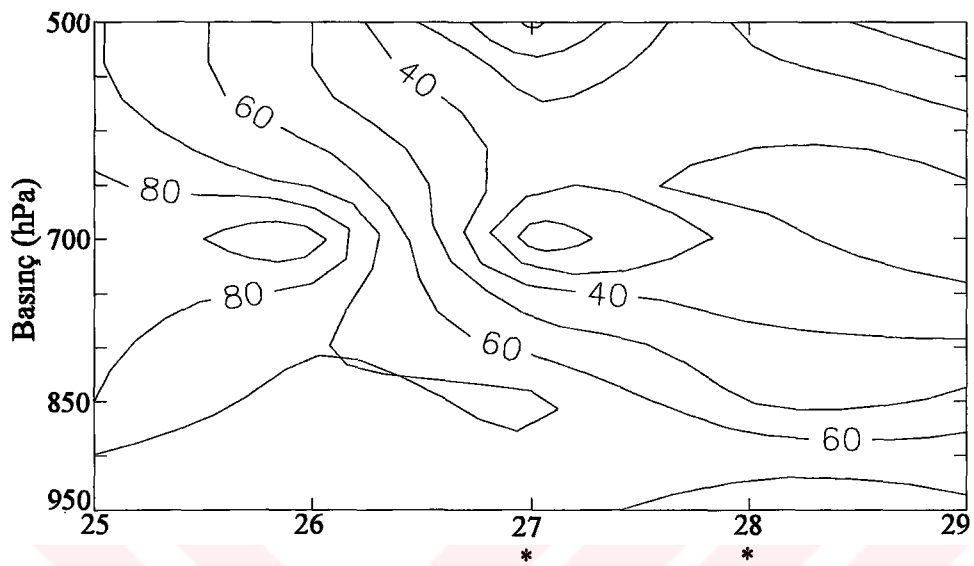


l) RH(E15) 19-20 Aralık 1990

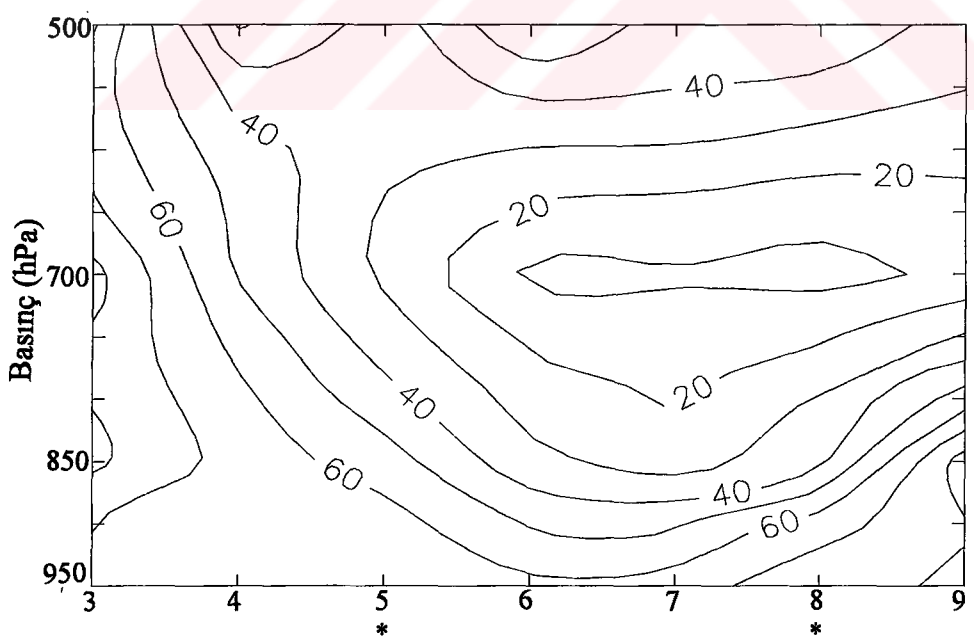
Şekil A.10 (devam)



Sekil A.10 (devam)

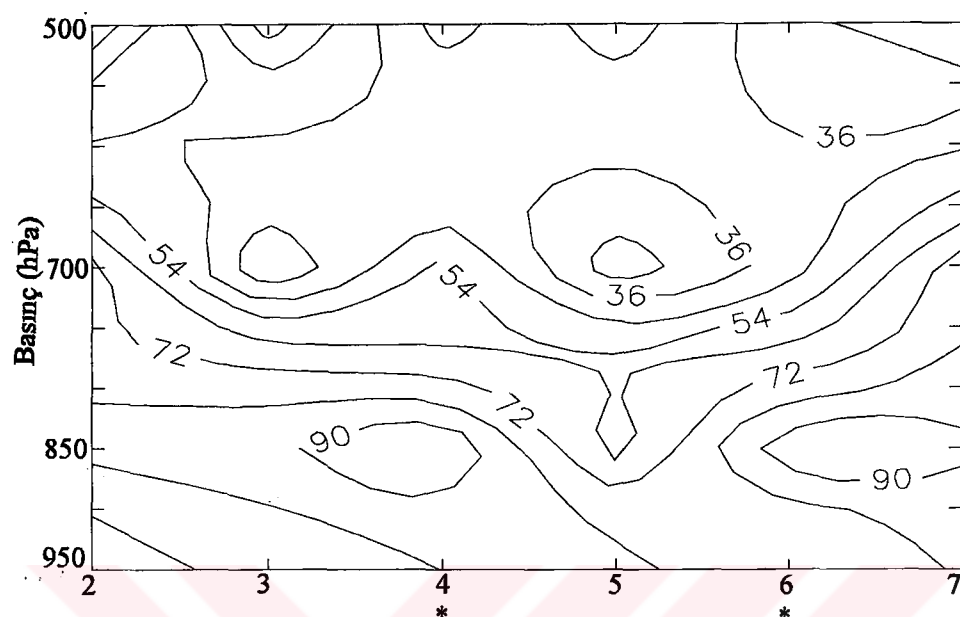


n) RH(E20) 27-28 Ocak 1991

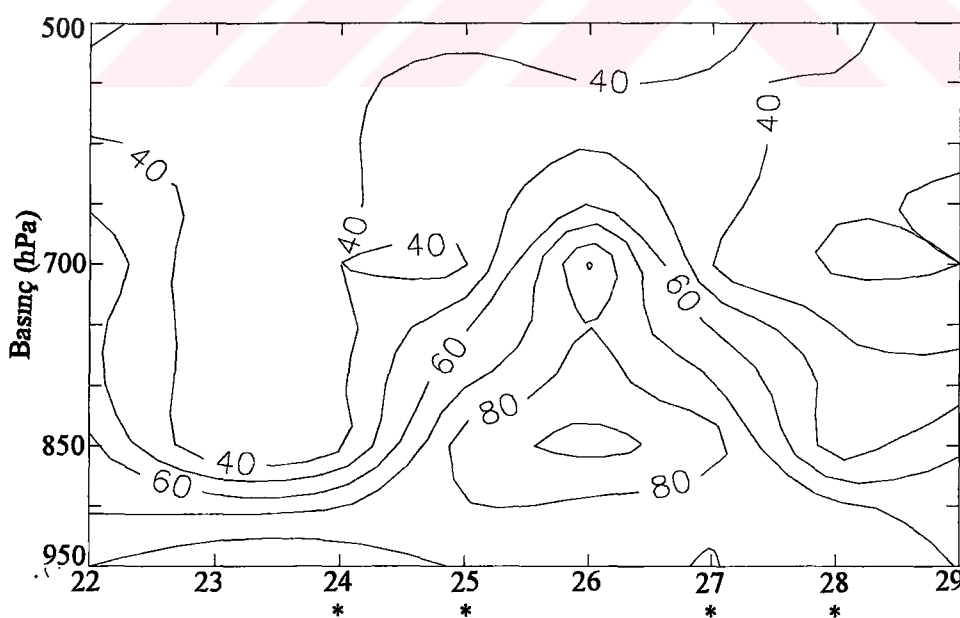


o) RH(E21) 05-08 Şubat 1991

Şekil A.10 (devam)

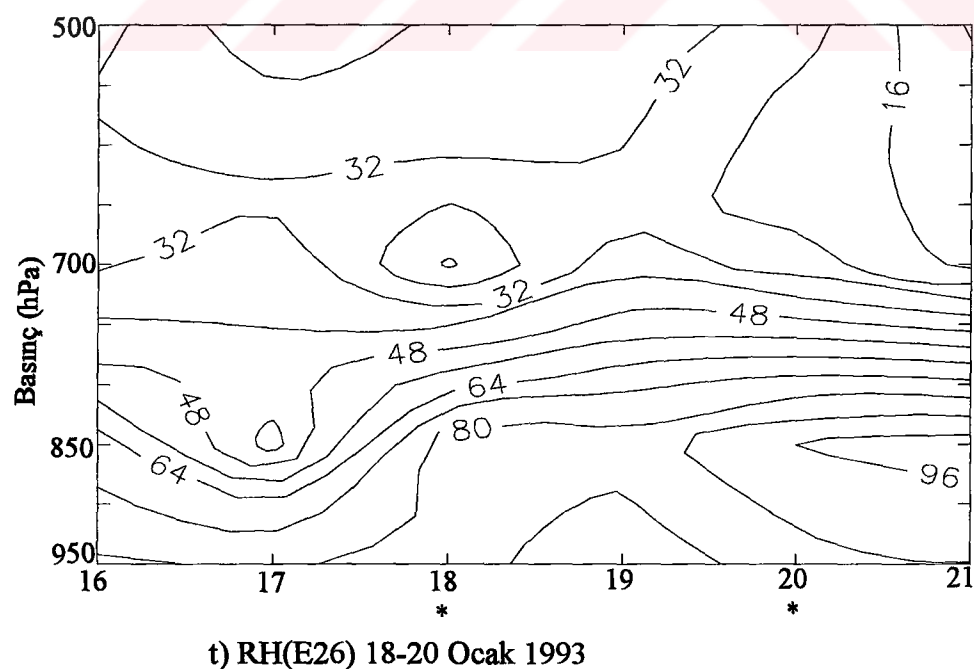
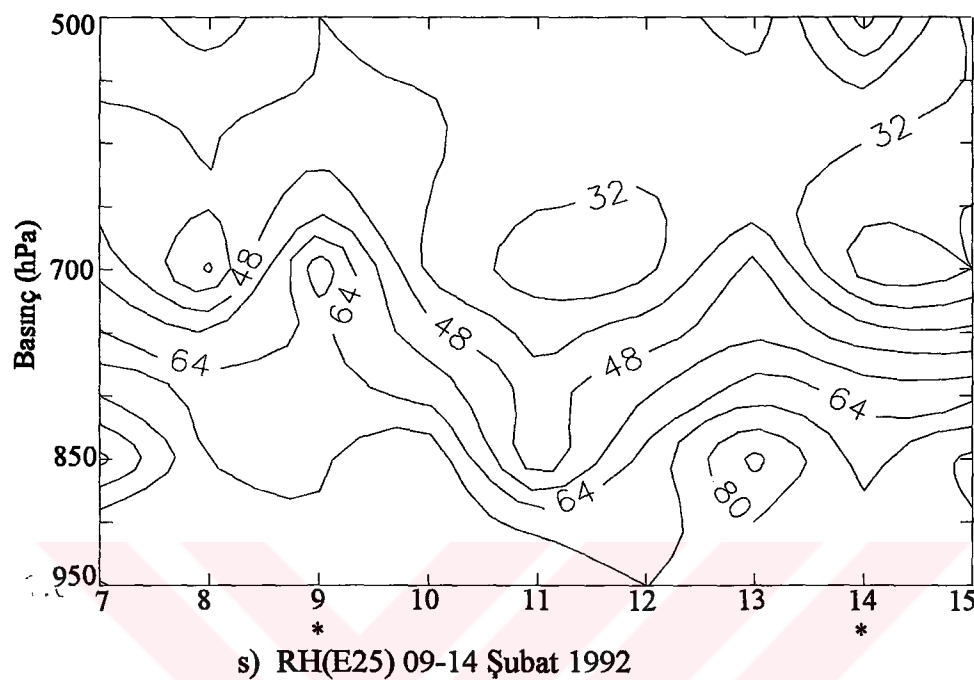


p) RH(E22) 04-06 Ocak 1992

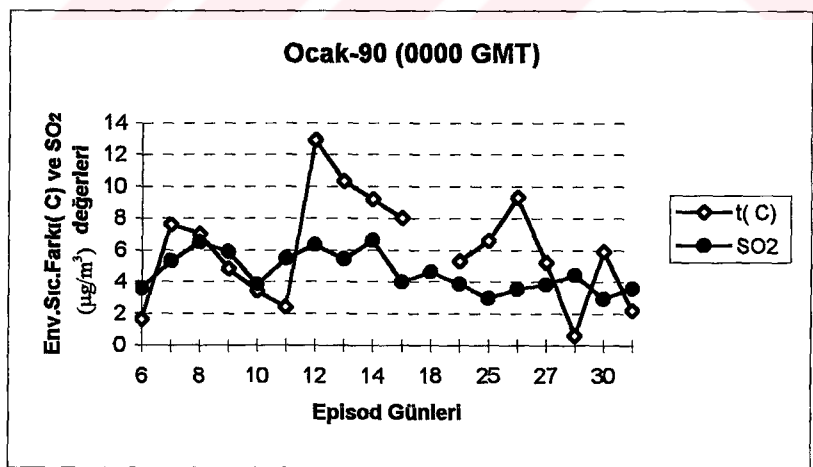
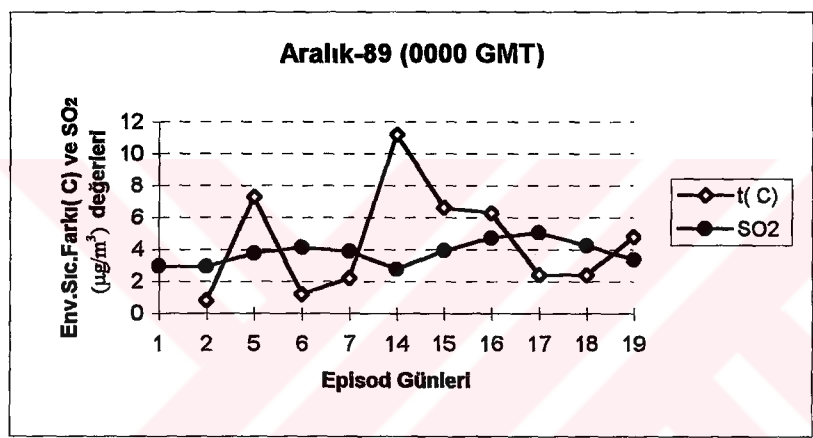
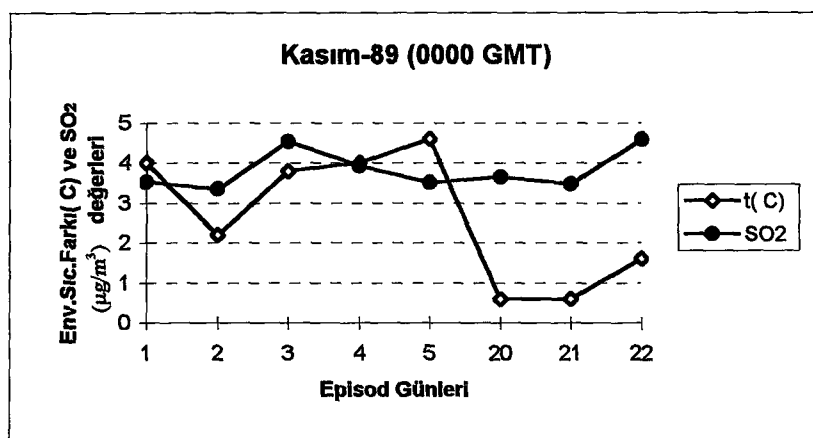


r) RH(E23-24) 24-28 Ocak 1992

Şekil A.10 (devam)

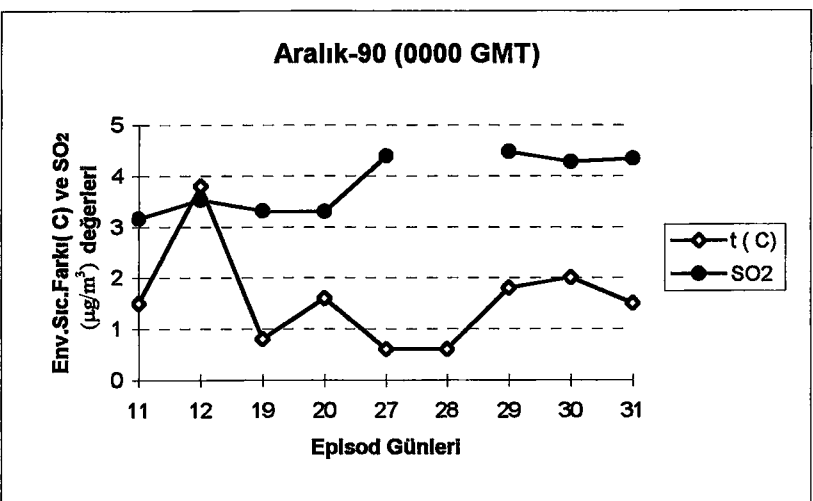
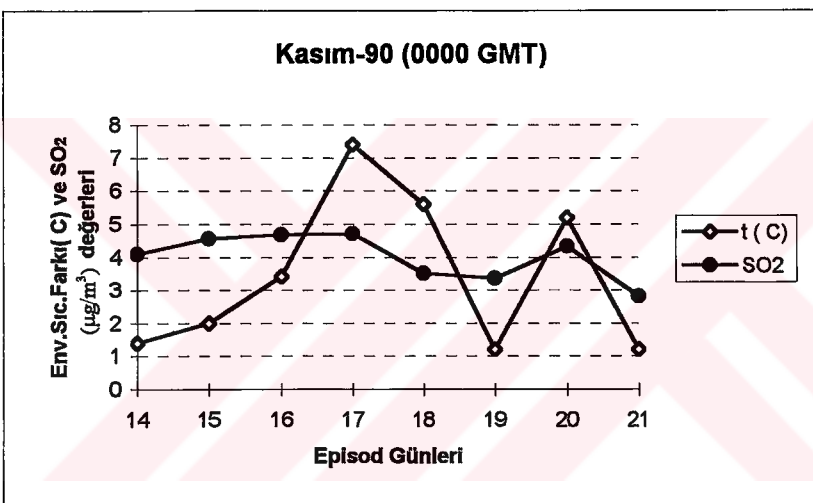
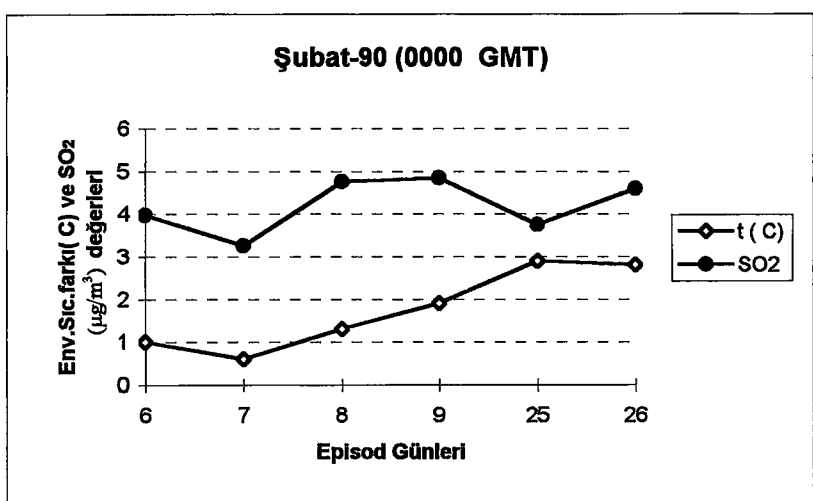


Şekil A.10 (devam)

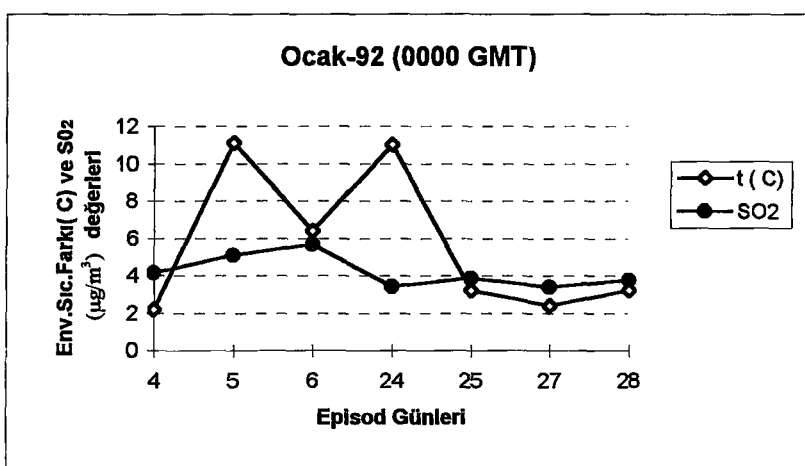
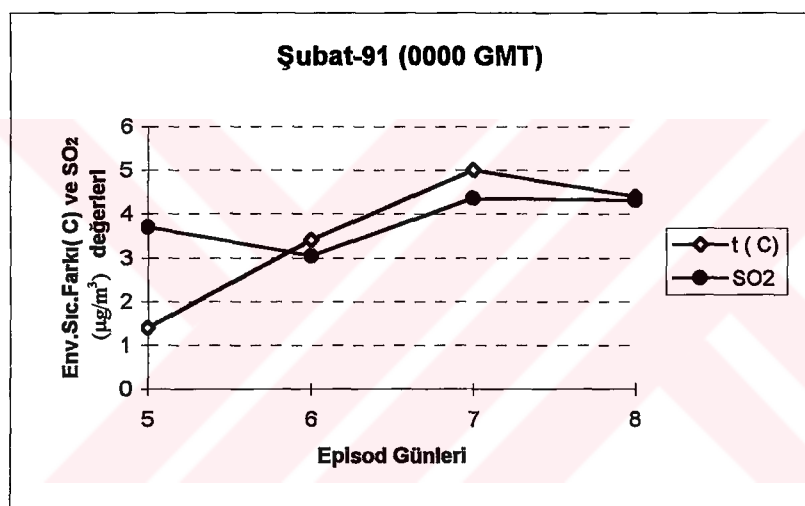
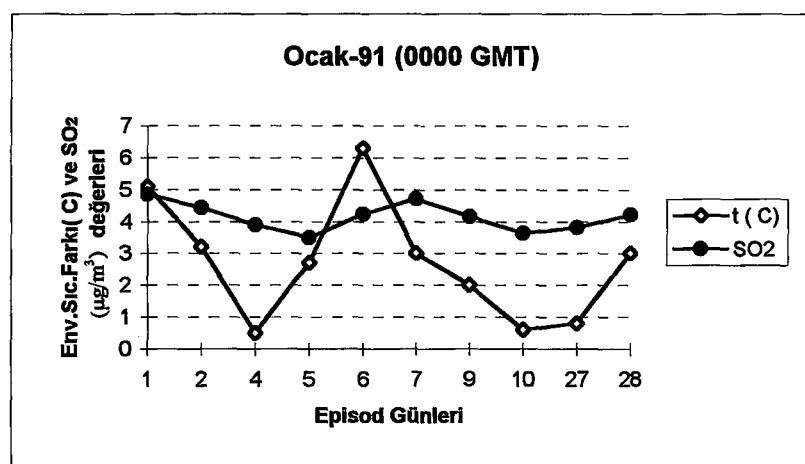


Not: SO₂ değerleri 100'e bölünmüştür.

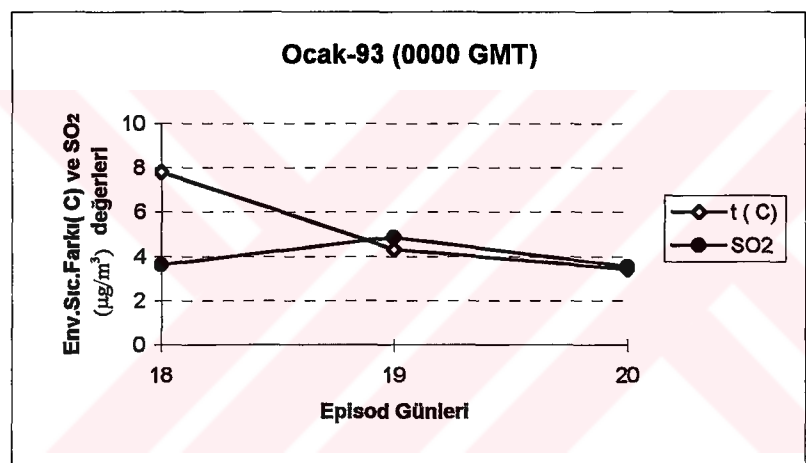
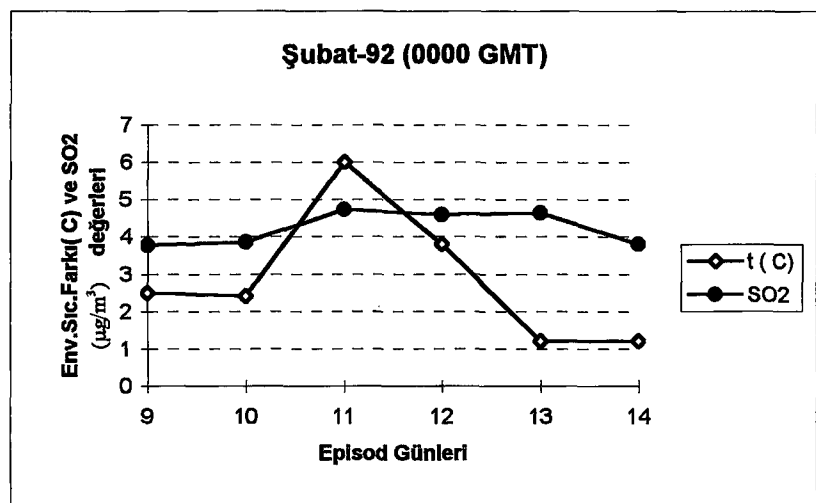
Şekil A.11 Enverziyon sıcaklık farkı ve SO₂ değerleri



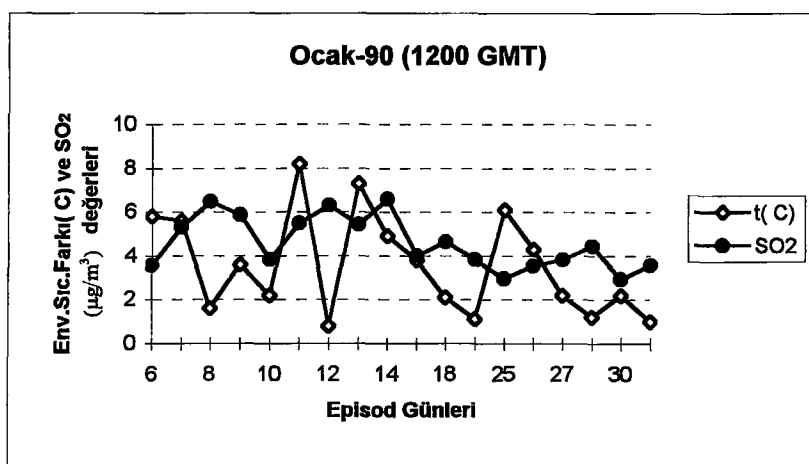
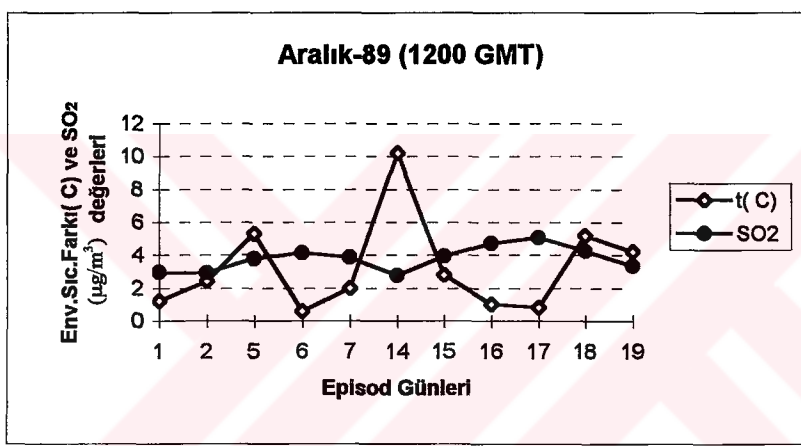
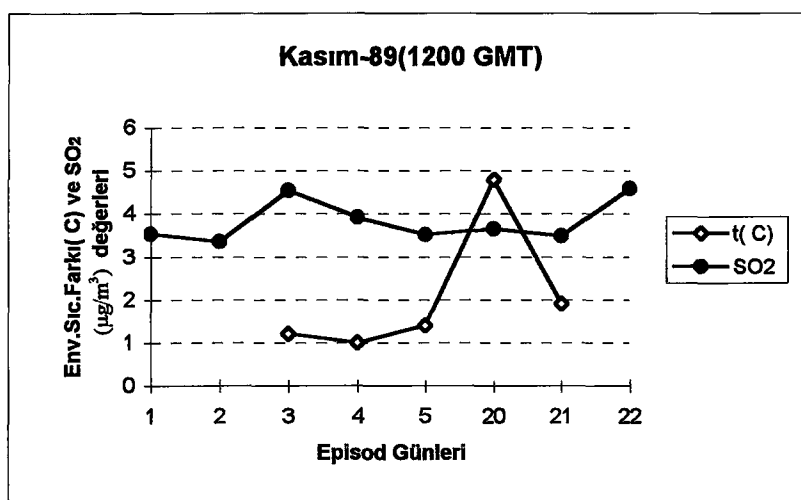
Şekil A.11 (devam)



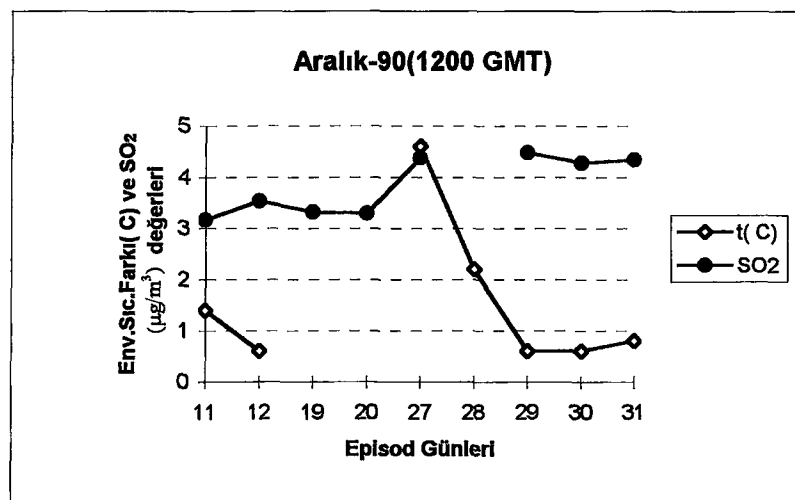
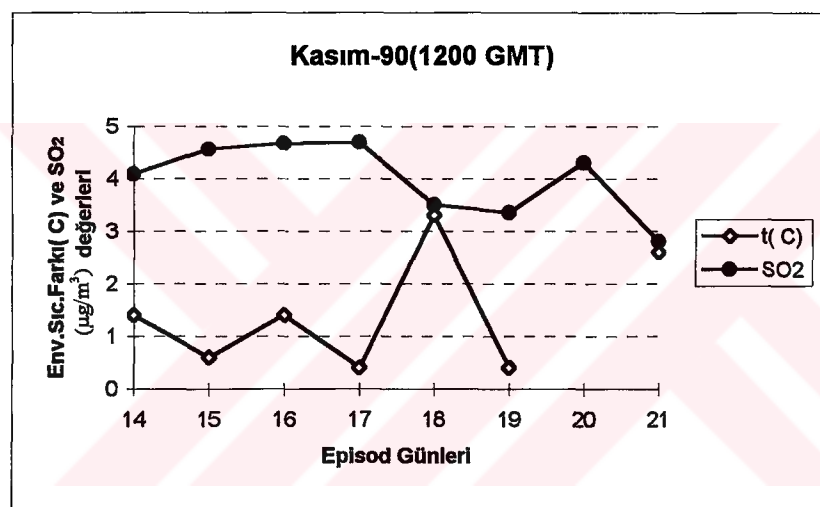
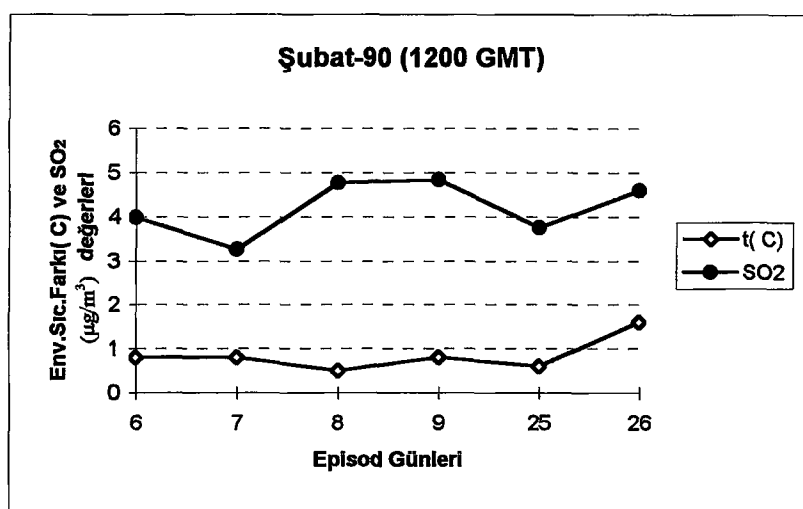
Şekil A.11(devam)



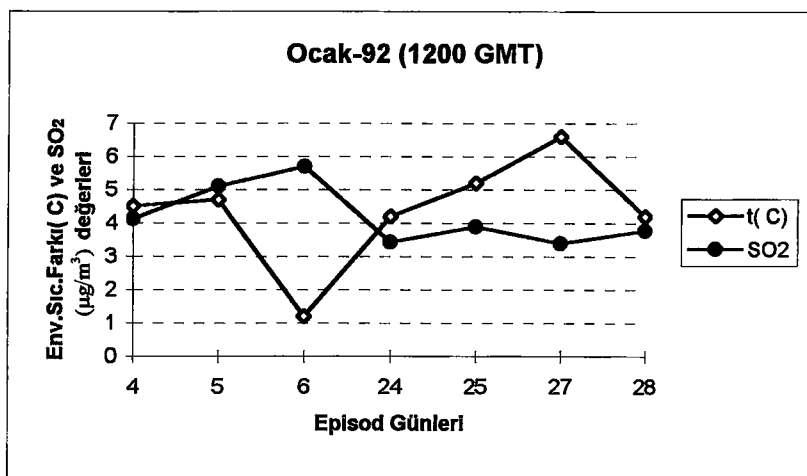
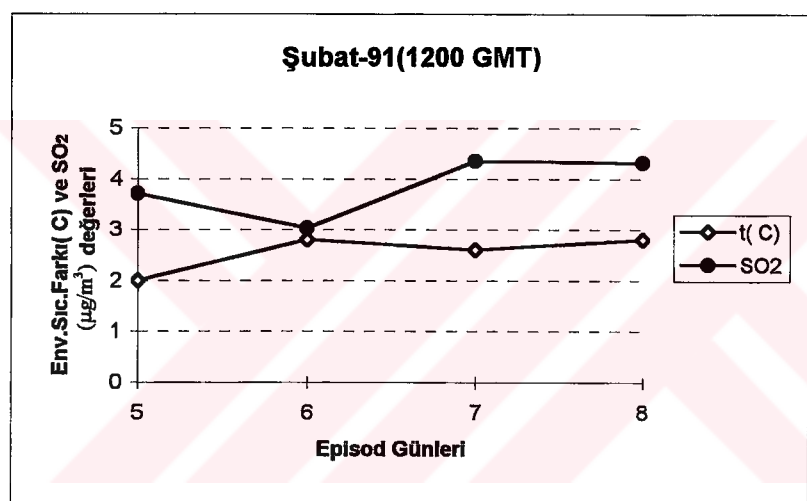
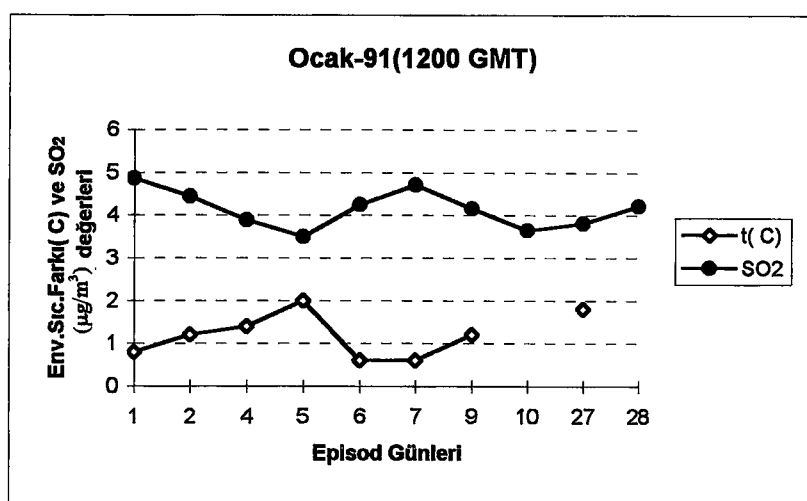
Şekil A.11(devam)



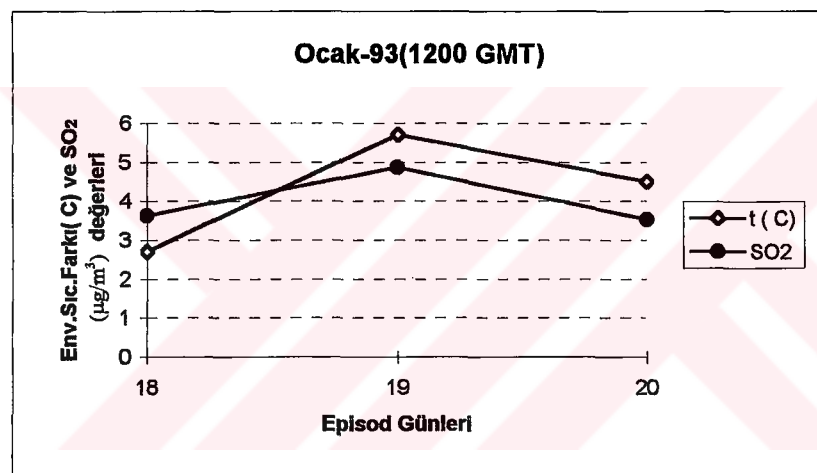
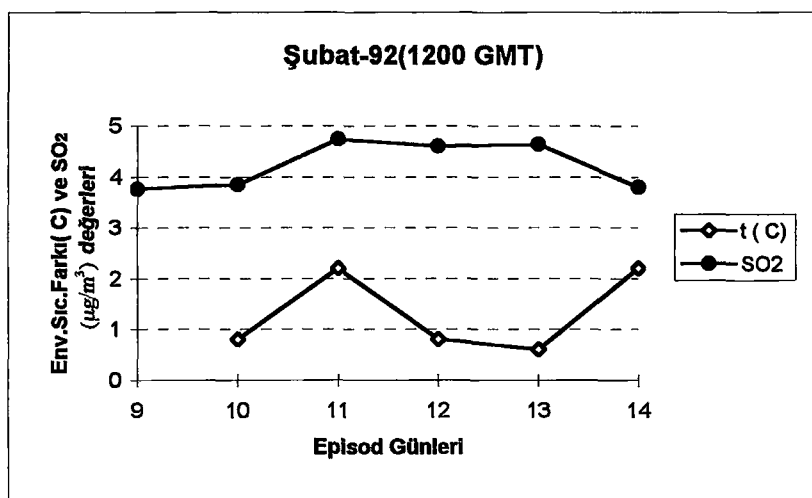
Şekil A.11(devam)



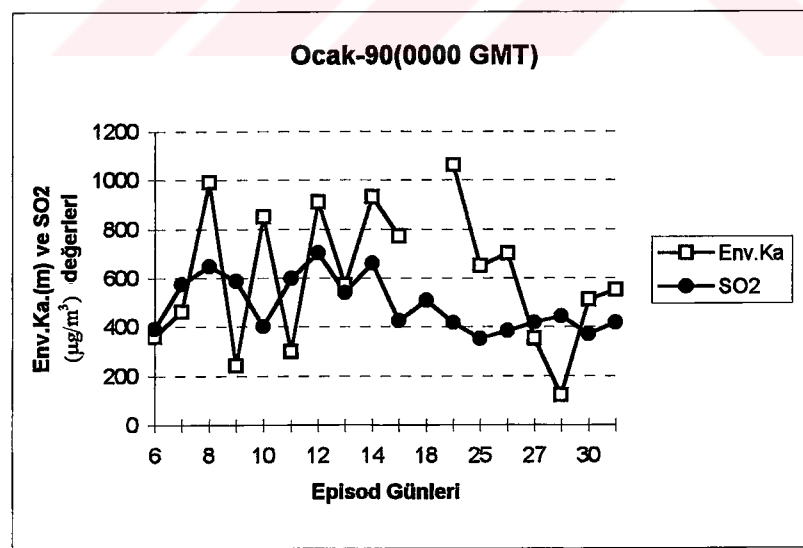
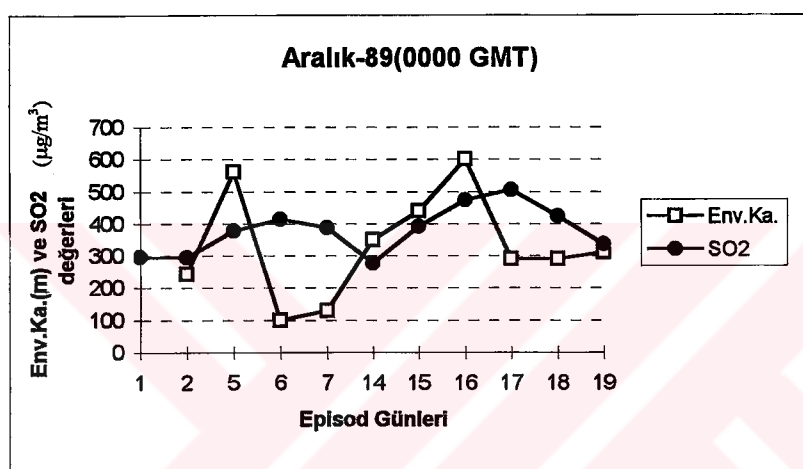
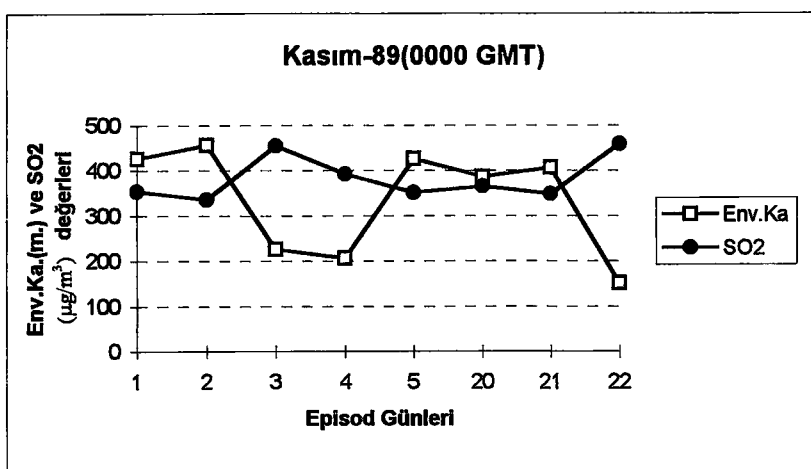
Şekil A.11(devam)



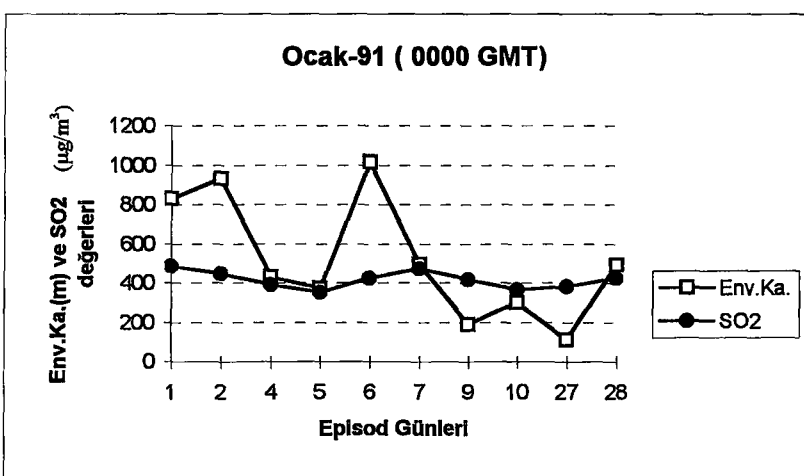
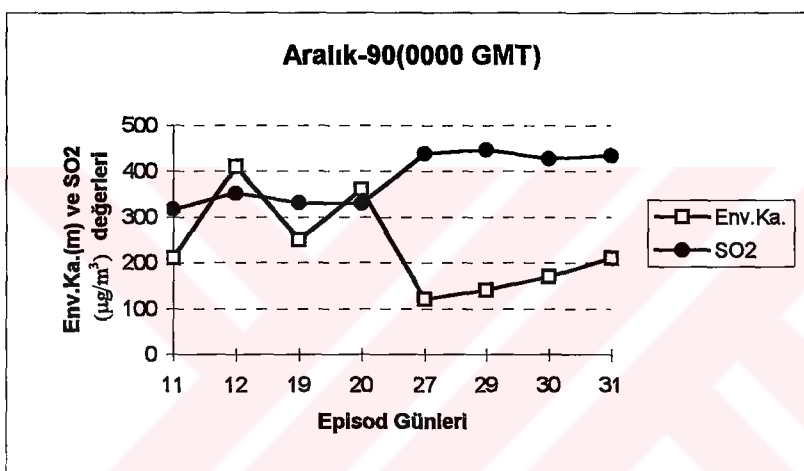
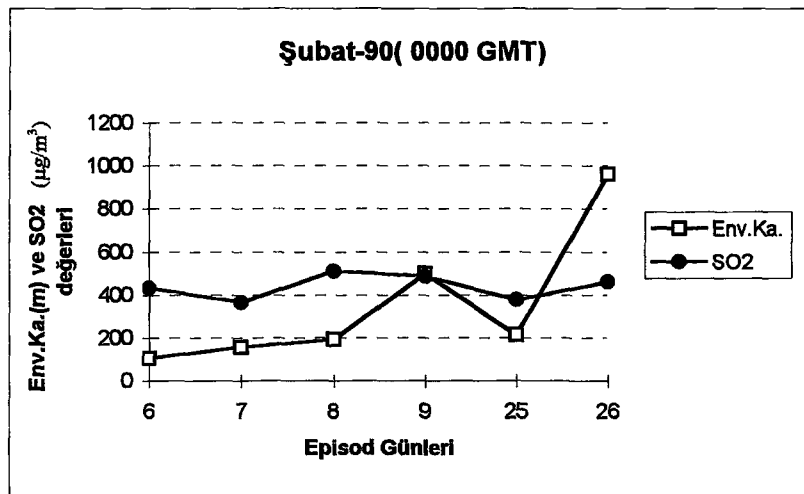
Şekil A.11(devam)



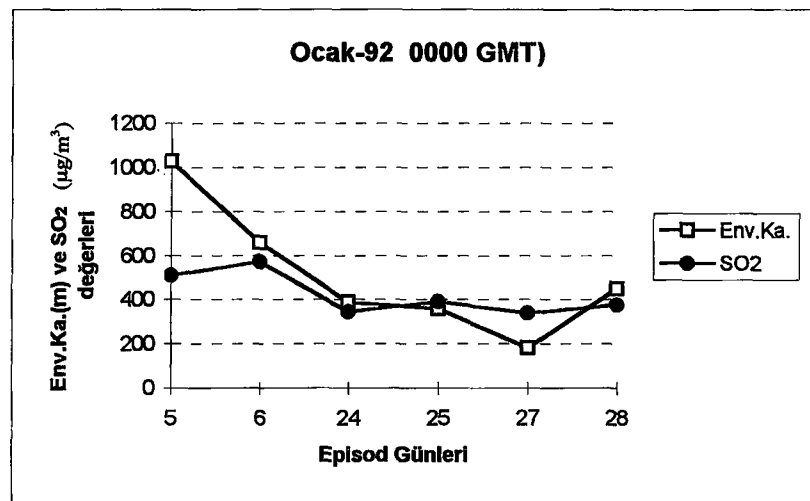
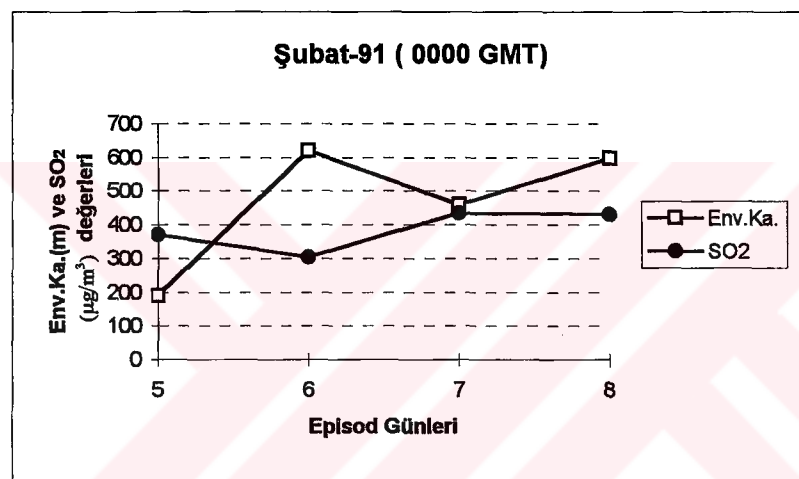
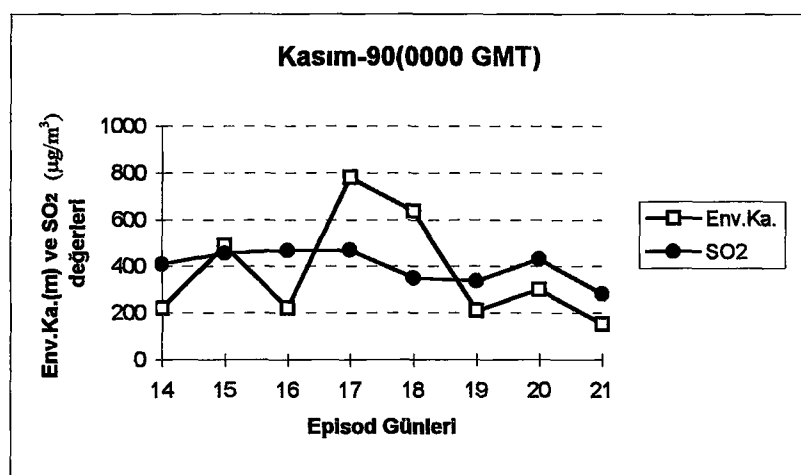
Şekil A.11(devam)



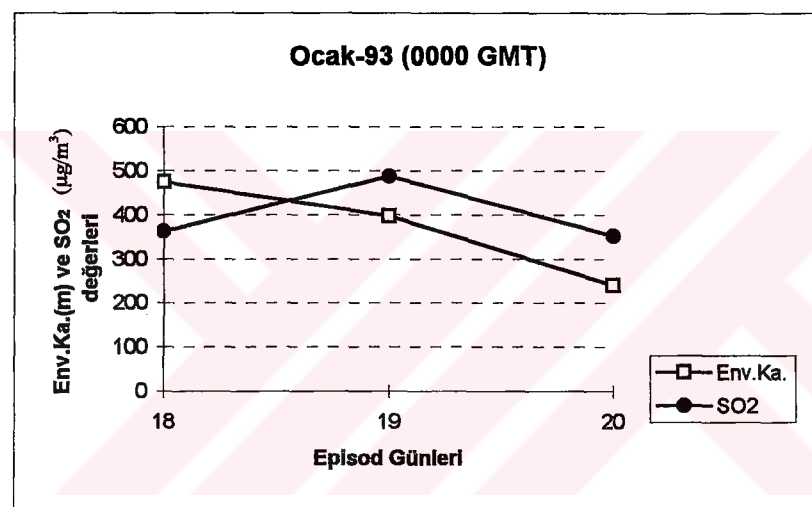
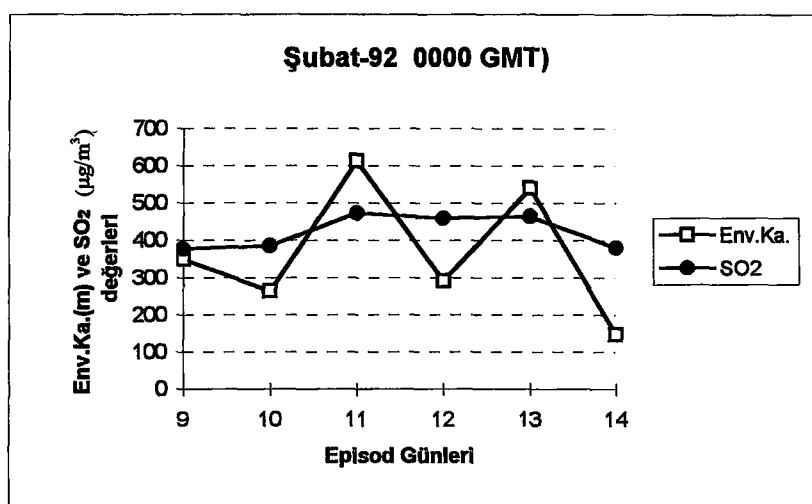
Şekil A.12 Enverziyon (0000 GMT ve 1200 GMT) kalınlığı ve SO₂ değerleri.



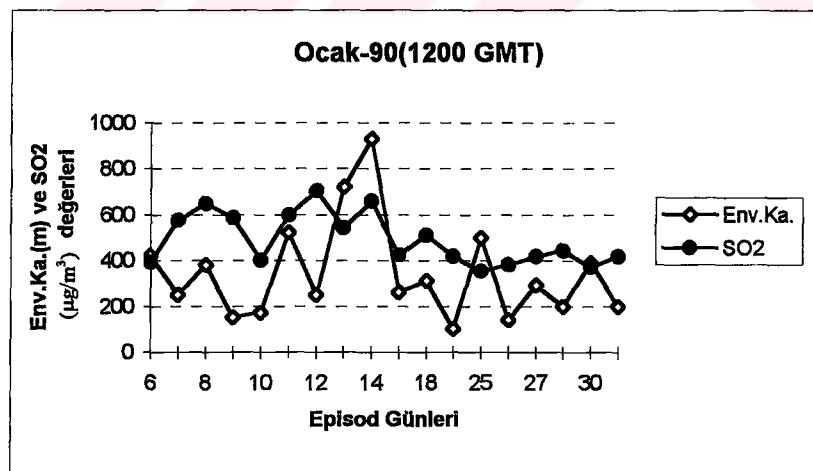
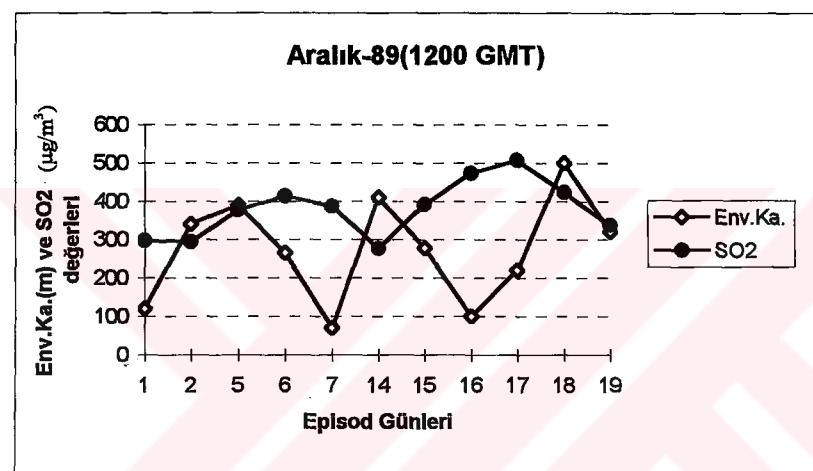
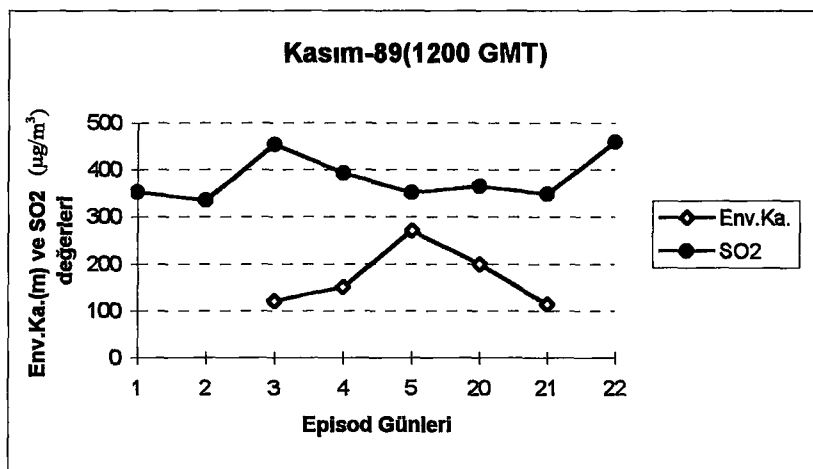
Şekil A.12 (devam)



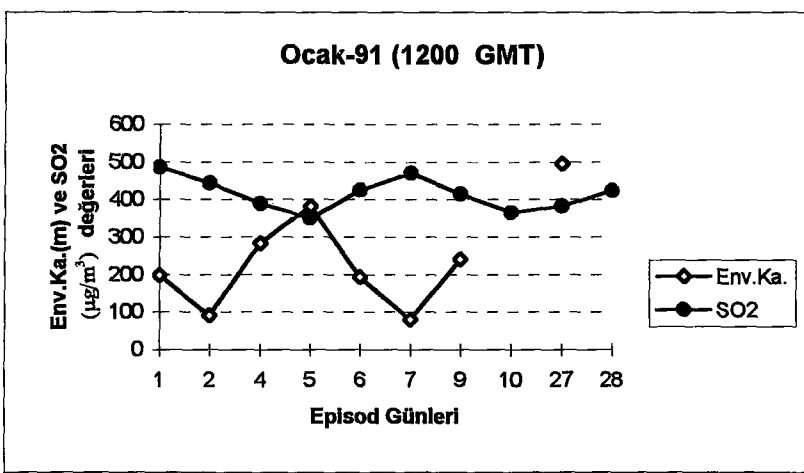
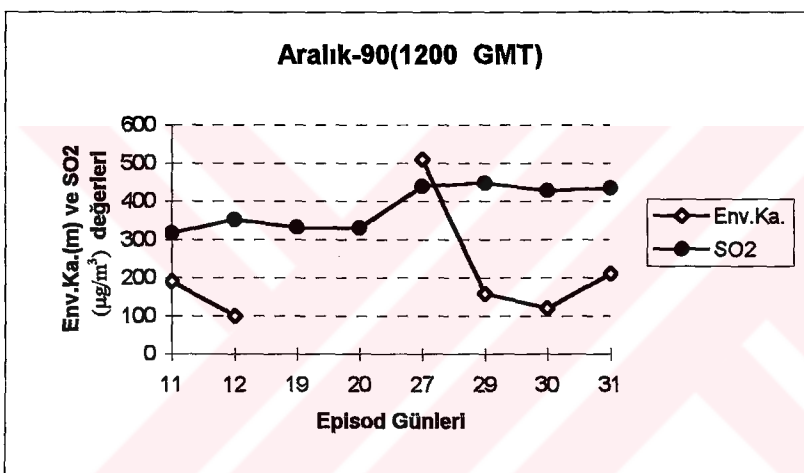
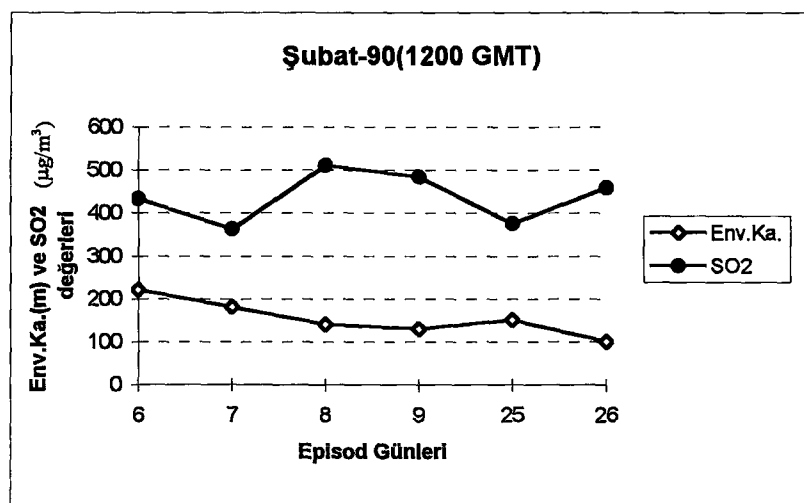
Şekil A.12 (devam)



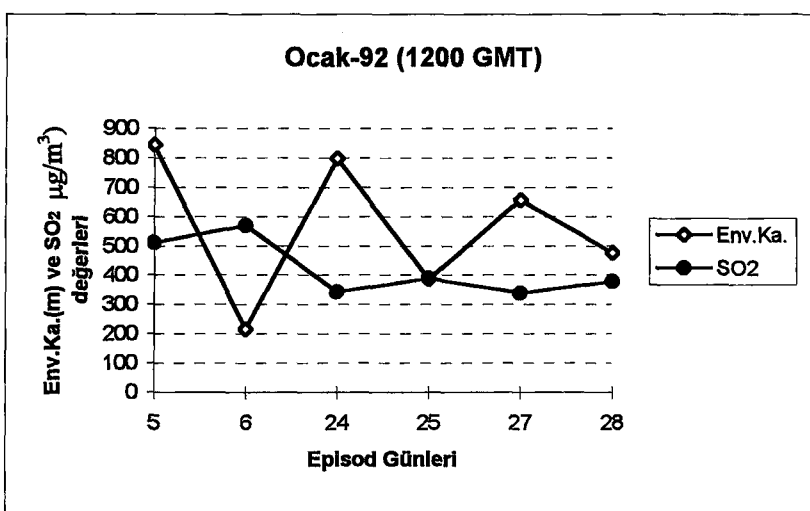
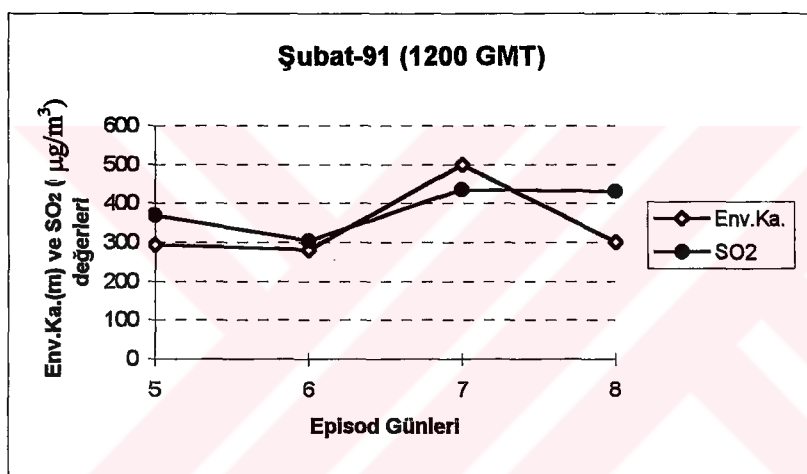
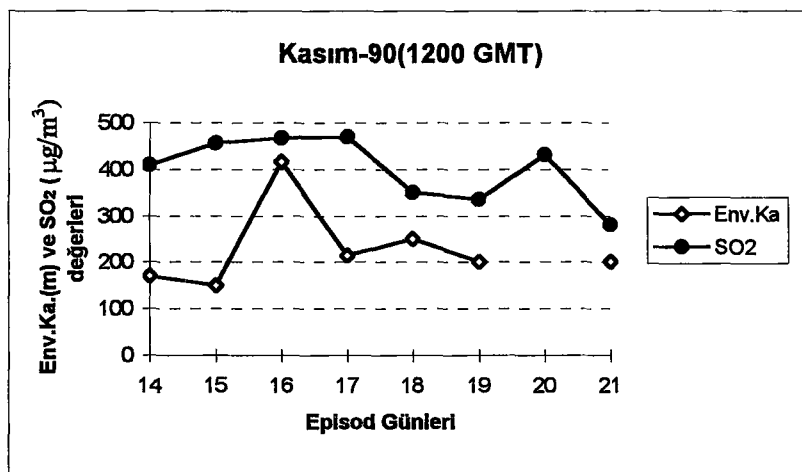
Şekil A.12 (devam)



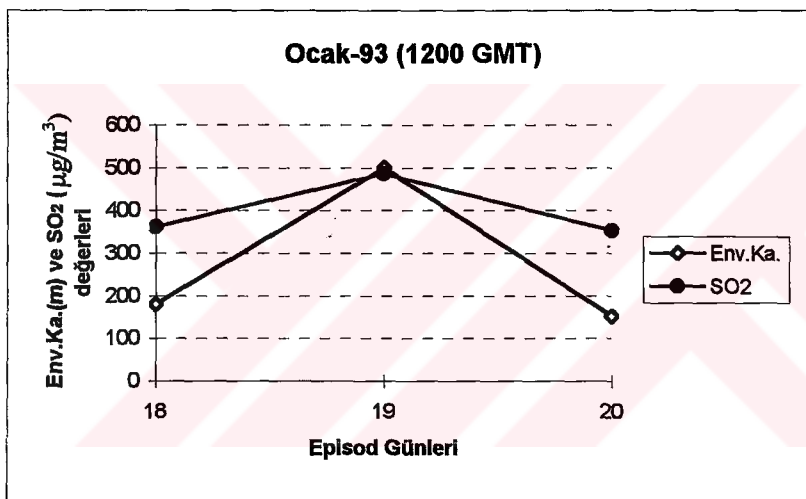
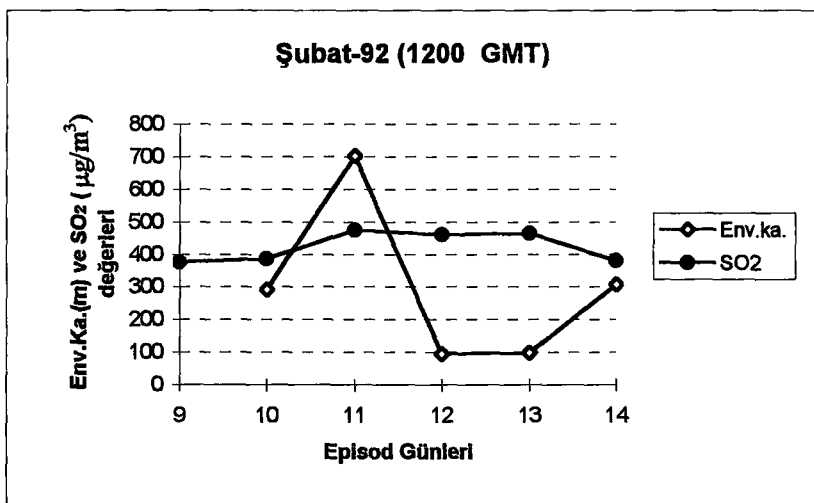
Şekil A.12 (devam)



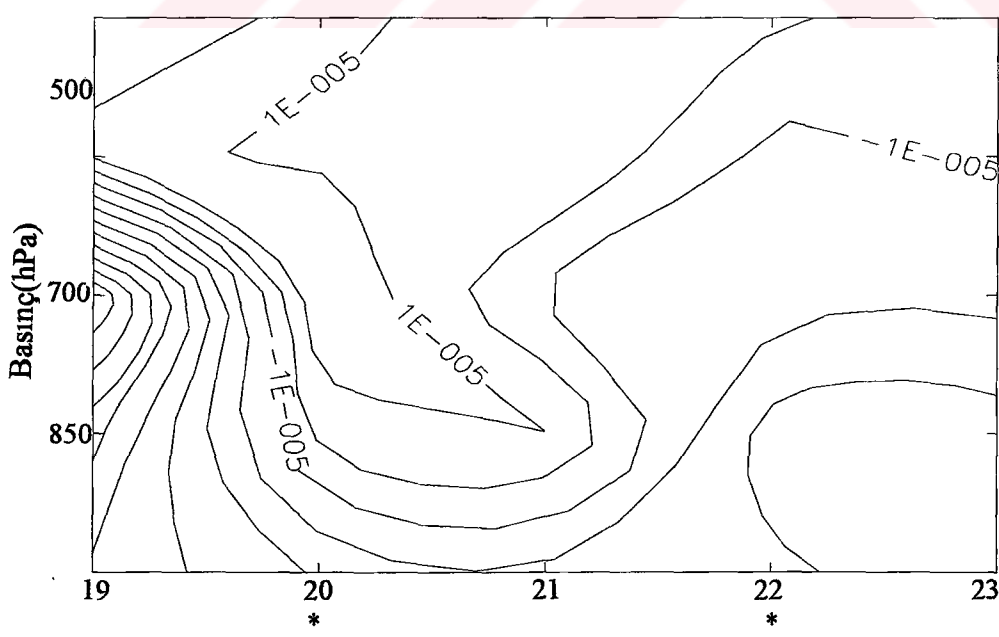
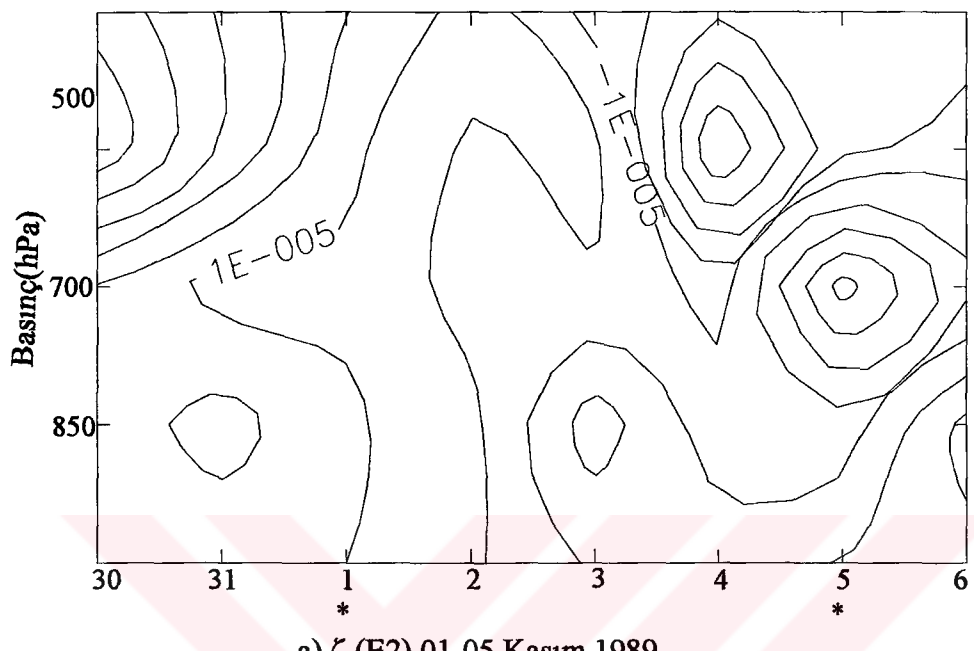
Şekil A.12 (devam)



Şekil A.12 (devam)

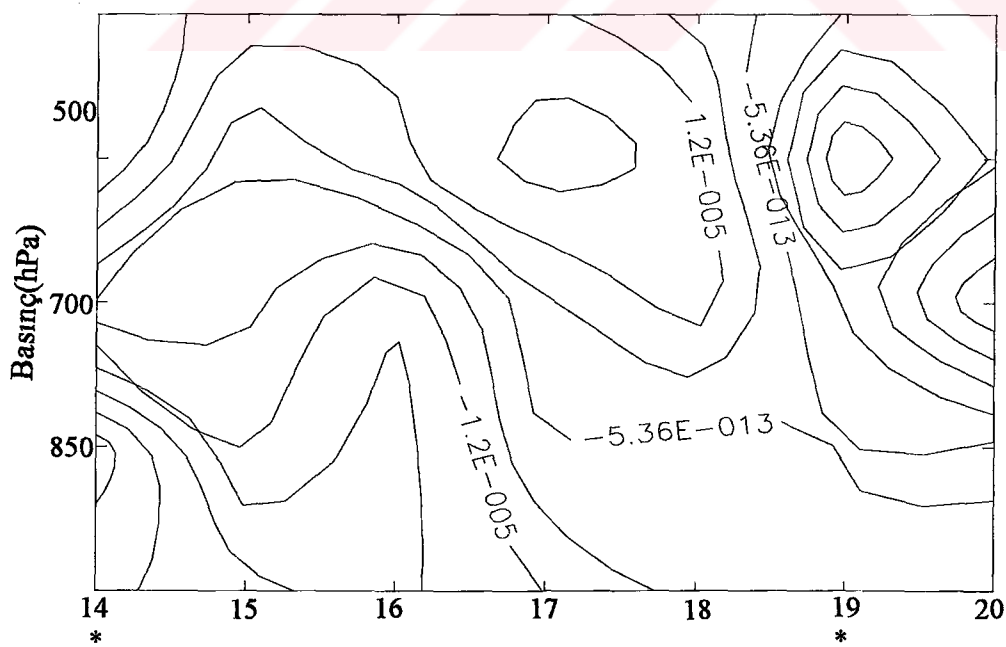
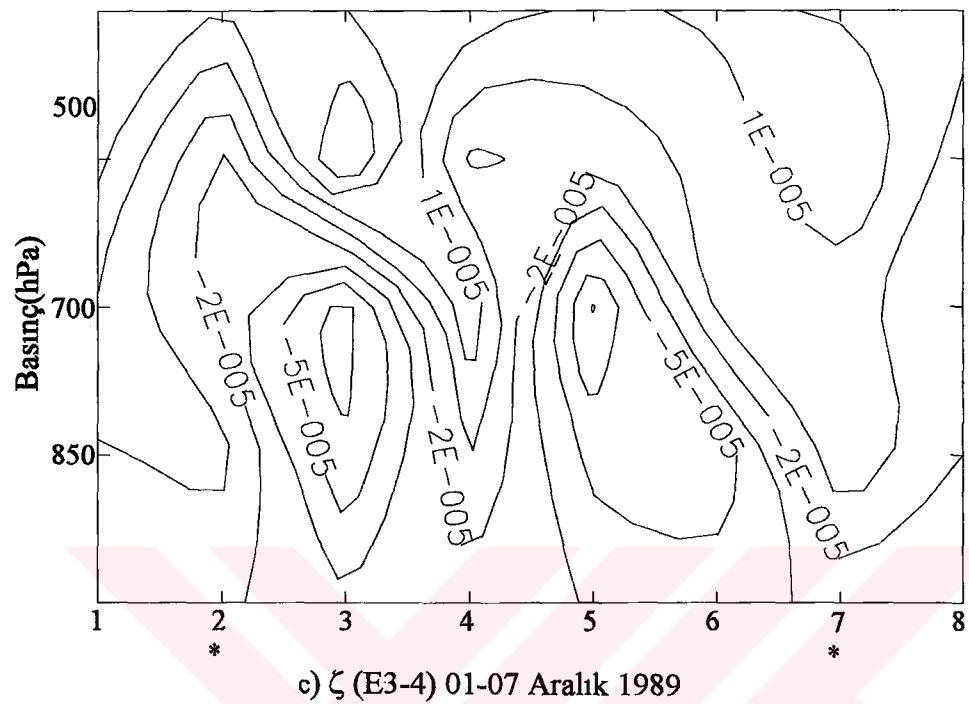


Şekil A.12 (devam)



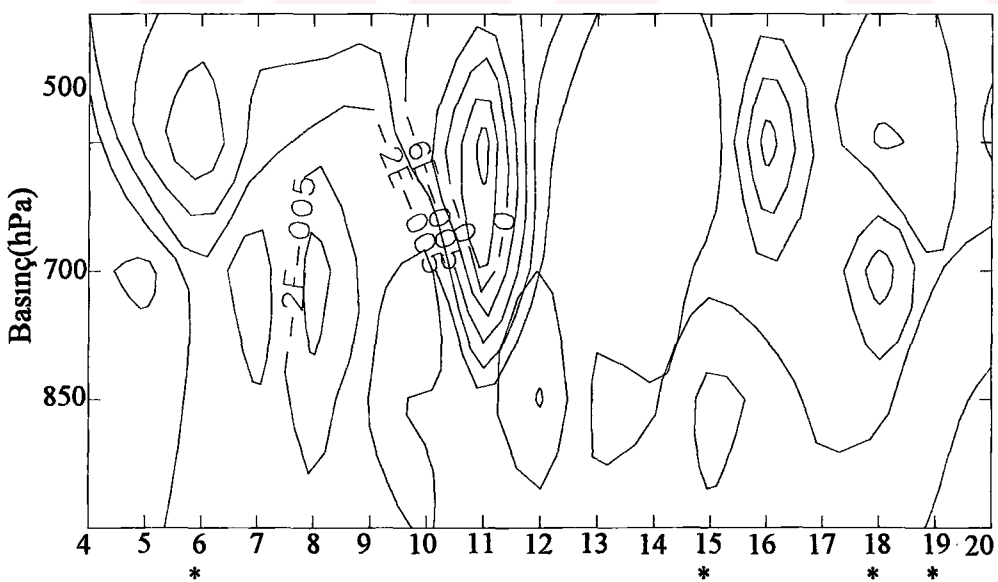
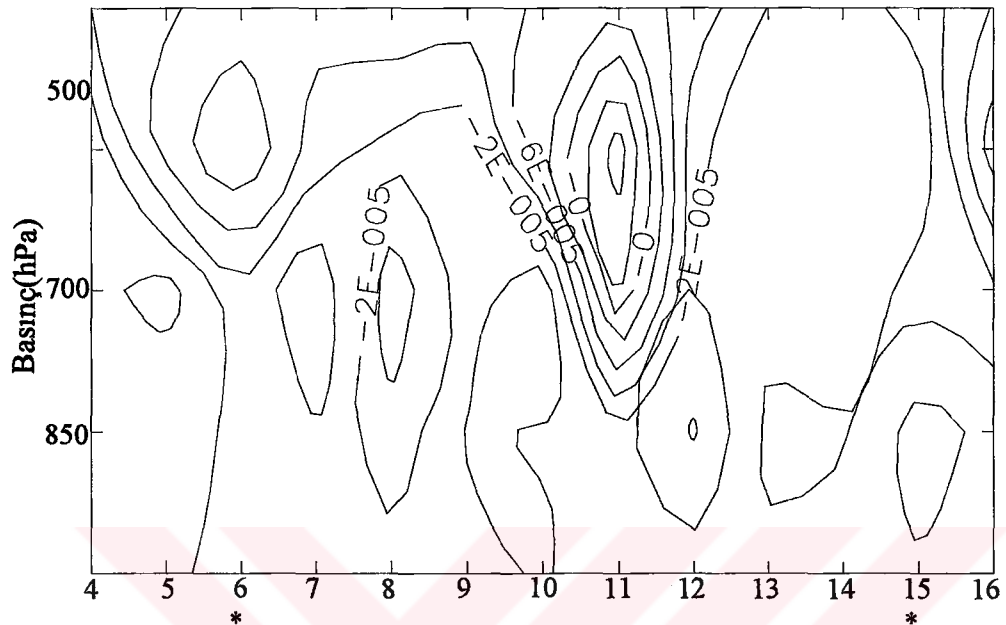
b) ζ (E2) 20-22 Kasım 1989

Şekil A.13 $\text{SO}_2 \geq 400 \mu\text{g}/\text{m}^3$ episod günlerine ait bağıl vortisitinin düşey profili.



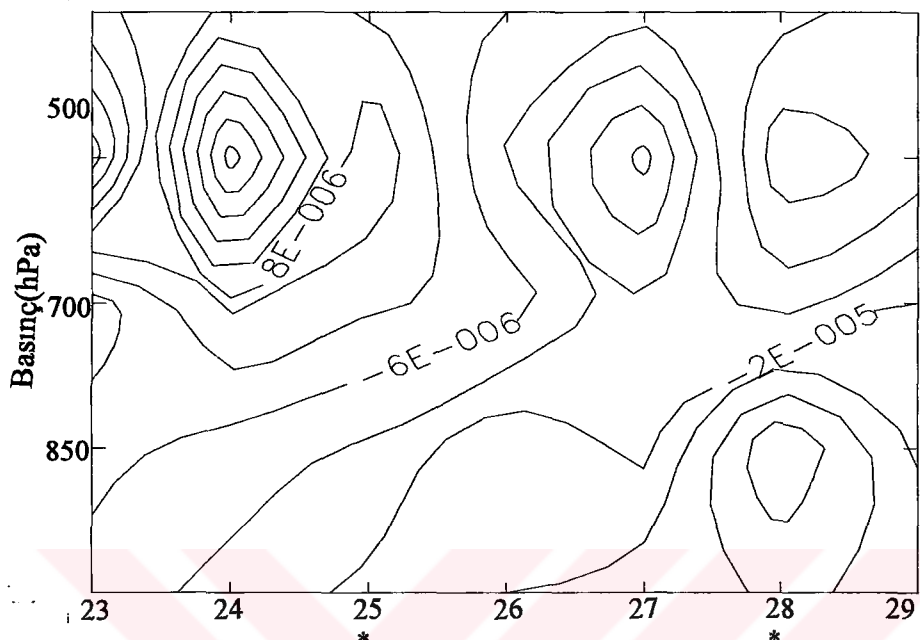
d) ζ (E5) 14-19 Aralık 1989

Şekil A.13 (devam)

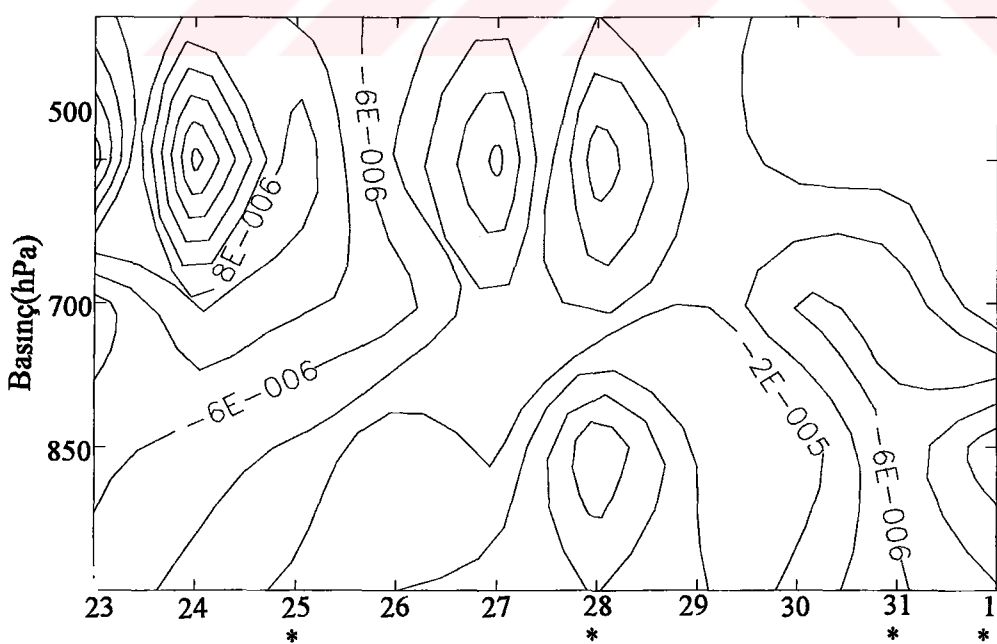


f) ζ (E6-7) 06-20 Ocak 1990

Şekil A.13 (devam)

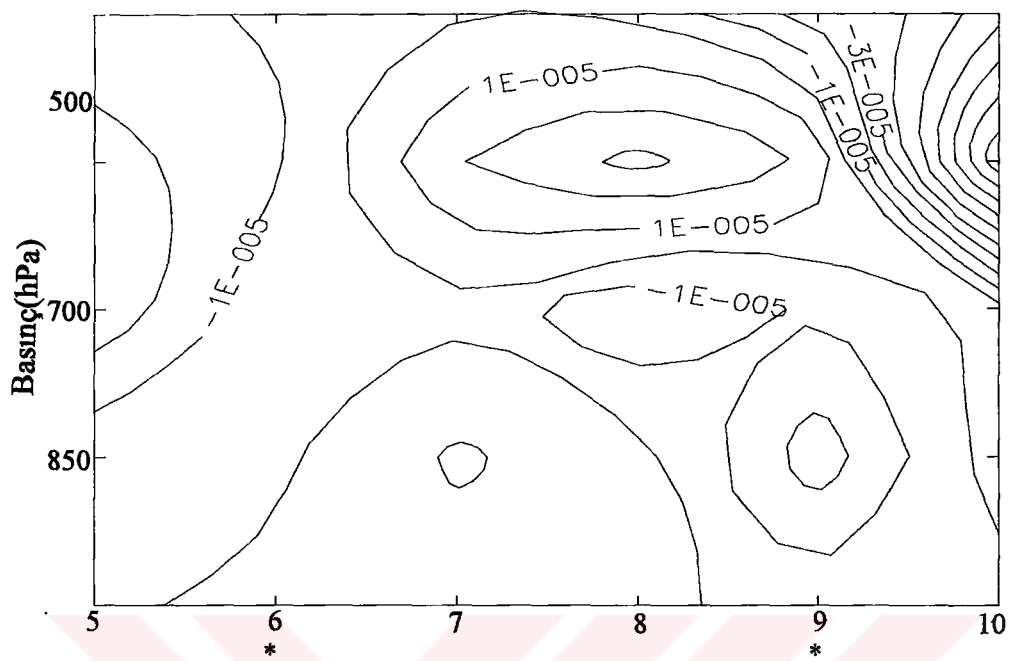


g) ζ (E8) 25-28 Ocak 1990

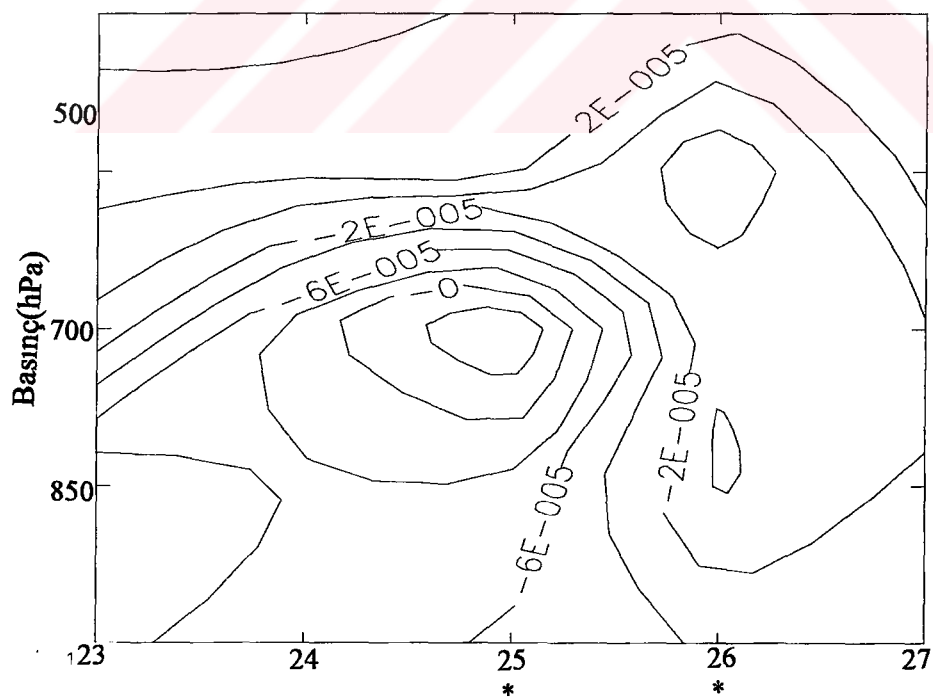


h) ζ (E8-9) 25-31 Ocak 1990

Şekil A.13 (devam)

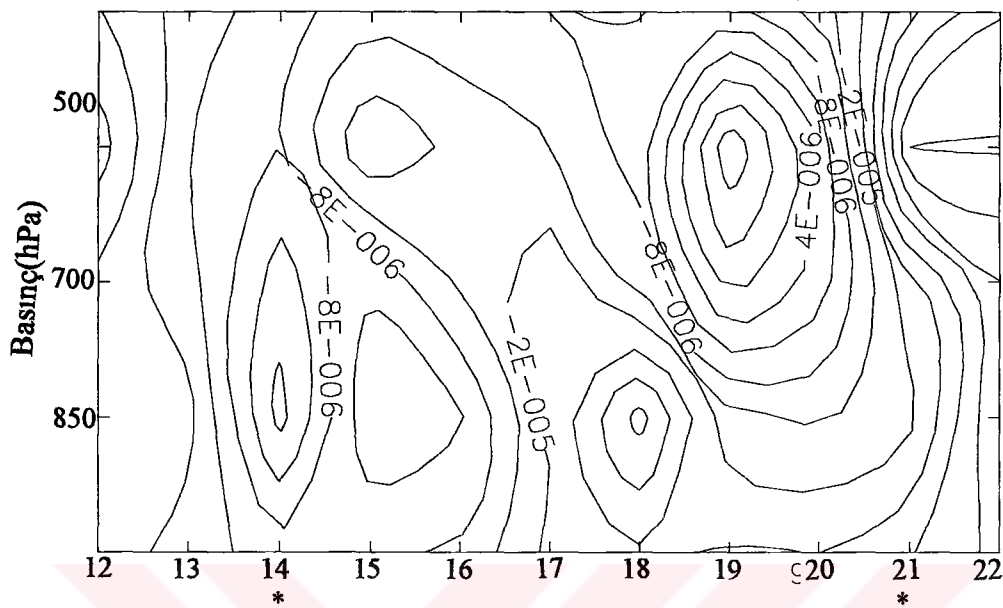


i) ζ (E10) 06-09 Şubat 1990

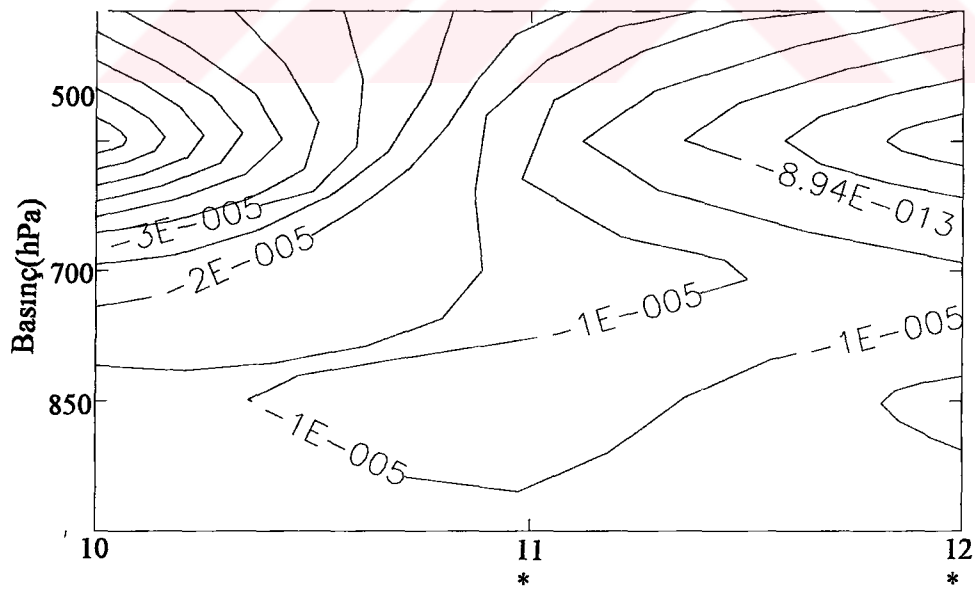


j) ζ (E11) 25-26 Şubat 1990

Şekil A.13 (devam)

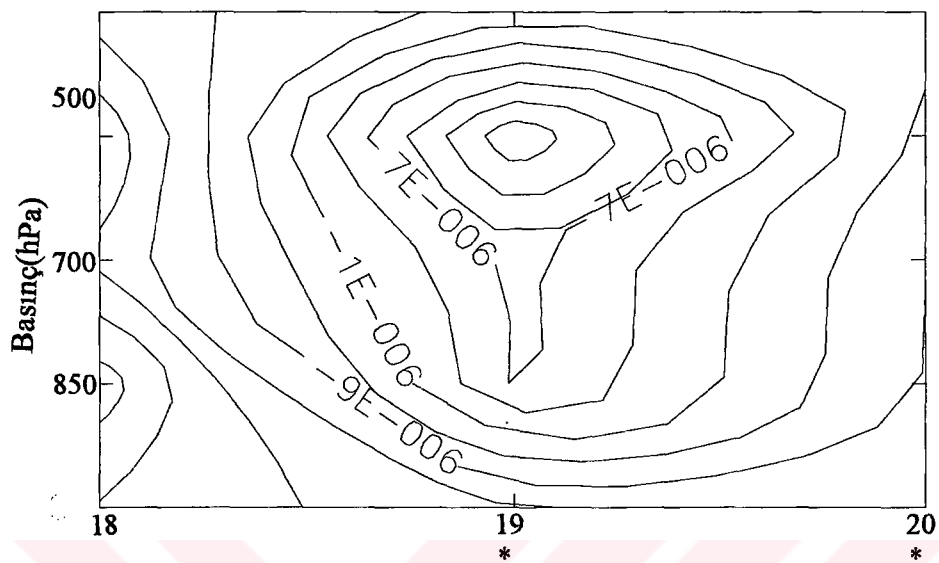


k) ζ (E13) 14-21 Kasım 1990

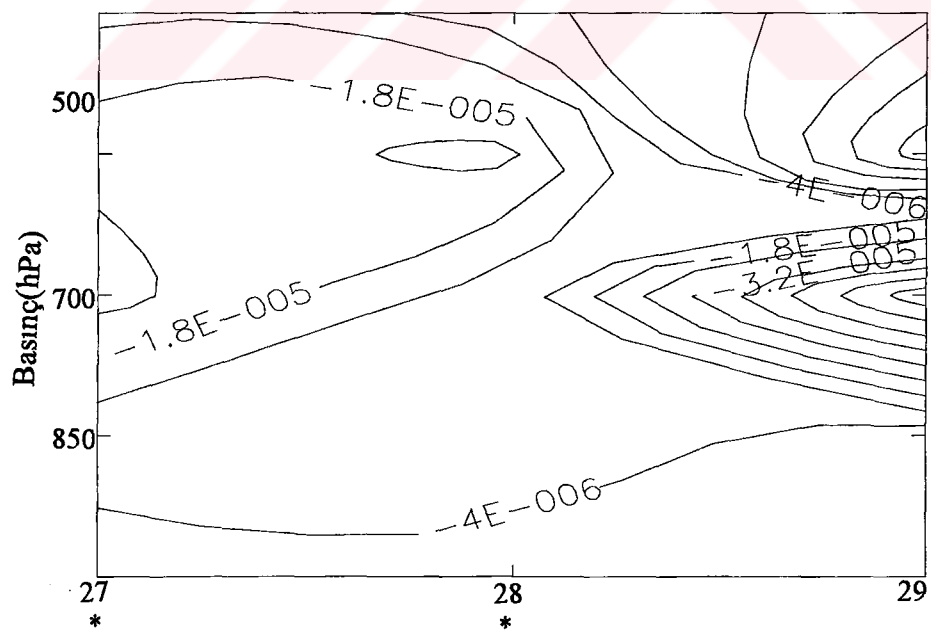


l) ζ (E14) 11-12 Aralık 1990

Şekil A.13 (devam)

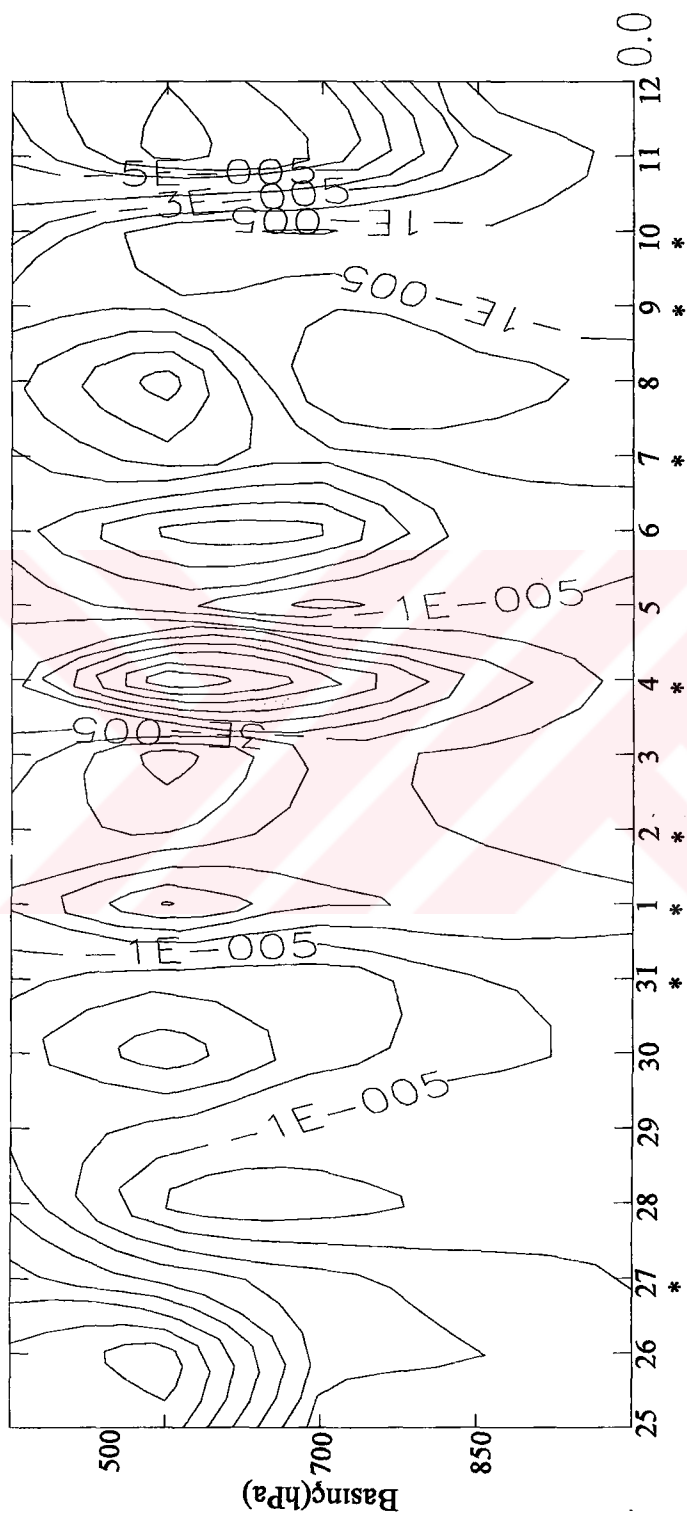


m) ζ (E15) 19-20 Aralık 1990



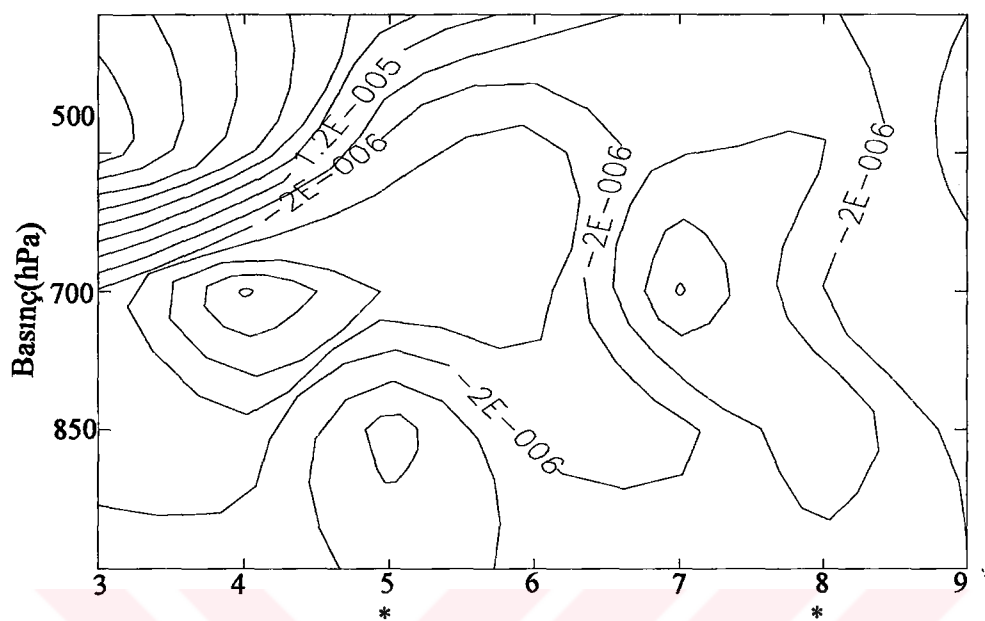
n) ζ (E20) 27-28 Ocak 1991

Şekil A.13 (devam)

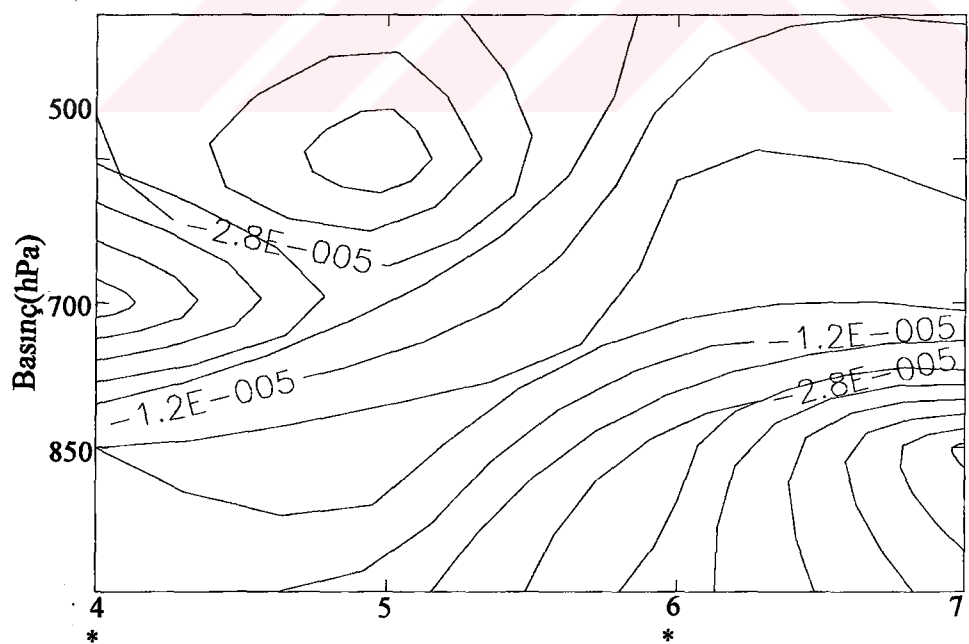


o) ζ (E16-19) 27 Aralık 1990-10 Ocak 1991

Sekil A.13 (devam)

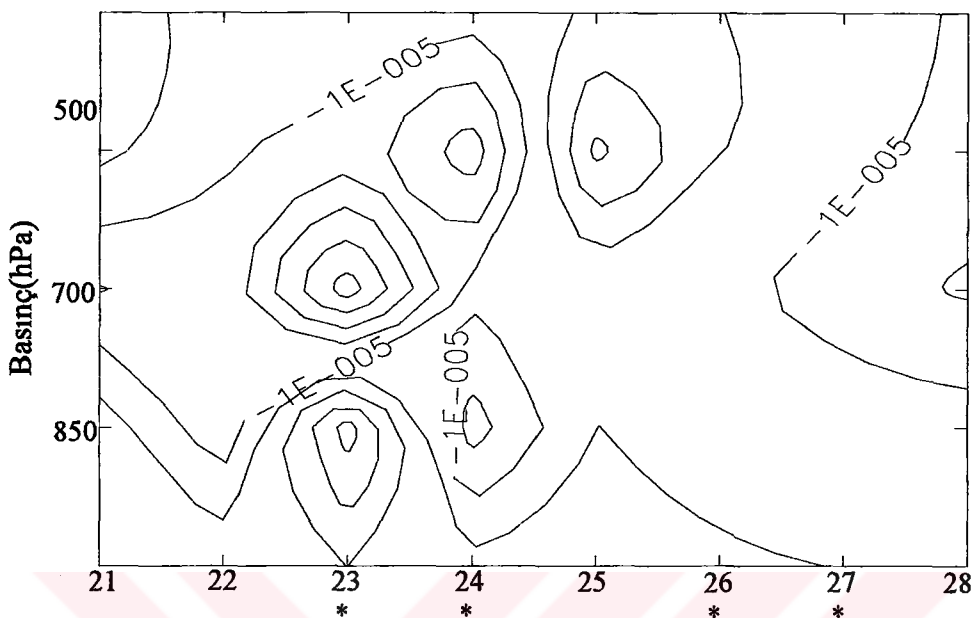


p) ζ (E21) 05-08 Şubat 1991

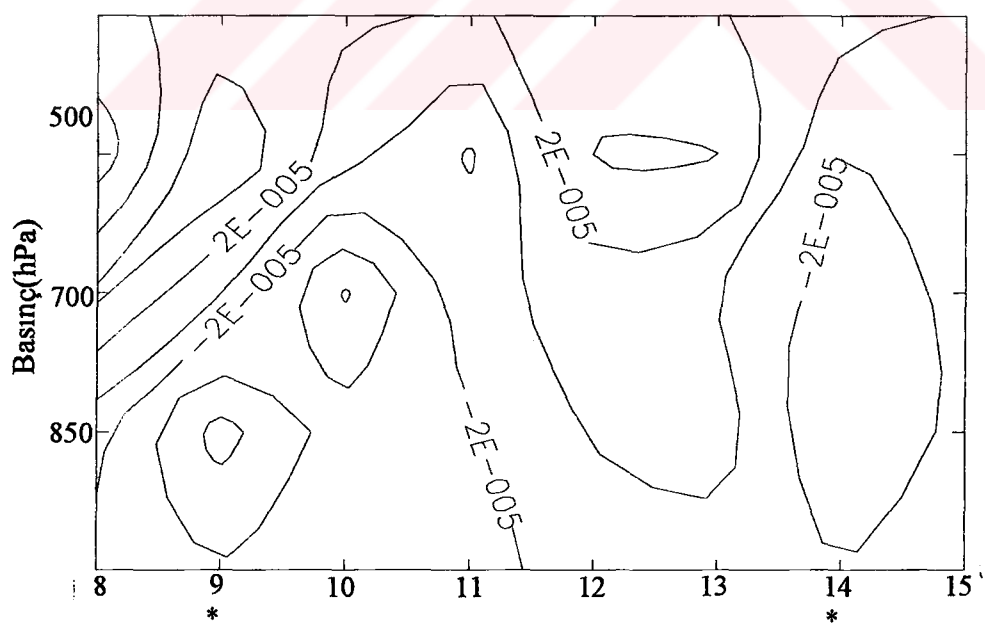


r) ζ (E22) 04-06 Ocak 1992

Şekil A.13 (devam)

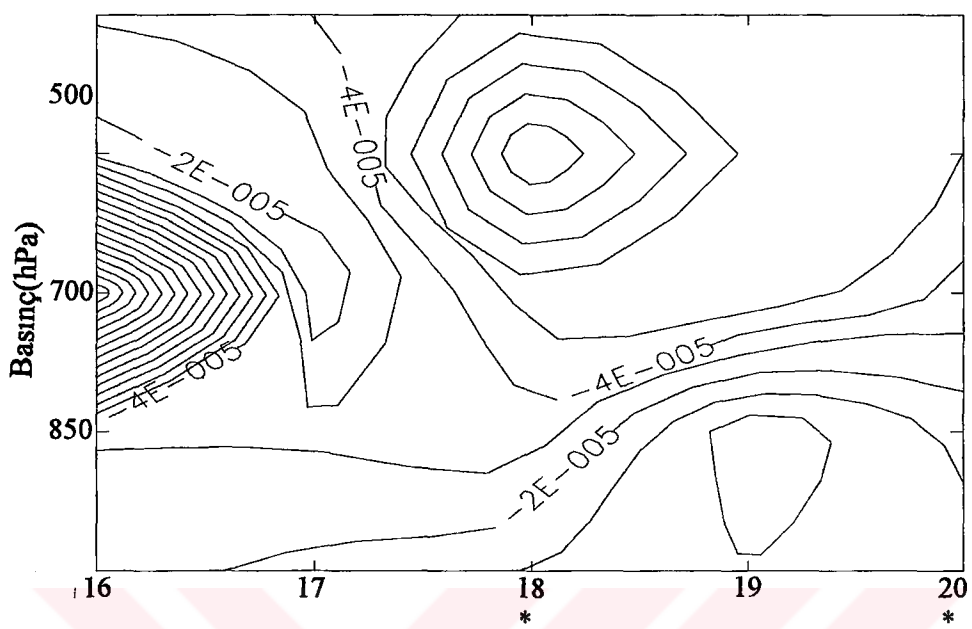


s) ζ (E23-24) 24-28 Ocak 1992



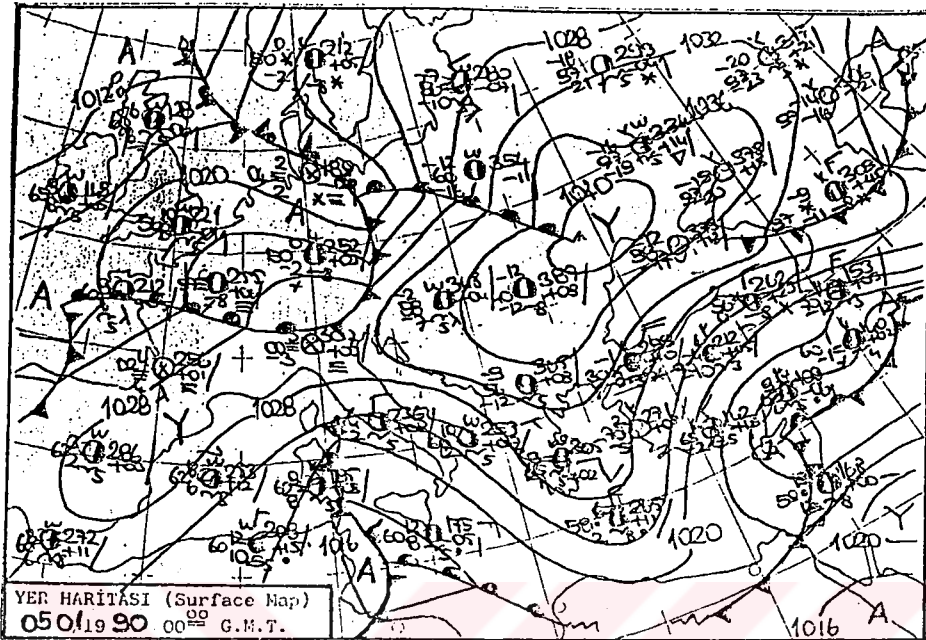
t) ζ (E25) 09-14 Şubat 1992

Şekil A.13 (devam)

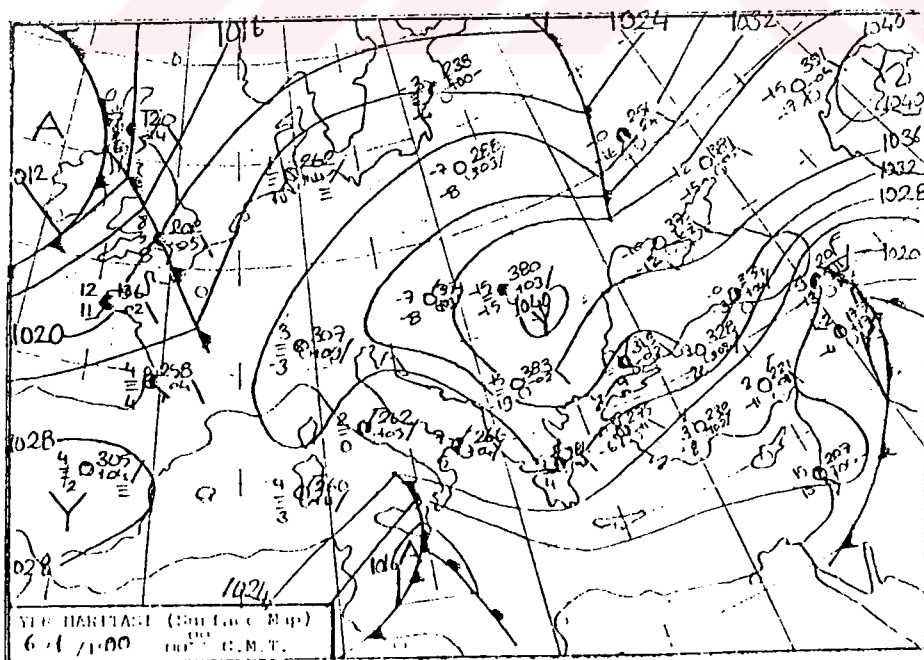


u) ζ (E26) 18-20 Ocak 1993

Şekil A.13 (devam)

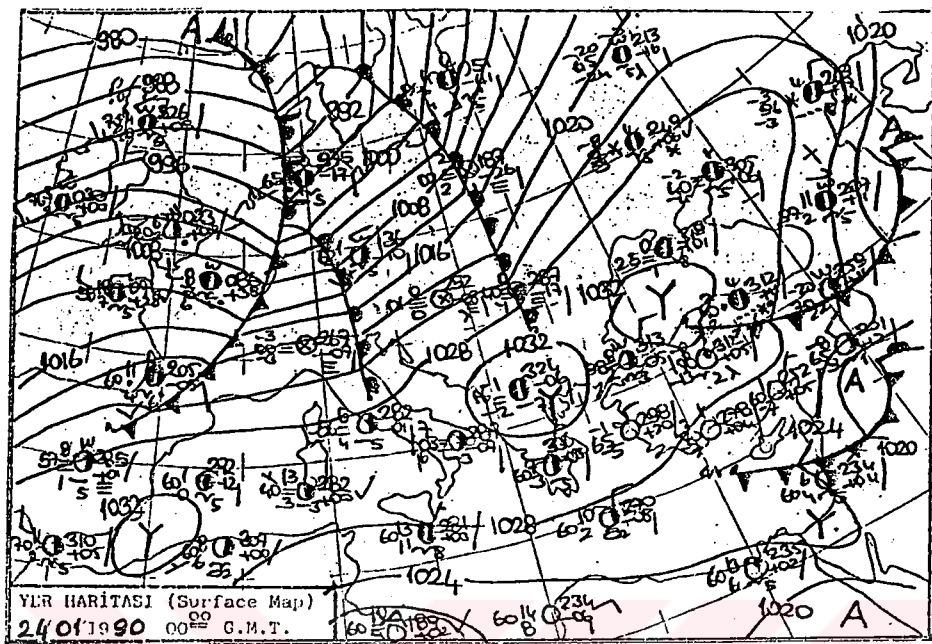


a) E6'nın bir önceki günü.

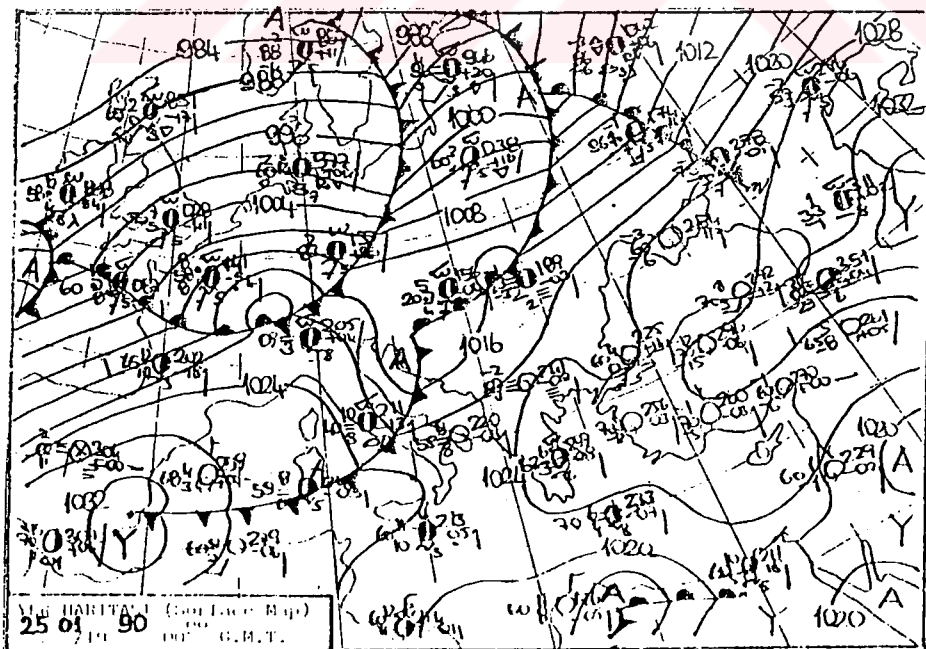


b) E6'nın birinci günü.

Şekil A.14 Episodların ($\text{SO}_2 \geq 400 \mu\text{g}/\text{m}^3$) birinci ve bir önceki gününe ait sinoptik yer haritaları

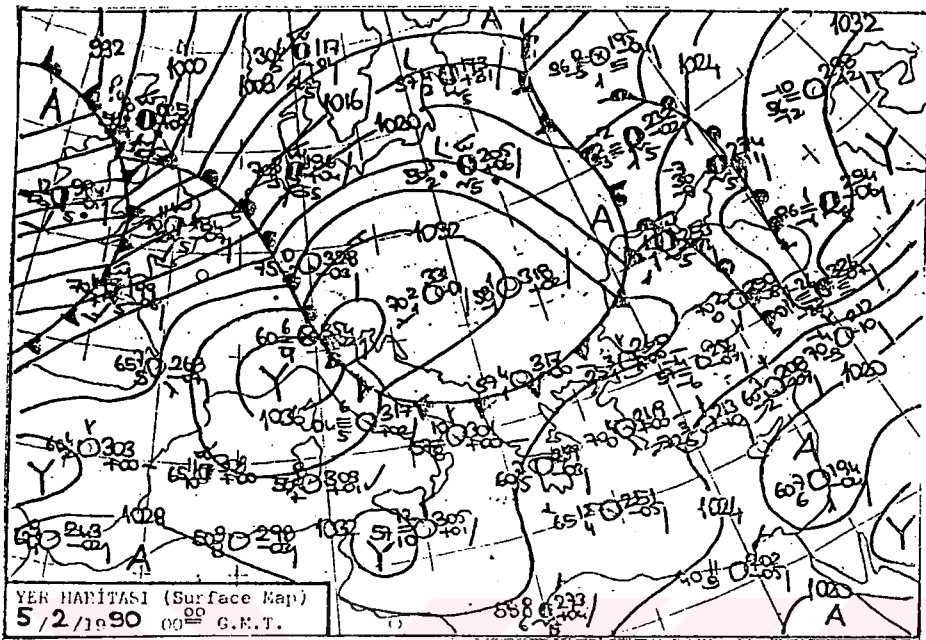


c) E8'in bir önceki günü.

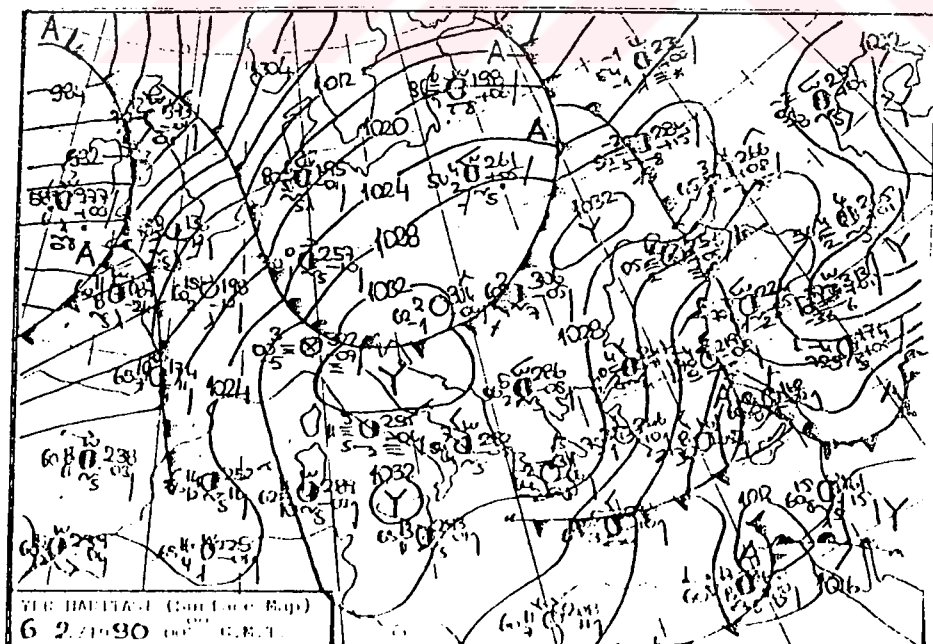


d) E8'in birinci günü.

Şekil A.14 (devam)

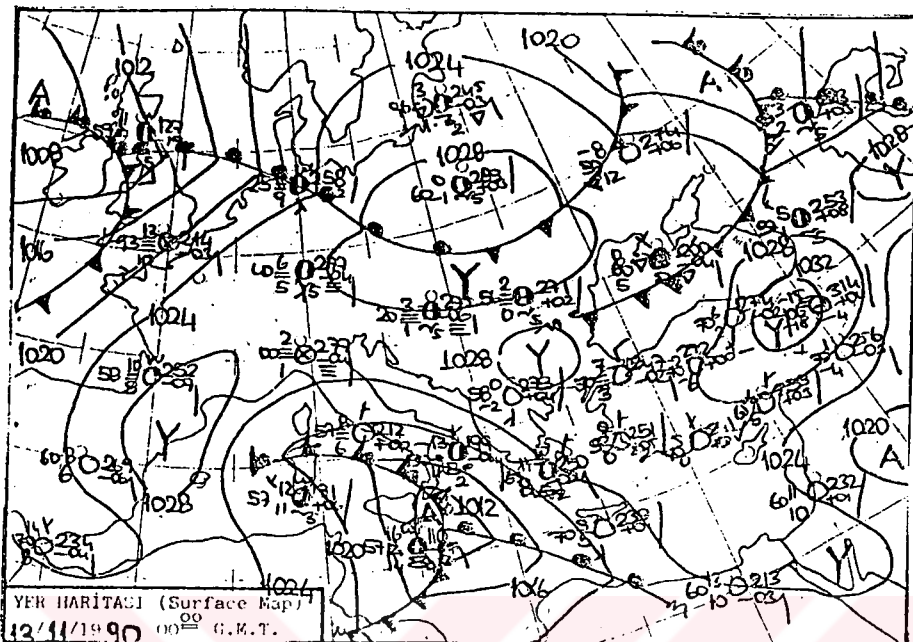


e) E10'nun bir önceki günü

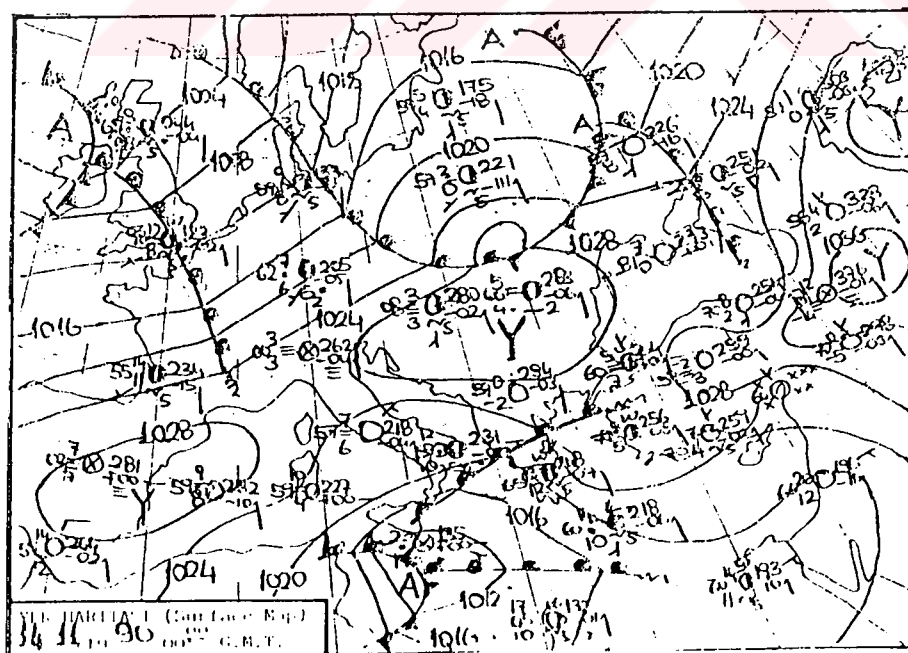


f) E10'nun birinci günü

Şekil A.14 (devam)

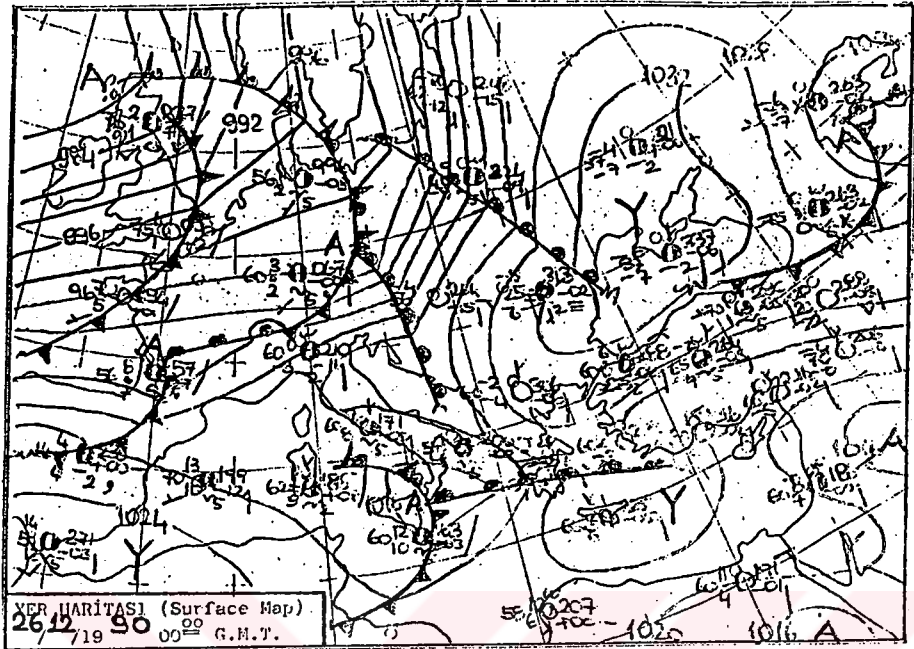


g) E13'ün bir önceki günü

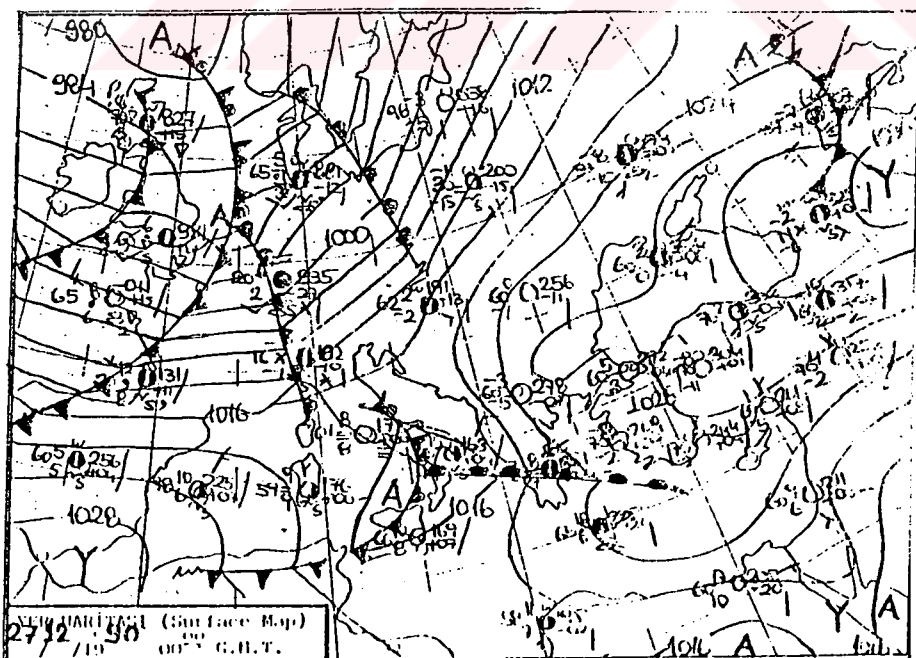


h) E13'ün birinci günü

Şekil A.14 (devam)



i) E16'nın bir önceki günü

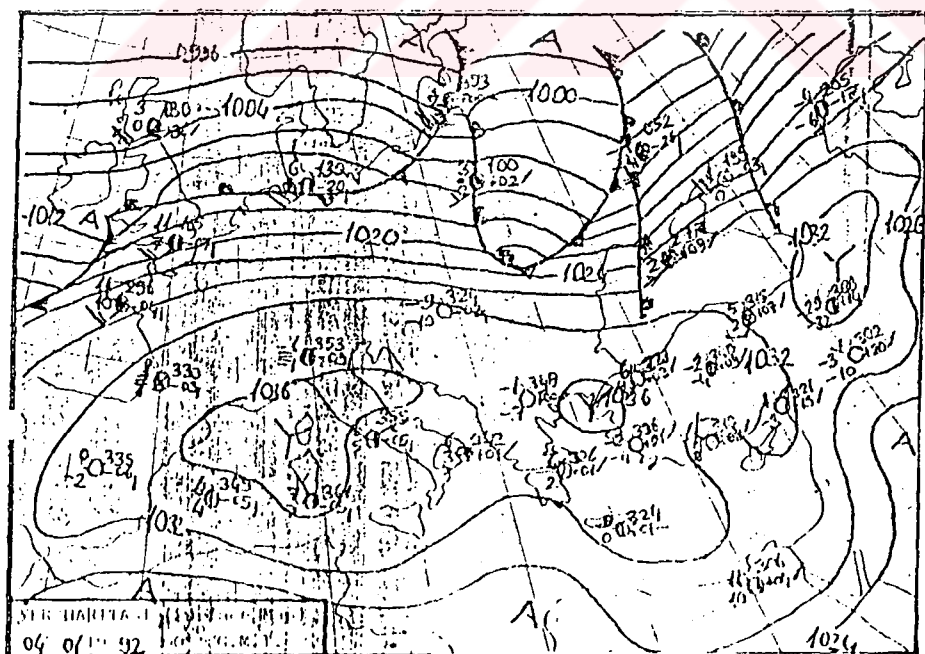


j) E16'nın birinci günü

Şekil A.14 (devam)

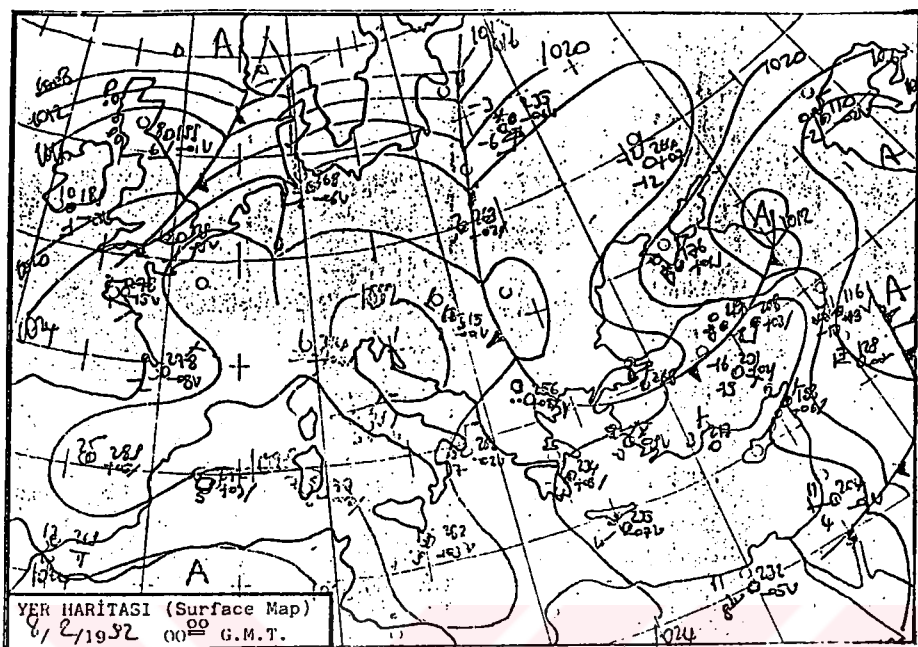


k) E22'nin bir önceki günü

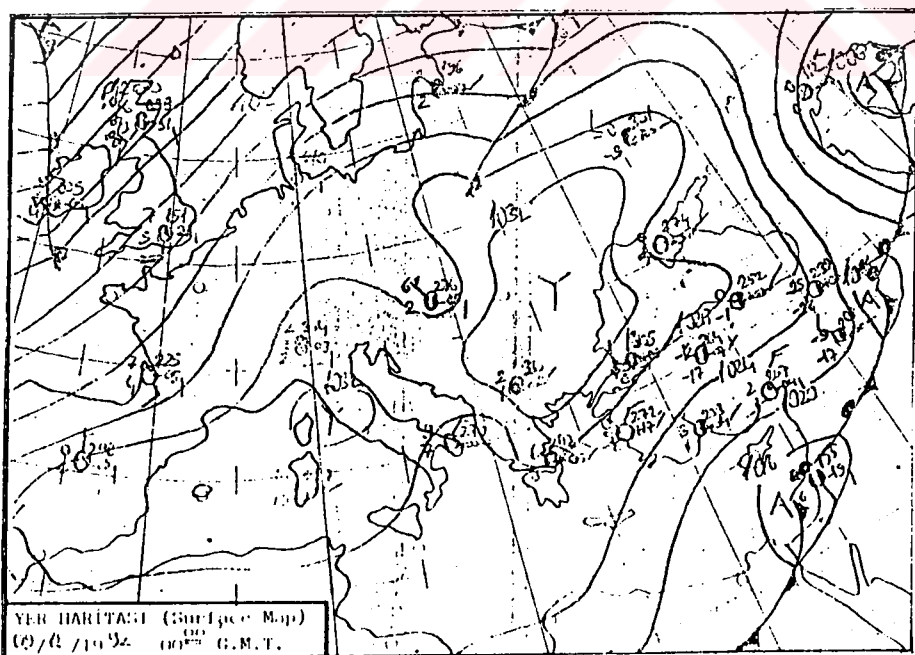


l) E22'nin birinci günü

Şekil A.14 (devam)

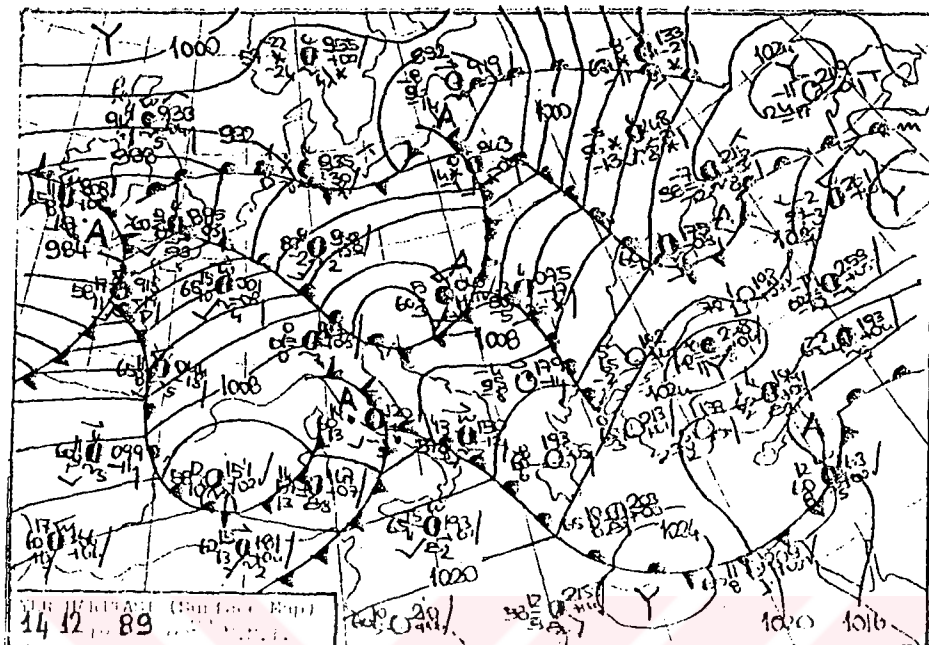


m) E25'in bir önceki günü

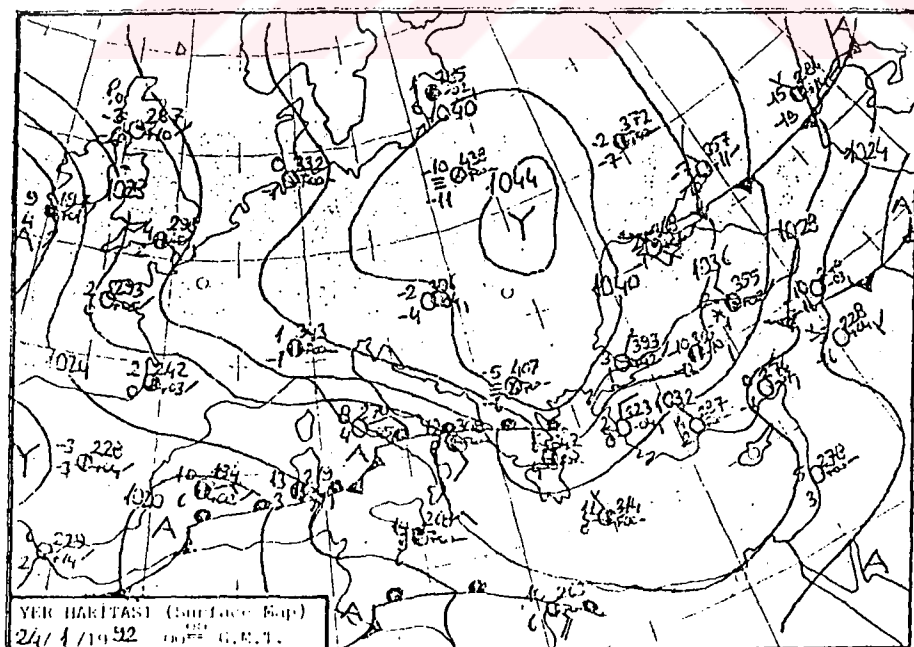


n) E25'in birinci günü

Şekil A.14 (devam)

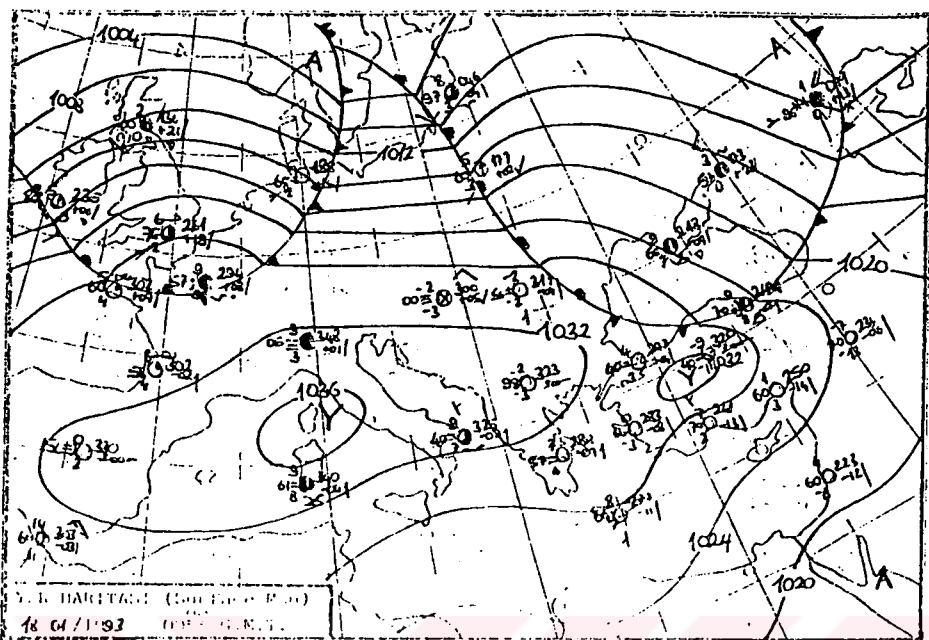


o) E5'in birinci günü



p) E23'ün birinci günü

Şekil A.14 (devam)



r) E26'nın birinci günü

Şekil A.14 (devam)

Tablo B.1 $\text{SO}_2 \geq 400 \mu\text{g/m}^3$ episod günlerindeki sabit basınç seviyelerindeki (0000 GMT) sıcaklık değerleri ($^{\circ}\text{C}$).

Episodlar		E4S01(01-05/11/1989)								E4S02 (20-22/11/1989)								E4S03 (01-02/12/1989)							
Günler	G-2	G-1	G0	G+1	G+2	G+3	G+4	E+1	G-2	G-1	G0	G+1	G+2	E+1	G-2	G-1	G0	G+1	G-2	G-1	G0	G+1	E+1		
Yer	*	*	4.8	6.4	5.6	6.0	5.6	6.0	-2.1	-1.1	-4.5	-4.1	2.0	7.0	2.4	-1.5	*	-6.3	-6.3	*	-6.3	-6.3	-3.1		
Seviyesi	850 hPa	*	*	7.4	7.0	9.0	9.0	10.4	-6.1	-6.7	-6.3	-5.1	2.0	6.0	-0.9	-6.5	*	-9.1	-9.1	*	-9.1	-9.1	-8.1		
Basincı	700 hPa	*	*	1.0	-2.5	2.4	1.2	2.8	2.2	-13.3	-15.3	-10.7	-8.1	-5.7	-4.5	-3.1	-14.5	*	-17.1	-17.1	-14.1	-14.1	-14.1		
Seviyesi	500 hPa	*	*	-19.1	-17.9	-16.1	-16.7	-15.3	-16.3	-24.1	-24.9	-23.9	-23.3	-23.7	-19.9	-17.3	-23.9	*	-28.1	-28.1	*	-28.1	-28.1	-27.3	
Episodlar		E4S04(05-07/12/1989)								E4S05(14-19/12/1989)								E4S06(06-15/01/1990)							
Günler	G-2	G-1	G0	G+1	G+2	E+1	G-2	G-1	G0	G+1	G+2	G+3	G+4	G+5	E+1	G-2	G-1	G0	G+1	G-2	G-1	G0	G+1	G-1	
Yer	-3.1	-2.9	-2.7	-4.7	-1.5	2.8	-6.1	-5.9	-6.9	-5.1	-3.3	1.6	3.8	1.0	1.2	0.4	-2.5	-10.5	-10.5	-2.5	-10.5	-10.5	-13.5	-13.5	
Seviyesi	850 hPa	-8.1	-7.1	-6.9	-5.3	-5.1	-0.7	-8.9	-11.1	-12.3	-2.3	1.0	5.2	6.6	7.0	5.8	-1.7	-7.9	-12.7	-12.7	-7.9	-12.7	-12.7	-7.3	-7.3
Basincı	700 hPa	-14.1	-9.9	-5.1	-8.3	-9.7	-7.3	-9.5	-8.1	-6.9	-8.1	-0.9	-4.3	1.6	3.8	1.6	-12.1	-17.1	-13.9	-13.9	-17.1	-17.1	-13.1	-13.1	
Seviyesi	500 hPa	-27.3	-20.5	-21.5	-23.1	-23.1	-21.9	-25.7	-26.7	-24.3	-21.9	-20.1	-16.9	-14.5	-18.1	-14.5	-24.9	-33.9	-29.3	-29.3	-29.3	-29.3	-29.9	-29.9	
Episodlar		E4S06(06-15/01/1990) (devam)								E4S07(18-19/01/1990)								E4S08(25-28/01/1990)							
Günler	G+2	G+3	G+4	G+5	G+6	G+7	G+8	G+9	E+1	G-2	G-1	G0	G+1	E+1	G-2	G-1	G0	G+1	G+2	G+3	E+1	G+2	G+3	E+1	
Yer	-12.7	-12.5	-9.3	-8.9	-12.7	-8.3	-9.7	-8.3	-5.9	-5.9	-6.5	-5.1	-5.3	0.6	-1.9	-3.1	-6.7	-7.5	-6.9	-6.9	-5.5	-5.5	-4.1	-4.1	
Seviyesi	850 hPa	-8.3	-9.9	-8.7	-8.7	-2.5	-1.9	-1.1	-4.5	-5.3	-5.3	-8.9	*	-0.5	-0.7	-5.1	-7.1	-6.3	-1.9	-0.9	-3.1	-3.1	-2.5	-2.5	
Basincı	700 hPa	-11.9	-12.7	-11.3	-8.7	-5.3	-5.1	-4.9	-7.5	-7.5	-7.5	-5.3	*	-2.7	-10.7	-16.1	-13.1	-5.3	-5.7	-3.3	-8.1	-8.1	-4.9	-4.9	
Seviyesi	500 hPa	-26.1	-24.7	-28.5	-23.5	-21.9	-22.3	-22.9	-23.7	-21.7	-21.7	-20.7	*	-22.1	-28.5	-31.5	-24.9	-22.7	-24.7	-23.1	-23.7	-23.1	-23.7	-22.7	
Episodlar		E4S09(30-31/01/1990)								E4S10(06-09/02/1990)								E4S11(25-26/02/1990)							
Günler	G-2	G-1	G0	G+1	E+1	G-2	G-1	G0	G+1	G+2	G+3	E+1	G-2	G-1	G0	G+1	E+1	G-2	G-1	G0	G+1	E+1	G-2	G-1	
Yer	-5.5	-4.1	-3.3	1.0	-0.7	-0.3	-2.9	-2.9	0.0	-0.9	-2.5	-1.9	-1.1	0.4	1.2	1.8	5.8	7.6	0.0	2.0	6.8	0.0	2.0	6.8	
Seviyesi	850 hPa	-3.1	-2.5	0.2	3.0	-4.5	-5.1	-3.1	0.2	0.6	-4.9	-3.7	-0.9	-1.1	4.0	4.8	3.2	5.0	-2.3	5.0	2.6	2.6	2.6		
Basincı	700 hPa	-8.1	-4.9	-2.7	-3.5	-7.5	-3.3	-5.1	-15.7	-8.9	-8.7	-6.7	-5.9	-8.3	-4.5	-2.7	-2.1	-8.5	-4.9	-4.7	-5.1	-5.1	-6.1		
Seviyesi	500 hPa	-23.7	-22.7	-21.5	-24.1	-25.3	-22.1	-20.9	-31.3	-26.5	-25.3	-24.9	-24.1	-20.7	-22.9	-18.9	-23.9	-21.5	-21.9	-22.1	-22.3	-19.9	-21.1		

Tabello B.1 (devam)

		E4S13(14-21/11/1990)										E4S14(11-12/12/1990)										E4S15(19-20/12/1990)										
		G-2	G-1	G0	G+1	G+2	G+3	G+4	G+5	G+6	G+7	E+1	G-2	G-1	G0	G+1	E+1	G-2	G-1	G0	G+1	E+1	G-2	G-1	G0	G+1	E+1					
Günler		3.7	-0.5	0.4	1.6	2.0	3.0	4.0	7.0	4.8	8.0	6.4	5.6	0.6	-0.5	0.4	2.6	3.2	-0.5	0.6	0.0	0.0	0.0	0.0	0.0	0.0	0.0	0.0	0.0			
Yer		-4.1	-1.9	-5.5	-5.1	-2.9	1.0	-0.5	-1.9	1.0	-0.5	-1.9	0.0	2.8	0.0	2.8	-0.5	-0.9	-1.1	1.0	3.0											
Seviyesi		850 hPa	-2.7	-2.9	-0.3	2.4	6.0	9.8	9.6	5.8	8.8	7.0	8.8	1.2	0.2	0.4	4.0	6.0	-0.5	-0.3	1.8	1.0	-2.5									
Seviyeli		700 hPa	-12.1	-5.9	-3.9	-2.3	-0.3	1.0	1.2	-0.7	-2.7	-3.1	1.0	-7.9	-4.9	-0.7	-1.5	-0.9	-10.1	-7.1	-5.9	-6.5	-8.9									
Basmagi		500 hPa	-27.1	-24.1	-22.1	-19.5	-17.9	-17.7	-17.5	-20.1	-18.3	-17.1	-15.3	-27.9	-19.7	-16.1	-15.7	-18.5	-28.5	-24.3	-24.1	-24.3	-26.1									
		E4S16(27-31/12/1990)										E4S17(01-02/01/1991)										E4S18(04-07/01/1991)										
		G-2	G-1	G0	G+1	G+2	G+3	G+4	E+1	G-2	G-1	G0	G+1	E+1	G-2	G-1	G0	G+1	G+2	G+3	E+1	G-2	G-1	G0	G+1	E+1						
Günler		3.0	-3.0	-2.4	4.6	4.0	-2.3	-3.7	-5.5	-5.9	-2.7	-6.5	-9.1	-11.5	-7.7	-9.9	-11.3	-7.5														
Yer		-3.6	-6.3	-8.9	-1.1	0.0	2.0	0.0	1.2	2.0	0.0	1.2	1.4	1.2	1.4	1.2	-1.1	3.0	3.8	3.6	3.6	0.8										
Seviyesi		850 hPa	-14.1	-11.1	-5.5	-6.1	-5.3	-6.9	-5.5	-1.7	-6.9	-5.5	-1.7	-2.5	-5.1	-2.5	-5.1	-3.5	-2.1	-1.7	-5.9	-8.1										
Seviyeli		700 hPa	-31.1	-26.5	-23.9	-24.3	-23.9	-22.9	-22.1	-21.1	-22.1	-21.1	-21.1	-21.5	-21.7	-21.5	-21.5	-21.7	-21.5	-21.5	-17.9	-19.3	-23.9									
Basmagi		500 hPa	-23.9	-25.7	-22.9	-24.7	-25.1	-24.7	-26.9	-30.9	-20.9	-24.3	-23.9	-30.9	-30.9	-23.9	-30.9	-31.9	-31.1	-27.9	-29.7	-29.1	-25.9									
		E4S19(09-10/01/1991)										E4S20(27-28/01/1991)										E4S21(05-08/02/1991)										
		G-2	G-1	G0	G+1	E+1	G-2	G-1	G0	G+1	E+1	G-2	G-1	G0	G+1	G+2	G+3	E+1	G-2	G-1	G0	G+1	E+1									
Günler		3.0	3.0	2.4	4.6	4.0	-2.3	-3.7	-5.5	-5.9	-2.7	-6.5	-9.1	-11.5	-7.7	-9.9	-11.3	-7.5														
Yer		-3.6	0.8	3.0	3.2	2.0	-5.9	-7.9	-7.5	-2.9	-1.9	-11.3	-11.5	-10.1	-7.3	-5.1	-6.9	-9.3														
Seviyesi		850 hPa	-5.9	-8.1	-5.3	-7.9	-7.9	-16.9	-20.9	-5.3	-7.1	-6.9	-16.9	-17.9	-15.1	-9.1	-7.9	-10.1	-10.9													
Seviyeli		700 hPa	-23.9	-25.7	-22.9	-24.7	-25.1	-24.7	-26.9	-30.9	-20.9	-24.3	-23.9	-30.9	-30.9	-23.9	-30.9	-31.9	-31.1	-27.9	-29.7	-29.1	-25.9									
Basmagi		500 hPa	-23.9	-25.7	-22.9	-24.7	-25.1	-24.7	-26.9	-30.9	-20.9	-24.3	-23.9	-30.9	-30.9	-23.9	-30.9	-31.9	-31.1	-27.9	-29.7	-29.1	-25.9									
		E4S22(04-06/01/1992)										E4S23(24-25/01/1992)										E4S24(27-28/01/1992)										
		G-2	G-1	G0	G+1	G+2	E+1	G-2	G-1	G0	G+1	E+1	G-2	G-1	G0	G+1	G+2	G+3	E+1	G-2	G-1	G0	G+1	E+1								
Günler		-8.3	-6.1	-2.7	-8.5	-6.5	-1.3	-7.5	-10.1	-10.3	-9.1	-6.7	-9.1	-6.7	-8.3	-9.9	-8.5															
Yer		-9.3	-10.3	-2.1	0.2	-0.1	-3.7	-6.9	-4.3	-0.9	-8.1	-9.1	-8.1	-9.1	-9.3	-6.1	-6.7															
Seviyesi		850 hPa	-19.9	-12.5	-3.5	-0.3	-7.7	-11.7	-12.3	-9.1	-7.1	-8.3	-10.1	-8.3	-10.1	-6.9	-5.1	-7.5														
Seviyeli		700 hPa	-33.5	-24.9	-19.1	-21.1	-21.1	-26.9	-28.7	-27.3	-26.1	-25.9	-24.3	-25.3	-24.3	-25.3	-23.9	-23.9	-24.9	-24.9	-25.1											
Basmagi		500 hPa	-23.9	-25.7	-22.9	-24.7	-25.1	-24.7	-26.9	-30.9	-20.9	-24.3	-23.9	-30.9	-30.9	-23.9	-30.9	-31.9	-31.1	-27.9	-29.7	-29.1	-25.9									

Tablo B.1 (devam)

		E4S25 (09-14/02/1992)						E4S26 (18-20/01/1993)								
		G-2	G-1	G0	G+1	G+2	G+3	G+4	G+5	E+1	G-2	G-1	G0	G+1	G+2	E+1
Günler		-5.3	-8.9	-11.7	-9.5	-12.3	-9.7	-3.9	-1.7	-1.5	-7.1	-9.3	-9.1	-1.3	-4.1	-5.9
Seviyesi	Yer	-8.5	-11.5	-10.5	-8.7	-6.3	-5.7	-3.3	-0.9	-0.5	-6.7	-2.7	-1.5	-0.3	-1.7	-2.7
Basim	850 hPa	-17.3	-20.9	-21.3	-13.1	-5.9	-10.7	-11.3	-5.1	-5.1	-13.9	-5.3	-0.7	-2.5	-3.5	-7.3
Basim	700 hPa	-32.9	-28.3	-40.9	-31.5	-26.3	-27.7	-26.5	-24.5	-22.1	-23.3	-21.5	-18.9	-21.3	-20.9	-22.5

Tablo B.2 Episod günlerindeki ($\text{SO}_2 > 400 \text{ mg/m}^3$), SO_2 , vortisiti, termal rüzgar, adveksiyon, enverzyon ve basınç gradyanı değerleri

Sira No.	Ep. No.	Episod tarihi Yıl/Ay	Gün tg/m³	Vortisiti			Enverzyon			Büyük gradyanı			
				1200 GMT 0000 GMT	850 hPa 0000 GMT	700 hPa 0000 GMT	500 hPa 0000 GMT	Termal Rüzgar (+/-)	Adv. Rüzgar (+/-)	0000 GMT Tab. Yük. Kalinlik	0000 GMT Tab. Yük. Kalinlik	1200 GMT Tab. Yük. Kalinlik	
1	E1	1989/11/1	353	4,67E-06	7,75E-06	1,24E-05	0,1624 (-)	894	426	4		B	
	2	355	2,67E-05	2,55E-06	-3,60E-06	-1,80E-06	0,1802 (+)	894	456	2,2		B	
	3	454	1,59E-05	-2,50E-05	-9,40E-07	2,77E-06	0,1624 (+)	894	226	3,8	2000	120	
4	392	-4,00E-06	-4,50E-06	-1,40E-05	-6,00E-05	0,1624 (+)	894	206	4	2400	150	1 B	
	351	-8,60E-06	-4,30E-06	3,38E-05	-2,30E-05	0,274 (+)	894	426	4,6	2330	270	1,4 A	
6	E2	20/355	-3,20E-07	2,27E-06	1,90E-05	8,85E-06	0,5443 (+)	894	386	0,6	2050	200	
	7	348	-2,80E-05	1,02E-05	-1,00E-05	9,09E-06	0,045 (+)	894	406	0,6	1546	114	
8	459	-2,80E-05	-3,40E-05	-1,40E-05	-1,30E-05	0,5272 (-)	1050	150	1,6			B	
	12	1/286	1,20E-05	-6,00E-06	8,38E-06	2,80E-05	0,5873 *				2580	120	
10	2	294	-1,40E-05	-7,50E-07	-2,30E-05	-2,50E-05	0,3431 *	2800	243	0,8	2660	340	
	5	377	-5,00E-06	-5,00E-05	-8,10E-05	-1,50E-05	0,3022 (+)	1610	560	7,3	1510	390	
11	E4	6/414	5,92E-06	-6,10E-05	-3,50E-06	6,13E-07	0,3849 (+)	1200	100	1,2	2730	265	
	12	387	-2,70E-05	6,36E-06	-3,70E-07	2,48E-05	0,6891 (+)	2250	130	2,2	1880	70	
13	14	277	-2,60E-06	-3,90E-05	-3,50E-07	2,35E-05	0,1424 (+)	1550	350	11,2	1330	410	
	15	392	1,44E-05	-1,20E-05	-4,50E-06	7,52E-07	0,2252 (+)	1160	340	6,6	1250	278	
16	473	-5,70E-07	-2,10E-05	-1,70E-05	1,07E-05	0,2849 (+)	1000	600	6,3	1300	100		
	17	506	-1,10E-05	-6,80E-07	5,33E-06	2,16E-05	0,0901 (+)	890	290	2,4	970	220	
18	424	-1,70E-05	-2,60E-06	1,50E-05	1,85E-05	0,8606 (-)	890	290	2,4	1900	500		
	19	336	-2,40E-05	2,12E-07	-6,80E-06	-3,00E-05	0,2627 (-)	890	310	4,8	1100	320	
20	E6	1990/1/6	355	2,55E-05	-1,10E-06	-1,40E-05	-7,90E-05	0,4638 (-)	1490	360	1,6	1480	420
	21	7/531	-1,60E-06	1,63E-05	-3,00E-05	0,1911 (+)	1120	460	7,6	1550	250	5,6 A	
22	8	646	-2,90E-05	-3,40E-05	-5,20E-05	-1,40E-05	0,7551 (-)	890	990	7	1310	380	
	9	586	-4,00E-05	1,16E-06	-1,10E-05	-7,90E-06	0,274 (+)	890	240	4,8	2060	150	
24	382	-4,10E-05	-7,40E-07	1,43E-05	-7,50E-05	0,5644 (+)	1050	850	3,4	1210	170	2,2 B	
	11	548	-5,00E-05	-1,40E-05	-0,00012	-0,00015	0,5096 (-)	1200	300	2,4	1370	520	8,2 A
26	12	630	-1,20E-05	-4,20E-05	-2,00E-05	-2,60E-05	0,3248 (+)	890	910	12,9	890	250	0,8 A
	13	541	-7,30E-06	4,02E-06	-7,00E-06	-2,30E-07	0,3279 (-)	1130	570	10,3	890	720	7,3 A

Tablo B.2 (devam)

Sira No.	Ep. No.	Episod tarihi Yıl / Ay / Gün	SO ₂ ug/m ³	Vortisiti			Enverzyon			Basınç Gradyanı				
				850 hPa	700 hPa	500 hPa	0000 GMT	0000 GMT	0000 GMT					
28	1980	1 / 14	659	-8,90E-06	2,05E-06	-1,50E-05	-1,30E-05	0,3431 (+)	930	9,2	1070	930	4,9 A	
29		15 / 368	-2,30E-05	-2,80E-05	-7,38E-06	-1,50E-05	0,2252 (-)	-1,1410	770	8	1150	260	3,8 C	
30	E7	18 / 463	-2,50E-06	5,50E-06	5,25E-05	-2,30E-05	0,1857 *				1490	310	2,1 B	
31		19 / 383	-3,90E-05	-1,70E-05	1,78E-06	-1,60E-05	0,1424 *	890	1060	5,3	1180	100	1,1 C	
32	E8	25 / 294	-1,60E-05		2,46E-06	1,43E-05	0,3185 (+)	1410	650	6,6	1450	500	6,1 B	
33		26 / 353	-1,50E-05	-2,60E-05	-2,20E-05	-1,40E-05	0,6891 (+)	1060	700	8,1	1320	140	4,3 C	
34		27 / 381	1,47E-05	-1,80E-05	-1,90E-05	-3,60E-05	0,4505 (+)	890	350	5,2	1520	290	2,2 C	
35		28 / 442	-6,10E-06	-4,80E-05	-9,90E-06	5,54E-06	0,0901 (+)	890	120	0,6	2040	200	1,2 B	
36	E9	30 / 291	-1,30E-05	-2,20E-05	-5,00E-06	-2,30E-05	0,1424 (+)	1190	510	5,9	1210	390	2,2 C	
37		31 / 355	-9,00E-06	-4,70E-06	-7,60E-06	-2,40E-05	0,2426 (+)	890	550	2,2	1500	200	1 B	
38	E10	2 / 6	398	1,79E-06	-1,90E-06	-3,60E-06	-1,10E-05	0,1857 (+)	2985	105	1	3080	220	0,8 B
39		7 / 325	-3,60E-06	1,14E-05	-3,10E-06	1,94E-05	0,2297 (+)	1350	154	0,6	2020	180	0,8 C	
40		8 / 476	-1,20E-05	3,02E-06	-1,80E-05	3,28E-05	0,2014 (+)	1330	192	1,3	1200	140	0,5 C	
41		9 / 484	2,92E-06	-2,50E-05	-8,30E-06	1,75E-05	0,3632 (+)	1010	160	1,9	2050	130	0,8 A	
42	E11	25 / 375	-5,00E-06	-7,30E-05	-0,00014	2,12E-05	0,3185 (+)	1670	210	2,9	2200	150	0,6 B	
43		26 / 459	-2,60E-05	2,17E-06	-2,20E-06	-3,70E-05	0,1624 (-)	890	960	2,8	2140	100	1,6 B	
44	E12	3 / 252	-2,90E-05	-1,10E-05	1,53E-05	-2,40E-06	0,1624 (+)	1427	373	2,3	4000	380	1,7 B	
45		3 / 368	-3,40E-05	-1,20E-05	-5,20E-06	-3,40E-05	0,6317 (+)	890	450	4	2300	140	14,1 B	
46	E13	11 / 14	409	-1,50E-05	-2,20E-05	-1,70E-05	-7,80E-06	0,5424 (+)	890	220	1,4	1920	170	1,4 A
47		15 / 456	-4,10E-07	2,43E-06	-3,10E-06	-2,50E-05	0,4505 (+)	890	490	2	1820	150	0,6 A	
48		16 / 467	-8,40E-06	-1,30E-06	-1,50E-05	-1,80E-05	0,3431 (+)	890	220	3,4	1584	416	1,4 A	
49		17 / 470	-2,30E-05	-2,10E-05	-2,40E-05		0,3185 (+)	890	780	7,4	3166	214	0,4 A	
50		18 / 350	-2,50E-06	-4,00E-05	-1,20E-05	-4,90E-06	0,4153 (+)	890	635	5,6	2630	250	3,3 C	
51		19 / 335	-1,20E-05	-1,60E-05	1,27E-05	2,62E-05	0,4975 (+)	890	210	1,2	2300	200	0,4 C	
52		20 / 431	-3,20E-05	-1,30E-05	1,21E-06	4,35E-06	0,2548 (+)	890	300	5,2			B	
53		21 / 280	-2,90E-05	-1,80E-05	-2,40E-05	-5,60E-05	0,2297 (-)	890	150	1,2	2300	200	2,6 B	

Tablo B.2 (devam)

Sira No.	Ep. No.	Episod tarihi	SO ₂ $\mu\text{g}/\text{m}^3$	Vortisiti			Enverzyon			Basinc				
				Ay	Gün	1200 GMT	0000 GMT	700 hPa	500 hPa	Termal Rüzgar (*)	Adv. Tab.Yük Kalınlık	0000 GMT Sic.İşk. Tab.Yük. Kalmak	1200 GMT Sic.Fark	
54 E14	1980	12	11	316	-1,80E-06	-6,30E-06	-1,40E-05	-7,60E-06	0,0901 (+)	890	210	1,5	1420 190 1,4 B	
55		12	352	-1,60E-06	-1,70E-05	-6,30E-06	1,38E-05	0,1624 (+)	890	410	3,8	1300 100 0,6 C		
56 E15		19	331	-5,50E-06	7,44E-06	6,24E-06	2,19E-05	0,2426 (+)	890	250	0,8		B	
57		20	329	-1,60E-05	-9,30E-06	-8,90E-06	-5,90E-06	0,1624 (-)	890	360	1,6		B	
58 E16		27	438	-1,80E-06	-6,90E-06	3,28E-06	1,65E-05	0,1424 (-)	890	220	0,6	1620	510 4,6 B	
59		28	431			-2,60E-05	-2,30E-05	0,274 (+)	890	220	0,6	1310	231 2,2 B	
60		29	447	-2,40E-05	-2,00E-05	-1,20E-05	-3,30E-06	0,1424 (+)	890	140	1,8	1375 158 0,6 B		
61		30	427	-1,10E-05	-5,90E-06		2,63E-05	0,3849 (-)	1040	1210	2	2570	120 0,6 B	
62		31	434	-1,20E-05	-9,30E-06	7,23E-06	6,64E-06	0,0637 (+)	890	210	1,5	1750	210 0,8 B	
63 E17	1981	1	486	-2,00E-05	-2,90E-05	-3,10E-05	-5,10E-05	0,1624 (+)	890	830	5,1	1513 197 0,8 A		
64		2	444	-1,70E-05	-1,80E-05	-2,70E-05	-7,90E-06	0,1424 (+)	890	930	3,2	1480 90 2,2 C		
65 E18		4	389	-3,60E-05	-3,80E-05	-7,60E-05	-0,0001	0,2252 (+)	890	430	0,5	1483	283 1,4 B	
66		5	350	1,74E-05	-9,30E-06	3,41E-06	-1,30E-05	0,5572 (+)	890	370	2,7	1215	381 2 C	
67		6	424	-7,60E-06	-2,60E-06	-4,30E-05	-4,30E-05	0,1351 (+)	890	1015	6,3	1335 193 0,6 C		
68		7	471	-2,10E-05	-1,20E-05	-7,00E-06	6,62E-06	0,2849 (+)	890	493	3	2450	80 0,6 B	
69 E19		9	415	-2,50E-06	-4,00E-06	-1,90E-05	-1,20E-05	0,1802 (+)	890	190	2	4860	240 1,2 A	
70		10	364	-2,10E-05	-9,40E-06	9,10E-07	-1,40E-06	0,1274 (+)	890	300	0,6		A	
71 E20		27	381	4,35E-06	-5,60E-06	-2,80E-05	-2,30E-05	0,3632 (-)	890	110	0,8	1536	494 1,8 A	
72		28	422	-2,50E-05	-9,70E-06	-6,60E-06	-2,60E-05	0,4436 (+)	890	490	3		A	
73 E21		2	5	370	-1,50E-05	-1,50E-05	-1,50E-05	-7,10E-06	0,2014 (+)	890	190	1,4	1523	297 2 B
74		6	303	-1,50E-05	-3,20E-06	-1,30E-05	-1,30E-05	0,1007 (+)	1240	620	3,4	1420	280 2,8 B	
75		7	435	7,75E-06	-4,20E-06	1,98E-05	4,80E-06	0,0637 (+)	890	460	5	140	500 2,6 B	
76		8	431	1,41E-05	-1,19E-05	-2,00E-06	5,81E-06	0,2884 (+)	890	598	4,4	2000	300 2,8 B	
77 E22	1982	1	4	412	1,11E-05	-4,00E-06	-5,70E-05	-2,70E-05	0,1007 (+)	1191	272	2,2	1368	369 4,5 A
78		5	509	-3,40E-06	2,60E-06	-2,00E-05	-5,10E-05	0,2252 (+)	904	1025	11,1	924	843 4,7	
79		6	569	-4,90E-05	-3,30E-05	-2,60E-07	-4,60E-06	0,3632 (+)	890	657	6,4	3554	215 1,2	

Tablo B.2 (devam)

Sira No.	Ep. No.	Eşleden tarihi	SO ₂ µg/m ³	Vortisit!			Enverzyon			Basınç					
				1200 GMT	0000 GMT	700 hPa	500 hPa	Termal Rüzgar (*)	Adv. Sic. farklı	0000 GMT	1200 GMT	Tab. Yük. Kalınlık	Kalınlık Sic. farklı		
80 E23	1992	1 Ay	24 Gün	2,61E-05	7,84E-05	-0,0001	-1,60E-05	0,5136 (-)	1193	385	11	1867	797	4,2 B	
81		25	388	-2,80E-07	-3,80E-05	-4,00E-06	-6,00E-05	0,7456 (+)	932	357	3,2	1722	385	5,2 C	
82 E24		27	338	-7,00E-06	-5,30E-08	-1,50E-06	-1,03E-05	0,045 (-)	950	179	2,4	1452	656	6,6 B	
83		28	376	-1,00E-05	4,85E-06	-2,20E-05	-7,40E-07	0,548 (+)	890	447	3,2	1411	476	4,2	
84 E25	2	9	376	-8,30E-06	-6,70E-05	7,97E-08	5,97E-05	0,1857 (+)	893	250	2,5			C	
85		10	385	1,25E-06	-3,00E-05	-6,20E-05	6,77E-06	1,3913 (-)	962	264	2,4	1423	290	0,8 B	
86		11	473	-1,40E-06	-2,10E-05	-7,40E-06	-2,20E-05	0,2849 (+)	890	612	6	1963	701	2,2 C	
87		12	460	-1,50E-06	1,51E-06	9,37E-06	4,06E-05	0,1424 (+)	890	290	3,8	1710	94	0,8 B	
88		13	464	-6,50E-05	9,42E-06	6,10E-07	4,00E-05	0,2426 (+)	890	540	1,2	2405	98	0,6 B	
89		14	380	-1,60E-06	-4,00E-05	-3,20E-05	-2,00E-05	0,3279 (+)	890	147	1,2	2669	307	2,2 C	
90 E26	1993	1	18	362	-4,40E-06	-3,50E-05	-5,50E-05	-0,0001 (+)	890	474	7,8	1200	180	2,7 C	
91		19	486	-1,80E-06	7,53E-06	-5,90E-05	-5,80E-05	0,3185 (+)	914	386	4,3	1800	500	5,7 C	
92		20	352	4,58E-06	-1,30E-05	-3,70E-05	-5,00E-05	0,3022 (-)	943	240	3,4	1548	152	4,5 A	
Genel Ortalama				411	-1,20E-05	-1,20E-05	-1,40E-05	-1,20E-05	0,313	1047	429	3,77	1601	289	2,68

ÖZGEÇMİŞ

Mustafa ŞAHİN 1963 yılında Malatya'da doğdu. 1981 yılında Malatya Fatih Lisesi'nden mezun oldu. 1982 yılında İ.T.Ü. Uçak ve Uzay Bilimler Fakültesi, Meteoroloji Mühendisliği Bölümü'ne girdi. Adı geçen bölüm 1986 yılında tamamlayarak aynı yıl İ.T.Ü. Fen Bilimleri Enstitüsü Meteoroloji Programı'nda Yüksek Lisansı kazandı. "Evapotraspirasyon Hesaplanması Bir Model" adlı Yüksek Lisans tezini 1989 yılında verdi. 1990 yılında Çevre Bakanlığı'nda Çevre Uzman Yardımcısı olarak çalışmaya başladı. Halen Çevre Bakanlığı'nda Şube Müdürü V. olarak görev yapan Mustafa ŞAHİN evli ve iki çocuk babasıdır.